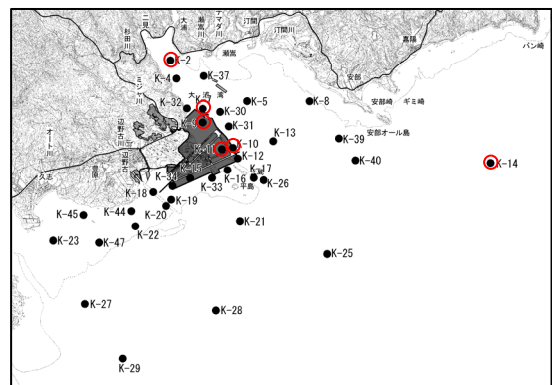


図-6.6.1.15(1) 電磁流速計による調査結果に基づく夏季の流況頻度図

注) 調査期間：平成20年7月3日～9月5日



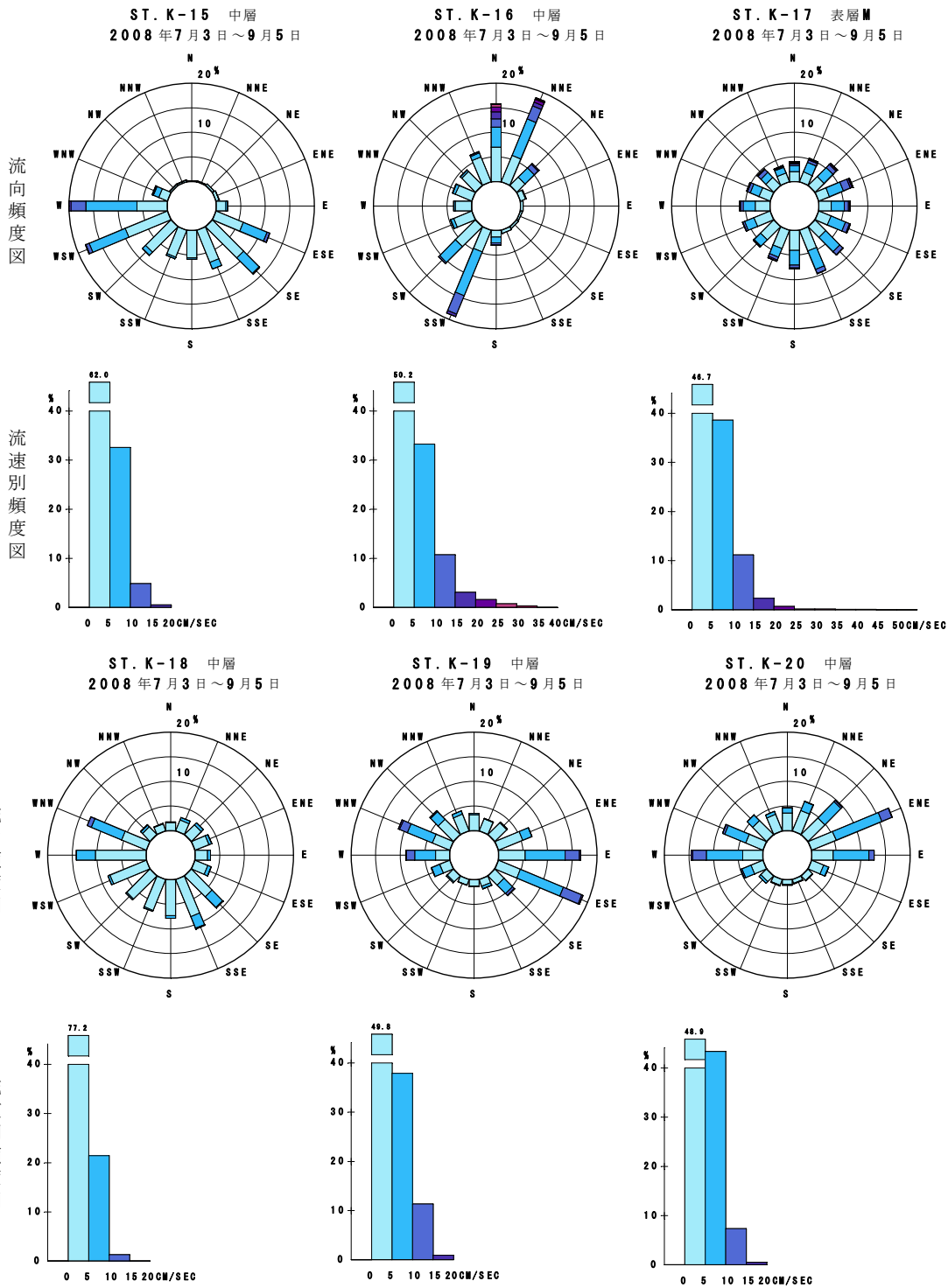
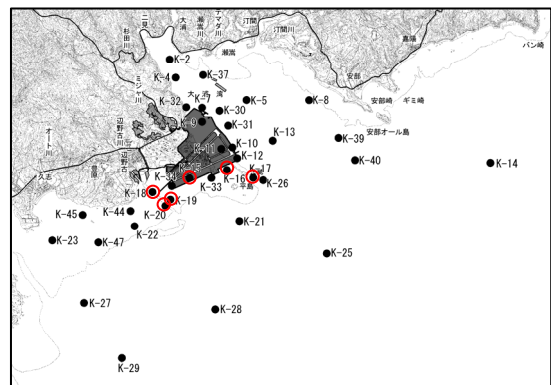


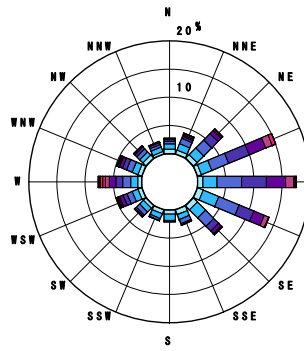
図-6.6.1.15(2) 電磁流速計による調査結果に基づく夏季の流況頻度図

注) 調査期間：平成20年7月3日～9月5日

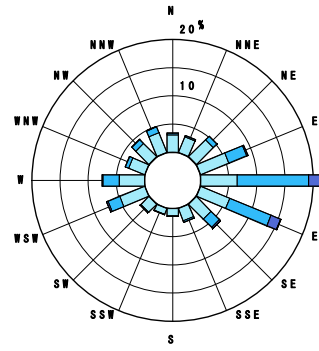


流向頻度図

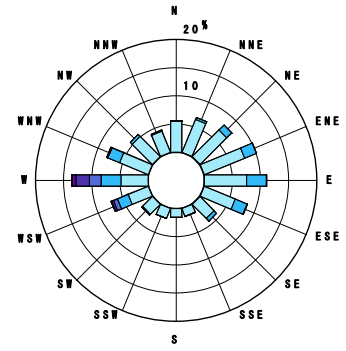
ST. K-21 表層M  
2008年7月3日～9月5日



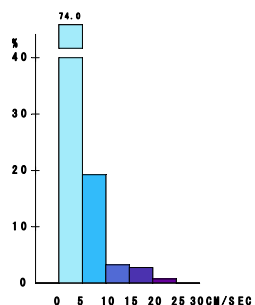
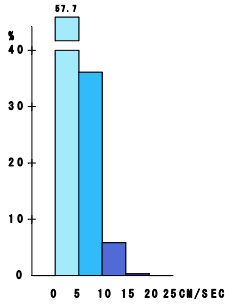
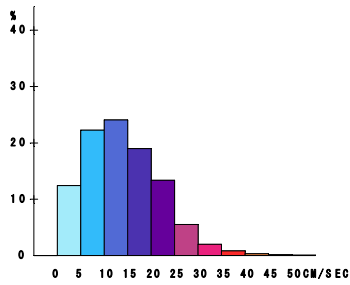
ST. K-22 中層  
2008年7月3日～9月5日



ST. K-23 中層  
2008年7月3日～9月5日

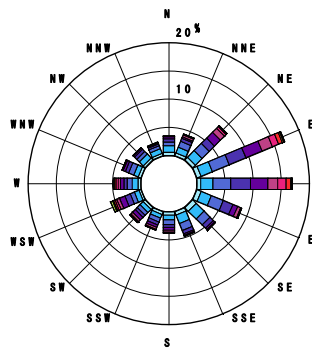


流速別頻度図

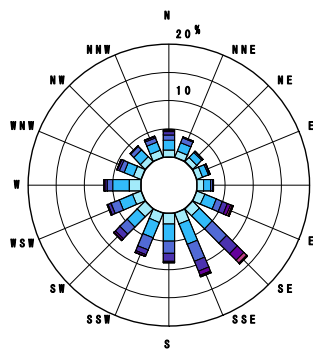


流向頻度図

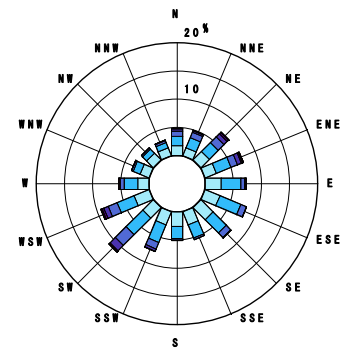
ST. K-25 表層M  
2008年7月3日～9月5日



ST. K-26 表層M  
2008年7月3日～9月5日



ST. K-27 表層M  
2008年7月3日～9月5日



流速別頻度図

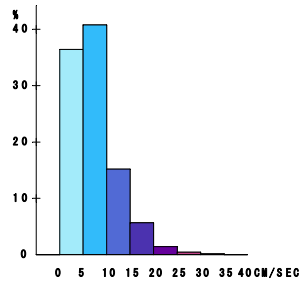
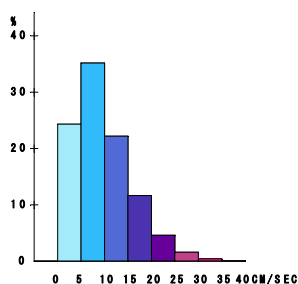
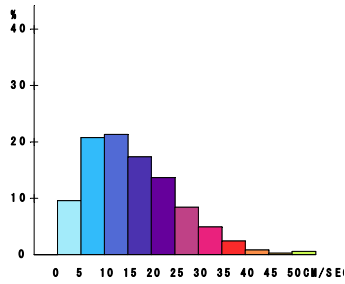
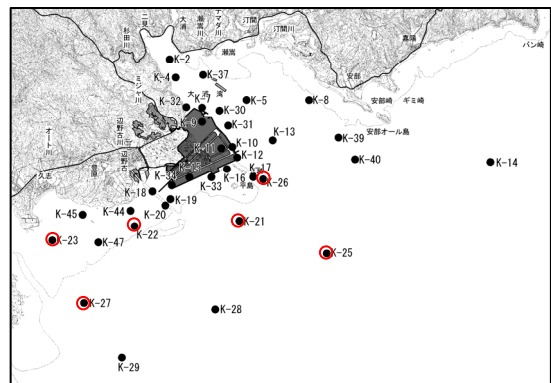


図-6.6.1.15(3) 電磁流速計による調査結果に基づく夏季の流況頻度図

注) 調査期間：平成20年7月3日～9月5日



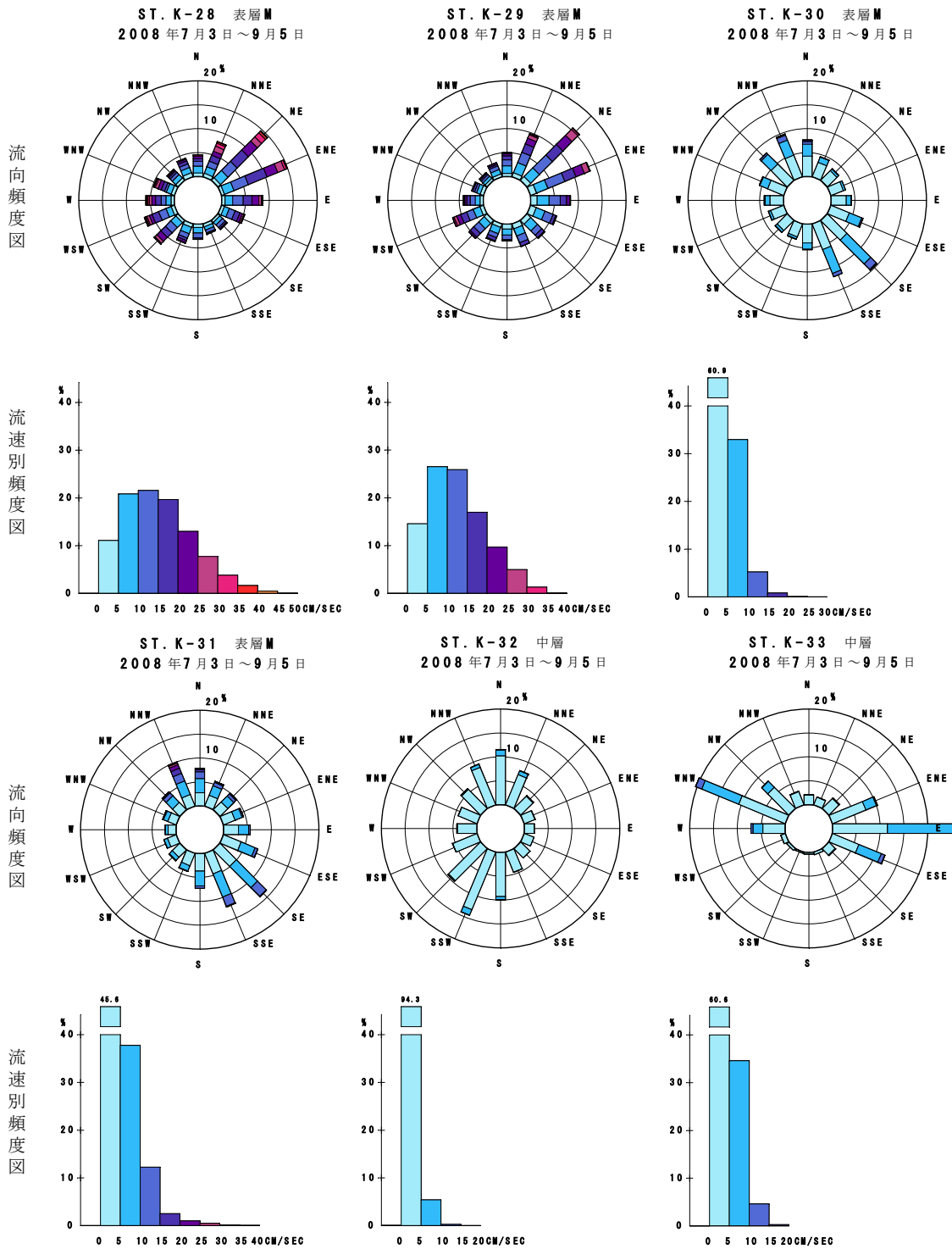
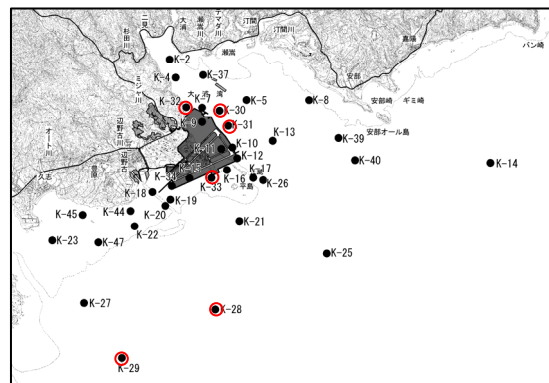


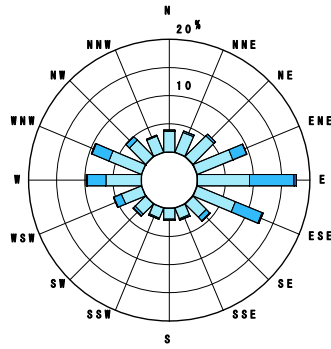
図-6. 6. 1. 15(4) 電磁流速計による調査結果に基づく夏季の流況頻度図

注) 調査期間：平成 20 年 7 月 3 日～9 月 5 日

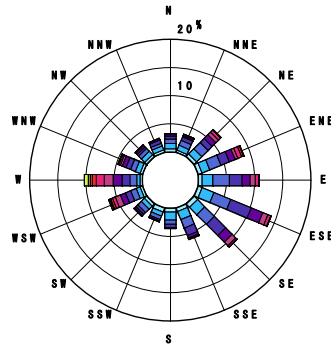


流向頻度図

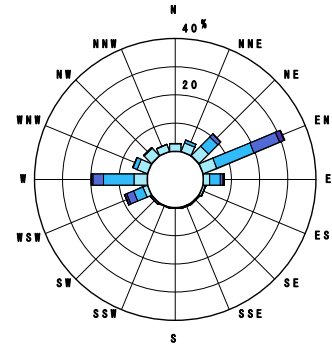
ST. K-34 中層  
2008年7月3日～9月5日



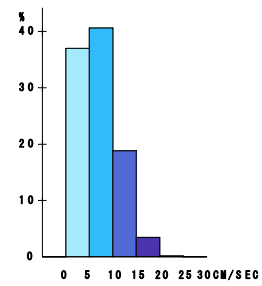
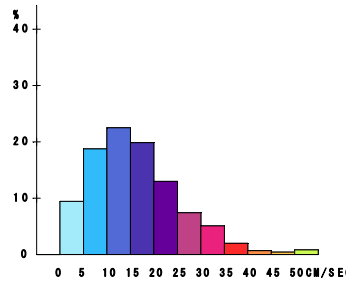
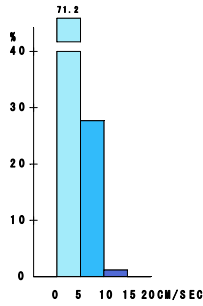
ST. K-40 表層M  
2008年7月3日～9月5日



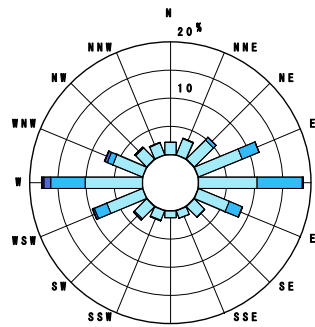
ST. K-44 中層  
2008年7月3日～9月5日



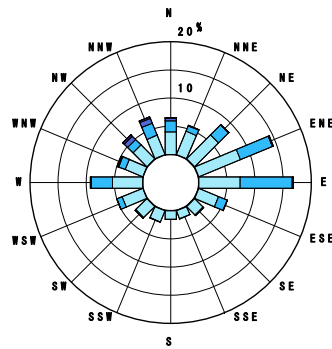
流速別頻度図



ST. K-45 中層  
2008年7月3日～9月5日



ST. K-47 中層  
2008年7月3日～9月5日



流向頻度図

流速別頻度図

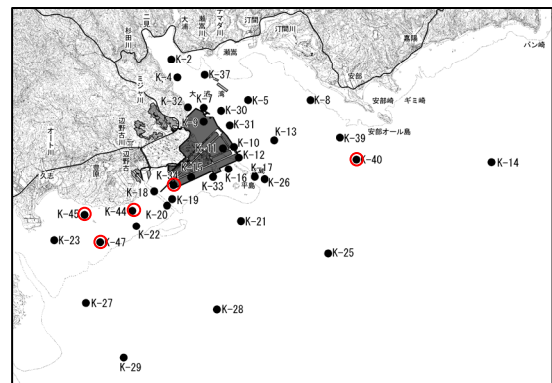
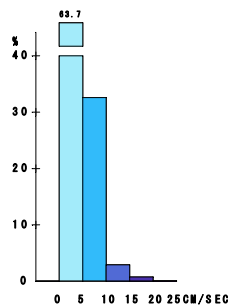
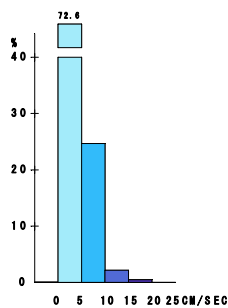


図-6.6.1.15(5) 電磁流速計による調査結果に基づく夏季の流況頻度図

注) 調査期間：平成20年7月3日～9月5日

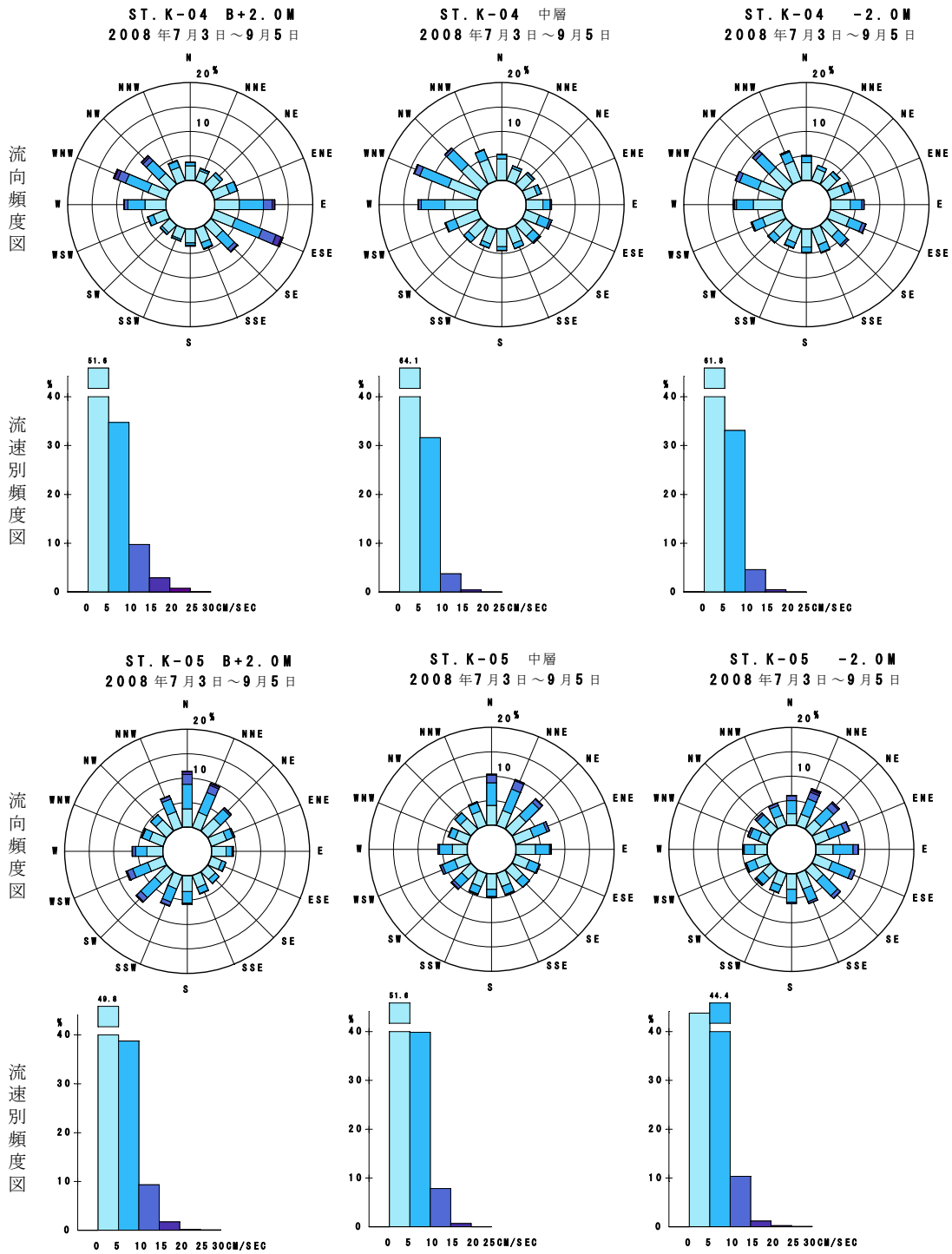
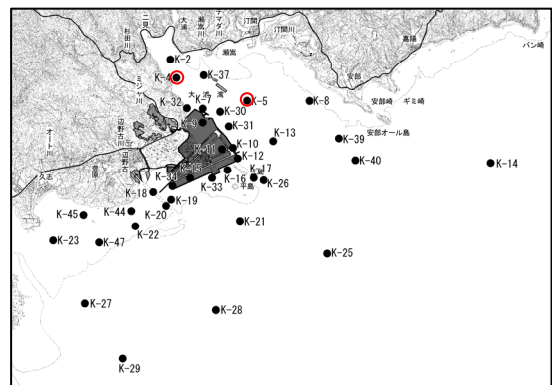


図-6. 6. 1. 16(1) 超音波流速計による調査結果に基づく夏季の流況頻度図

注) 調査期間：平成 20 年 7 月 3 日～9 月 5 日



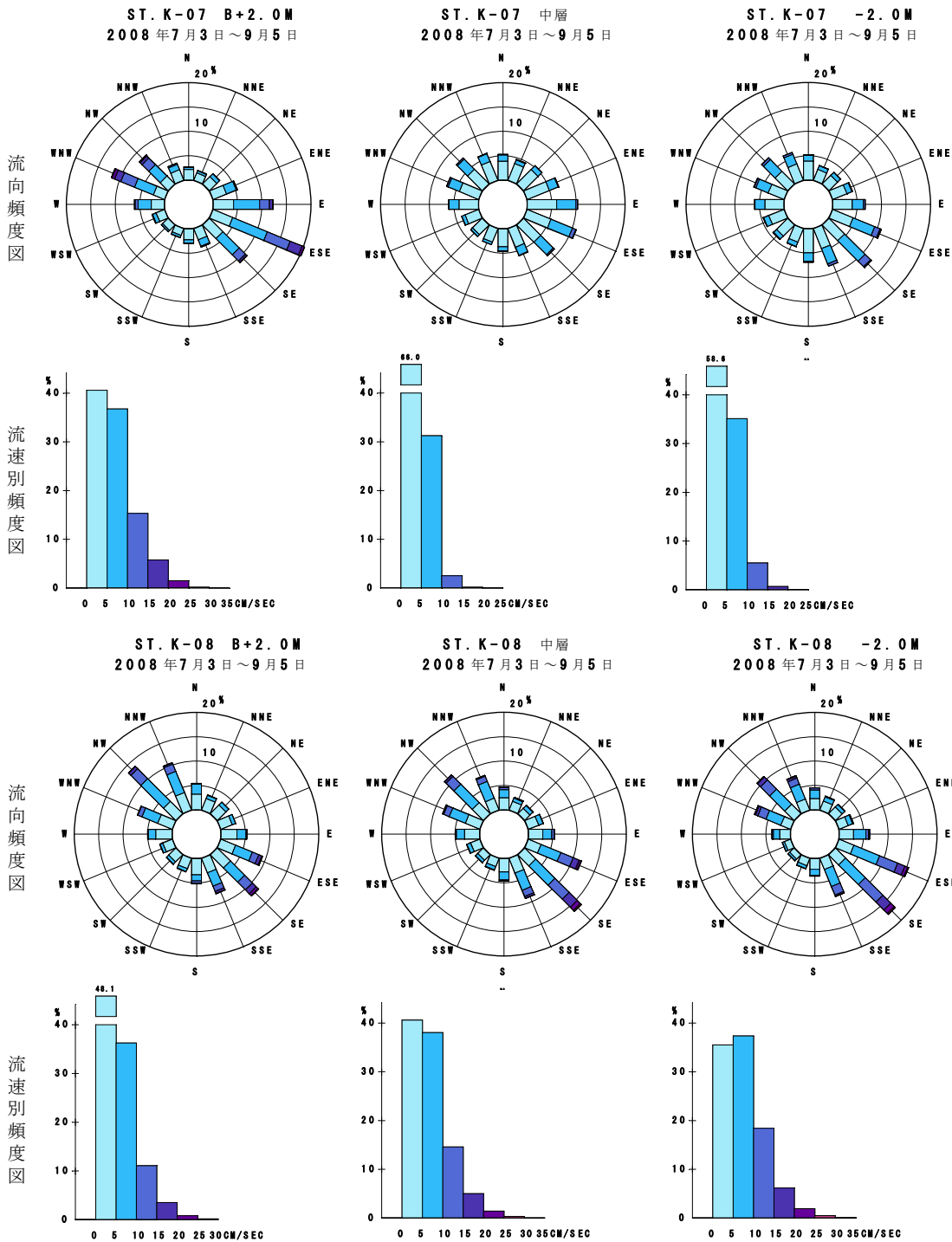
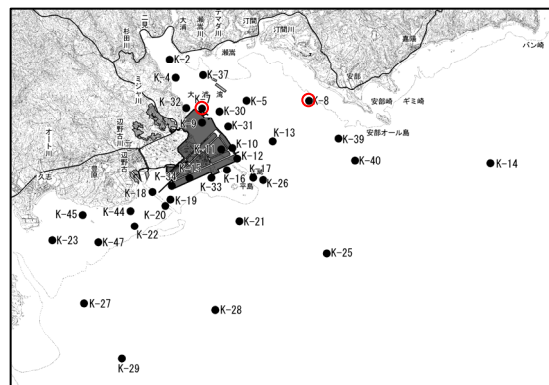


図-6.6.1.16(2) 超音波流速計による調査結果に基づく夏季の流況頻度図

注) 調査期間：平成20年7月3日～9月5日





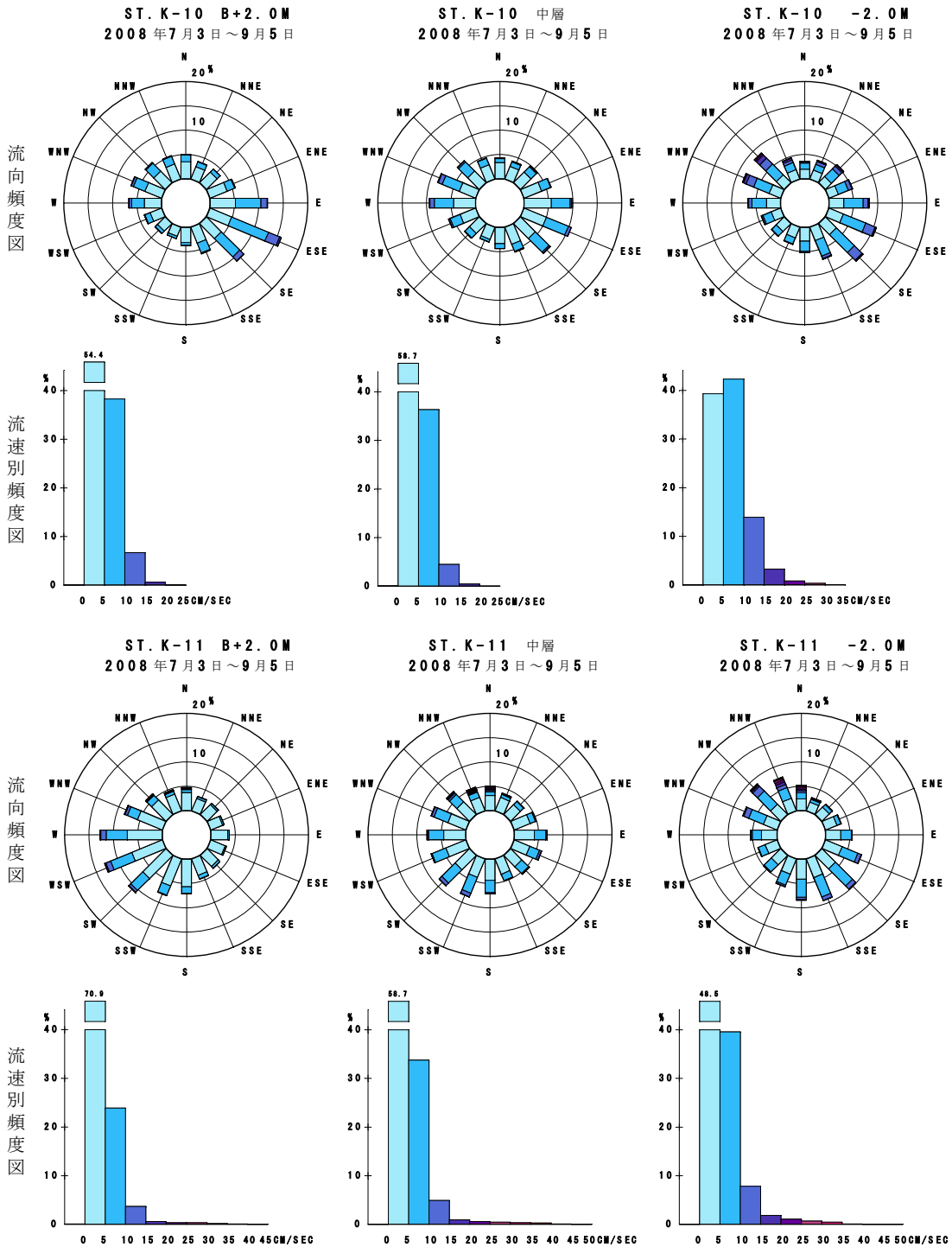
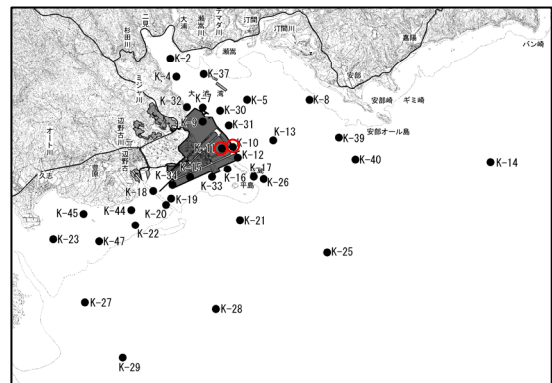


図-6.6.1.16(3) 超音波流速計による調査結果に基づく夏季の流況頻度図

注) 調査期間：平成20年7月3日～9月5日





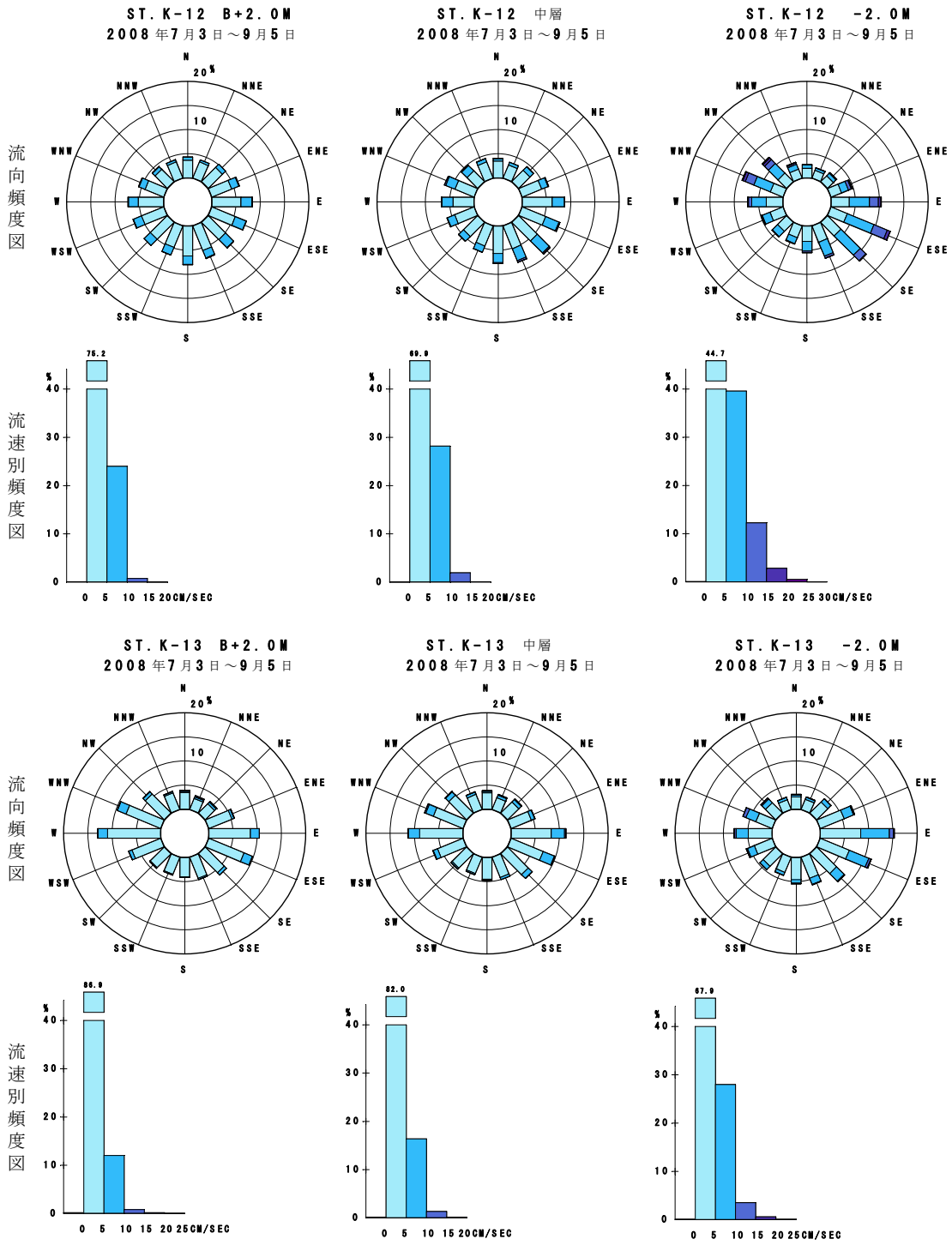
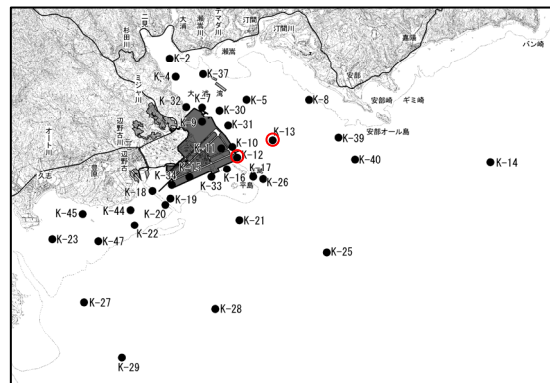


図-6.6.1.16(4) 超音波流速計による調査結果に基づく夏季の流況頻度図

注) 調査期間：平成20年7月3日～9月5日



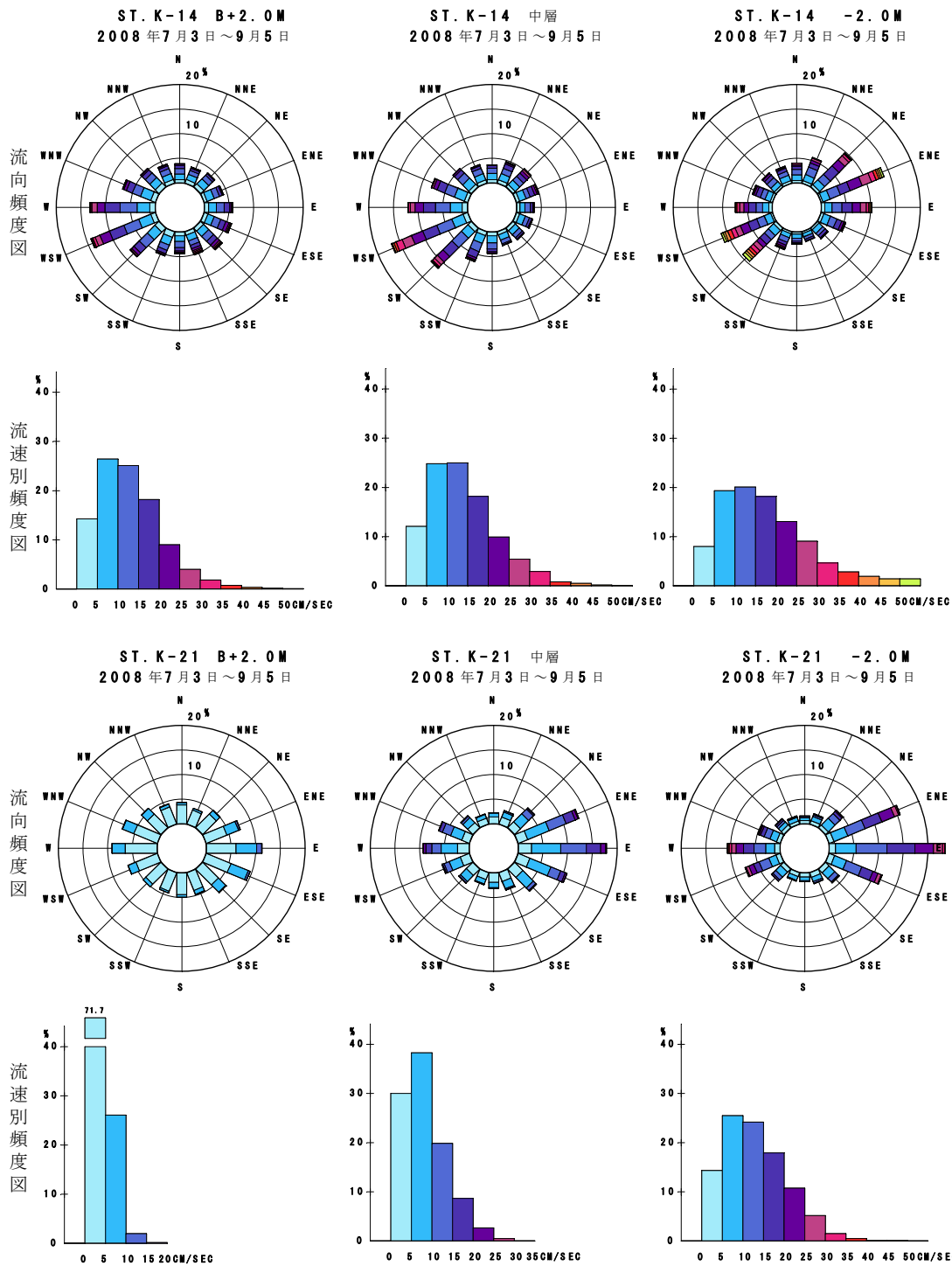
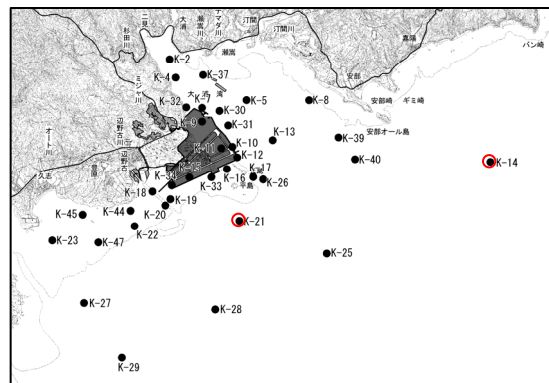
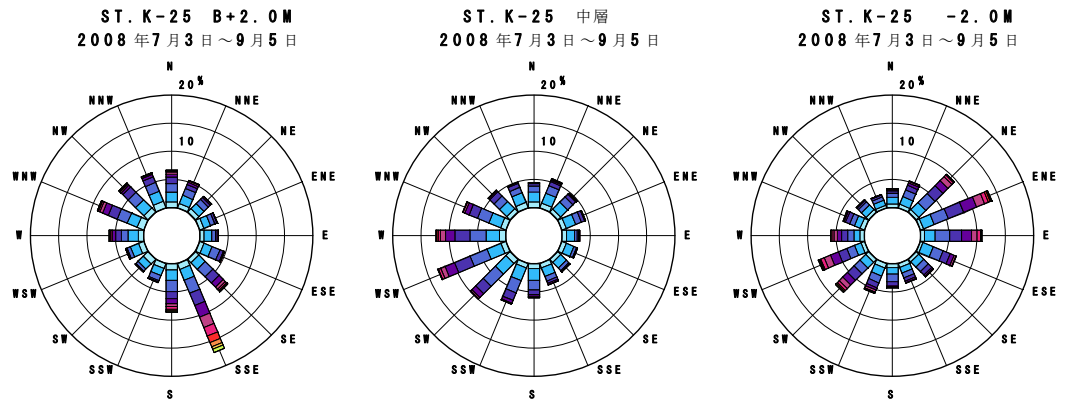


図-6.6.1.16(5) 超音波流速計による調査結果に基づく夏季の流況頻度図

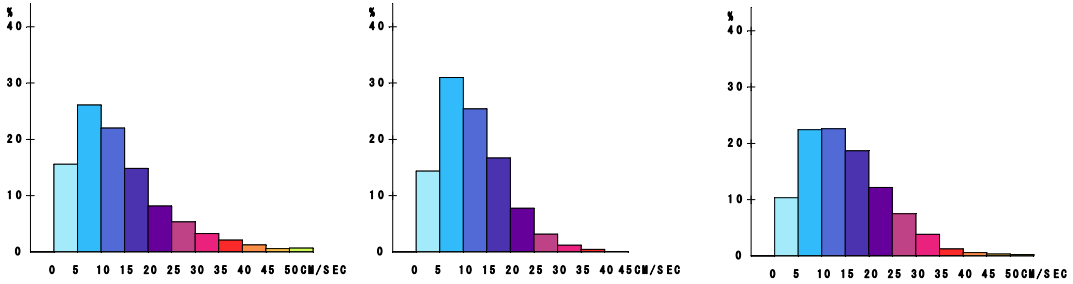
注) 調査期間：平成20年7月3日～9月5日



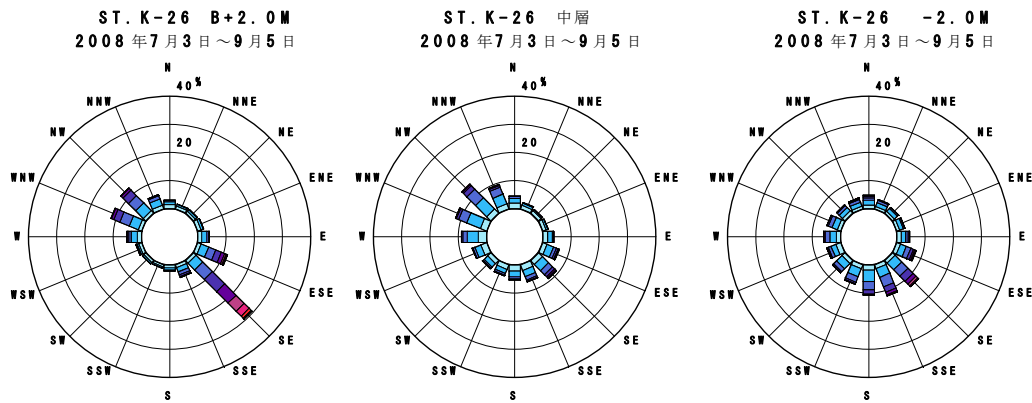
流向頻度図



流速別頻度図



流向頻度図



流速別頻度図

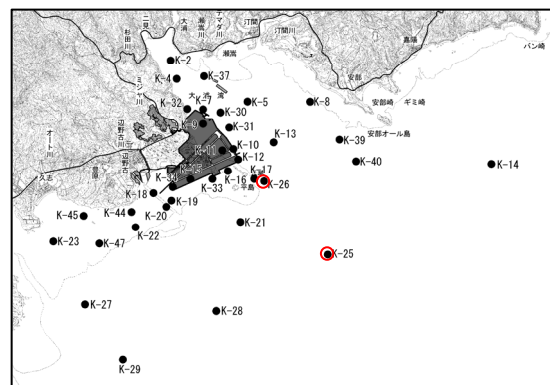
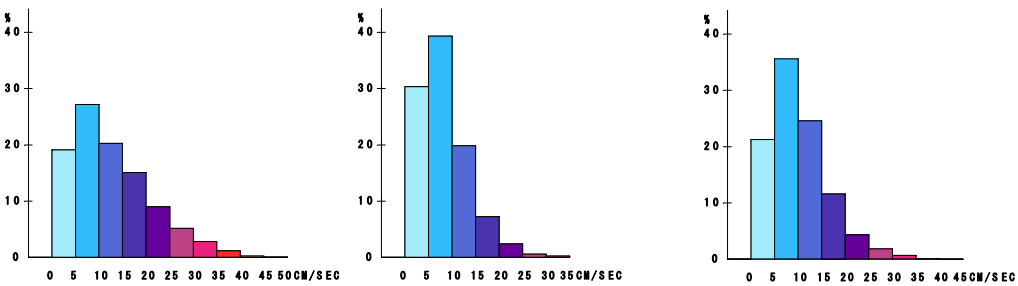


図-6. 6. 1. 16(6) 超音波流速計による調査結果に基づく夏季の流況頻度図

注) 調査期間：平成 20 年 7 月 3 日～9 月 5 日

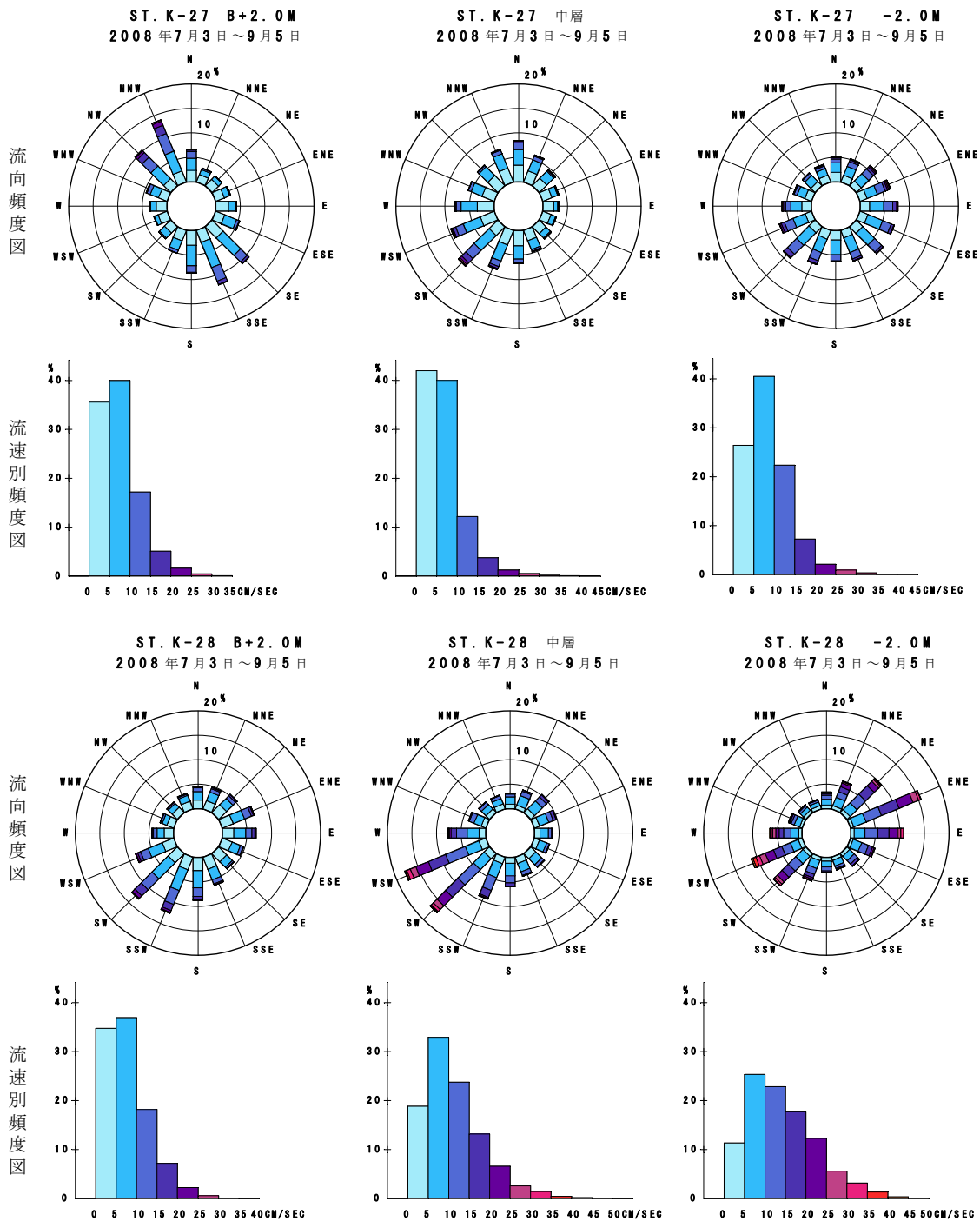
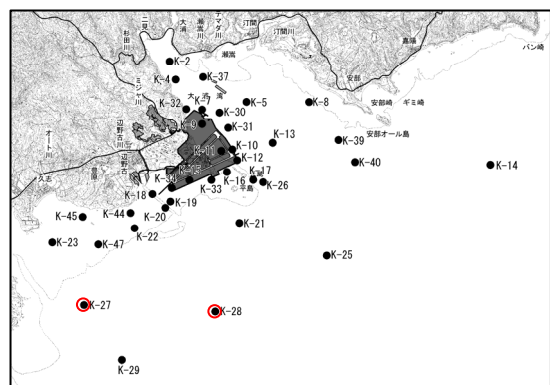


図-6. 6. 1. 16(7) 超音波流速計による調査結果に基づく夏季の流況頻度図

注) 調査期間：平成 20 年 7 月 3 日～9 月 5 日



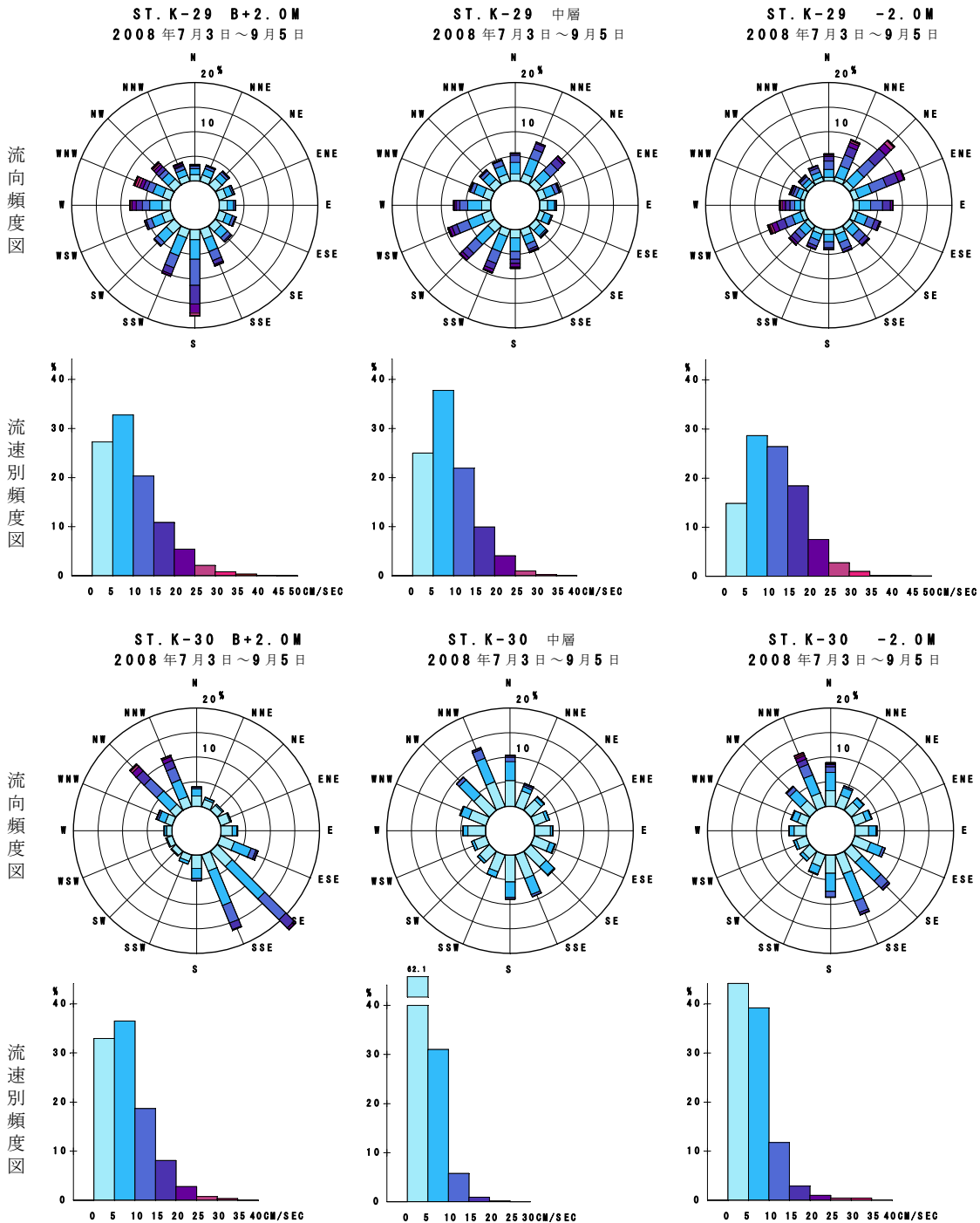
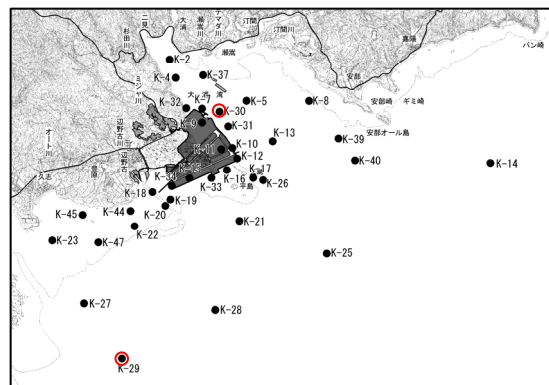


図-6. 6. 1. 16(8) 超音波流速計による調査結果に基づく夏季の流況頻度図

注) 調査期間：平成 20 年 7 月 3 日～9 月 5 日



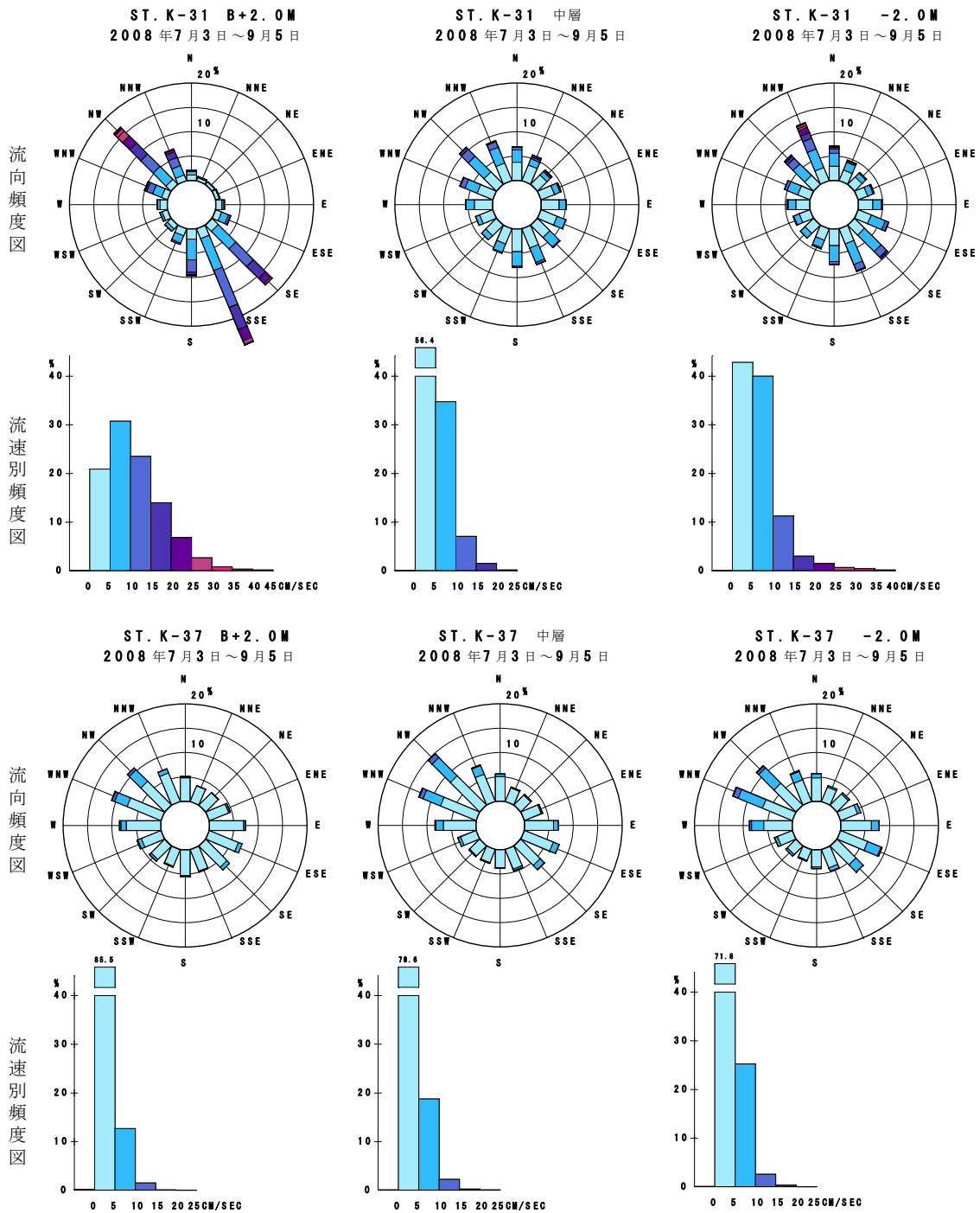
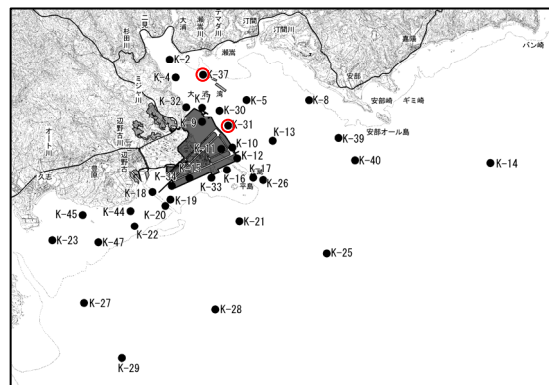


図-6. 6. 1. 16(9) 超音波流速計による調査結果に基づく夏季の流況頻度図

注) 調査期間：平成20年7月3日～9月5日



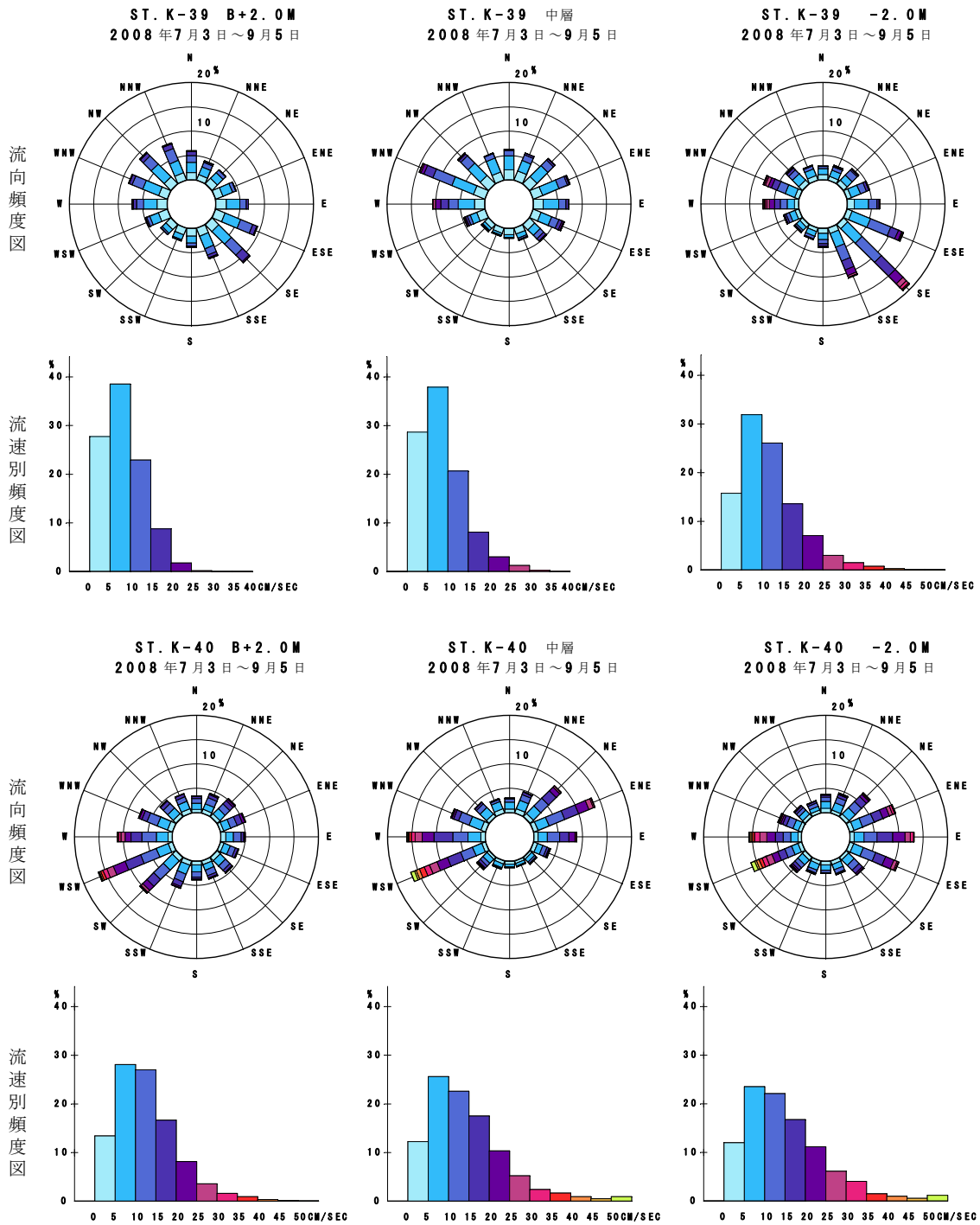
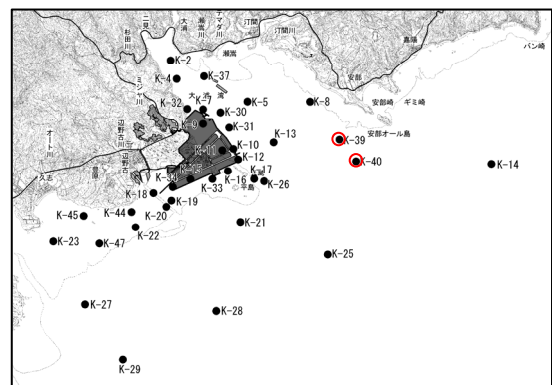


図-6. 6. 1. 16(10) 超音波流速計による調査結果に基づく夏季の流況頻度図

注) 調査期間：平成 20 年 7 月 3 日～9 月 5 日





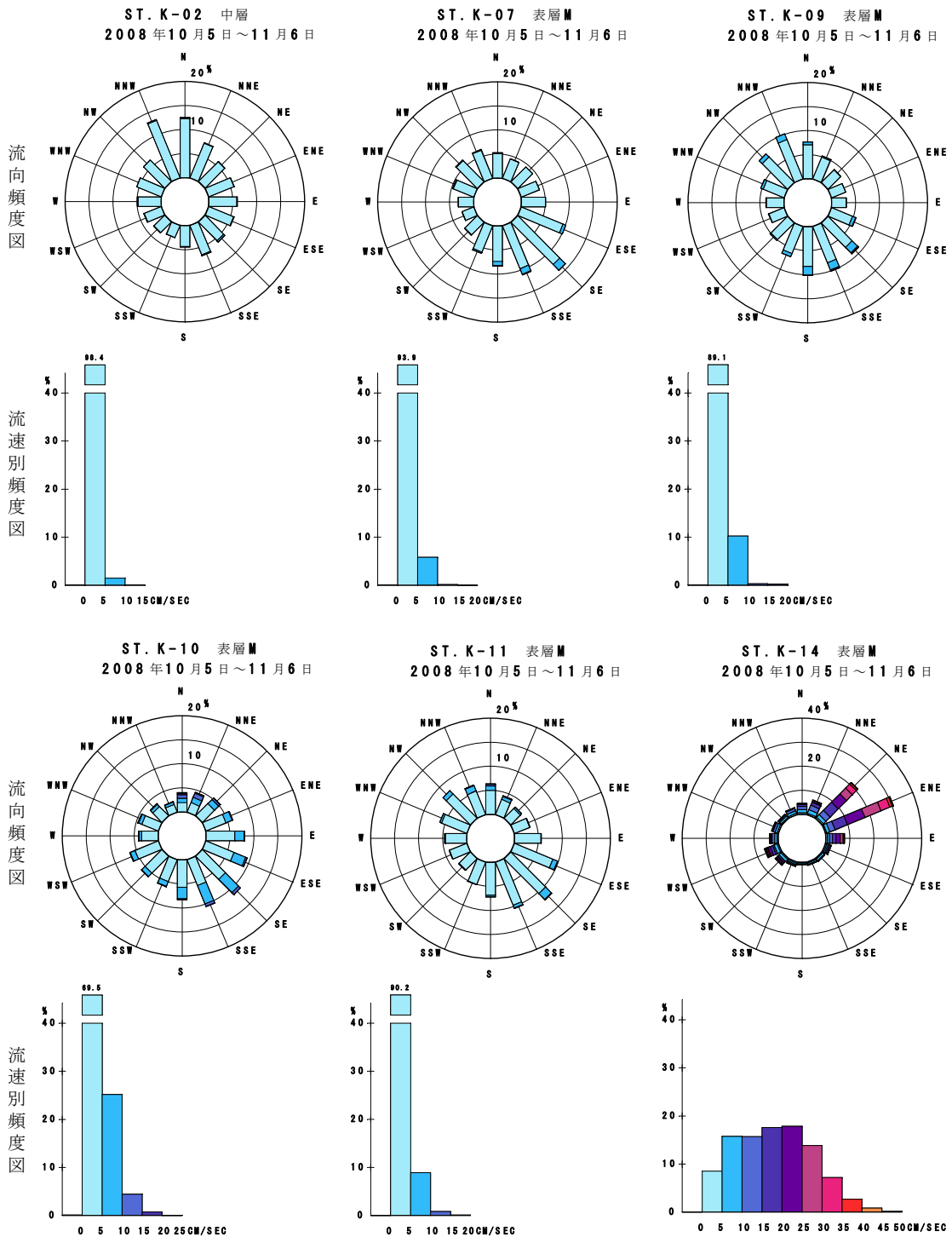
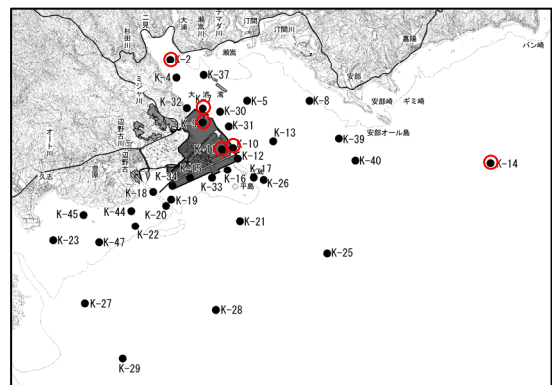
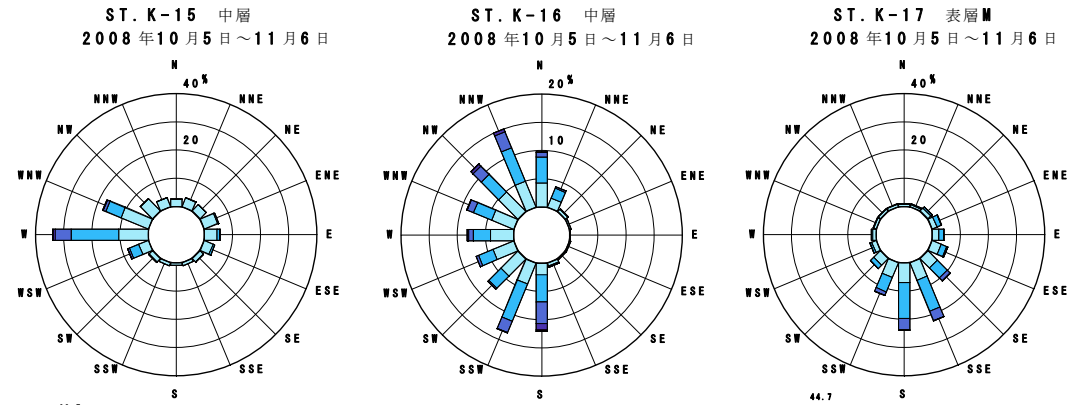


図-6. 6. 1. 17(1) 電磁流速計による調査結果に基づく秋季の流況頻度図

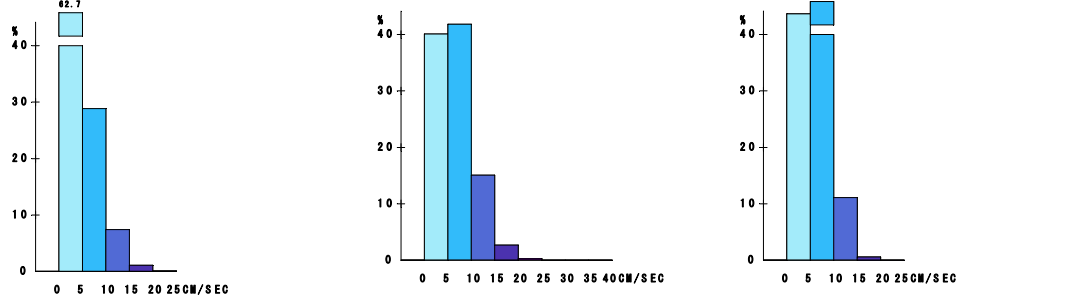
注) 調査期間：平成20年10月5日～11月6日



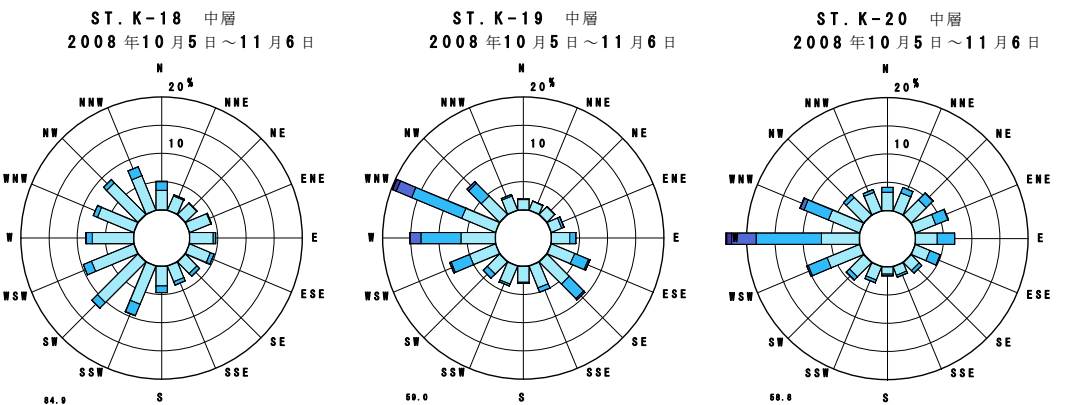
流向頻度図



流速別頻度図



流向頻度図



流速別頻度図

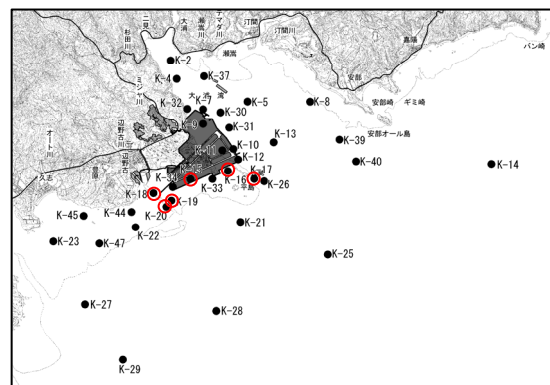
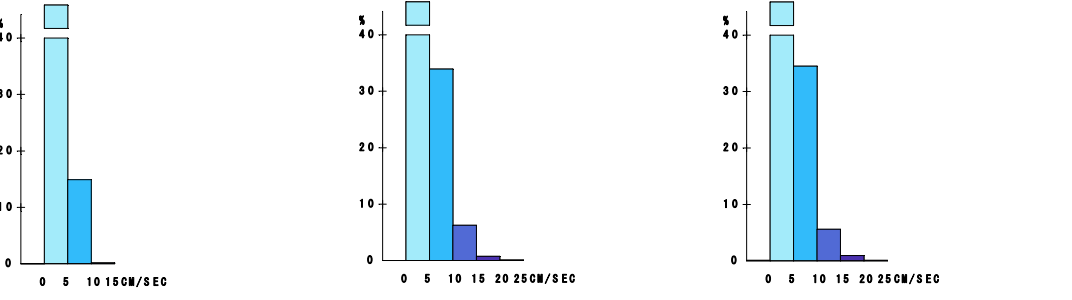


図-6. 6. 1. 17(2) 電磁流速計による調査結果に基づく秋季の流況頻度図

注) 調査期間：平成 20 年 10 月 5 日～11 月 6 日

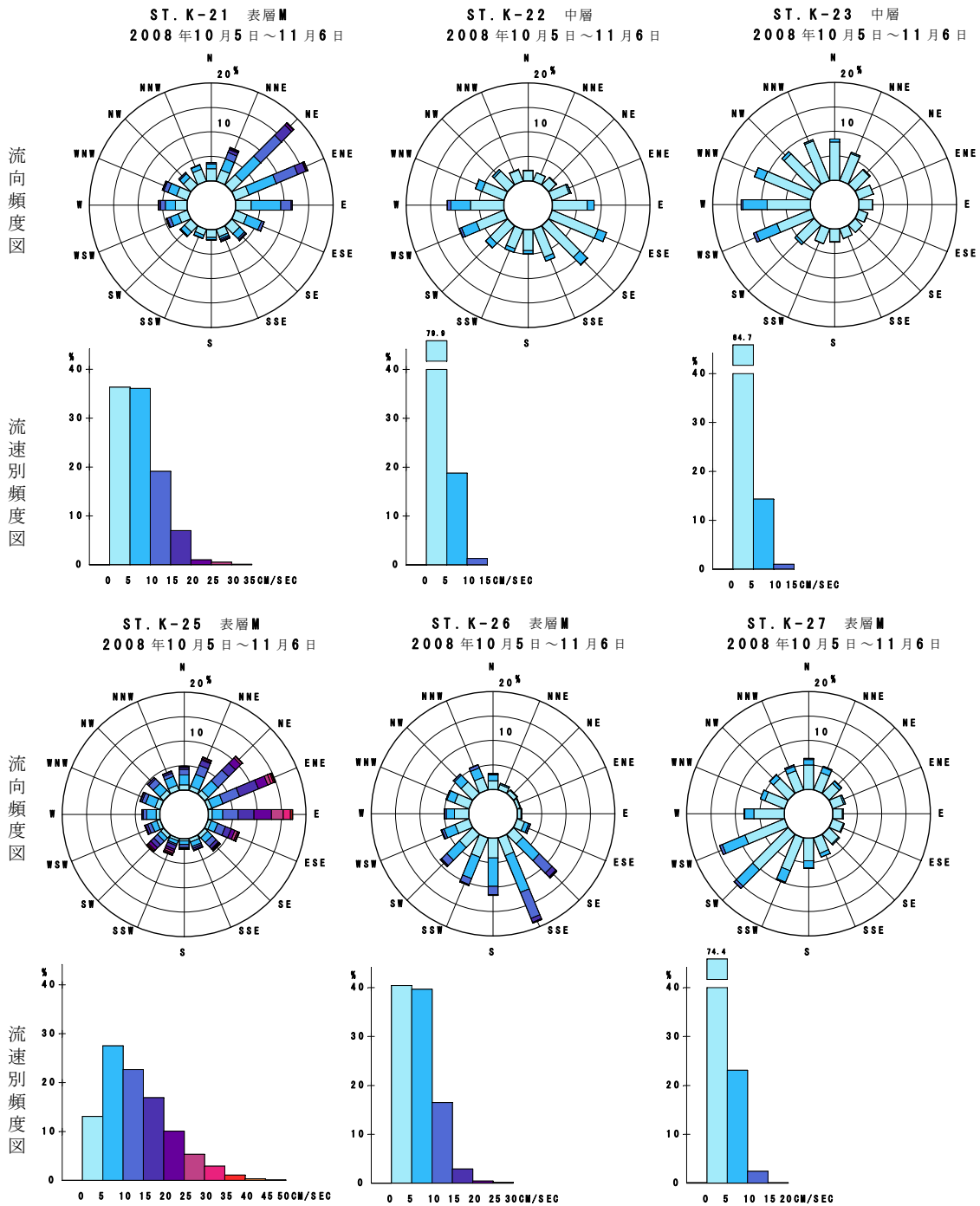
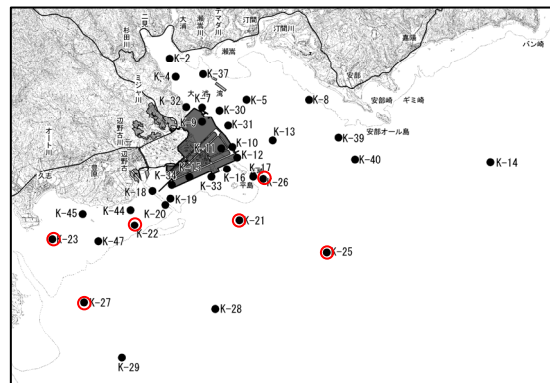


図-6. 6. 1. 17(3) 電磁流速計による調査結果に基づく秋季の流況頻度図

注) 調査期間：平成 20 年 10 月 5 日～11 月 6 日



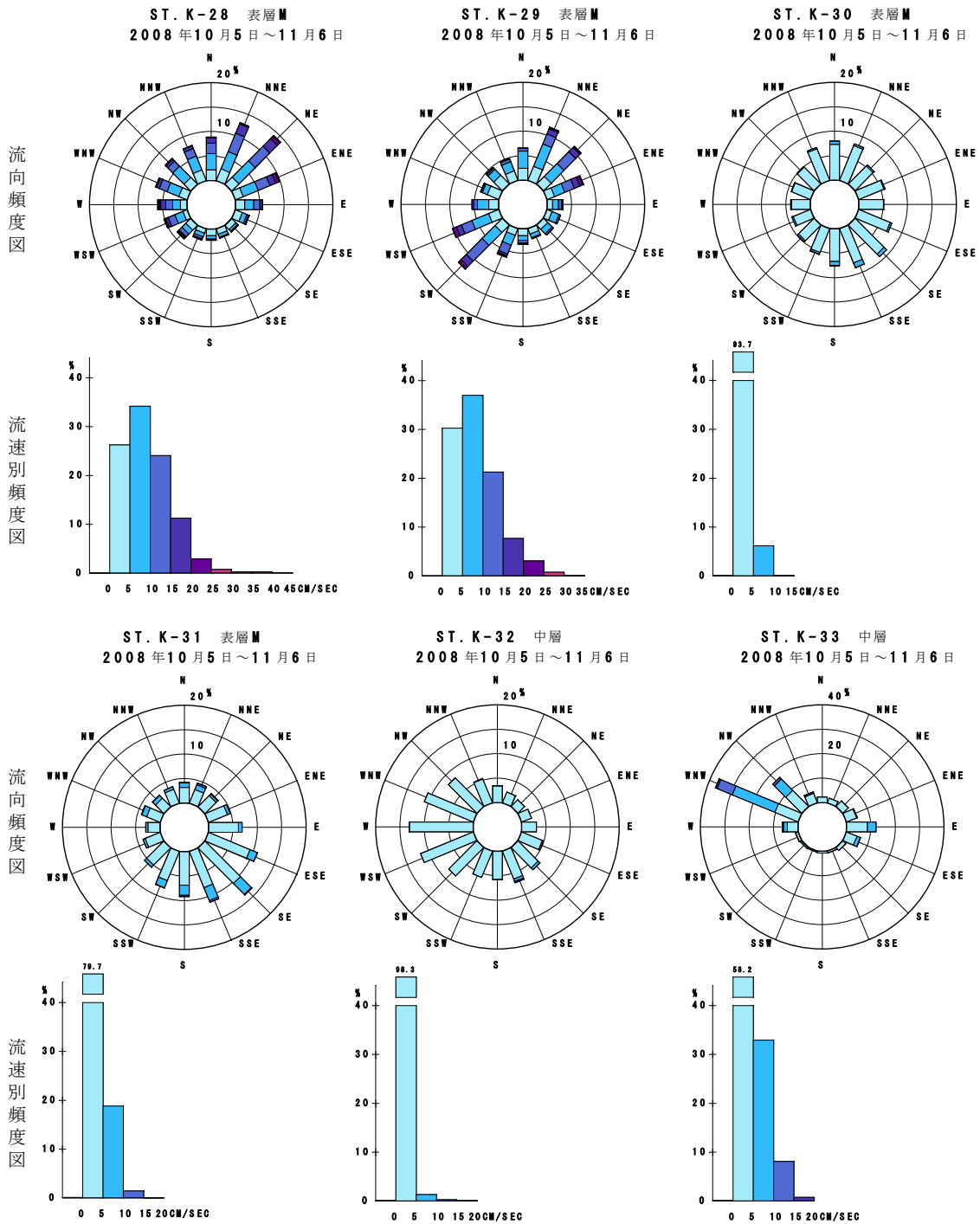
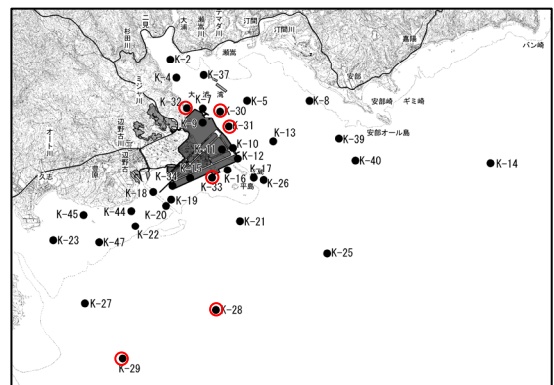
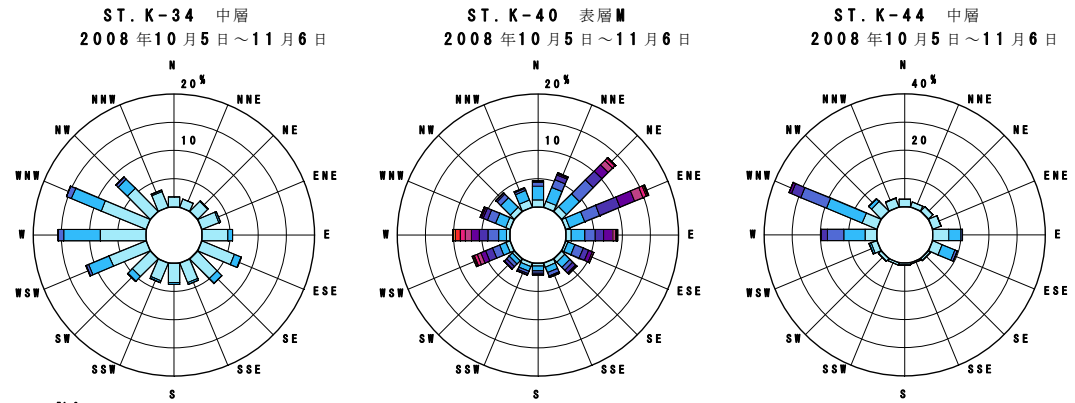


図-6. 6. 1. 17(4) 電磁流速計による調査結果に基づく秋季の流況頻度図

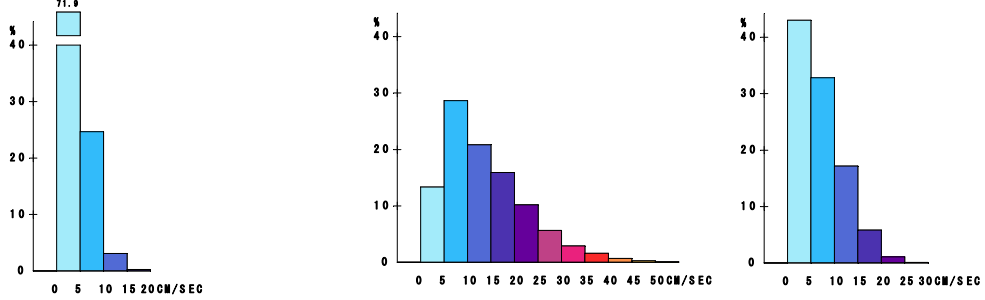
注) 調査期間：平成20年10月5日～11月6日



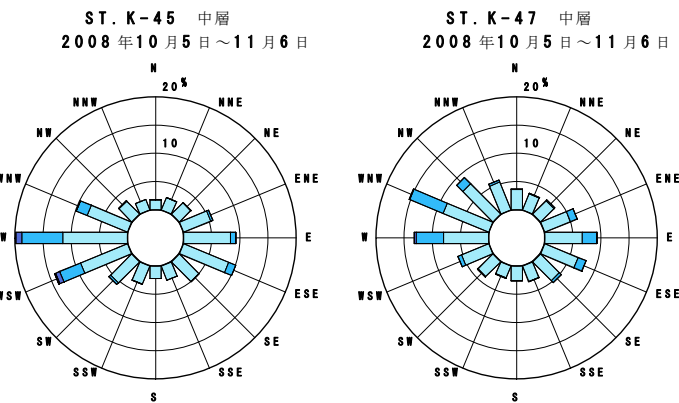
流向頻度図



流速別頻度図



流向頻度図



流速別頻度図

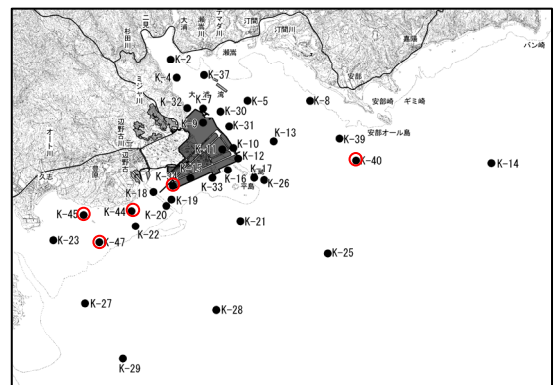
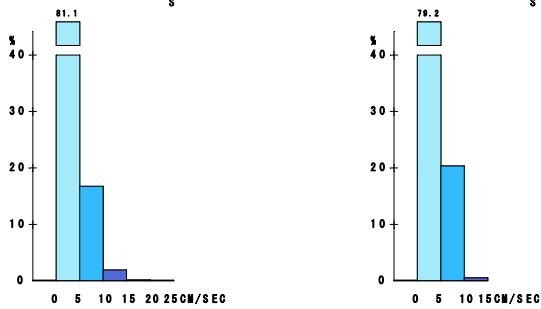


図-6. 6. 1. 17(5) 電磁流速計による調査結果に基づく秋季の流況頻度図

注) 調査期間：平成 20 年 10 月 5 日～11 月 6 日

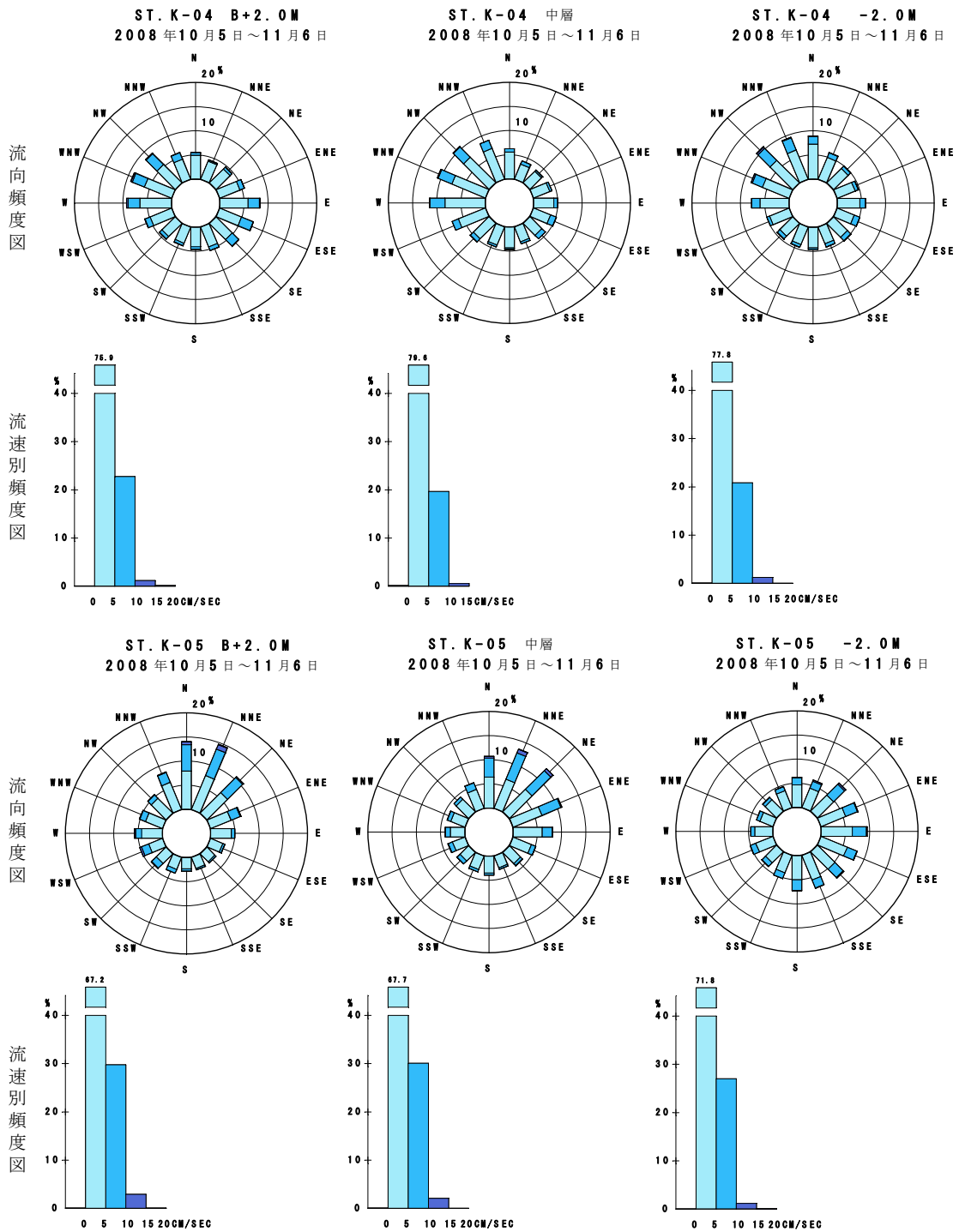
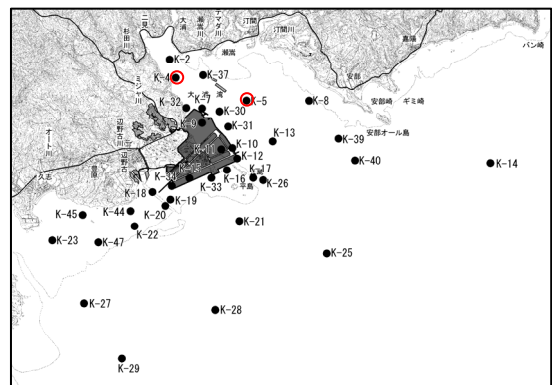


図-6. 6. 1. 18(1) 超音波流速計による調査結果に基づく秋季の流況頻度図

注) 調査期間：平成 20 年 10 月 5 日～11 月 6 日



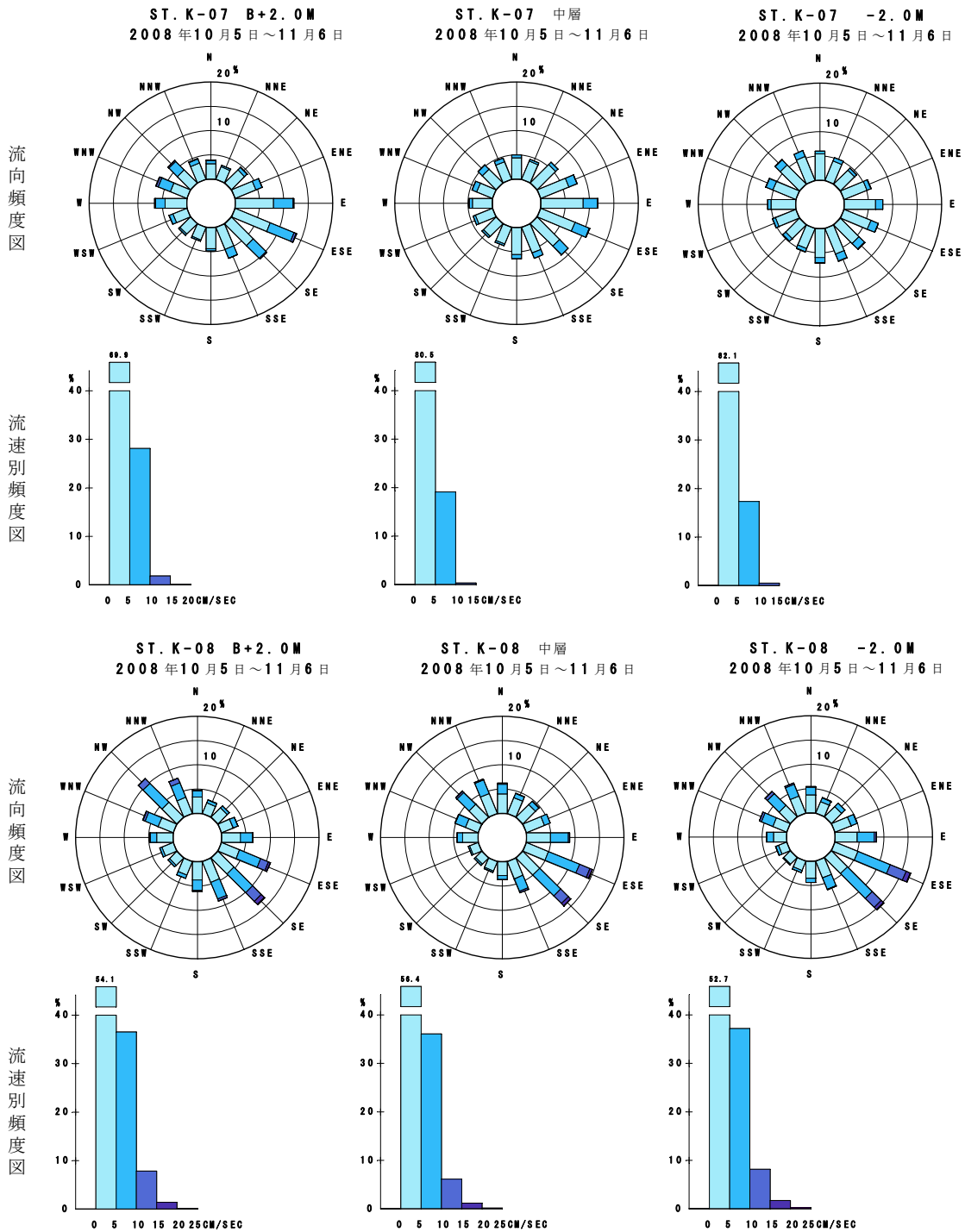
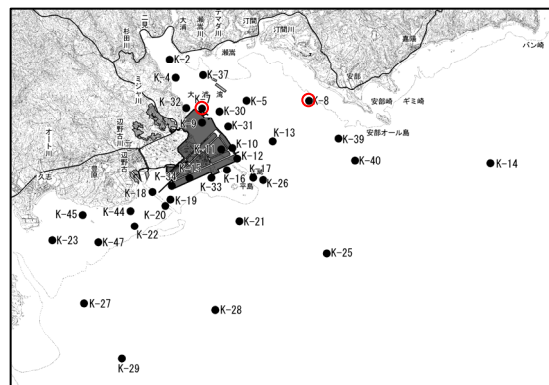


図-6. 6. 1. 18(2) 超音波流速計による調査結果に基づく秋季の流況頻度図

注) 調査期間：平成20年10月5日～11月6日





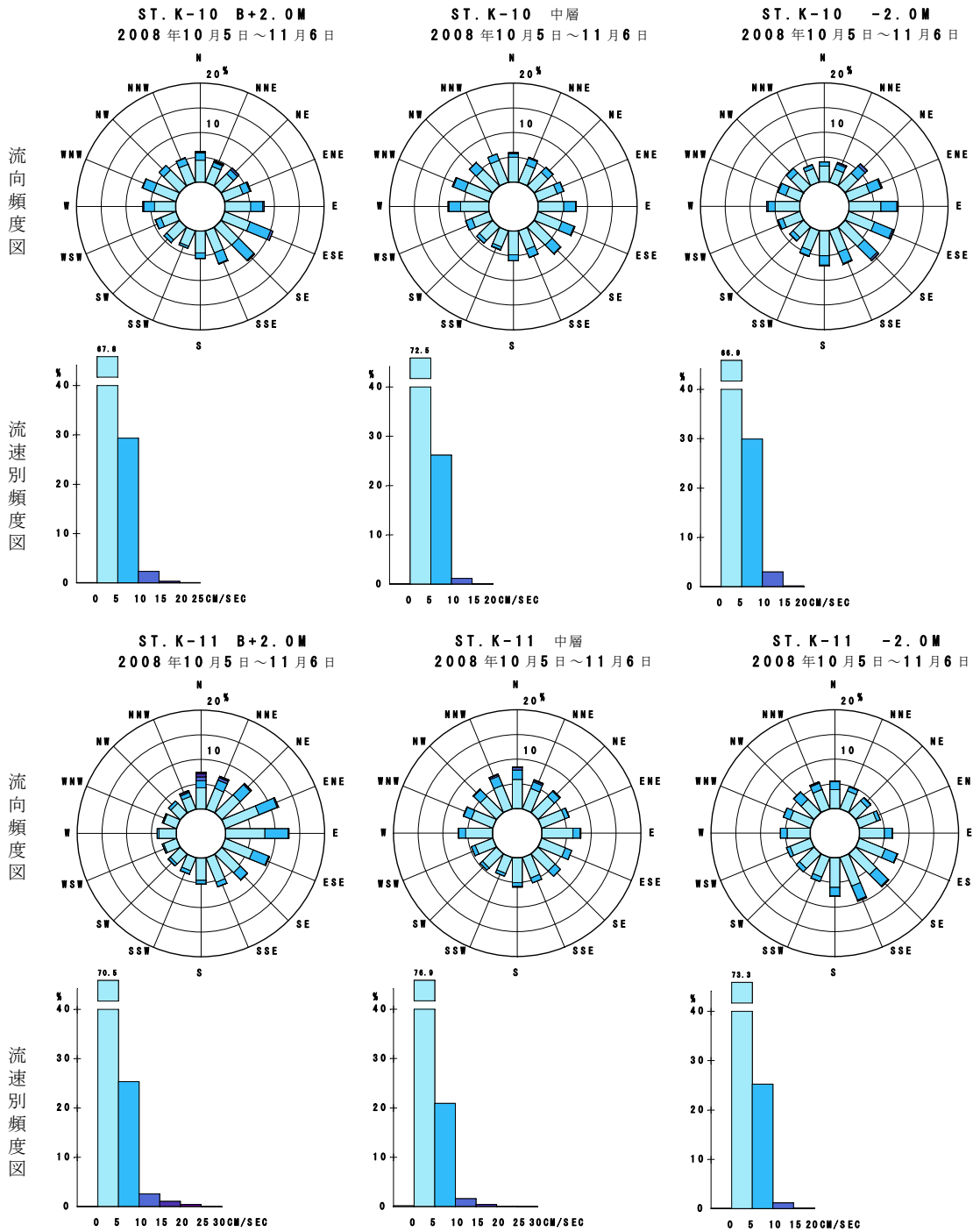
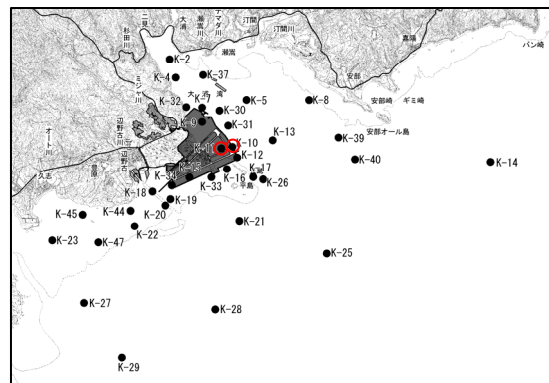


図-6. 6. 1. 18(3) 超音波流速計による調査結果に基づく秋季の流況頻度図

注) 調査期間：平成 20 年 10 月 5 日～11 月 6 日



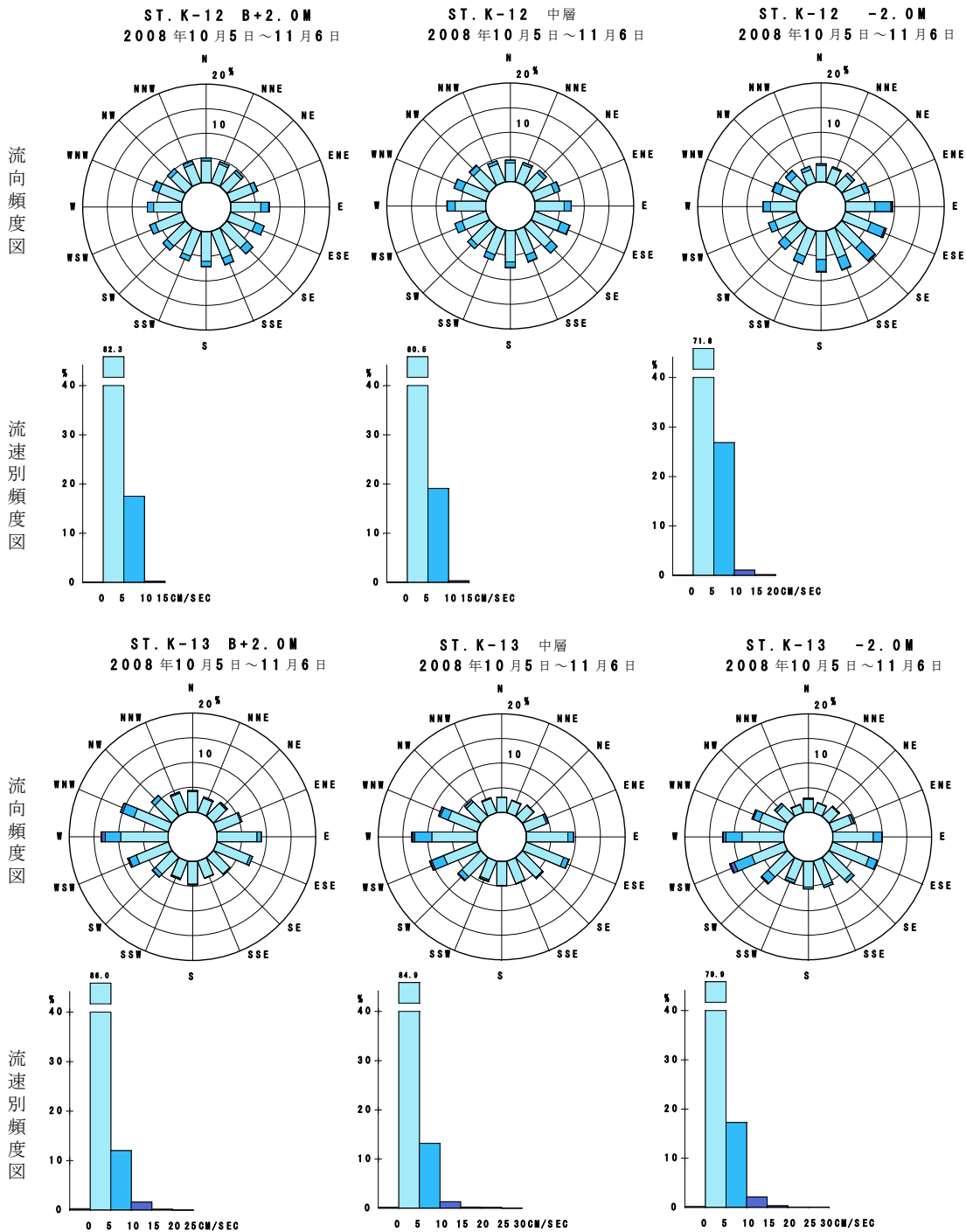
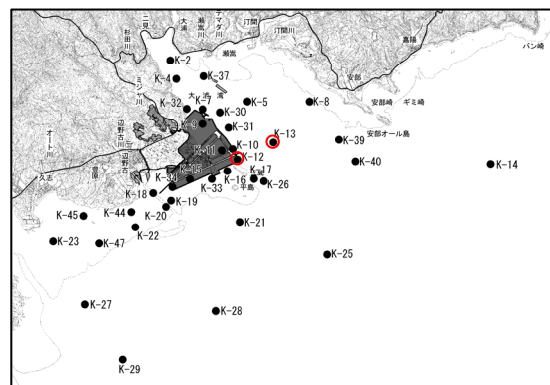


図-6. 6. 1. 18(4) 超音波流速計による調査結果に基づく秋季の流況頻度図

注) 調査期間：平成 20 年 10 月 5 日～11 月 6 日



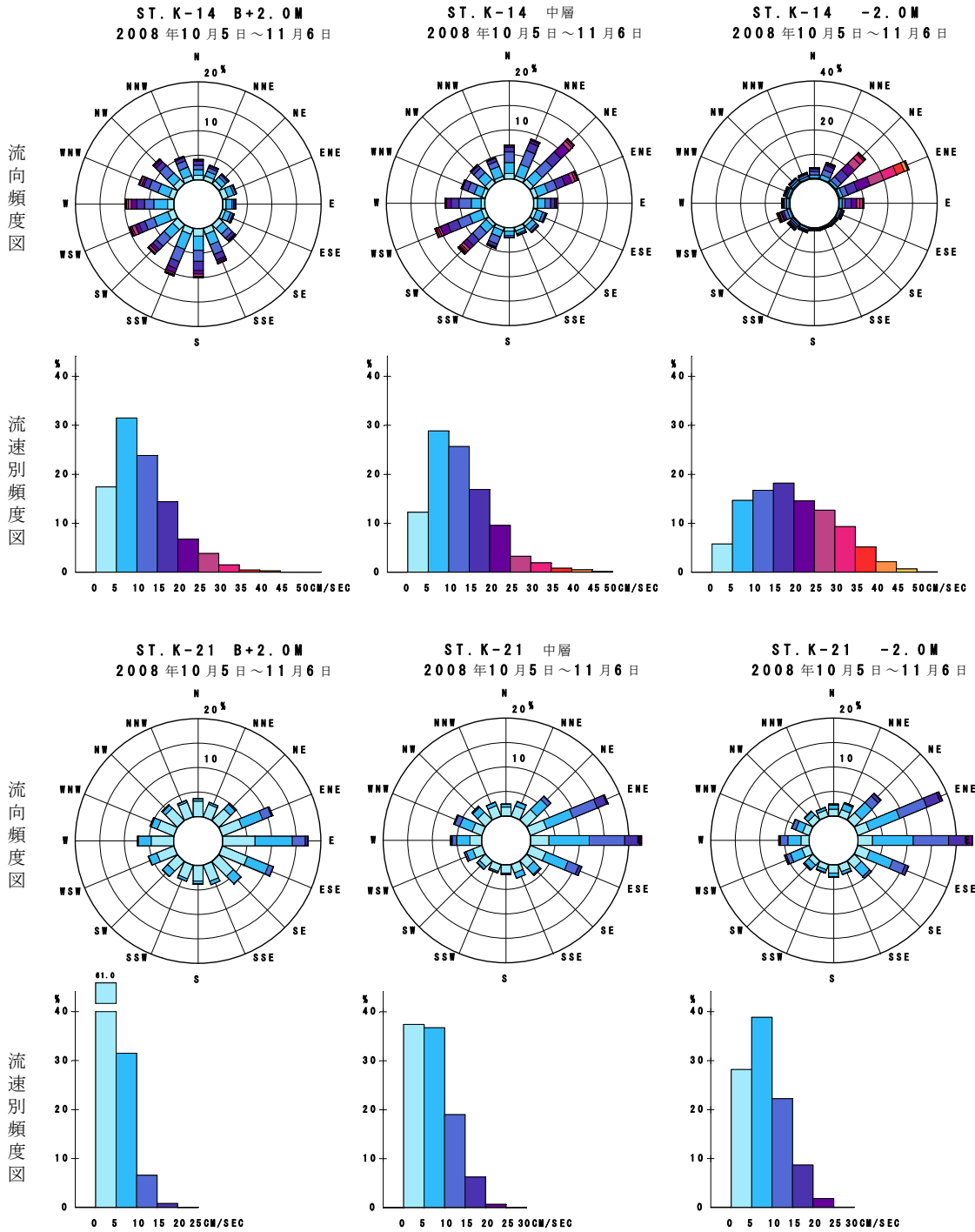
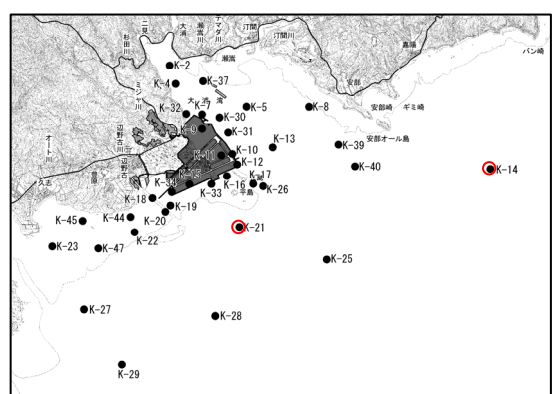


図-6. 6. 1. 18(5) 超音波流速計による調査結果に基づく秋季の流況頻度図

注) 調査期間：平成 20 年 10 月 5 日～11 月 6 日



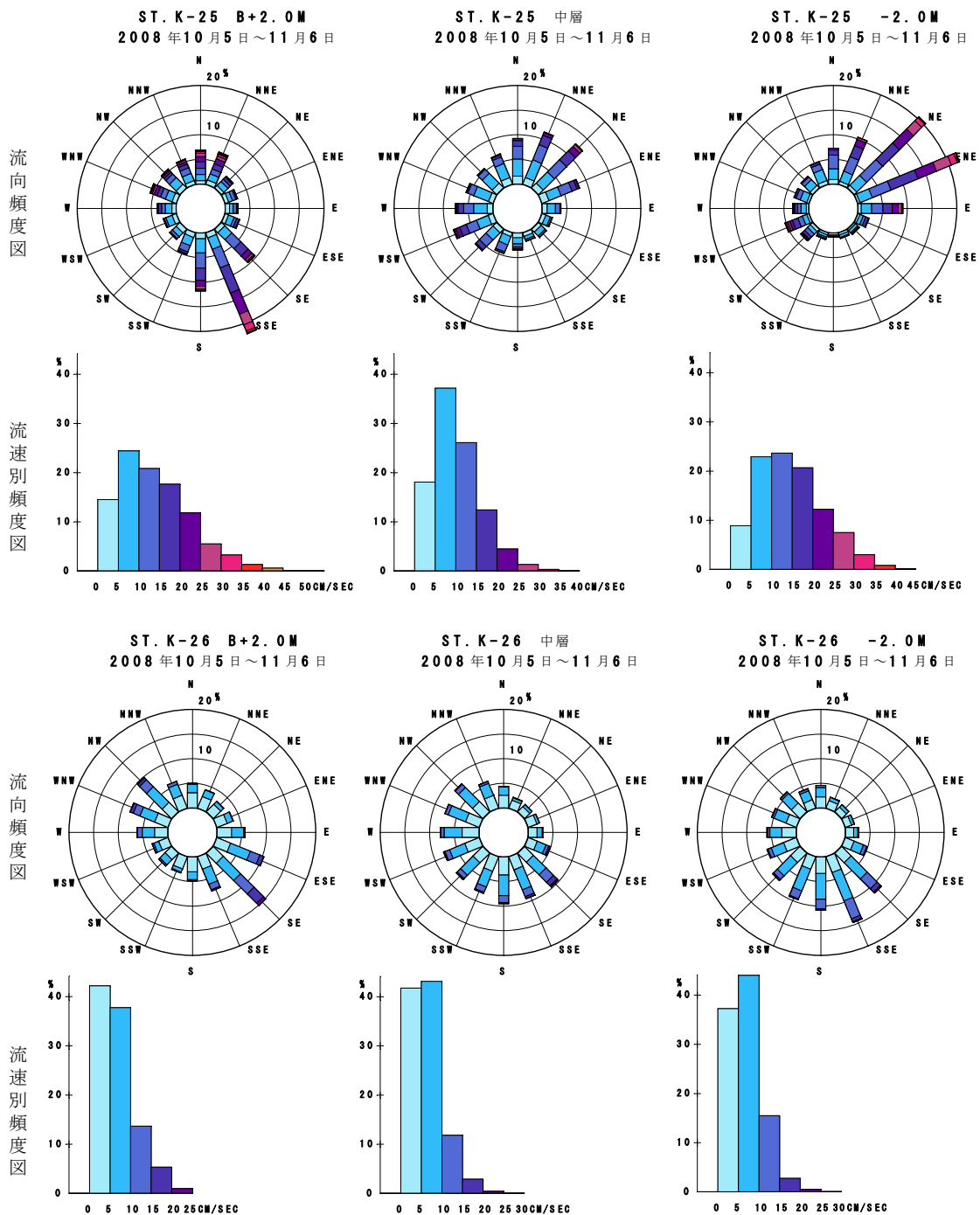
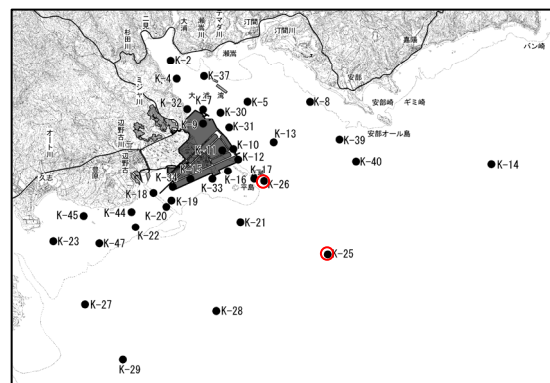


図-6.6.1.18(6) 超音波流速計による調査結果に基づく秋季の流況頻度図

注) 調査期間：平成20年10月5日~11月6日



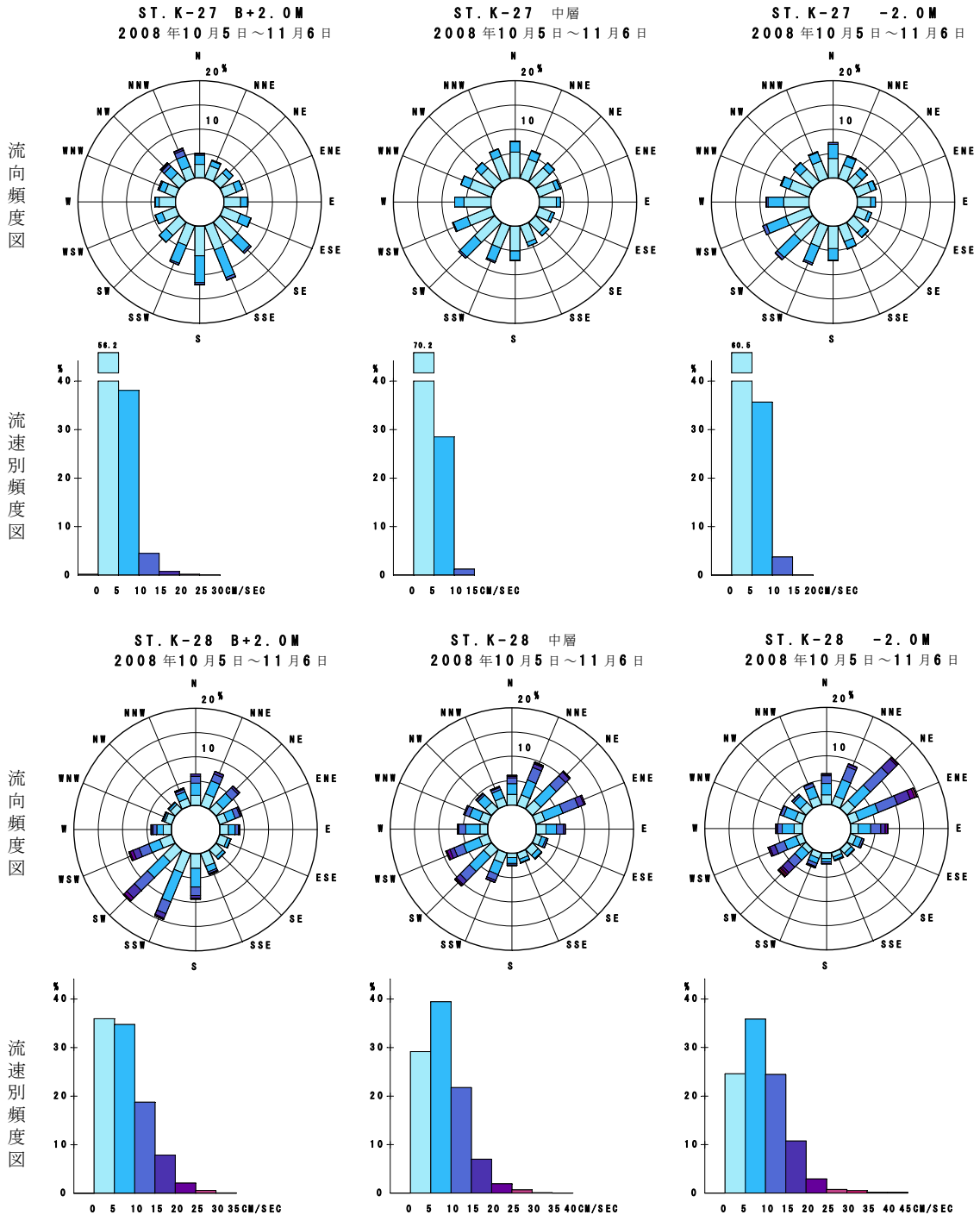
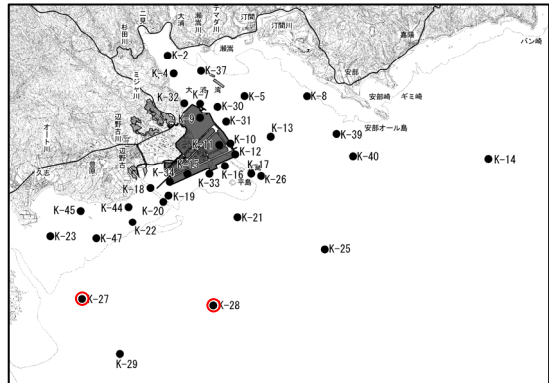


図-6. 6. 1. 18(7) 超音波流速計による調査結果に基づく秋季の流況頻度図

注) 調査期間：平成 20 年 10 月 5 日～11 月 6 日



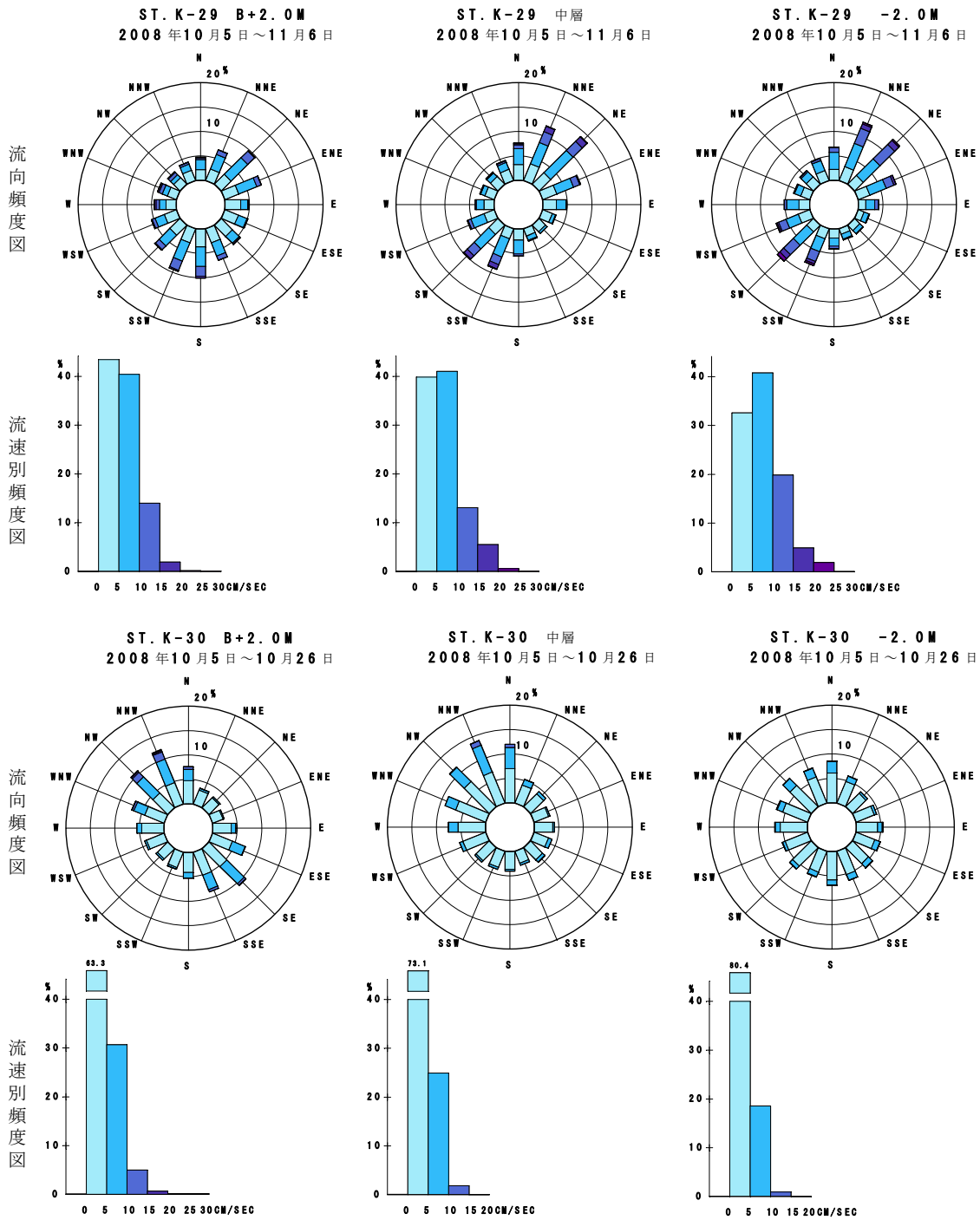
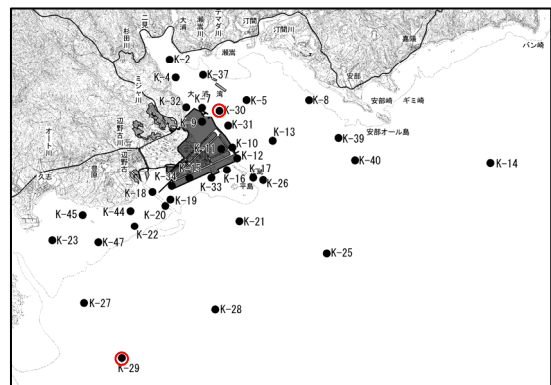


図-6. 6. 1. 18(8) 超音波流速計による調査結果に基づく秋季の流況頻度図

注) 調査期間：平成 20 年 10 月 5 日～11 月 6 日



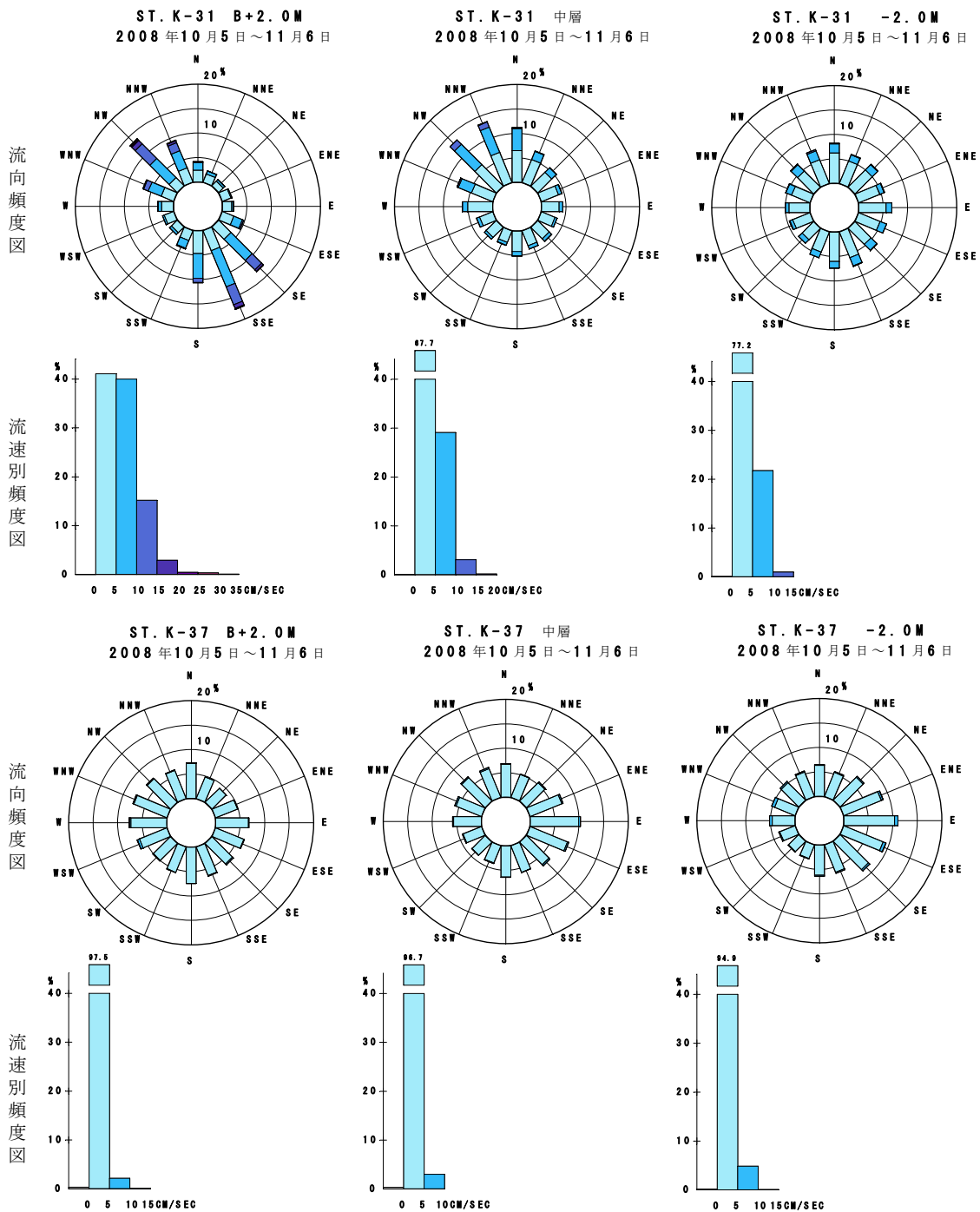
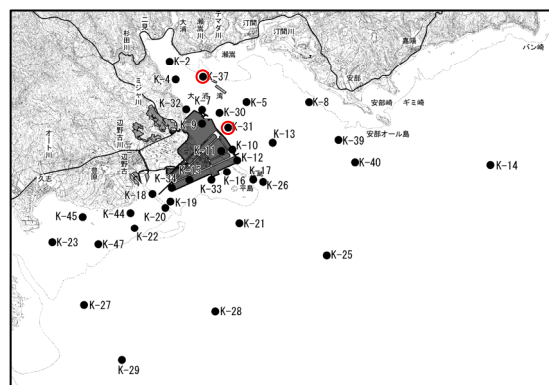


図-6. 6. 1. 18(9) 超音波流速計による調査結果に基づく秋季の流況頻度図

注) 調査期間：平成 20 年 10 月 5 日～11 月 6 日





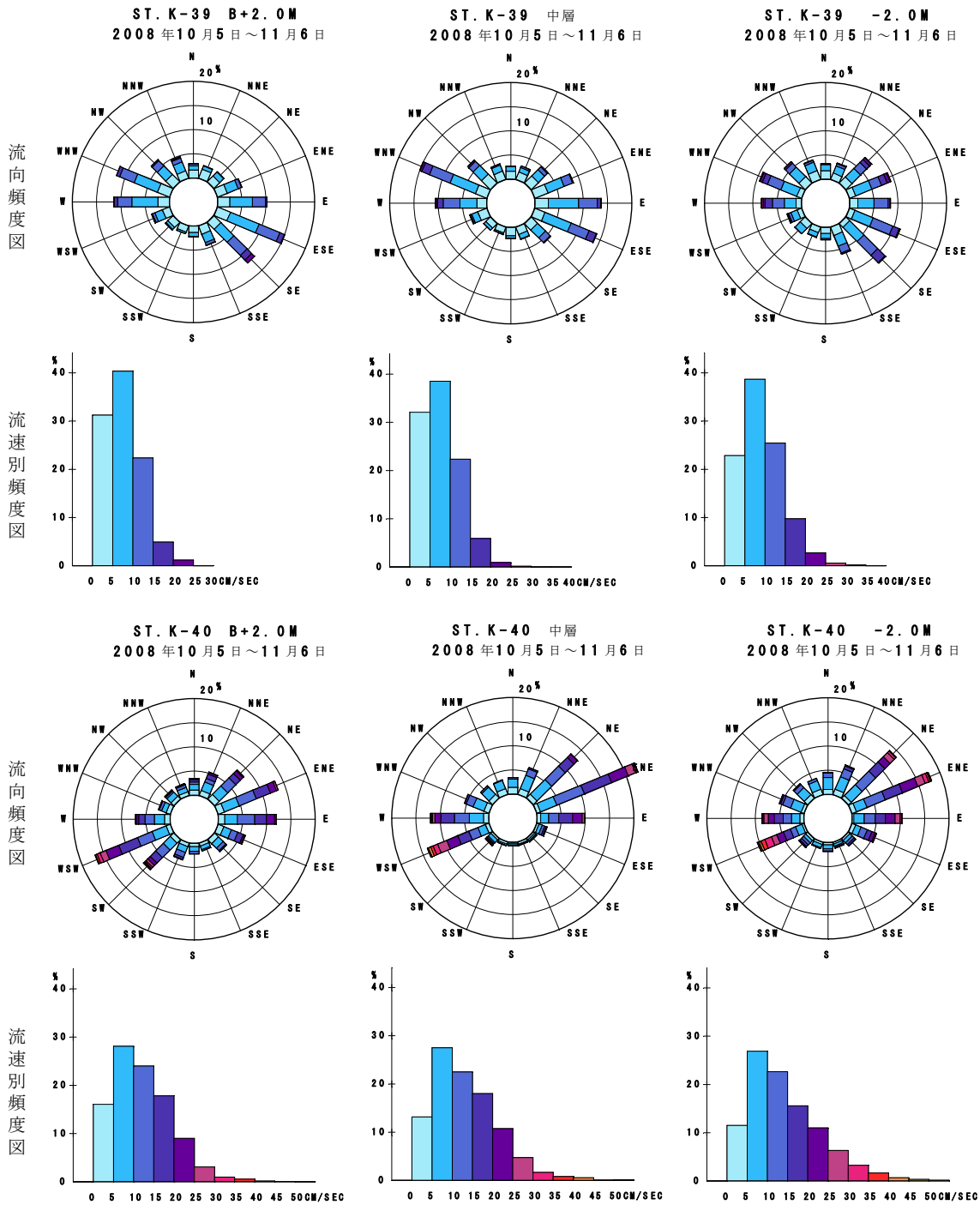
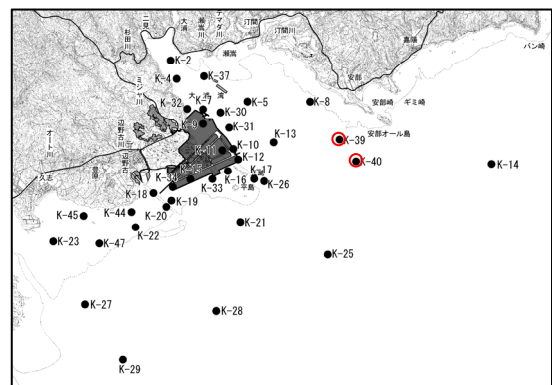


図-6.6.1.18(10) 超音波流速計による調査結果に基づく秋季の流況頻度図

注) 調査期間：平成20年10月5日～11月6日



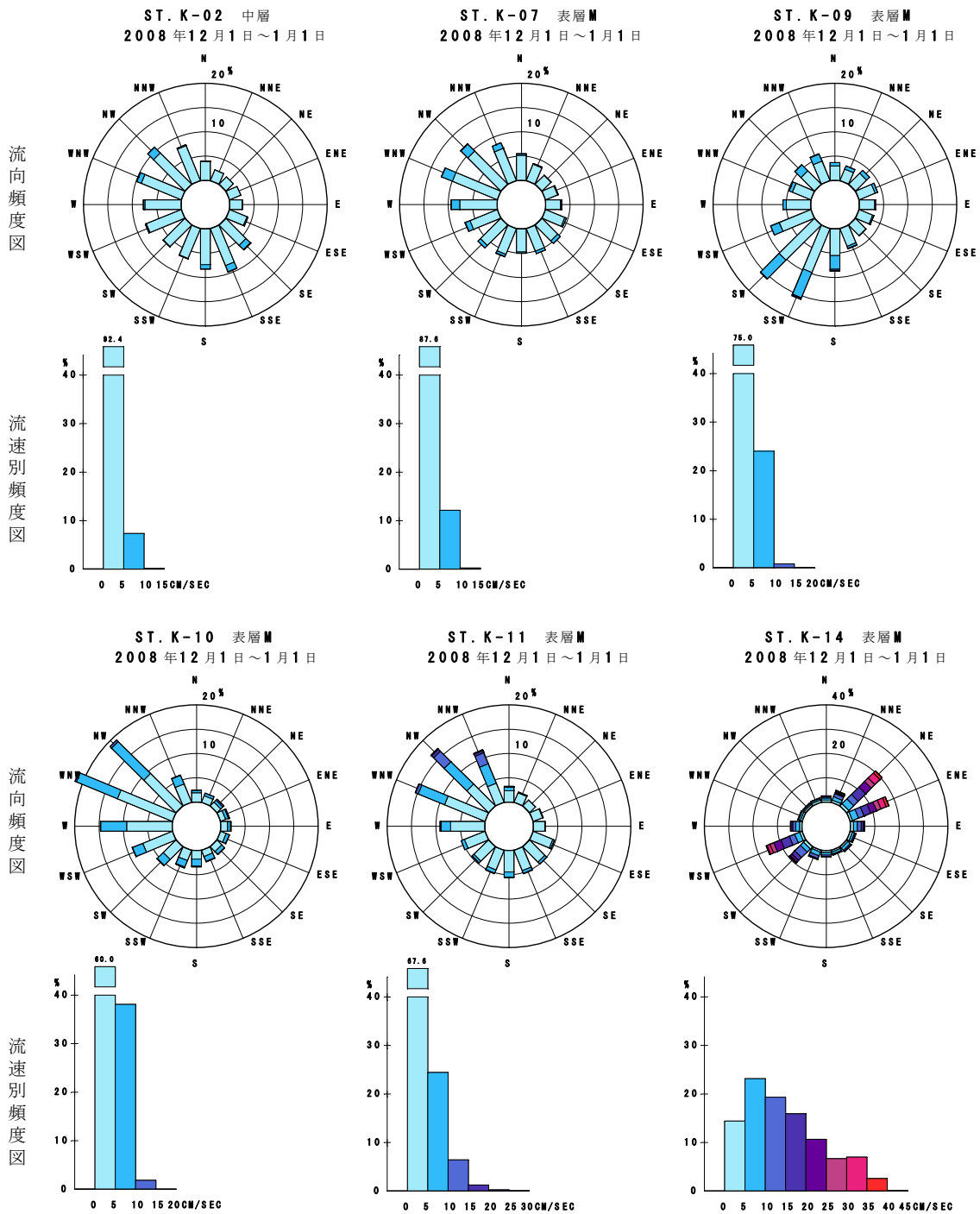
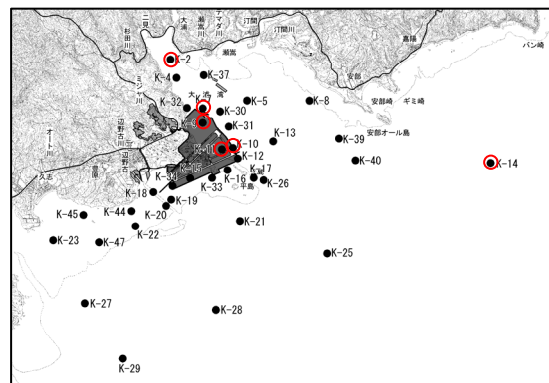


図-6. 6. 1. 19(1) 電磁流速計による調査結果に基づく冬季の流況頻度図

注) 調査期間：平成20年12月1日～平成21年1月1日



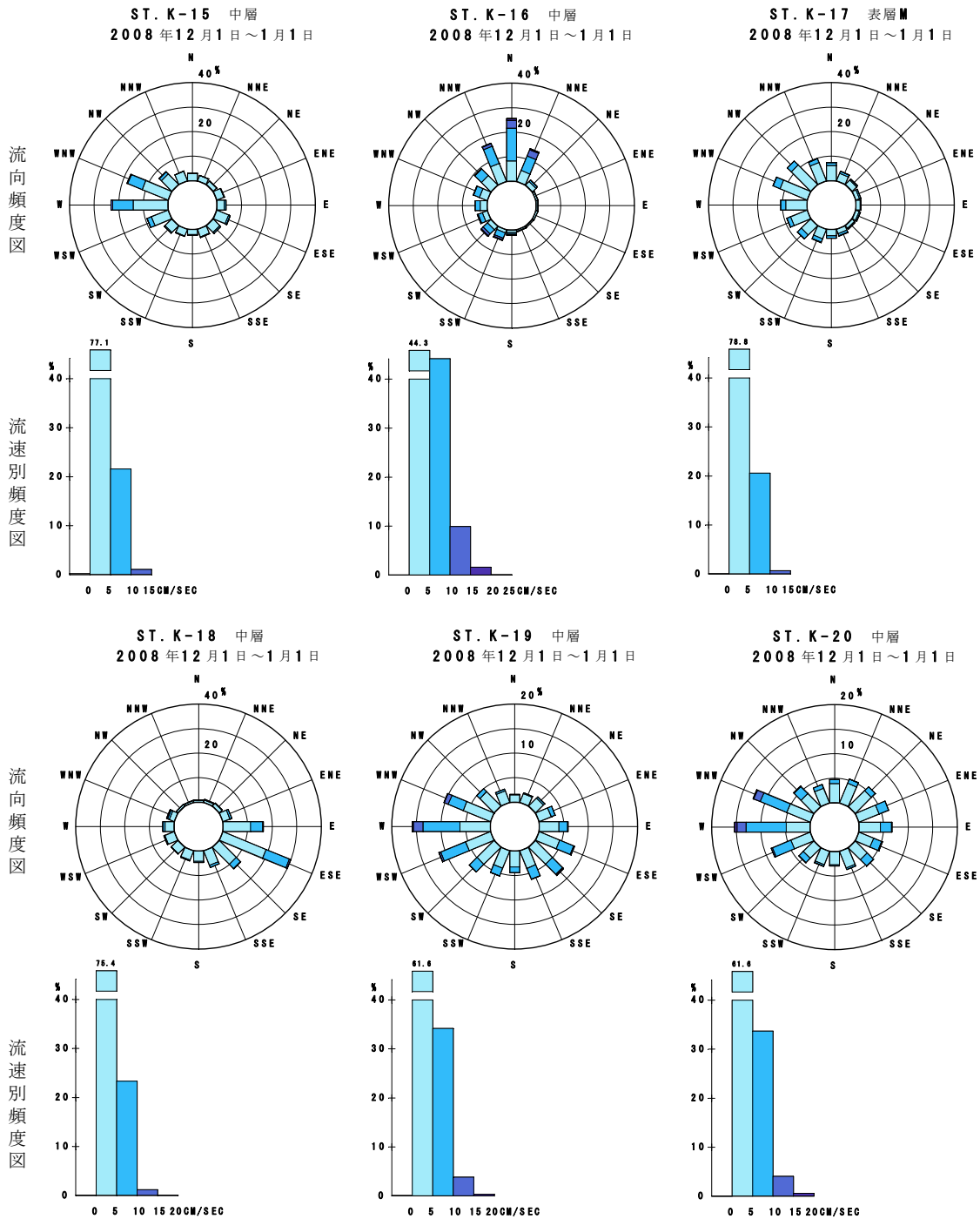
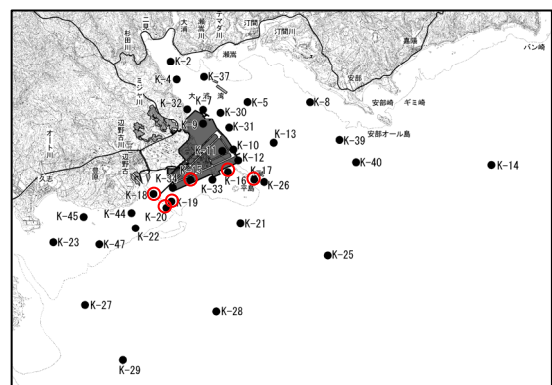


図-6. 6. 1. 19(2) 電磁流速計による調査結果に基づく冬季の流況頻度図

注) 調査期間：平成20年12月1日～平成21年1月1日



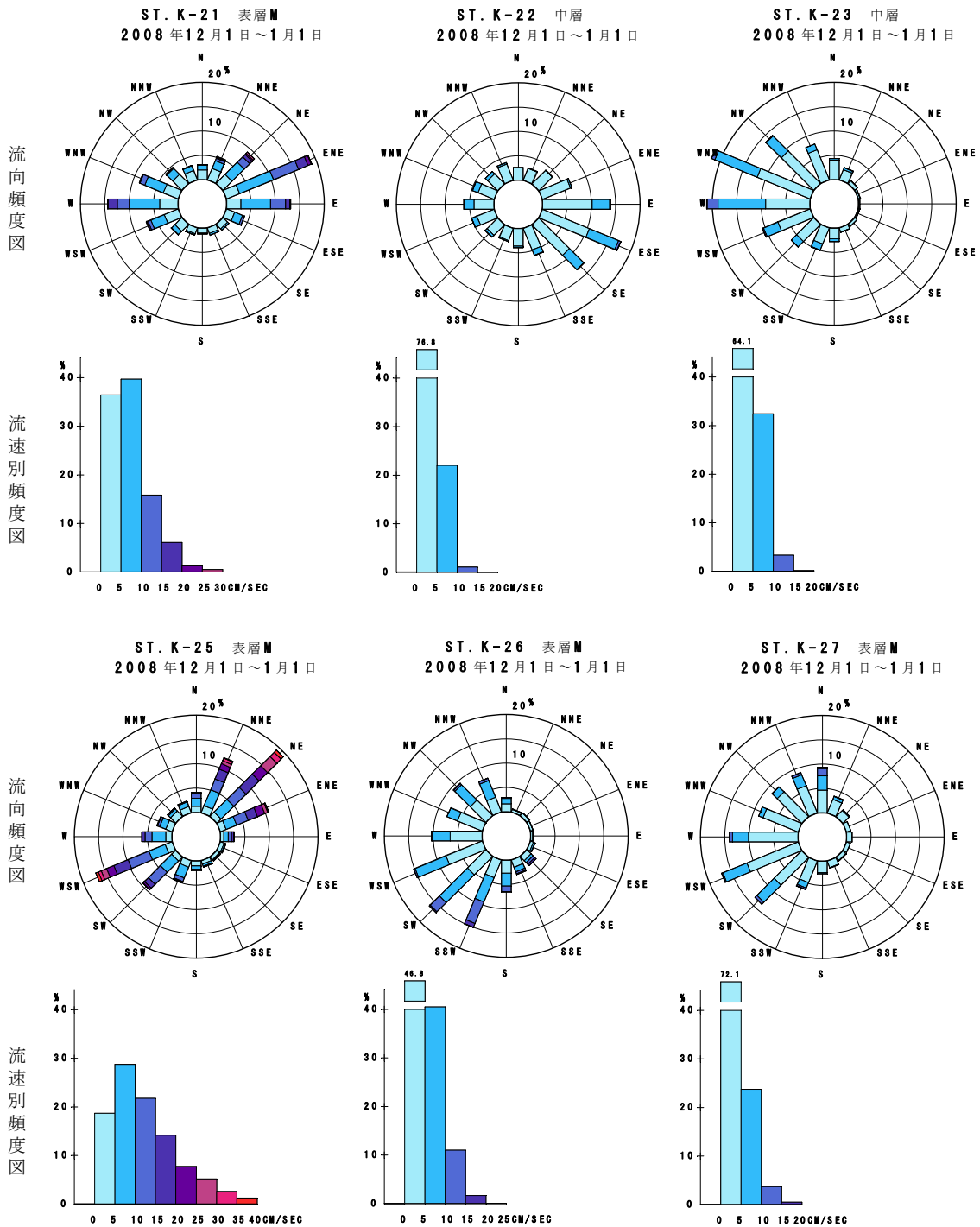
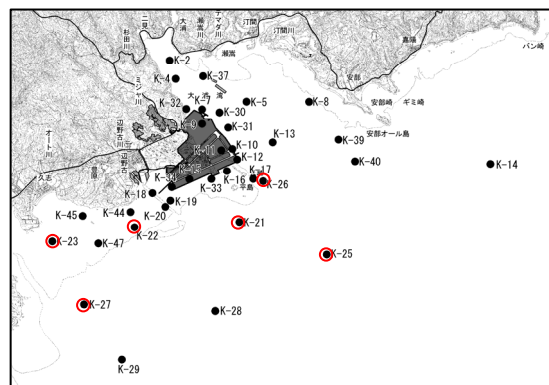


図-6. 6. 1. 19(3) 電磁流速計による調査結果に基づく冬季の流況頻度図

注) 調査期間：平成 20 年 12 月 1 日～平成 21 年 1 月 1 日



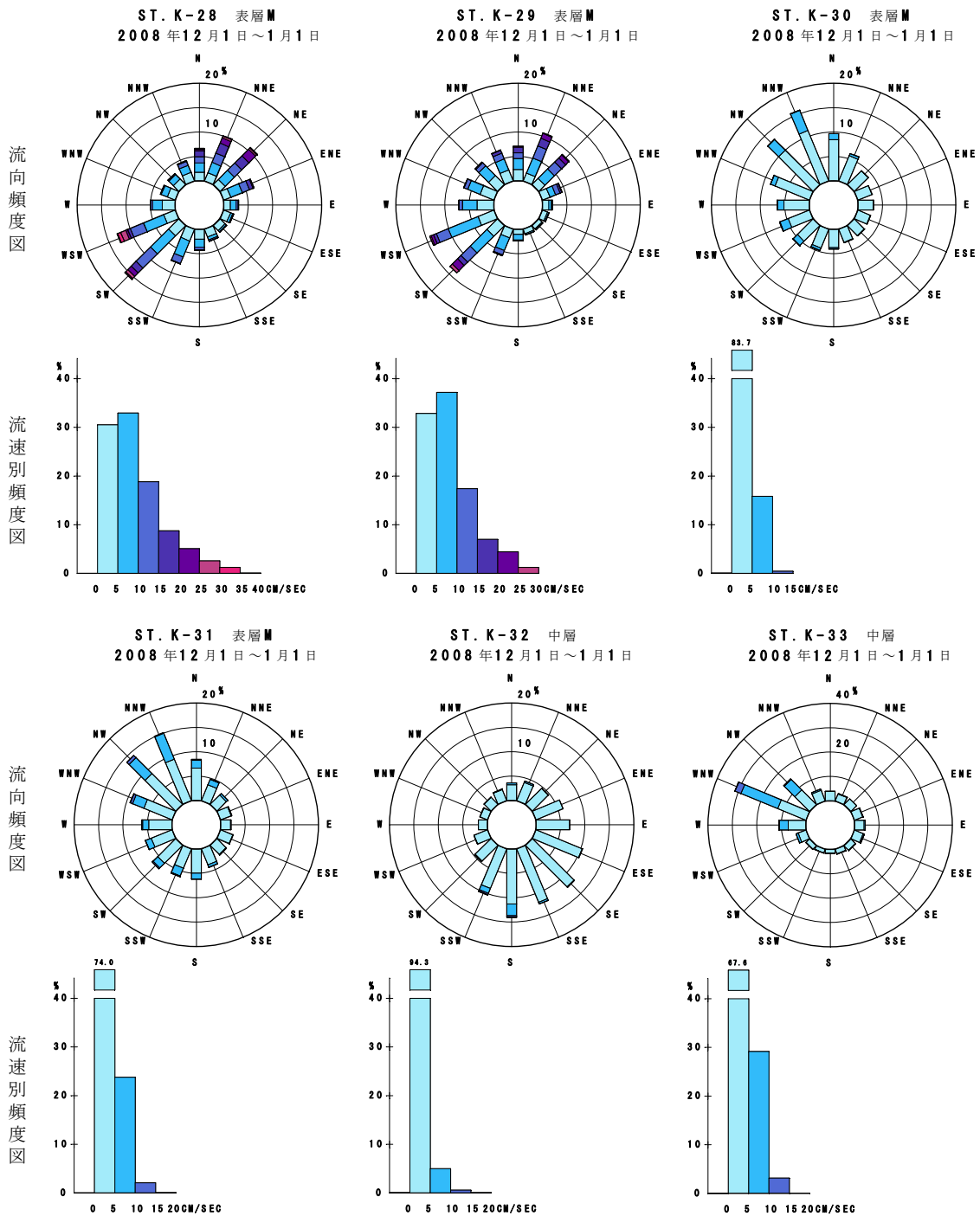
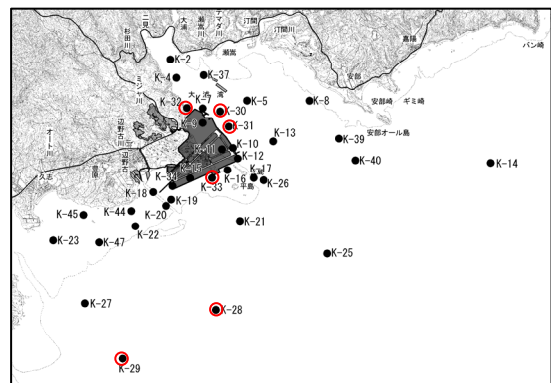


図-6. 6. 1. 19(4) 電磁流速計による調査結果に基づく冬季の流況頻度図

注) 調査期間：平成20年12月1日～平成21年1月1日



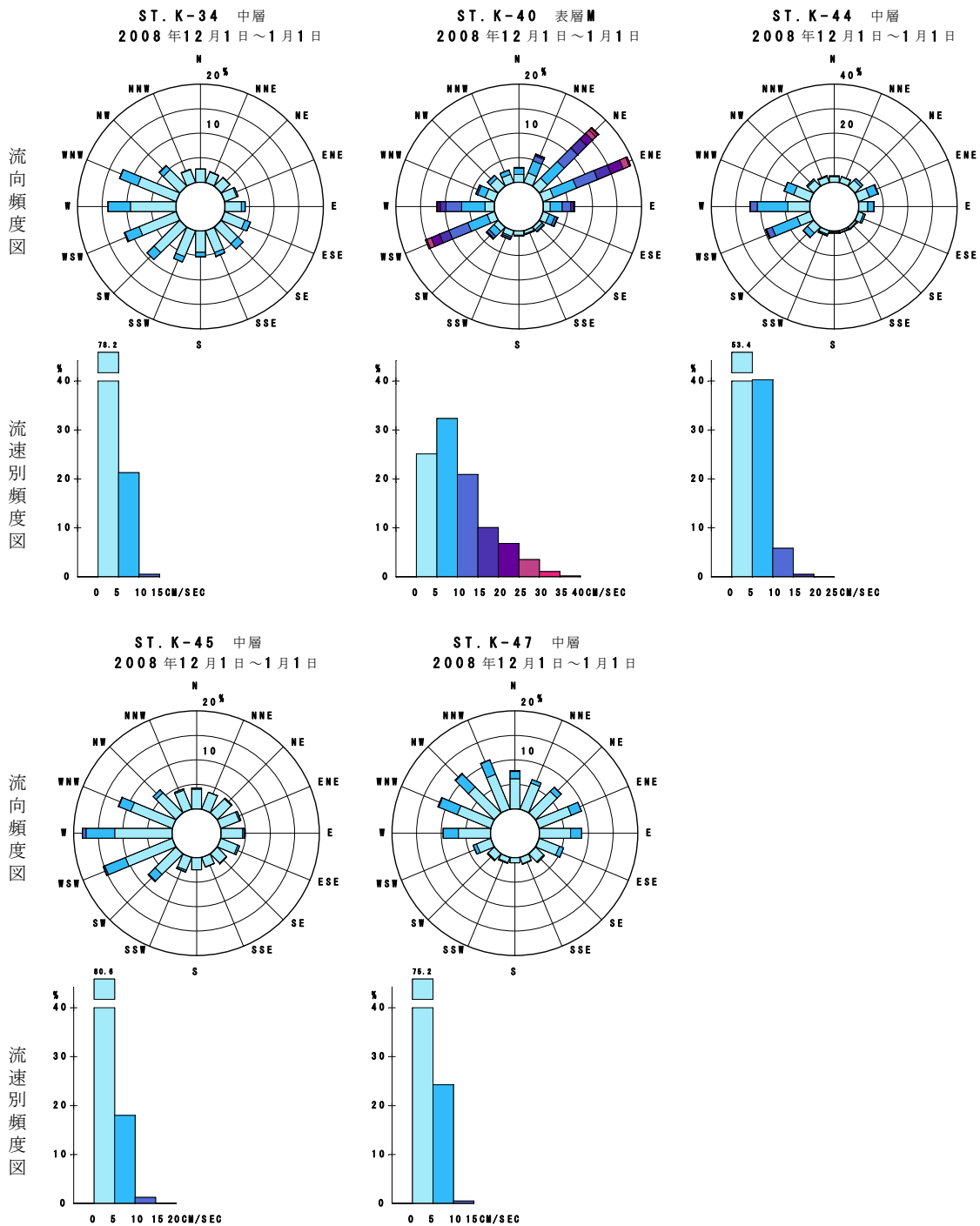
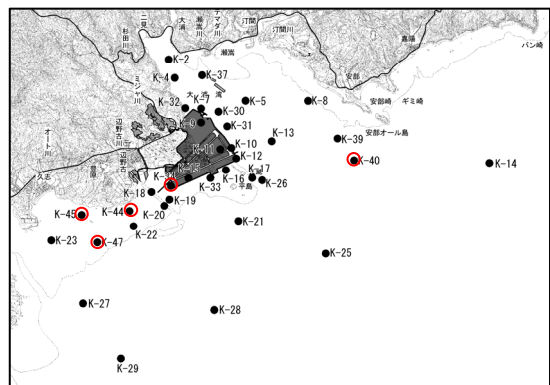


図-6. 6. 1. 19(5) 電磁流速計による調査結果に基づく冬季の流況頻度図

注) 調査期間：平成20年12月1日～平成21年1月1日



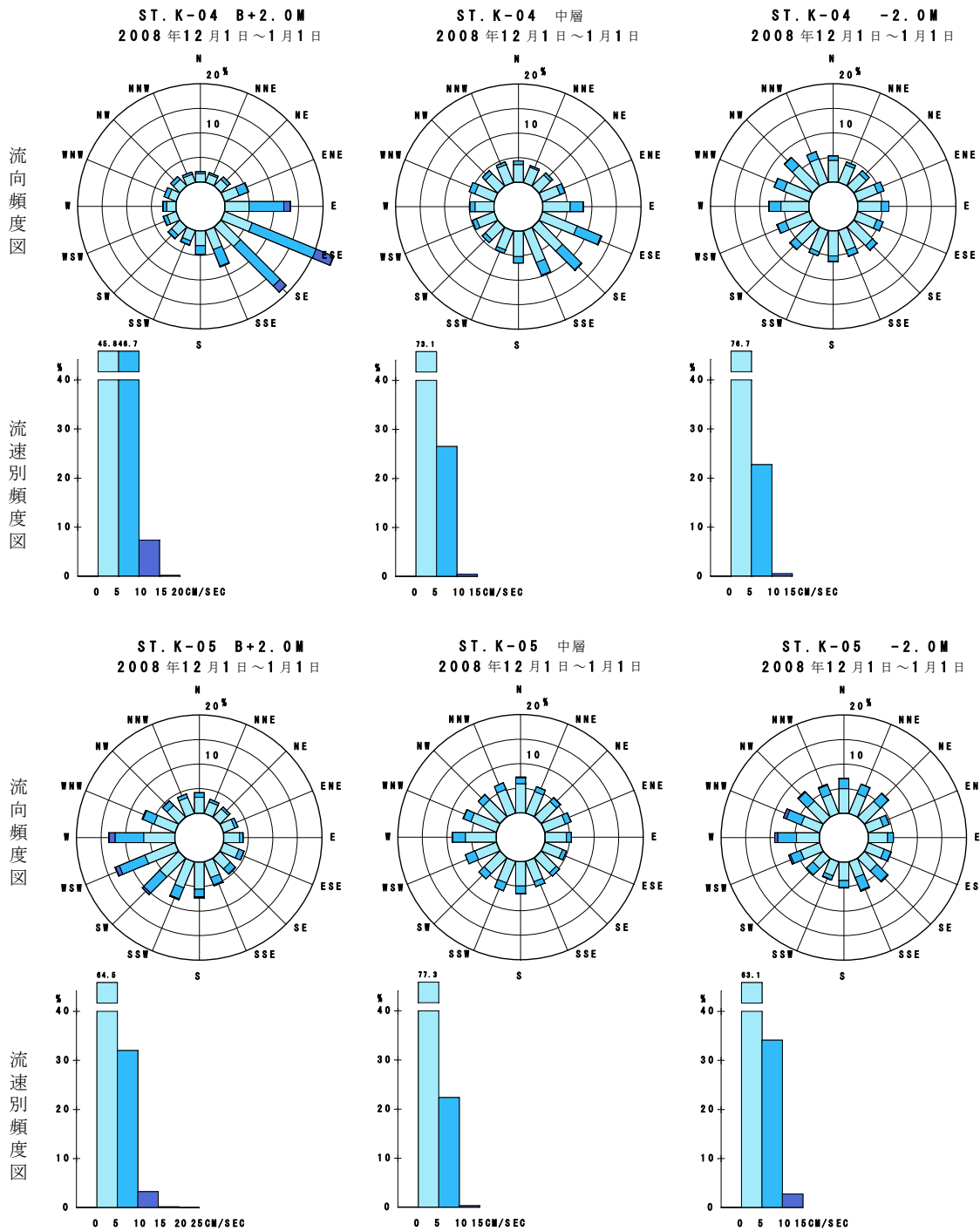
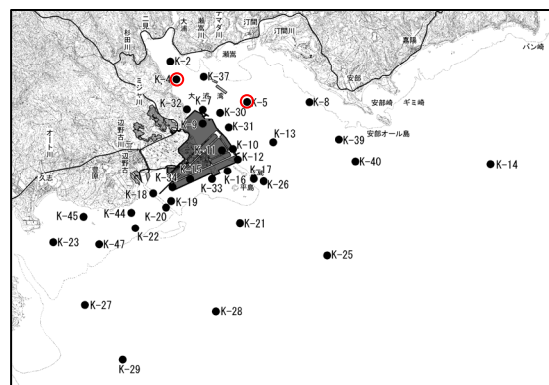


図-6. 6. 1. 20(1) 超音波流速計による調査結果に基づく冬季の流況頻度図

注) 調査期間：平成 20 年 12 月 1 日～平成 21 年 1 月 1 日





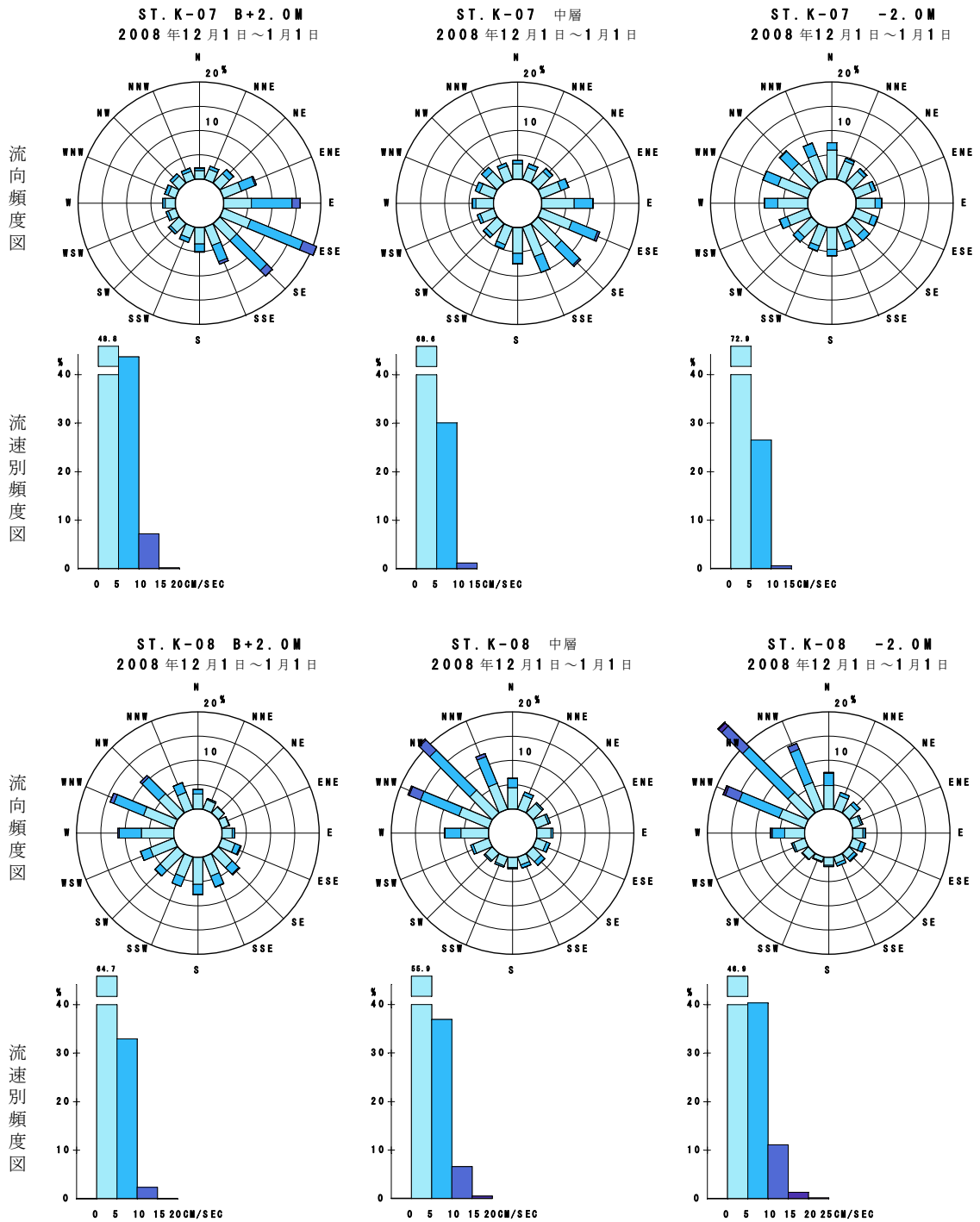
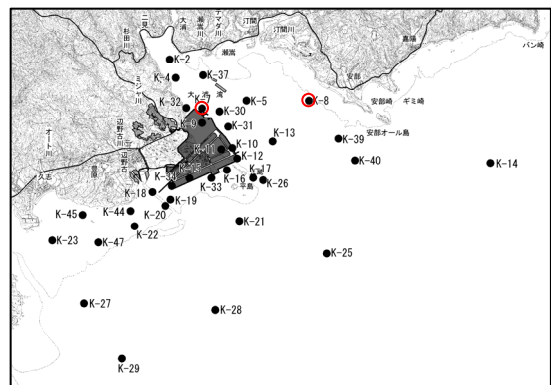


図-6. 6. 1. 20(2) 超音波流速計による調査結果に基づく冬季の流況頻度図

注) 調査期間：平成 20 年 12 月 1 日～平成 21 年 1 月 1 日



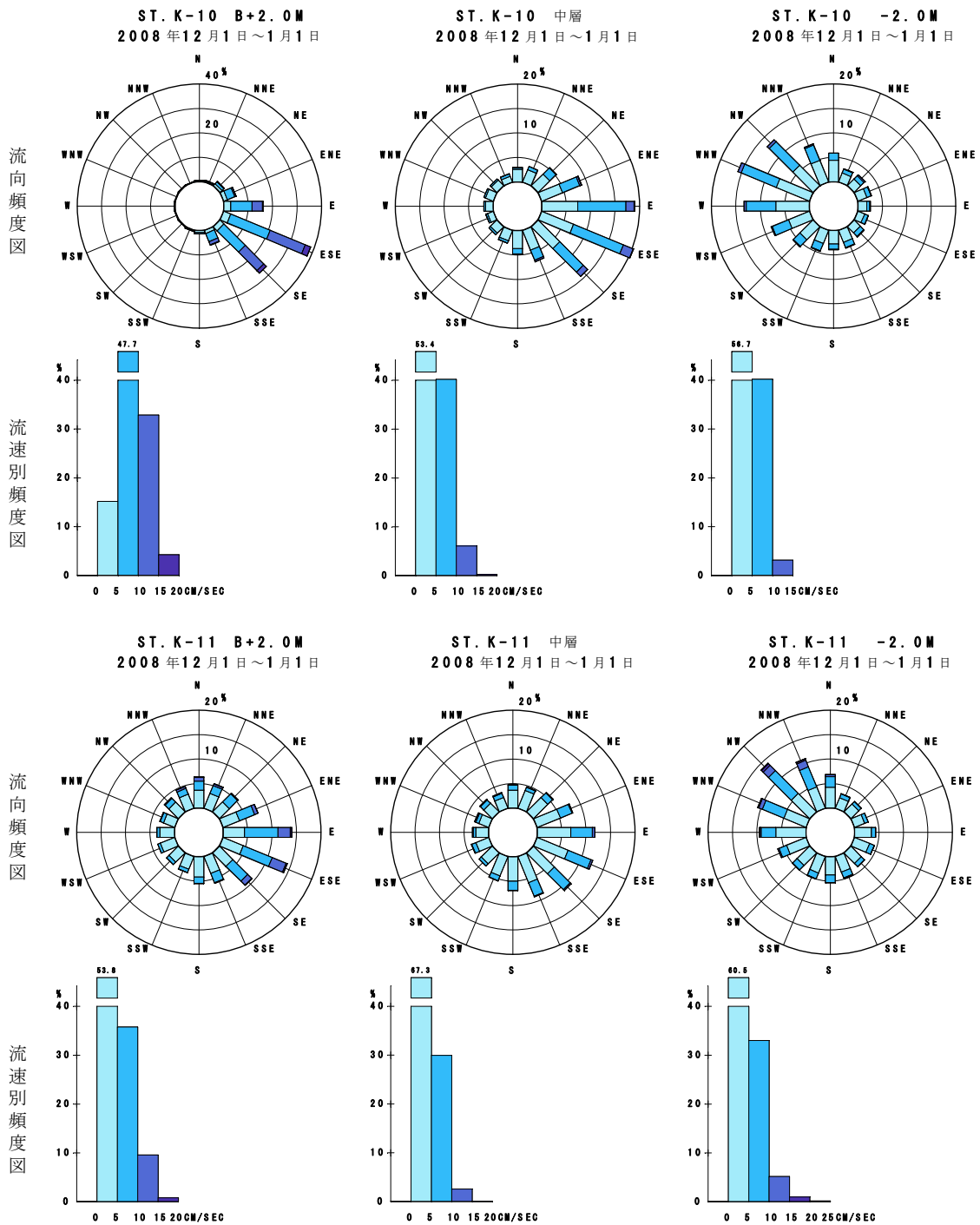
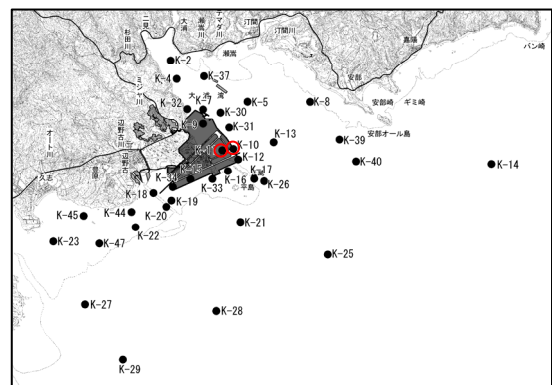


図-6. 6. 1. 20(3) 超音波流速計による調査結果に基づく冬季の流況頻度図

注) 調査期間：平成 20 年 12 月 1 日～平成 21 年 1 月 1 日



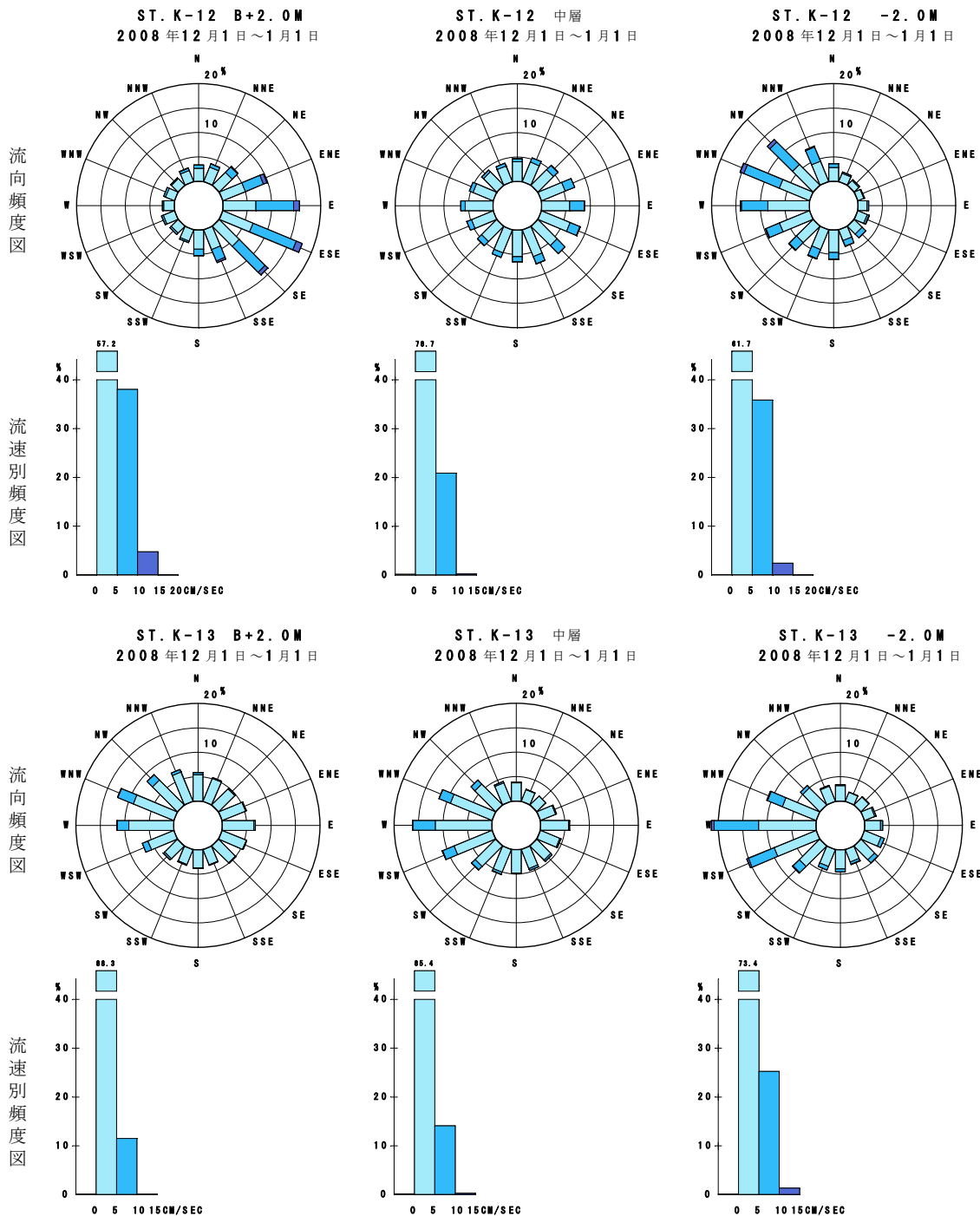
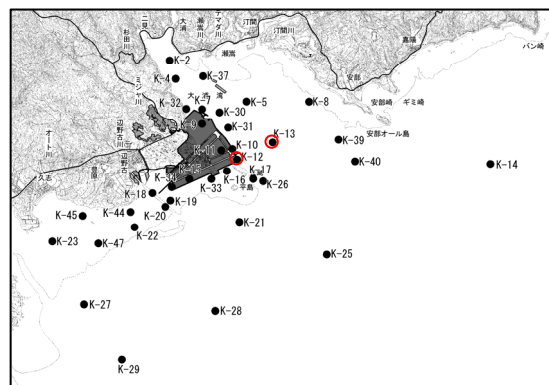


図-6. 6. 1. 20(4) 超音波流速計による調査結果に基づく冬季の流況頻度図

注) 調査期間：平成 20 年 12 月 1 日～平成 21 年 1 月 1 日



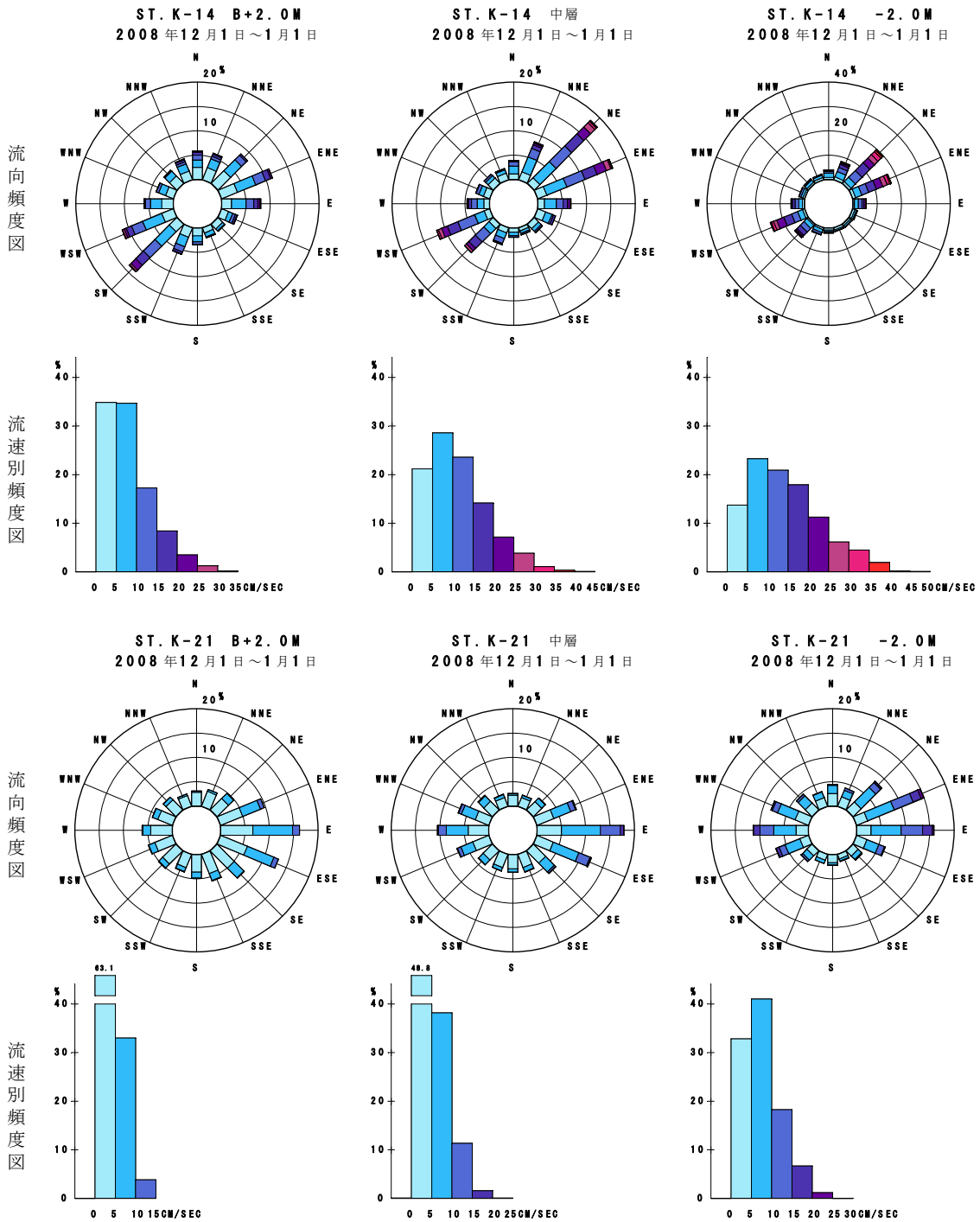
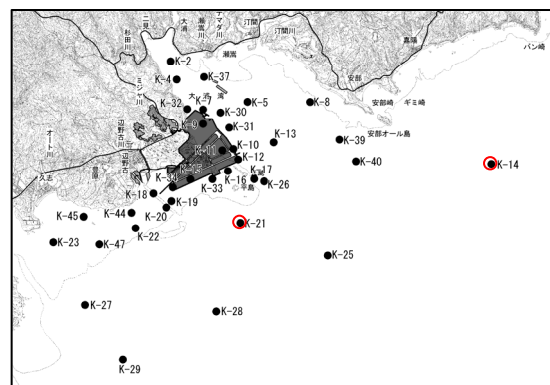


図-6. 6. 1. 20(5) 超音波流速計による調査結果に基づく冬季の流況頻度図

注) 調査期間：平成20年12月1日~平成21年1月1日



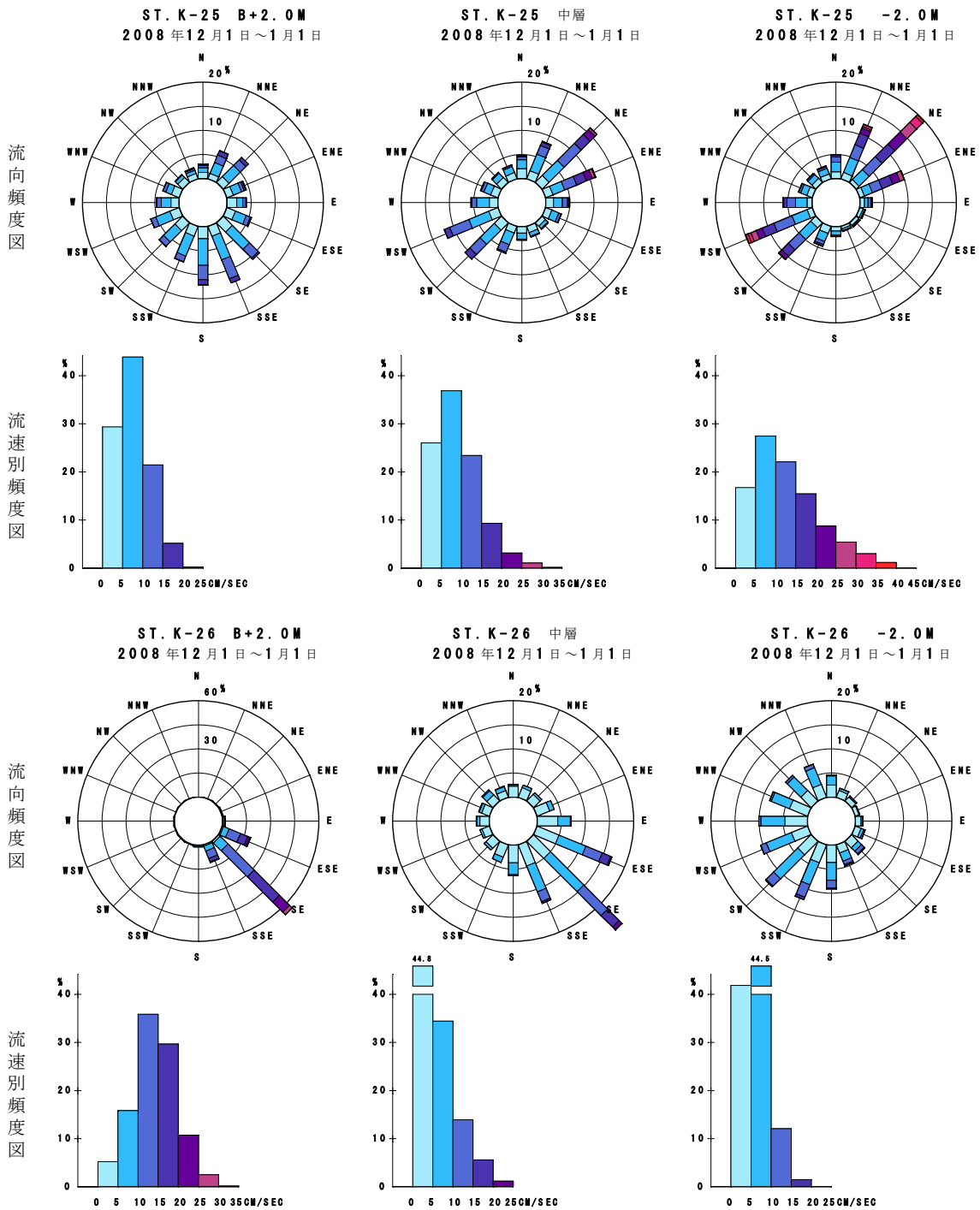
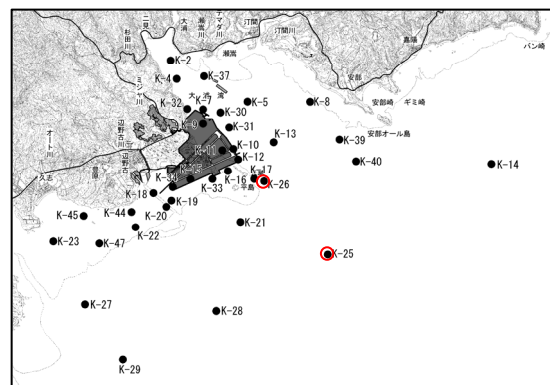


図-6. 6. 1. 20(6) 超音波流速計による調査結果に基づく冬季の流況頻度図

注) 調査期間：平成 20 年 12 月 1 日～平成 21 年 1 月 1 日



流向頻度図

流速別頻度図

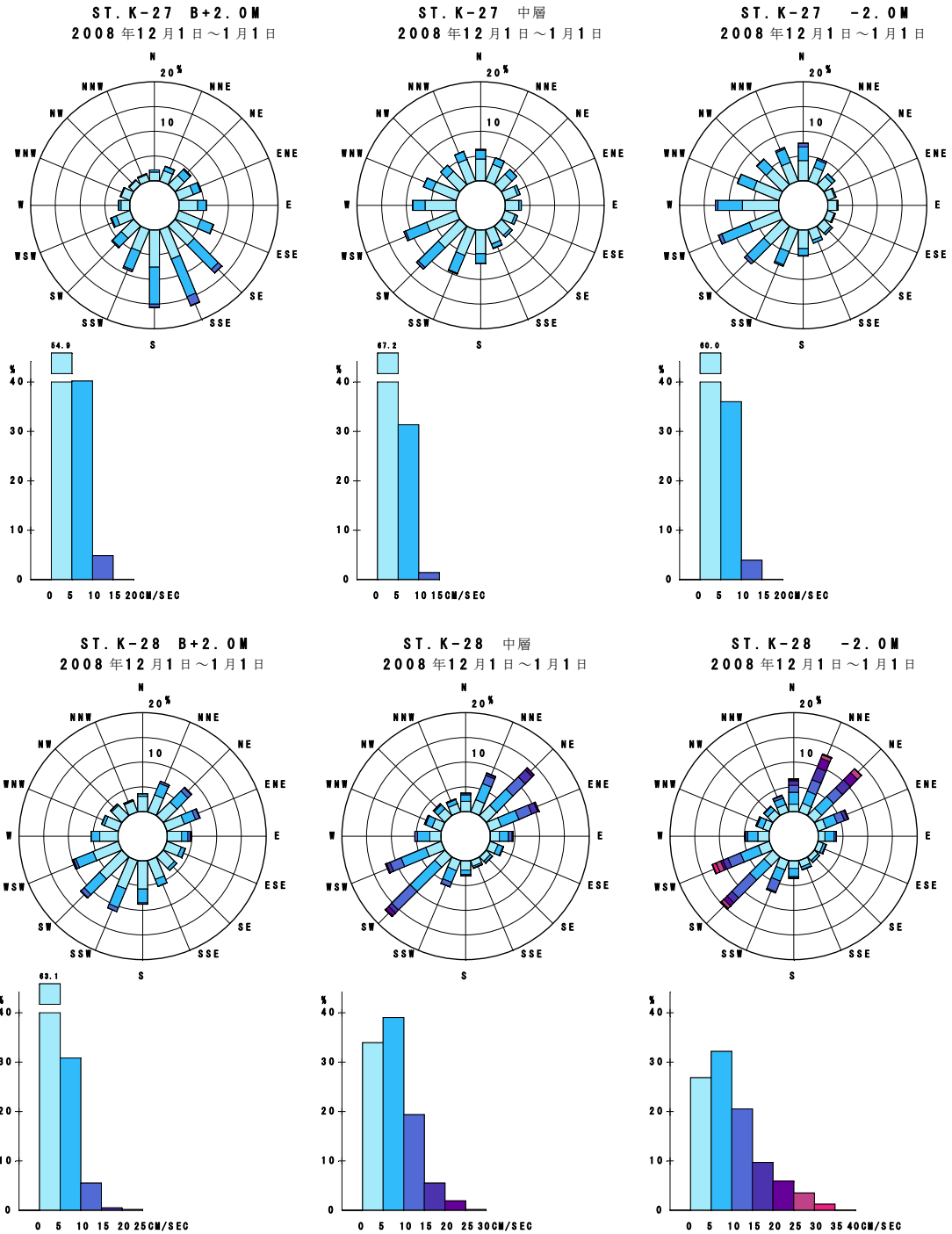
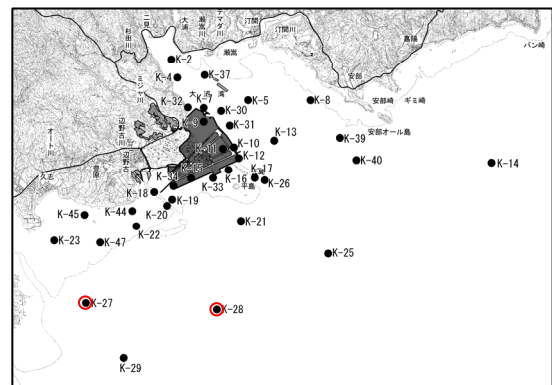


図-6. 6. 1. 20(7) 超音波流速計による調査結果に基づく冬季の流況頻度図

注) 調査期間：平成20年12月1日～平成21年1月1日



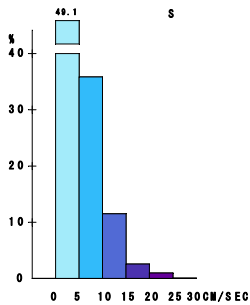
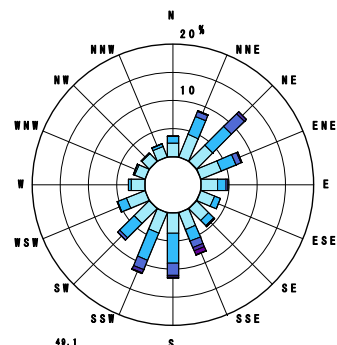
流向頻度図

流速別頻度図

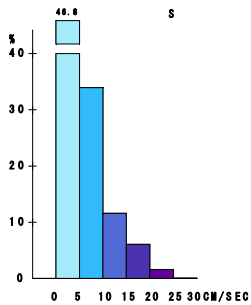
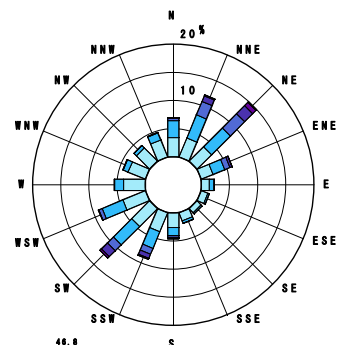
流向頻度図

流速別頻度図

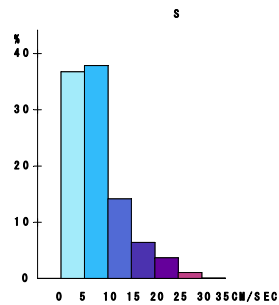
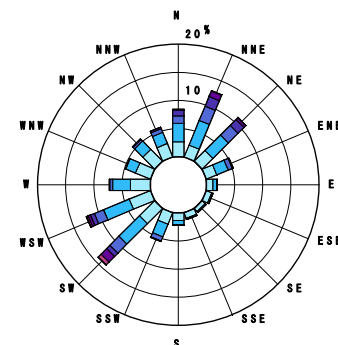
ST. K-29 B+2.0M  
2008年12月1日～1月1日



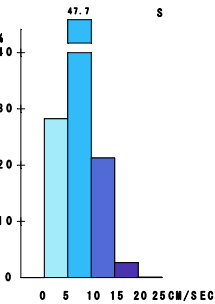
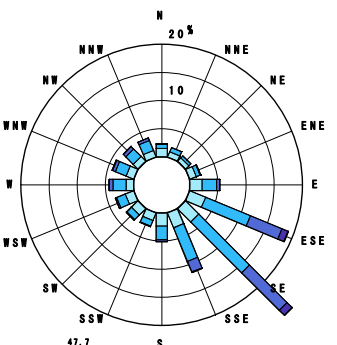
ST. K-29 中層  
2008年12月1日～1月1日



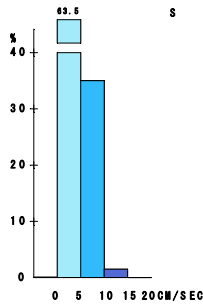
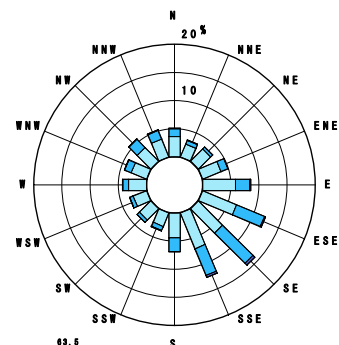
ST. K-29 -2.0M  
2008年12月1日～1月1日



ST. K-30 B+2.0M  
2008年12月1日～1月1日



ST. K-30 中層  
2008年12月1日～1月1日



ST. K-30 -2.0M  
2008年12月1日～1月1日

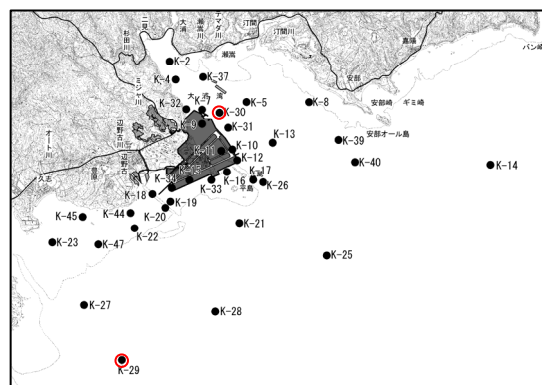
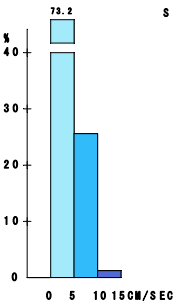
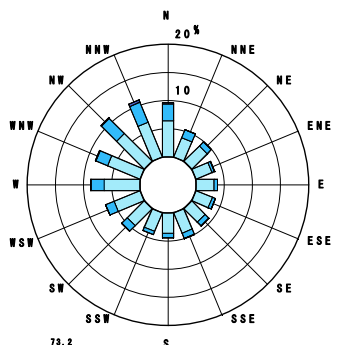


図-6. 6. 1. 20(8) 超音波流速計による調査結果に基づく冬季の流況頻度図

注) 調査期間：平成20年12月1日～平成21年1月1日



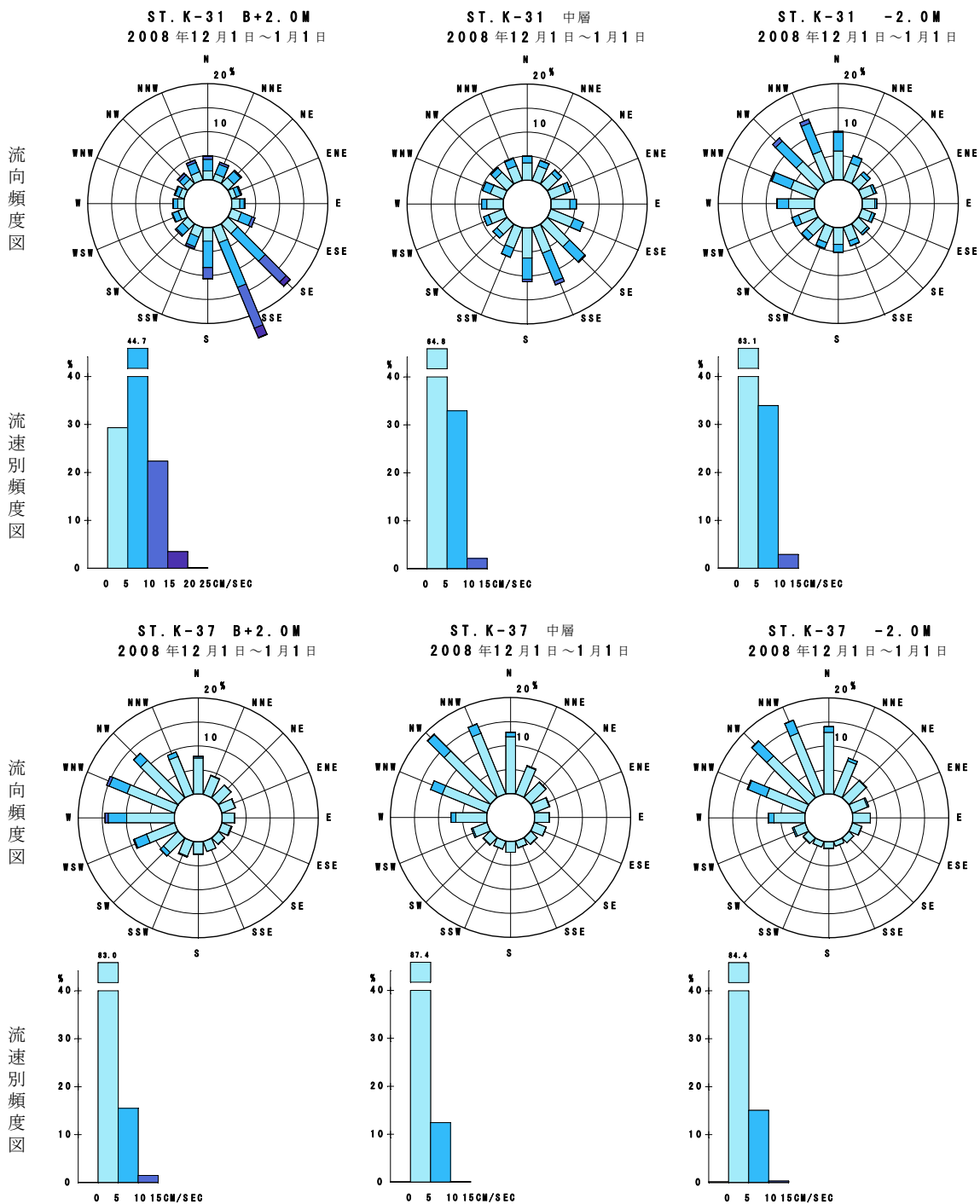
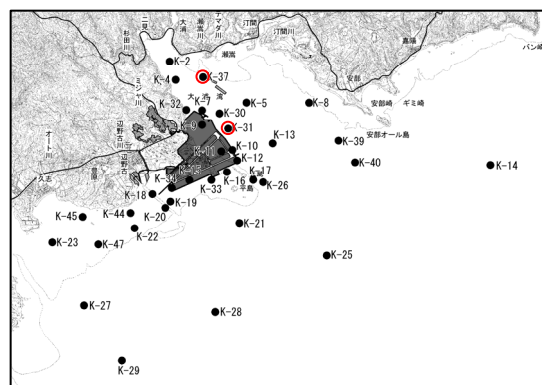


図-6. 6. 1. 20(9) 超音波流速計による調査結果に基づく冬季の流況頻度図

注) 調査期間：平成 20 年 12 月 1 日～平成 21 年 1 月 1 日



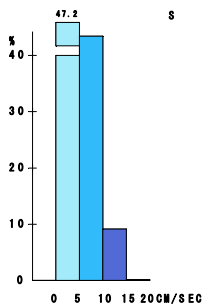
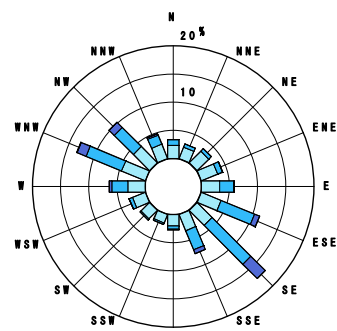
流向頻度図

流速別頻度図

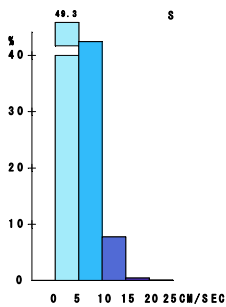
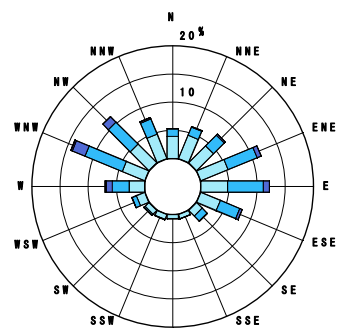
流向頻度図

流速別頻度図

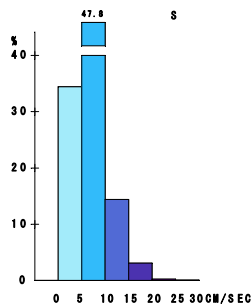
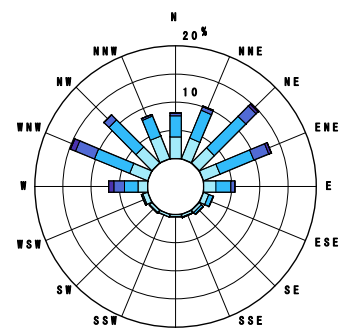
ST. K-39 B+2.0M  
2008年12月1日～1月1日



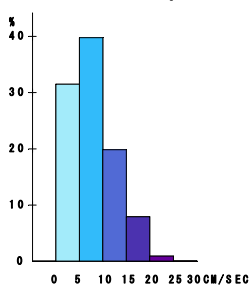
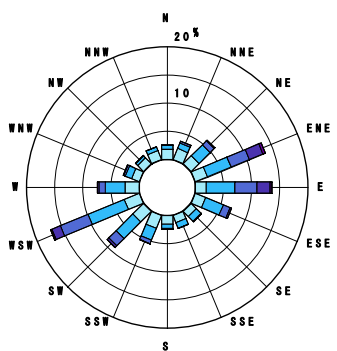
ST. K-39 中層  
2008年12月1日～1月1日



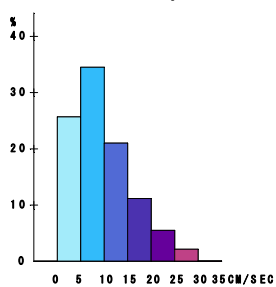
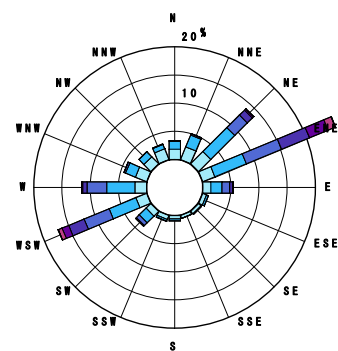
ST. K-39 -2.0M  
2008年12月1日～1月1日



ST. K-40 B+2.0M  
2008年12月1日～1月1日



ST. K-40 中層  
2008年12月1日～1月1日



ST. K-40 -2.0M  
2008年12月1日～1月1日

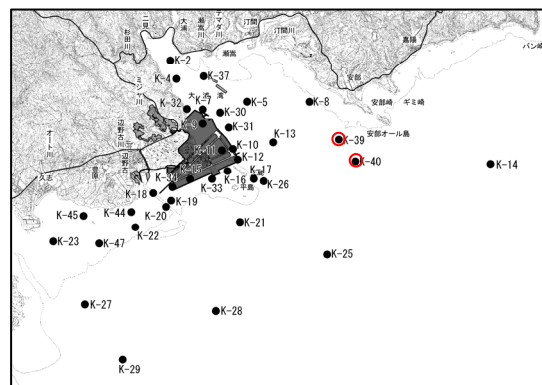
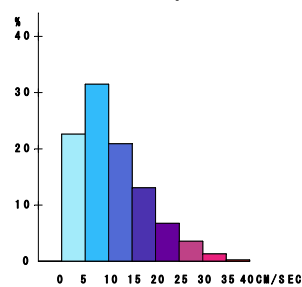
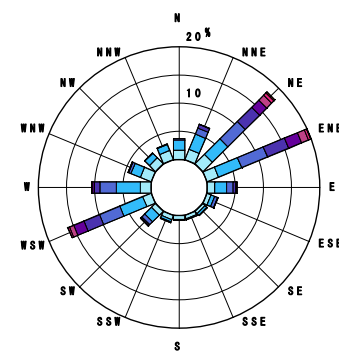


図-6.6.1.20(10) 超音波流速計による調査結果に基づく冬季の流況頻度図

注) 調査期間：平成20年12月1日～平成21年1月1日

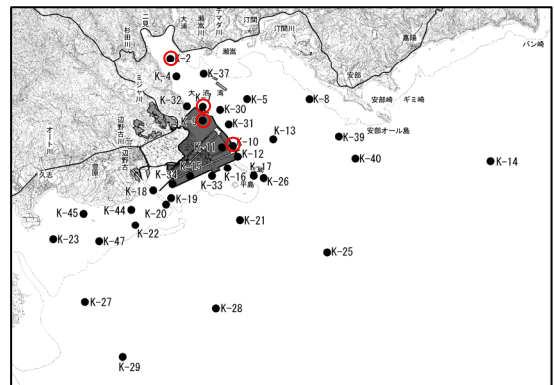
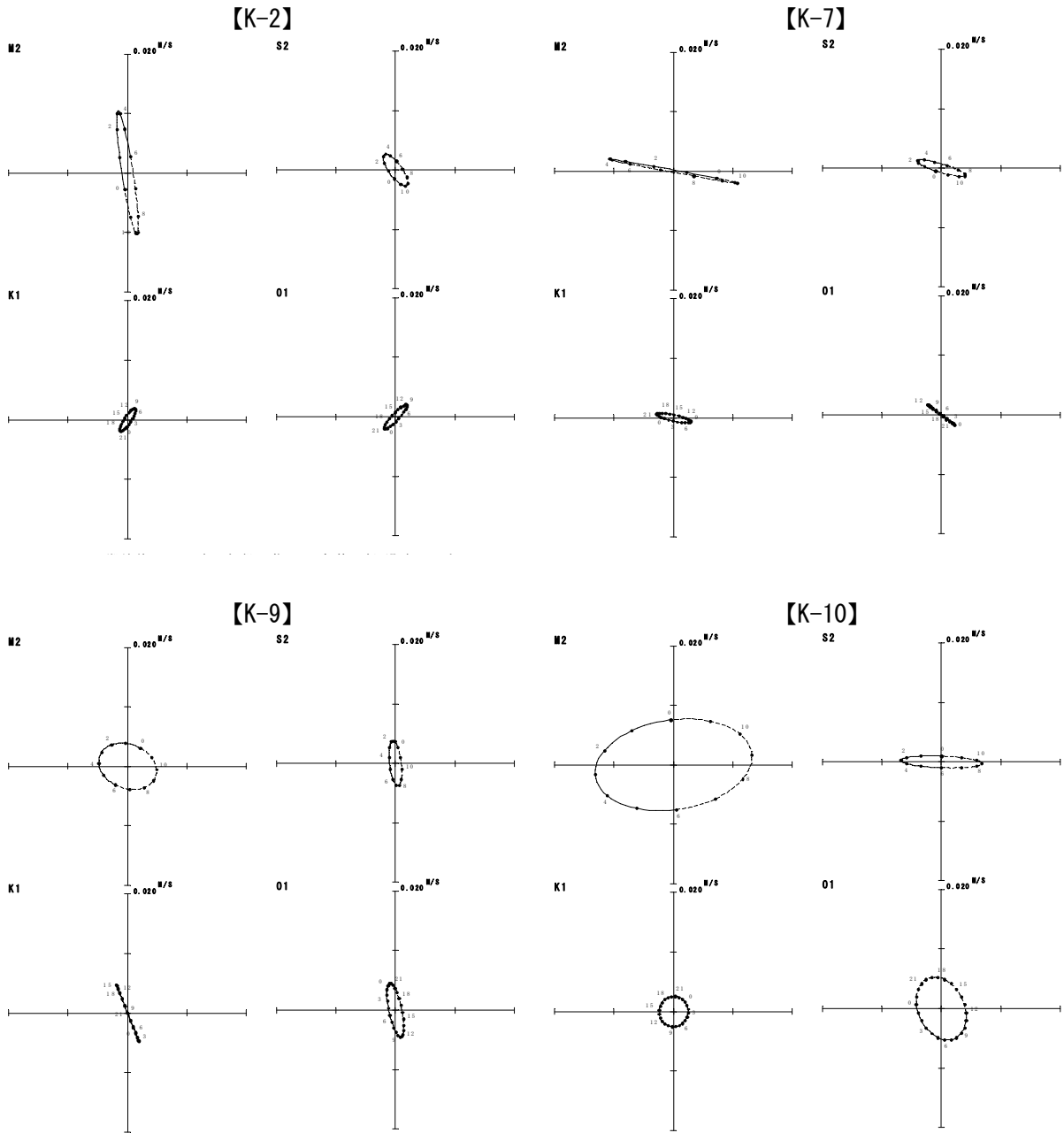


図-6. 6. 1. 21 (1) 電磁流速計による調査結果に基づく春季の潮流楕円

注) 調査期間：平成 20 年 4 月 21 日～5 月 21 日

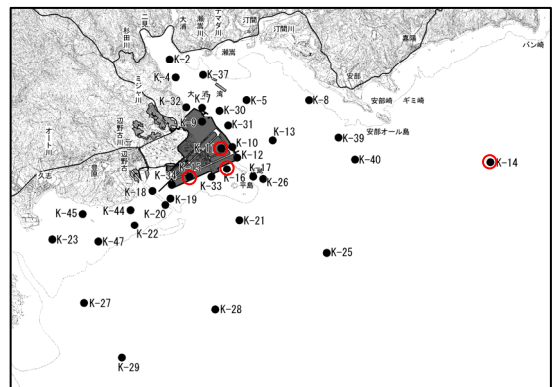
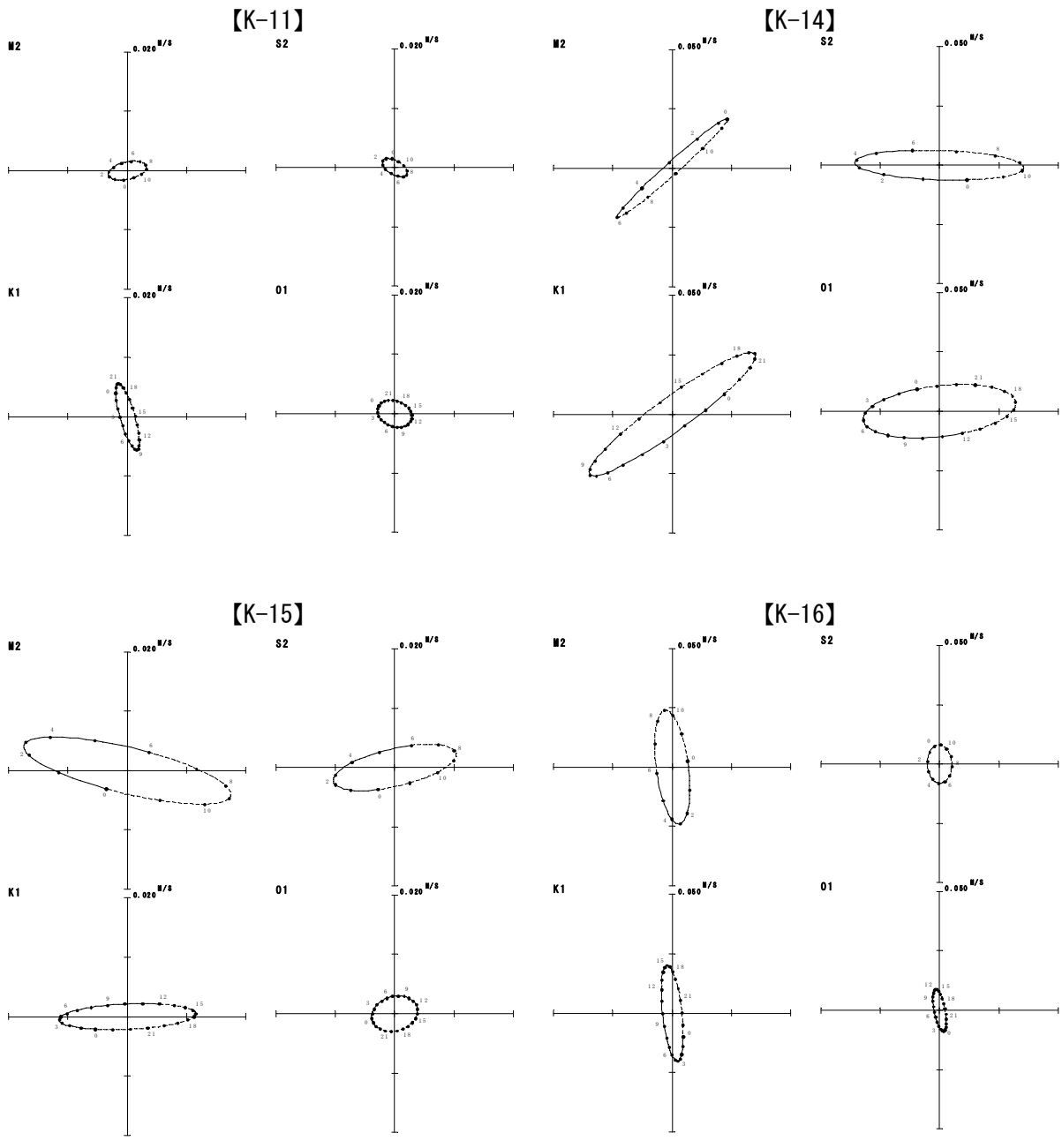


図-6. 6. 1. 21 (2) 電磁流速計による調査結果に基づく春季の潮流楕円

注) 調査期間：平成 20 年 4 月 21 日～5 月 21 日

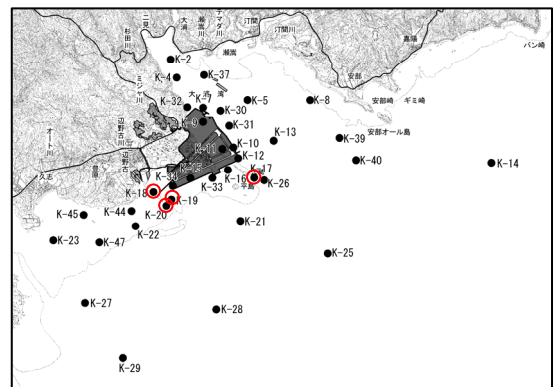
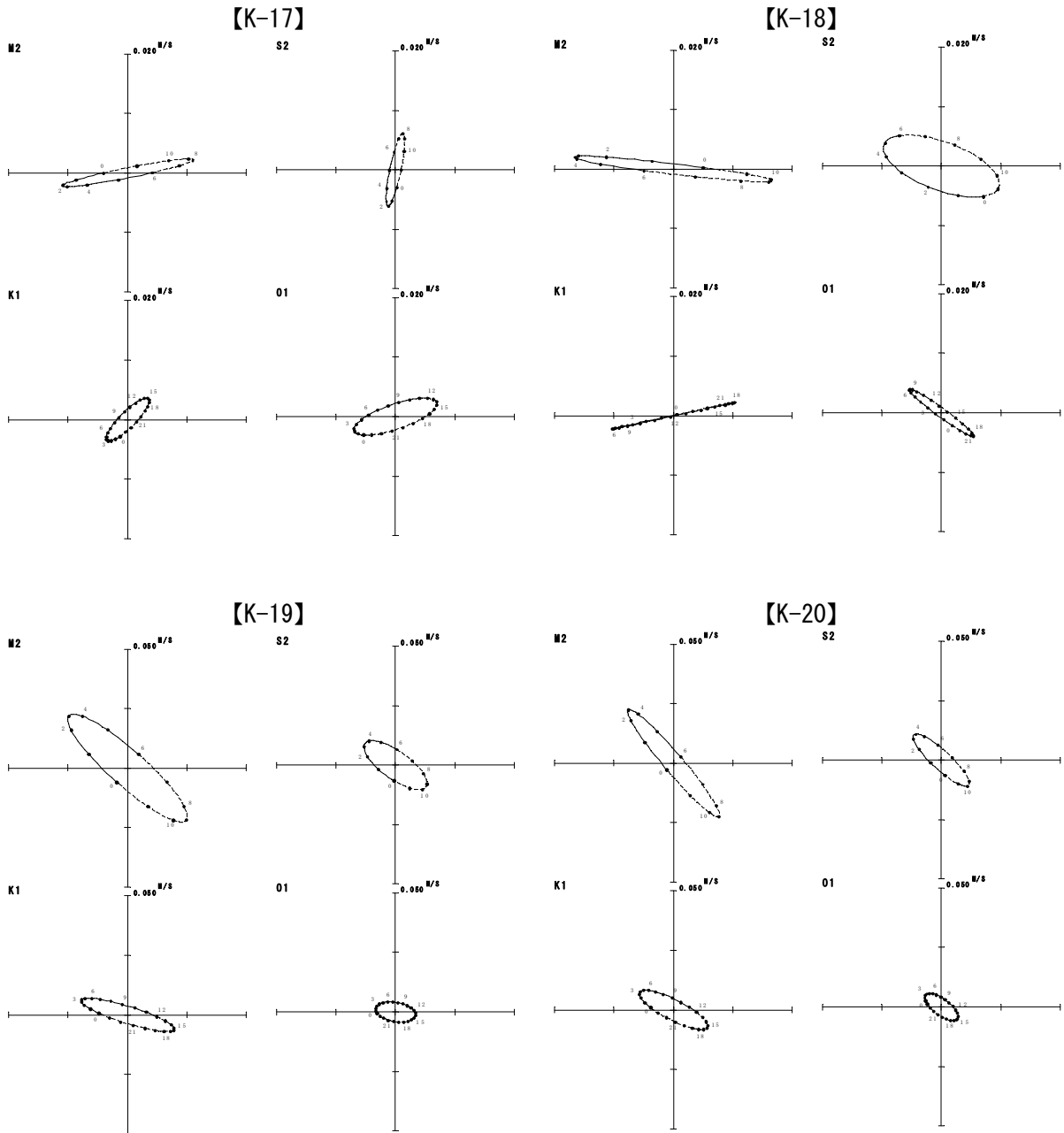


図-6. 6. 1. 21(3) 電磁流速計による調査結果に基づく春季の潮流楕円

注) 調査期間：平成 20 年 4 月 21 日～5 月 21 日

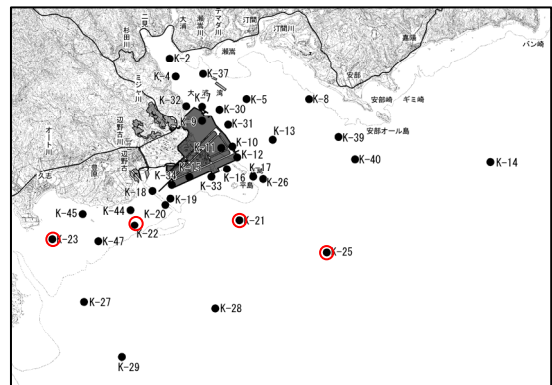
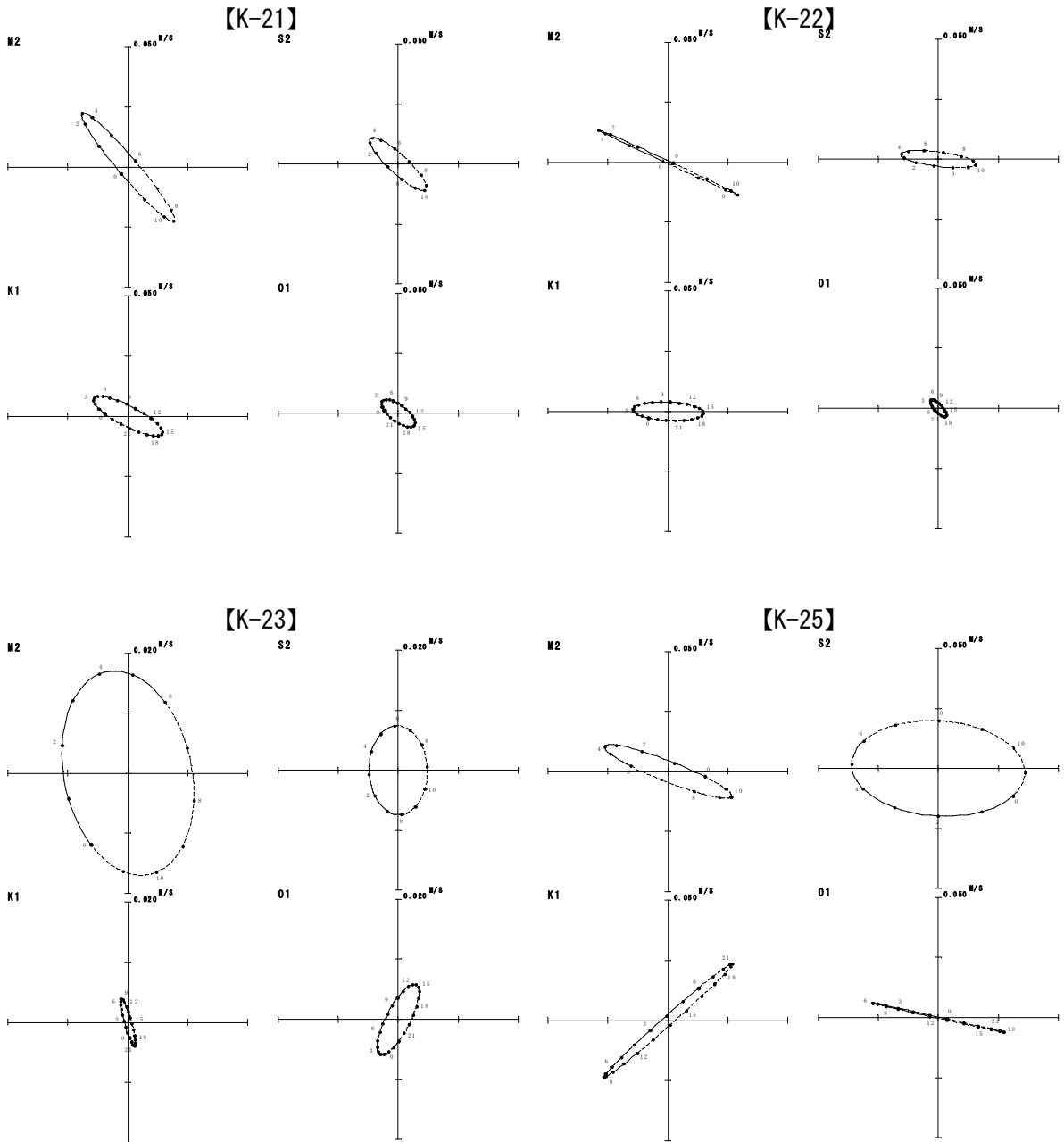


図-6. 6. 1. 21(4) 電磁流速計による調査結果に基づく春季の潮流楕円

注) 調査期間：平成 20 年 4 月 21 日～5 月 21 日

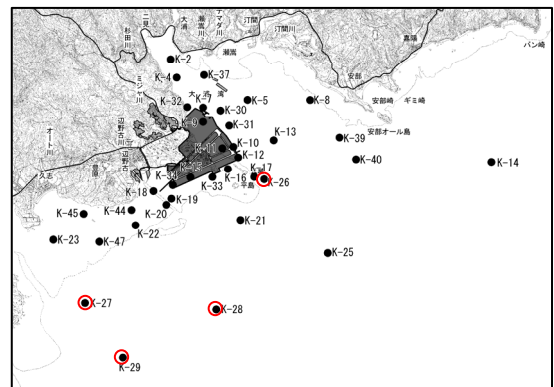
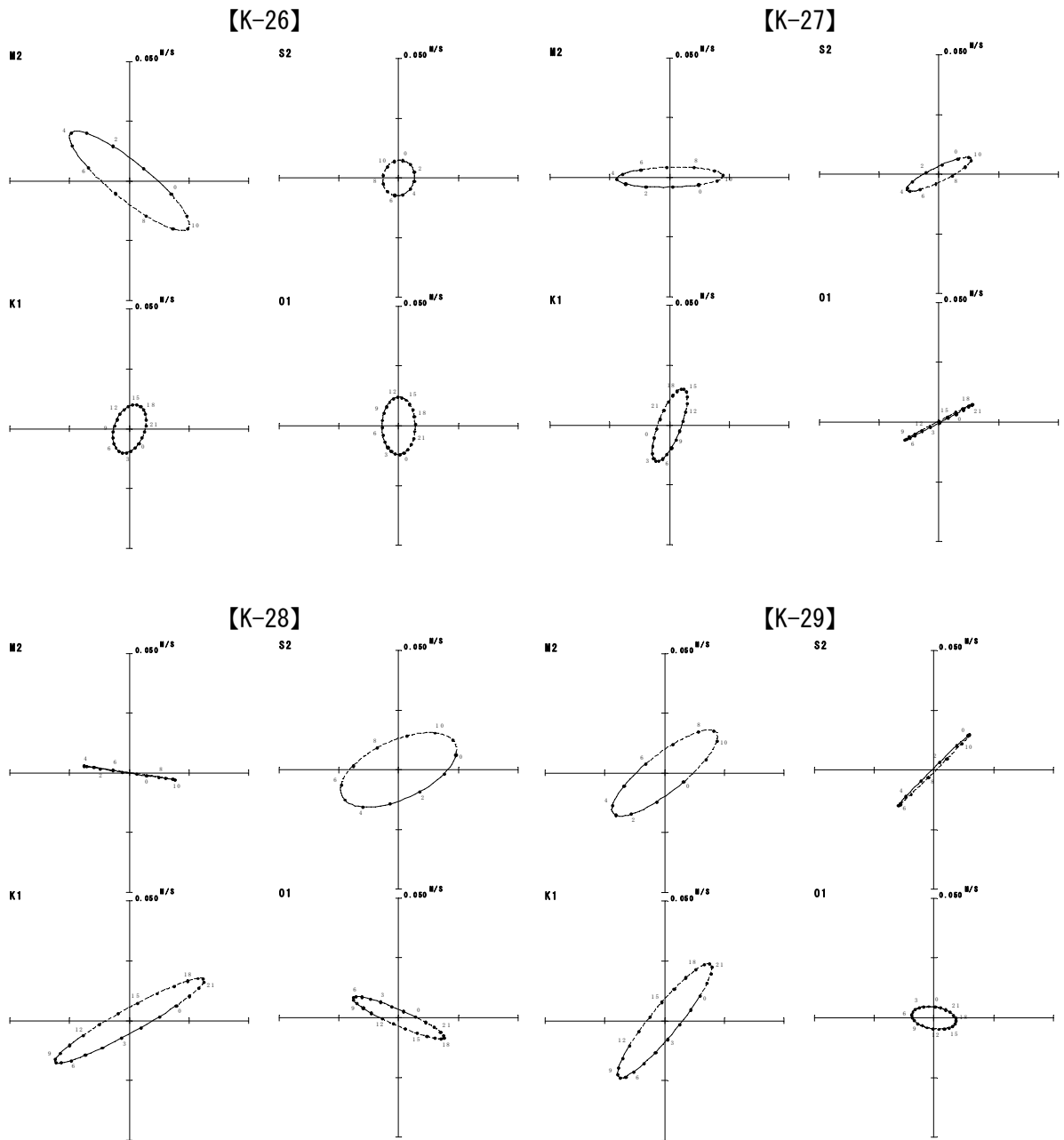


図-6. 6. 1. 21(5) 電磁流速計による調査結果に基づく春季の潮流楕円

注) 調査期間：平成 20 年 4 月 21 日～5 月 21 日



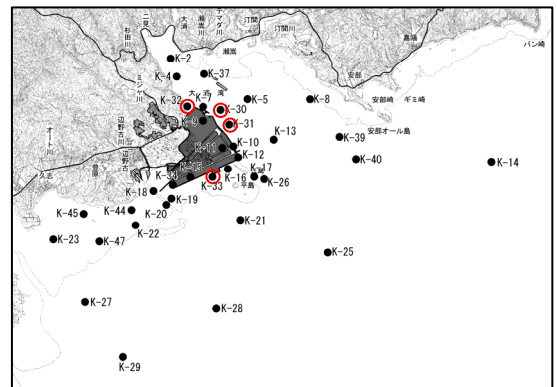
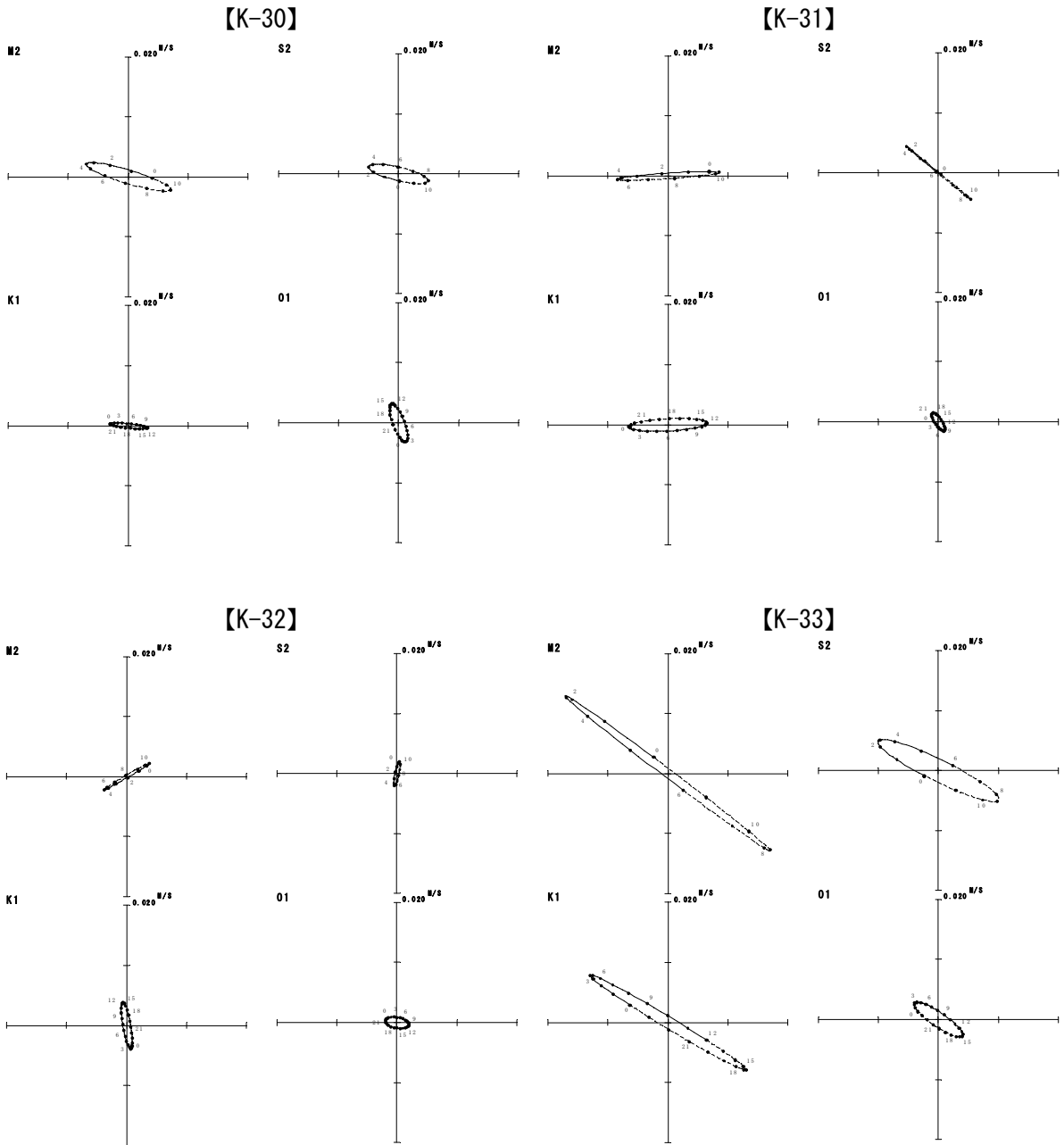


図-6. 6. 1. 21(6) 電磁流速計による調査結果に基づく春季の潮流楕円

注) 調査期間：平成 20 年 4 月 21 日～5 月 21 日

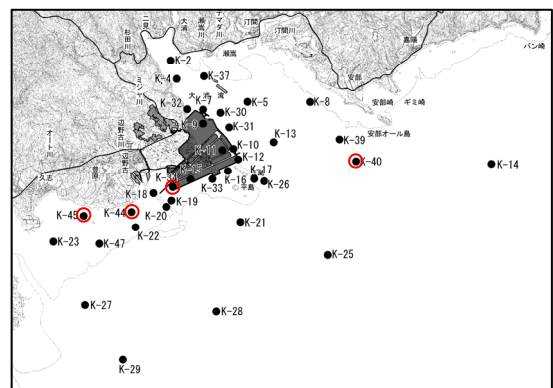
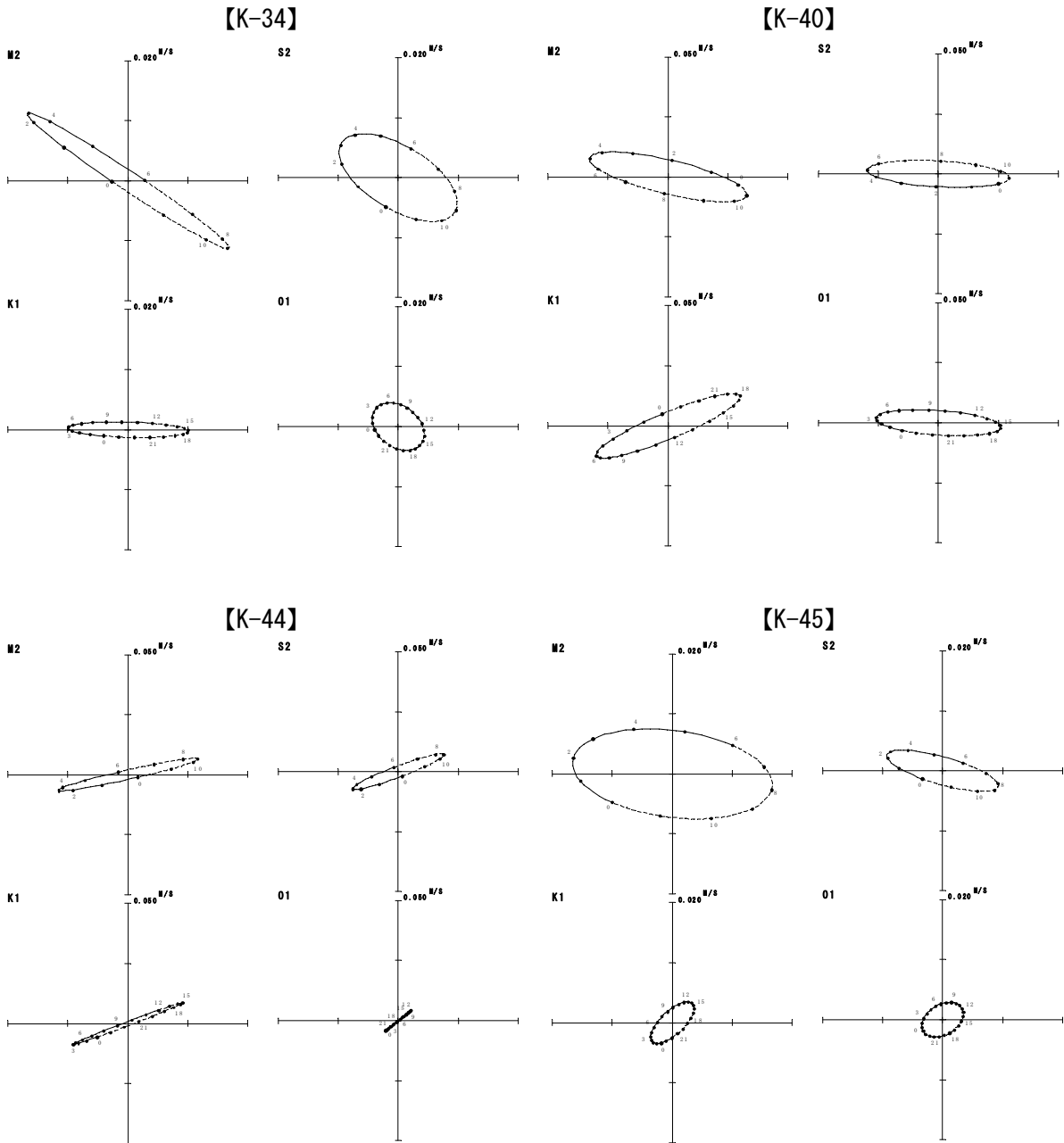


図-6. 6. 1. 21(7) 電磁流速計による調査結果に基づく春季の潮流楕円

注) 調査期間：平成 20 年 4 月 21 日～5 月 21 日

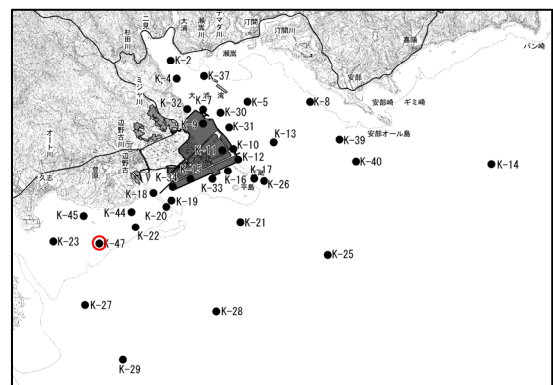
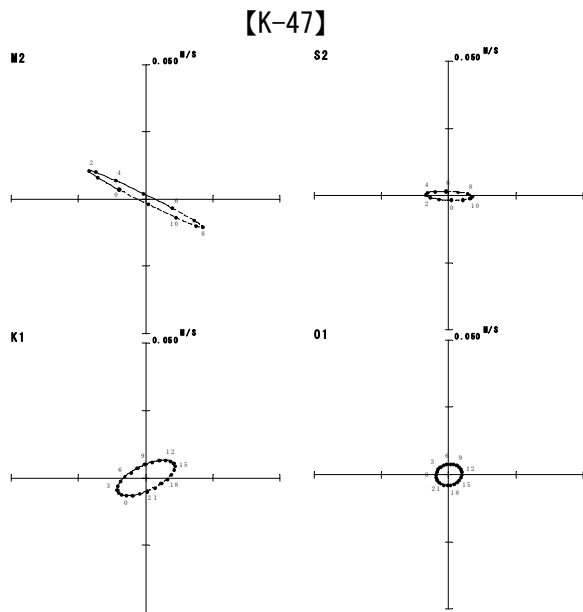


図-6. 6. 1. 21(8) 電磁流速計による調査結果に基づく春季の潮流楕円

注) 調査期間：平成 20 年 4 月 21 日～5 月 21 日

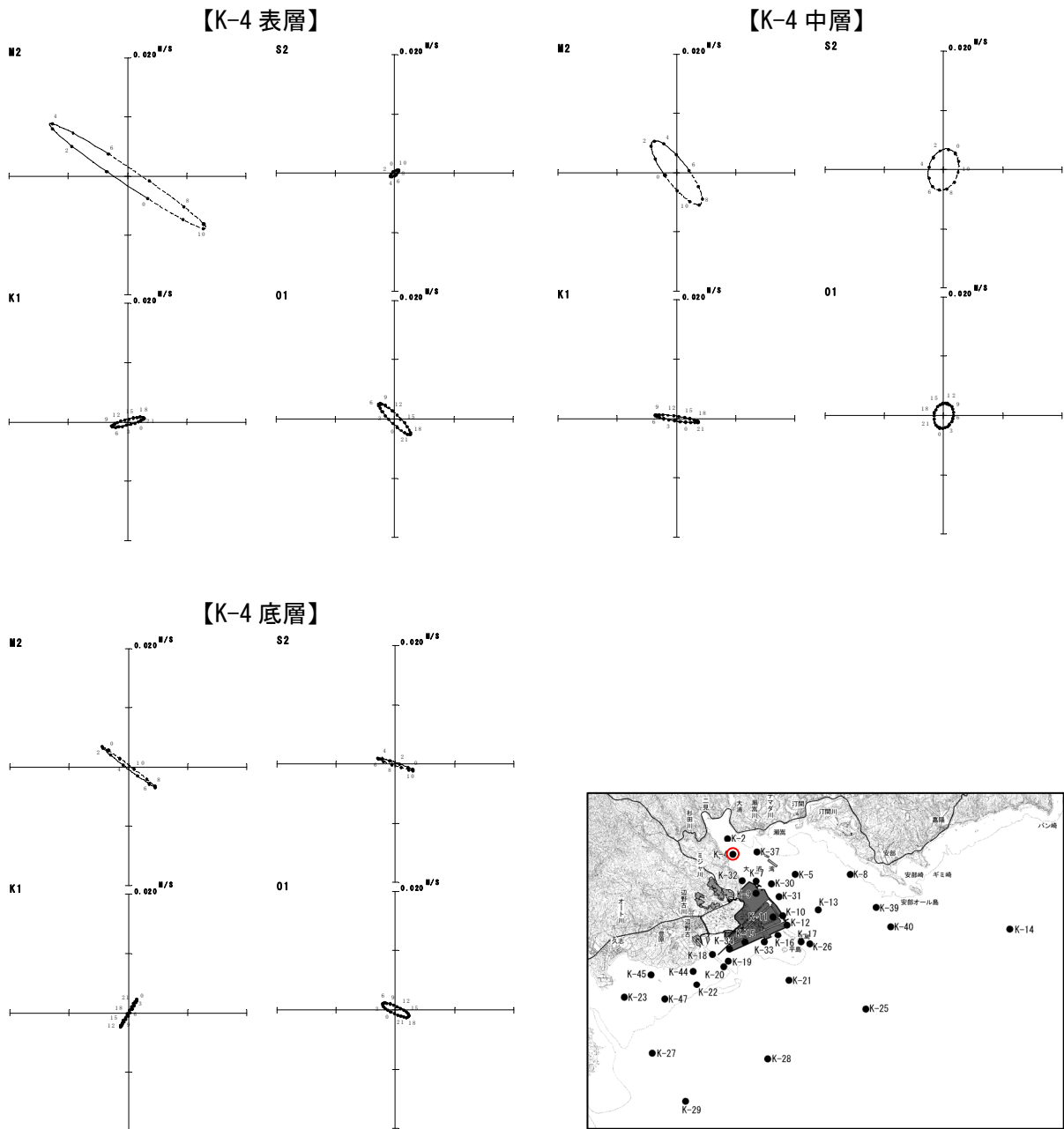


図-6.6.1.22(1) 超音波流速計による調査結果に基づく春季の潮流楕円

注) 調査期間：平成 20 年 4 月 21 日～5 月 21 日

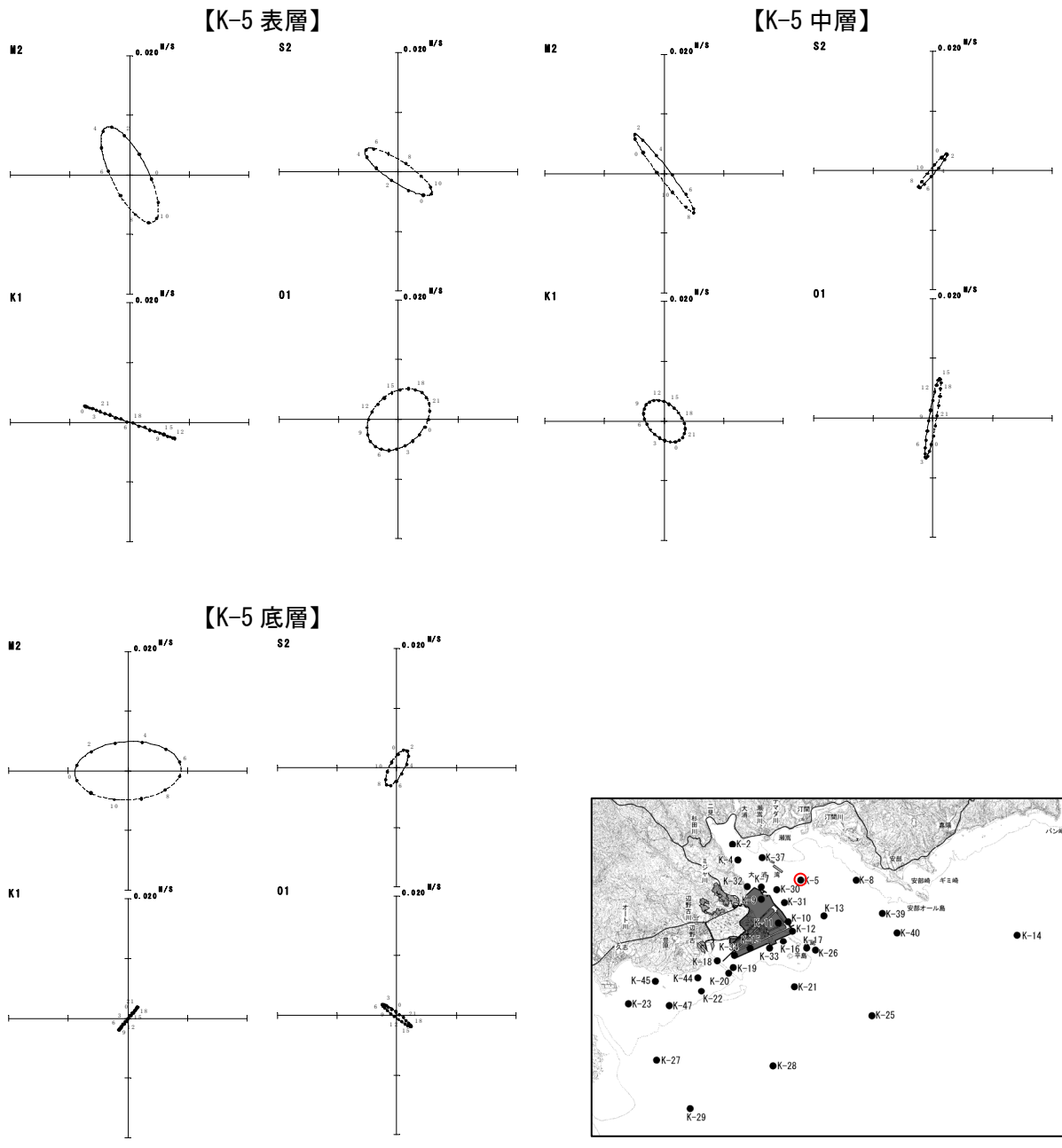


図-6.6.1.22(2) 超音波流速計による調査結果に基づく春季の潮流楕円

注) 調査期間：平成20年4月21日～5月21日

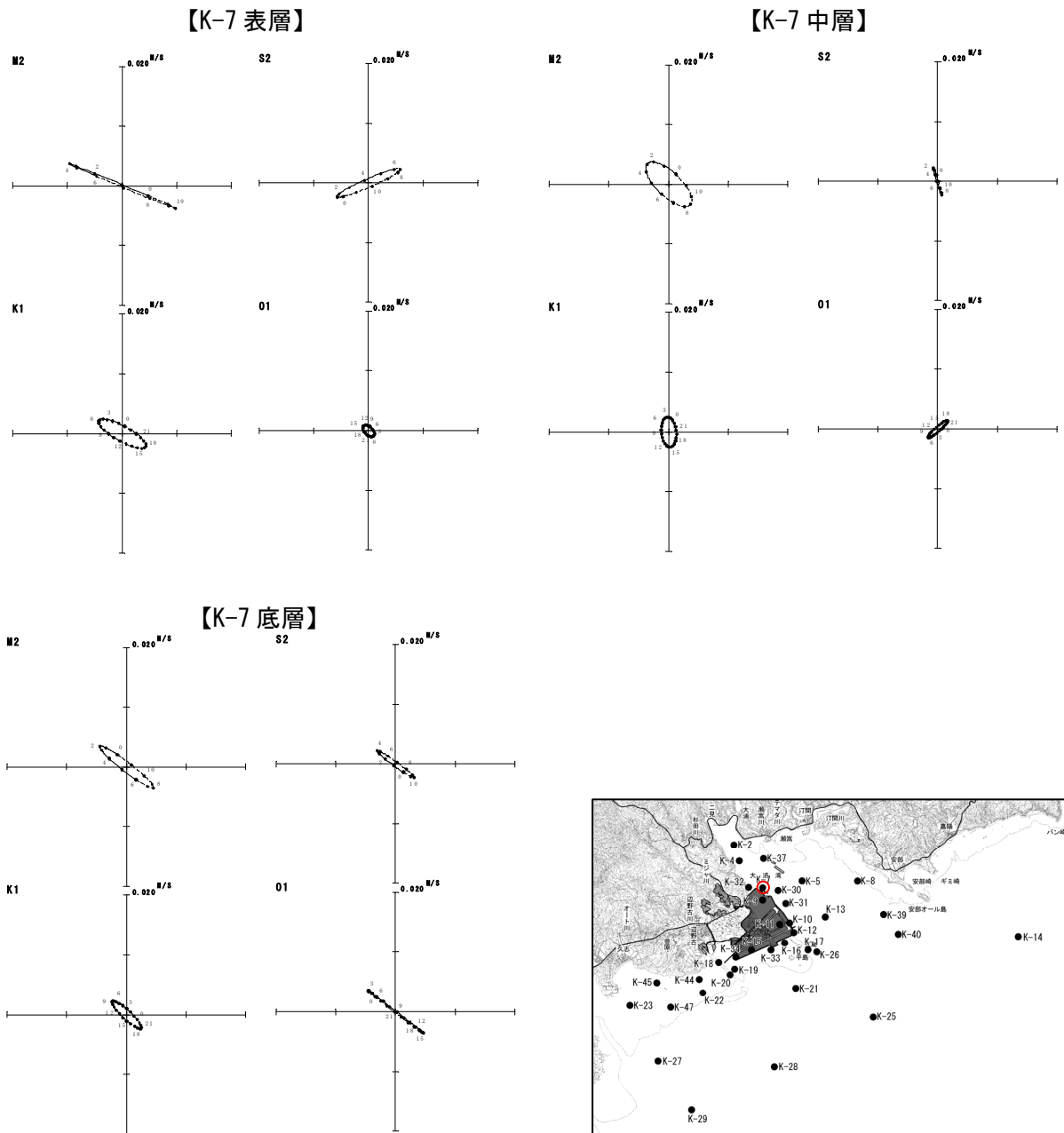


図-6.6.1.22(3) 超音波流速計による調査結果に基づく春季の潮流楕円

注) 調査期間：平成20年4月21日～5月21日

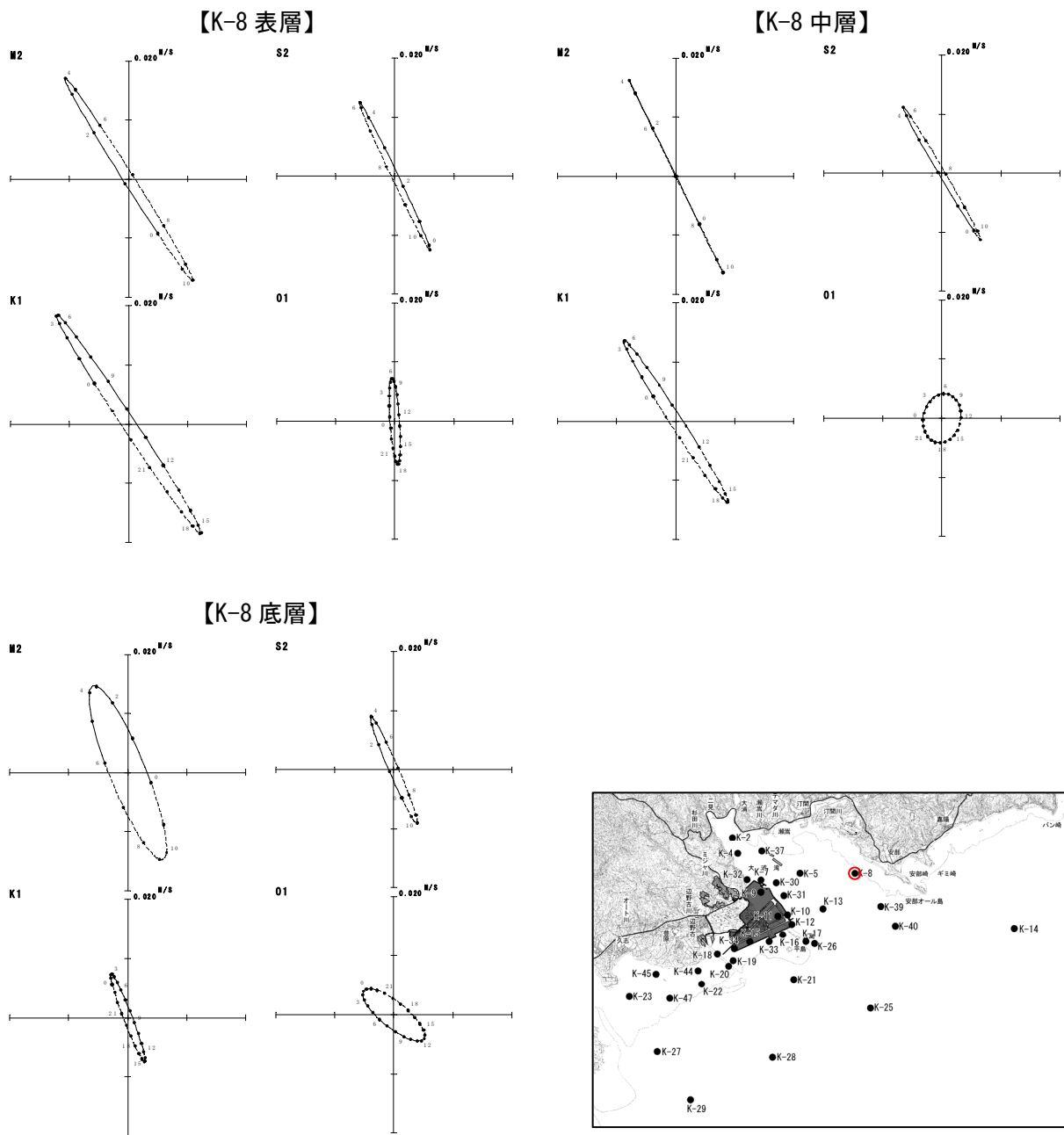


図-6.6.1.22(4) 超音波流速計による調査結果に基づく春季の潮流楕円

注) 調査期間：平成20年4月21日～5月21日



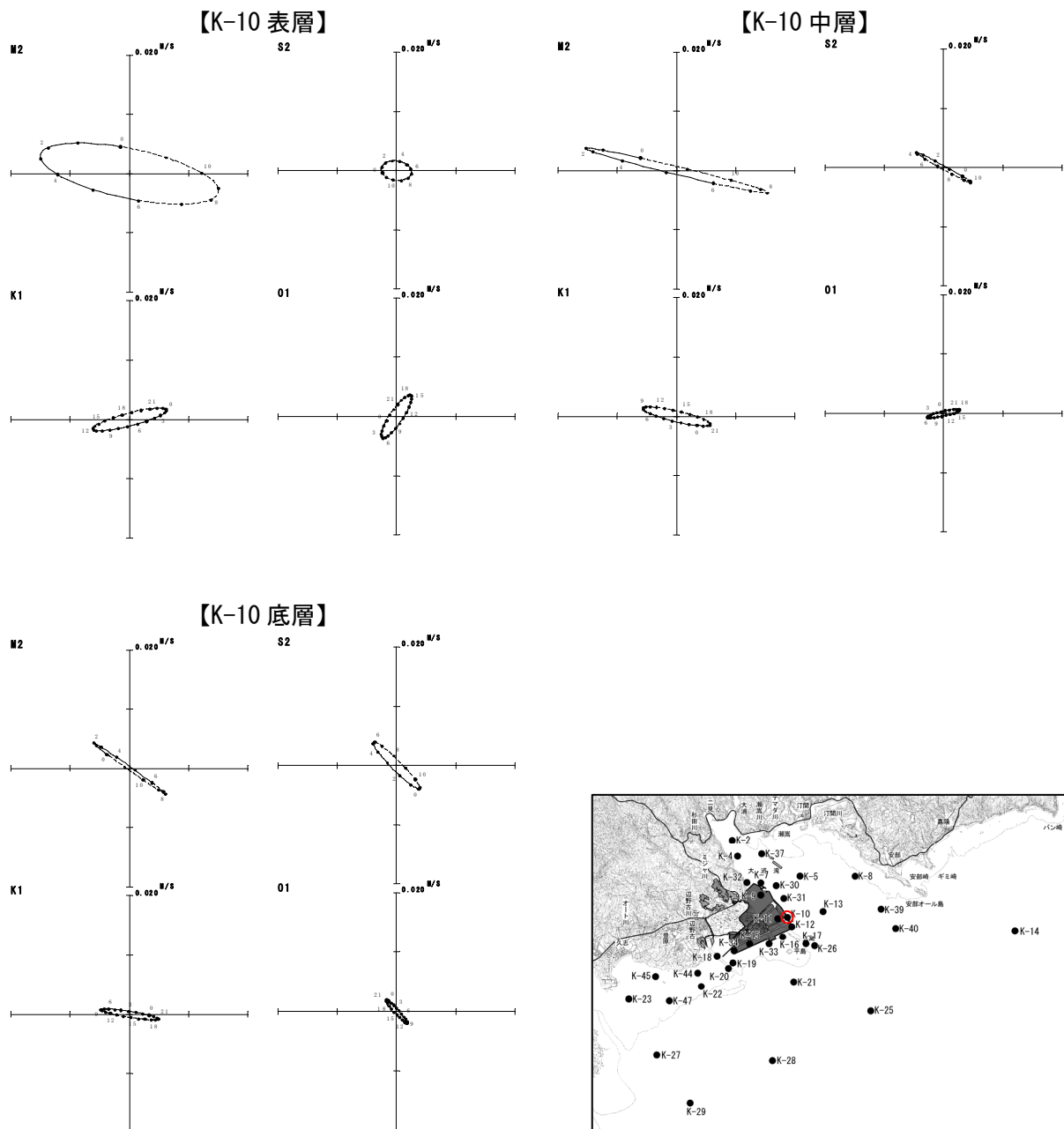


図-6.6.1.22(5) 超音波流速計による調査結果に基づく春季の潮流楕円

注) 調査期間：平成20年4月21日～5月21日

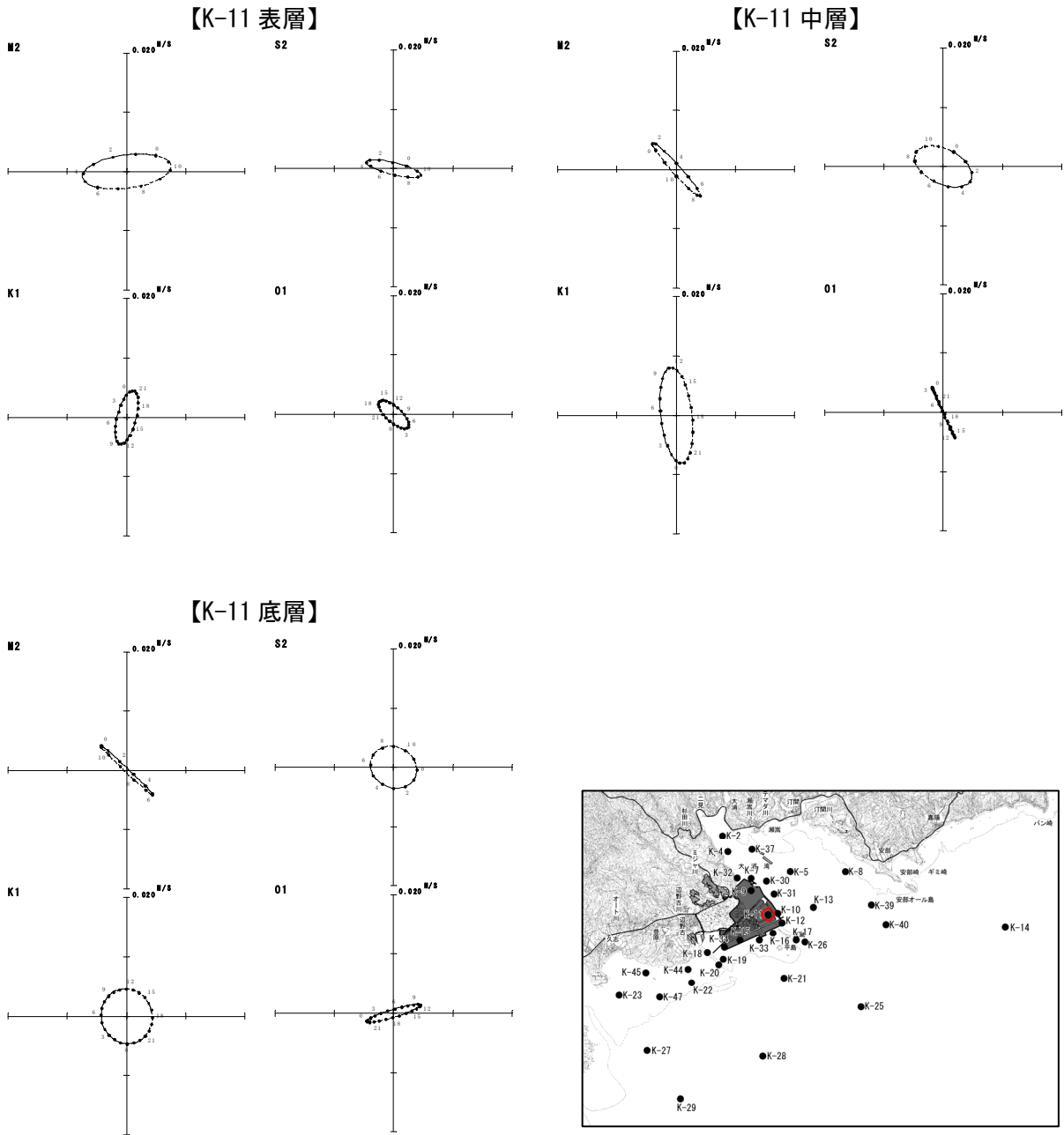


図-6.6.1.22(6) 超音波流速計による調査結果に基づく春季の潮流楕円

注) 調査期間：平成20年4月21日～5月21日

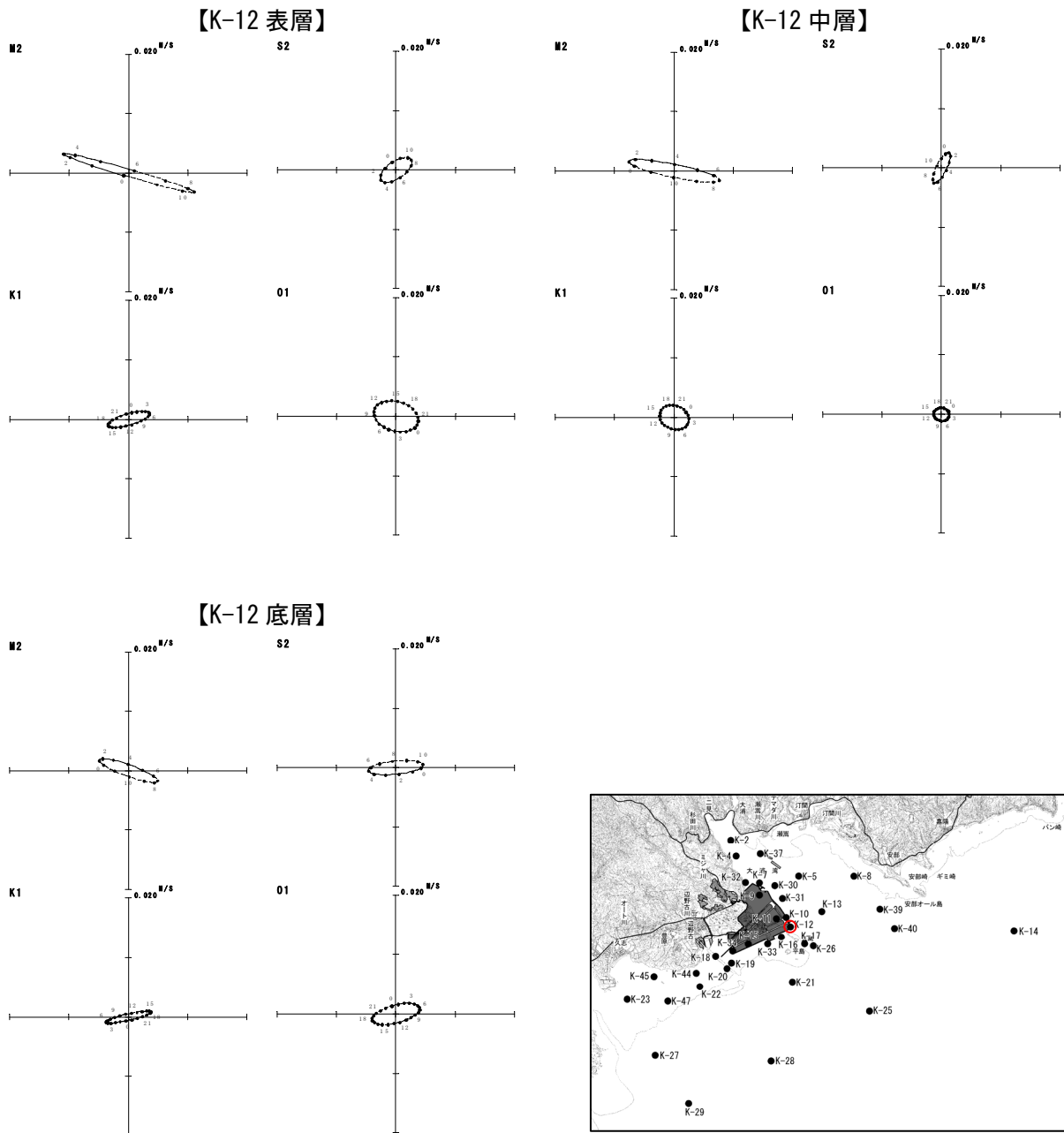


図-6.6.1.22(7) 超音波流速計による調査結果に基づく春季の潮流楕円

注) 調査期間：平成20年4月21日～5月21日

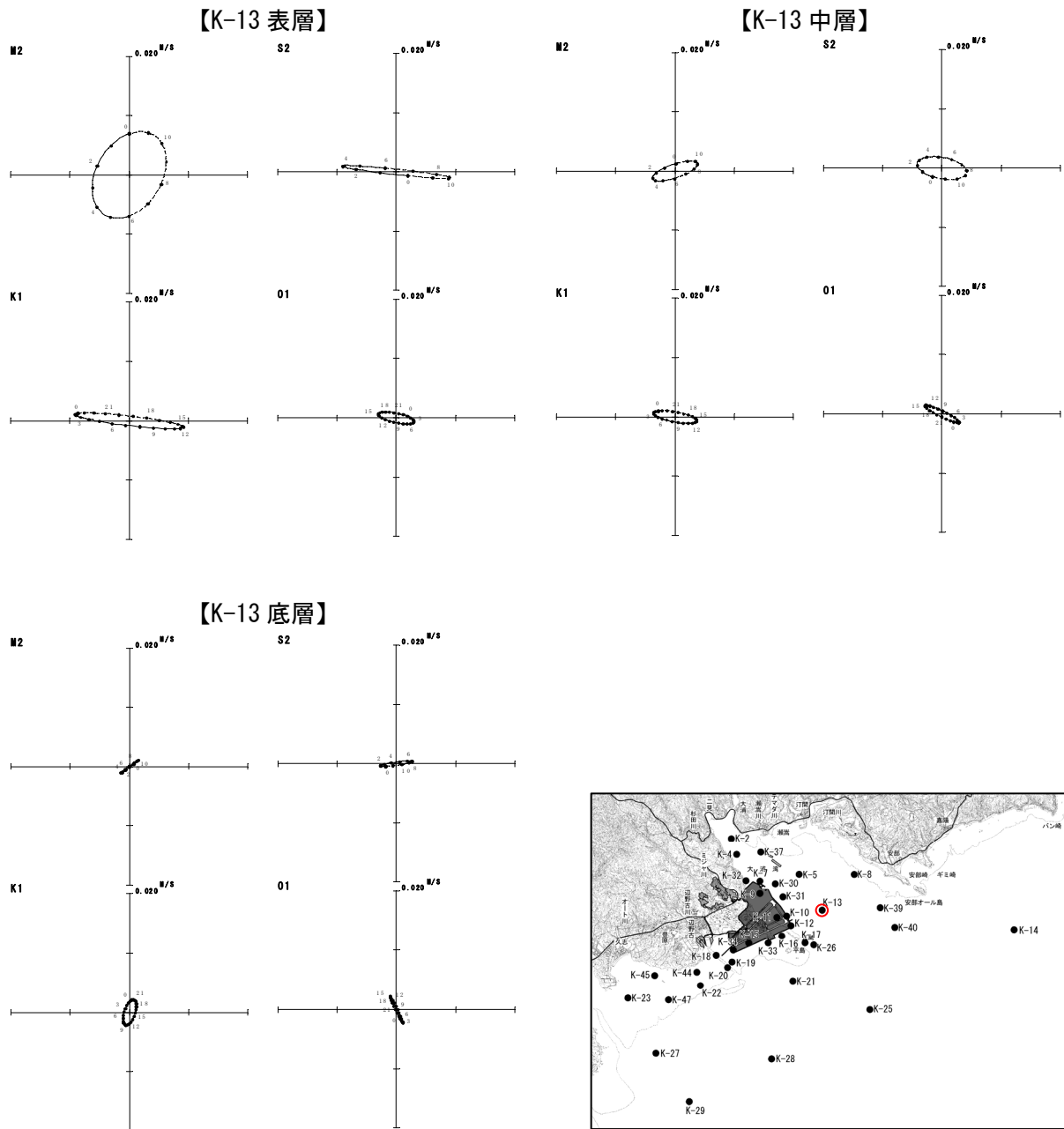


図-6.6.1.22(8) 超音波流速計による調査結果に基づく春季の潮流楕円

注) 調査期間：平成20年4月21日～5月21日

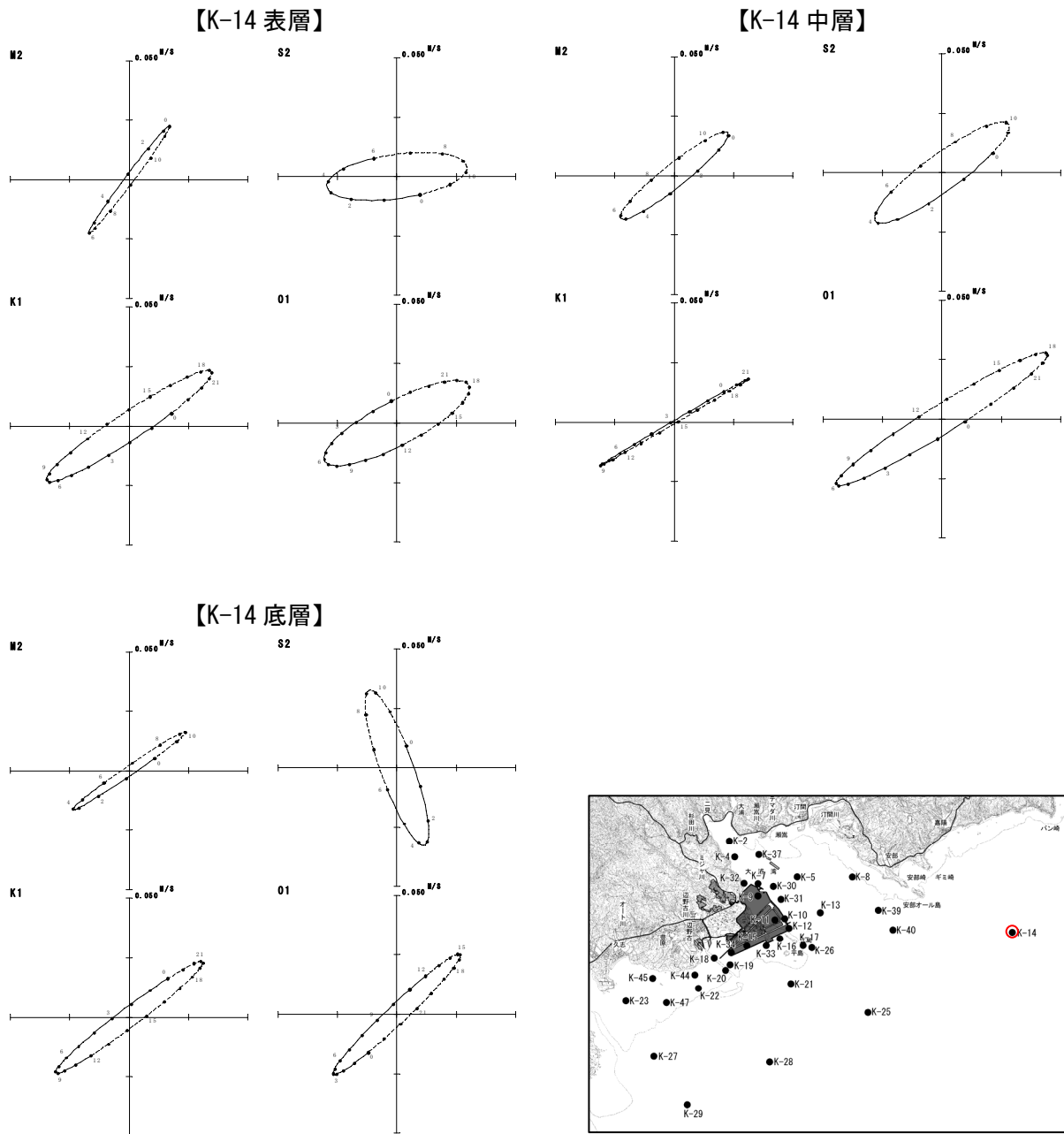


図-6.6.1.22(9) 超音波流速計による調査結果に基づく春季の潮流楕円

注) 調査期間：平成20年4月21日～5月21日

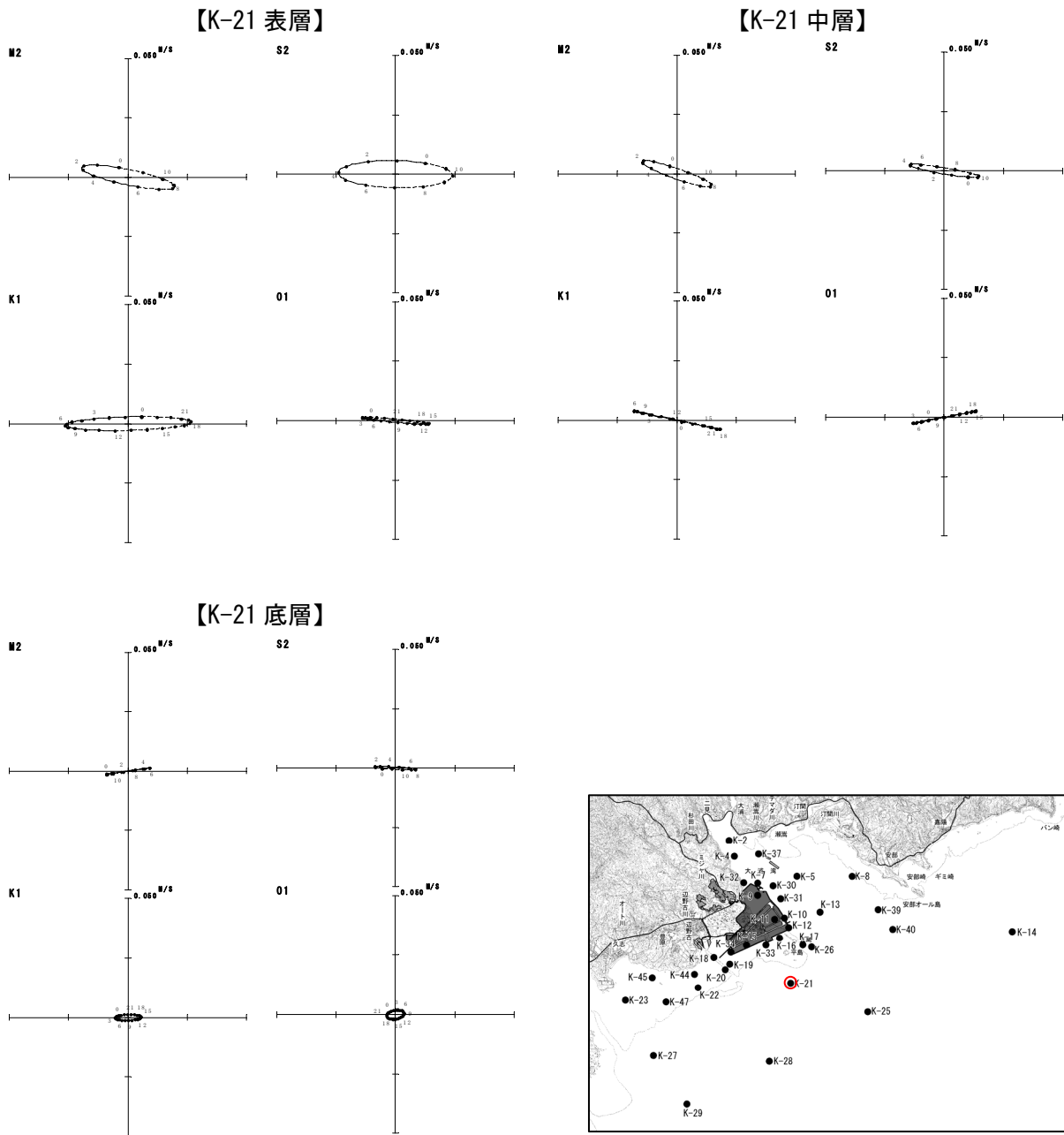


図-6. 6. 1. 22 (10) 超音波流速計による調査結果に基づく春季の潮流楕円

注) 調査期間：平成 20 年 4 月 21 日～5 月 21 日

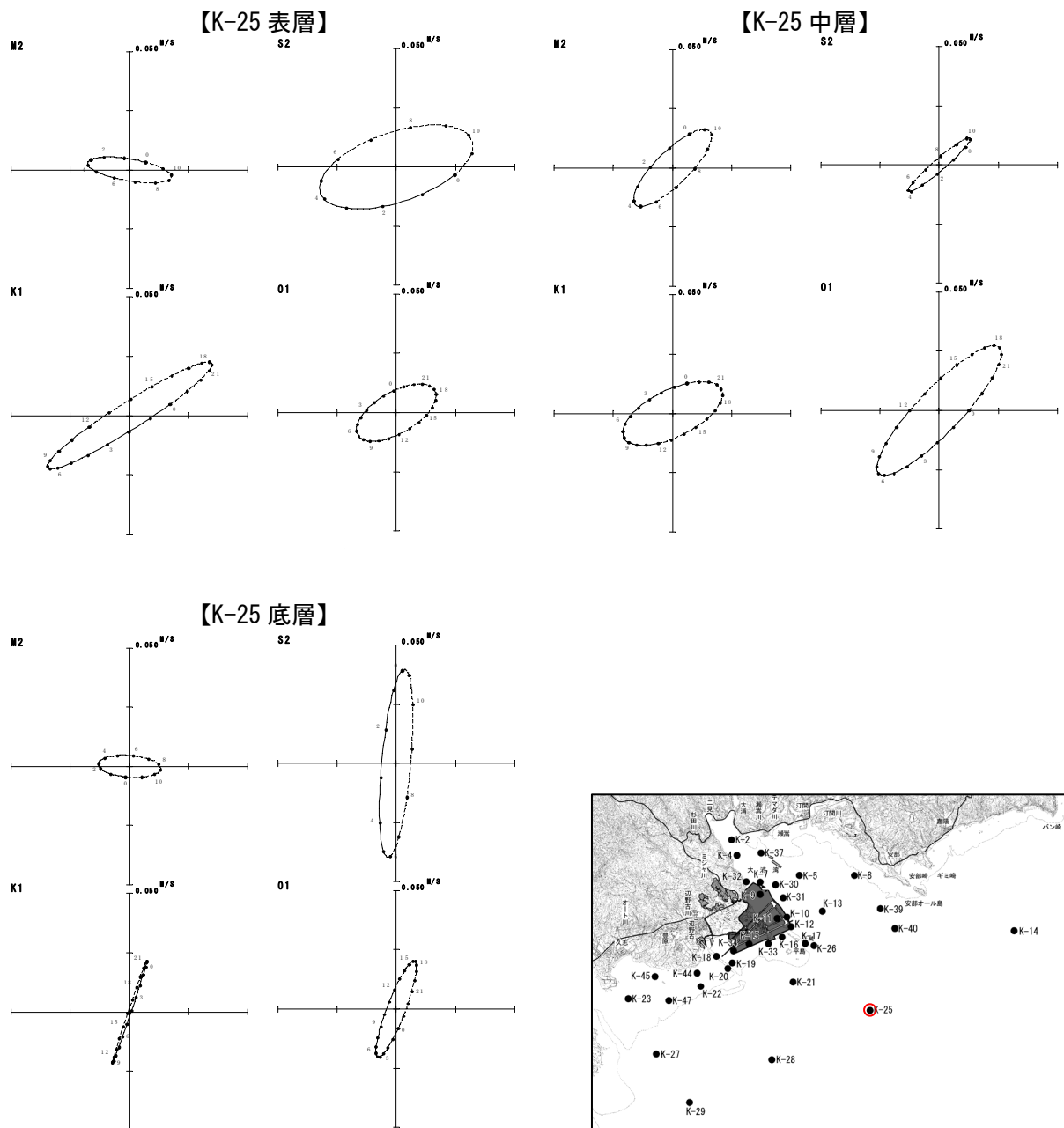


図-6. 6. 1. 22 (11) 超音波流速計による調査結果に基づく春季の潮流楕円

注) 調査期間：平成 20 年 4 月 21 日～5 月 21 日

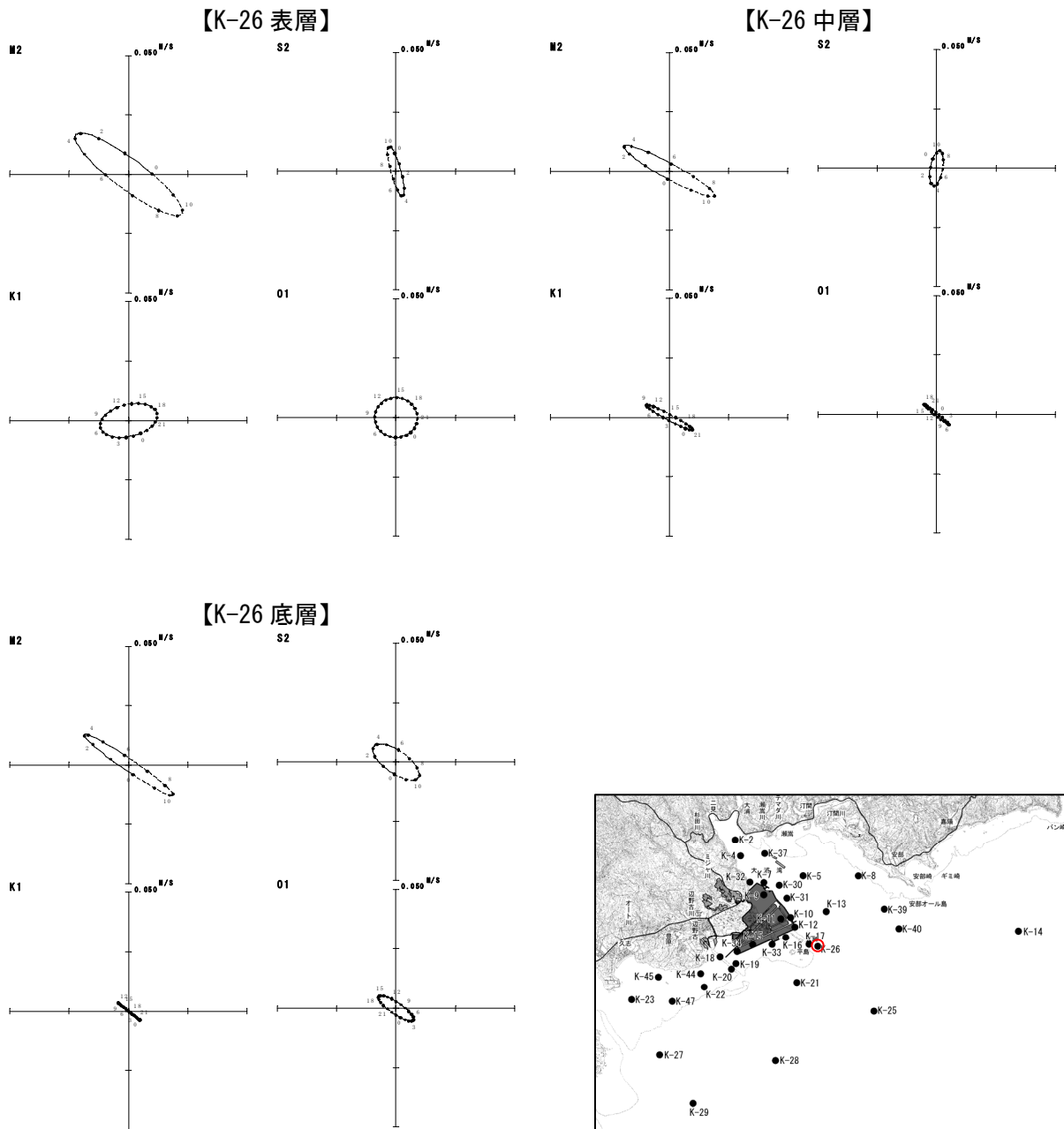


図-6. 6. 1. 22 (12) 超音波流速計による調査結果に基づく春季の潮流楕円

注) 調査期間：平成 20 年 4 月 21 日～5 月 21 日



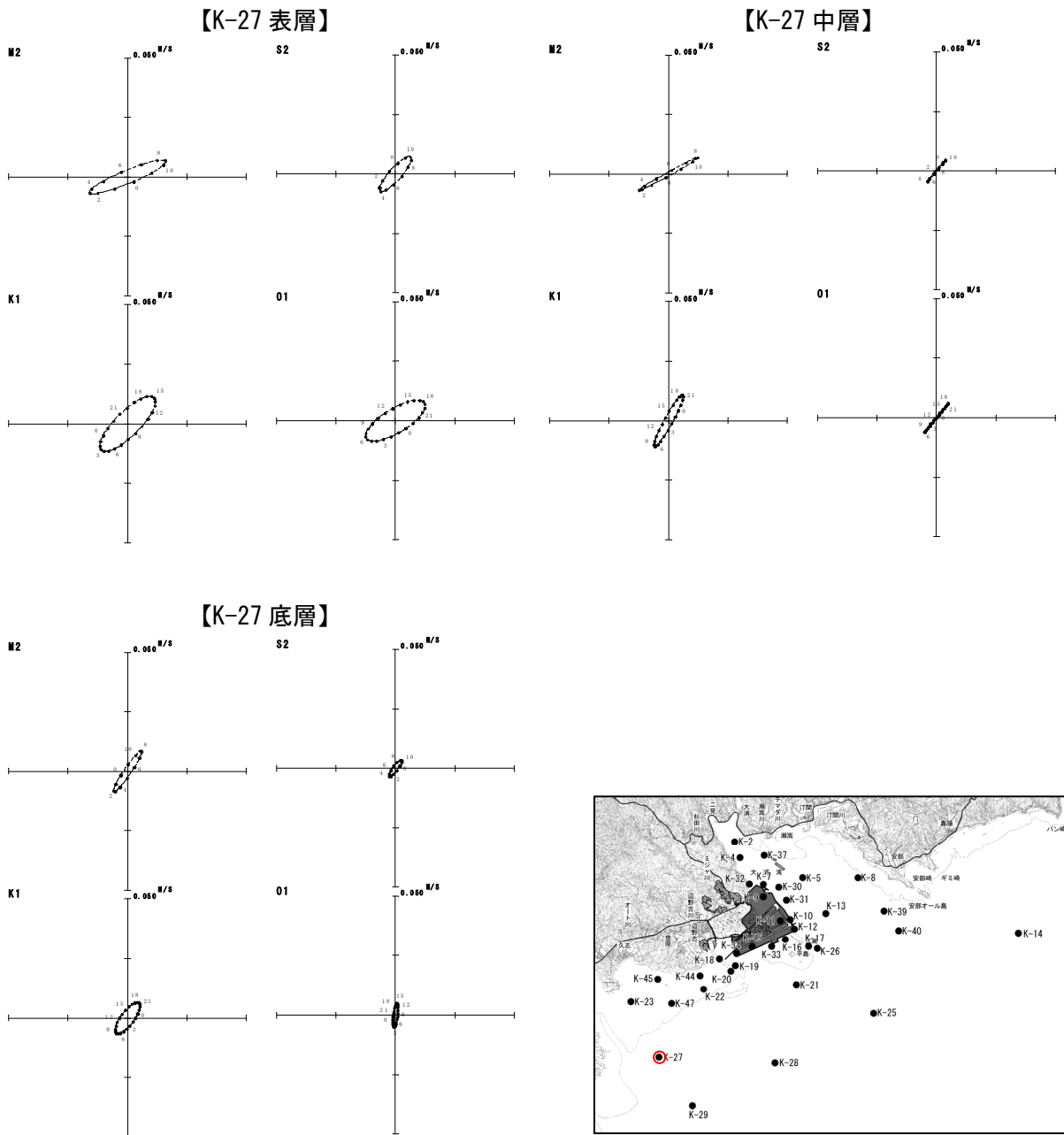


図-6. 6. 1. 22 (13) 超音波流速計による調査結果に基づく春季の潮流楕円

注) 調査期間：平成 20 年 4 月 21 日～5 月 21 日

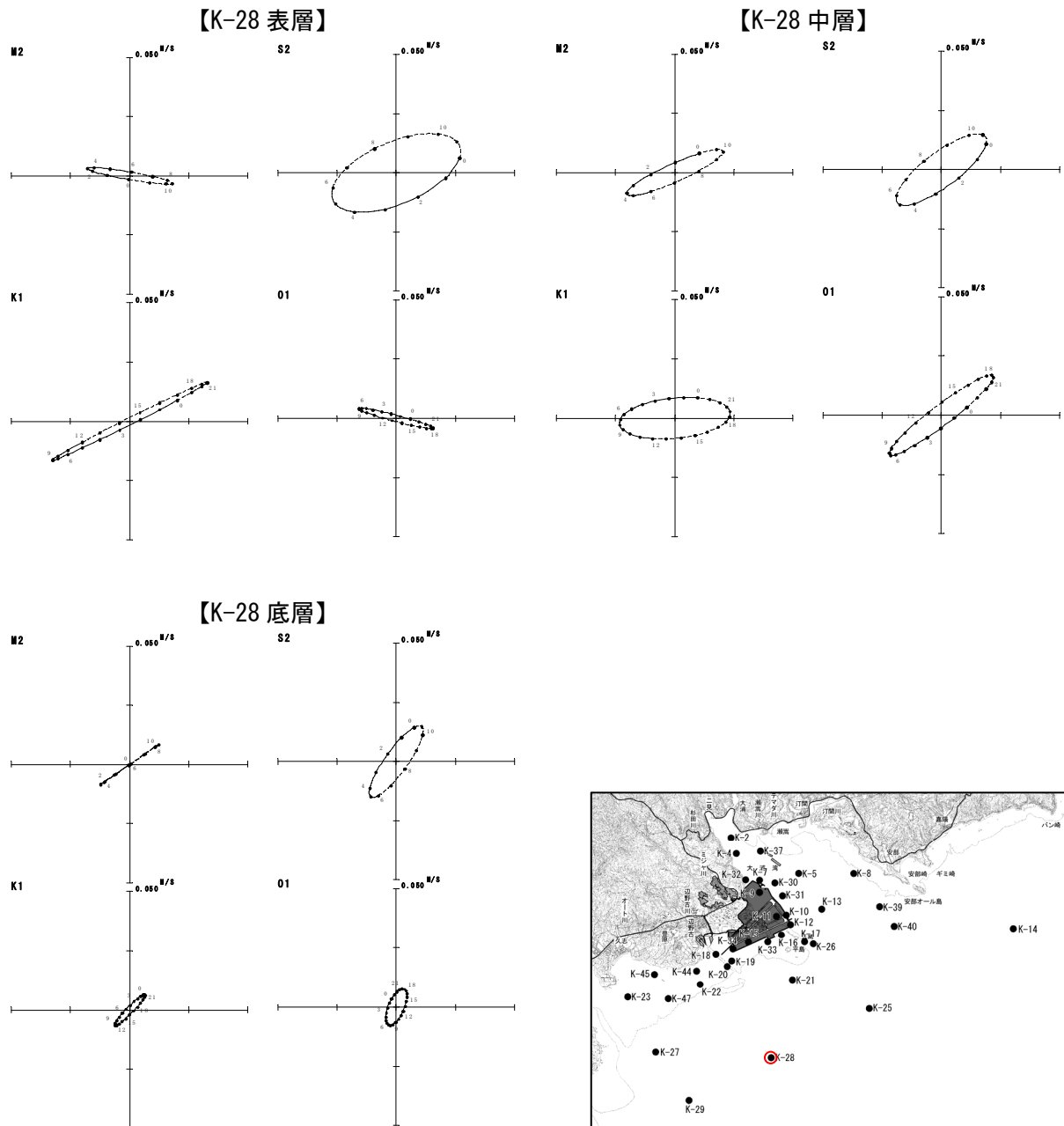


図-6. 6. 1. 22 (14) 超音波流速計による調査結果に基づく春季の潮流楕円

注) 調査期間：平成 20 年 4 月 21 日～5 月 21 日

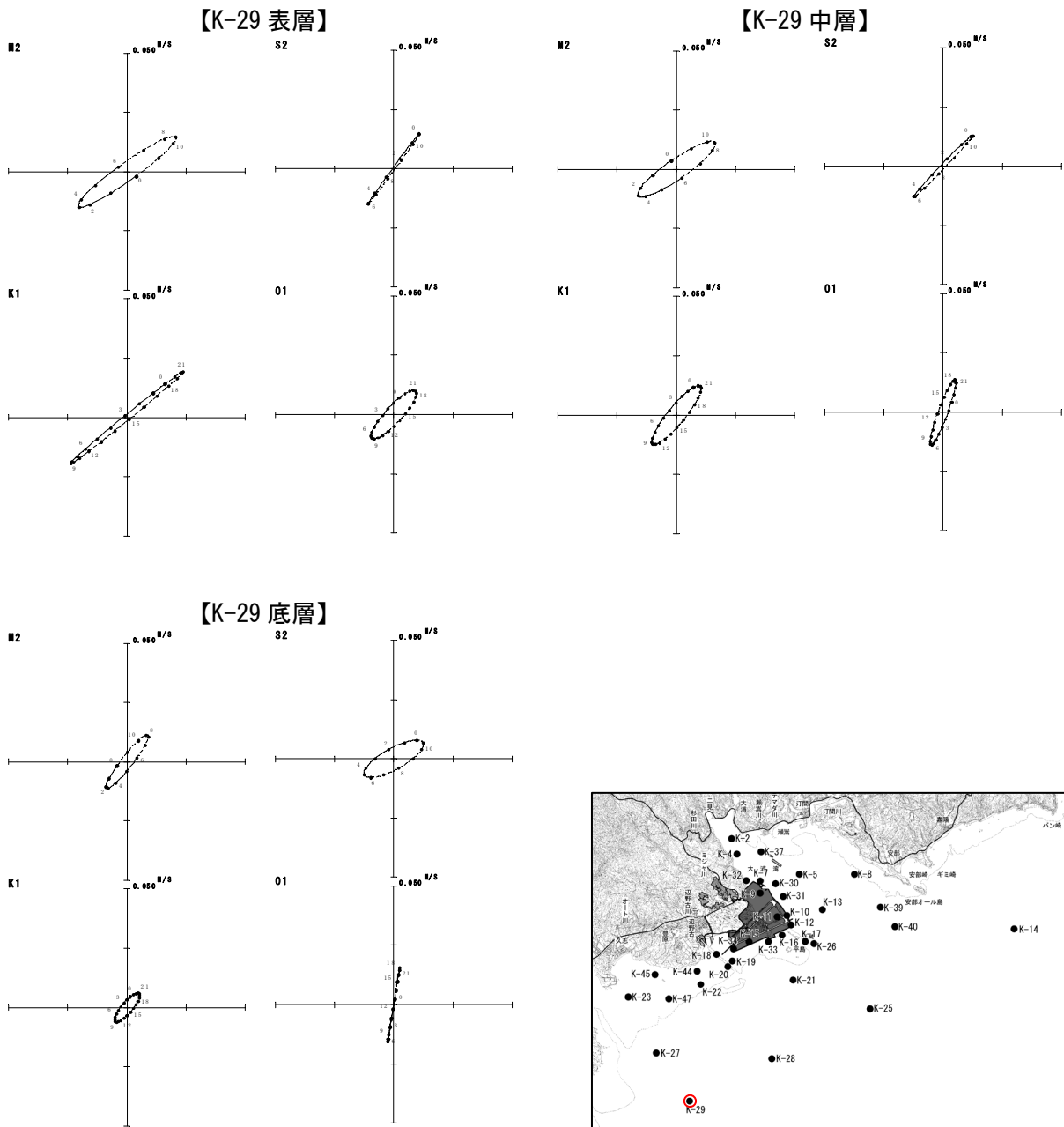


図-6. 6. 1. 22(15) 超音波流速計による調査結果に基づく春季の潮流楕円

注) 調査期間：平成 20 年 4 月 21 日～5 月 21 日

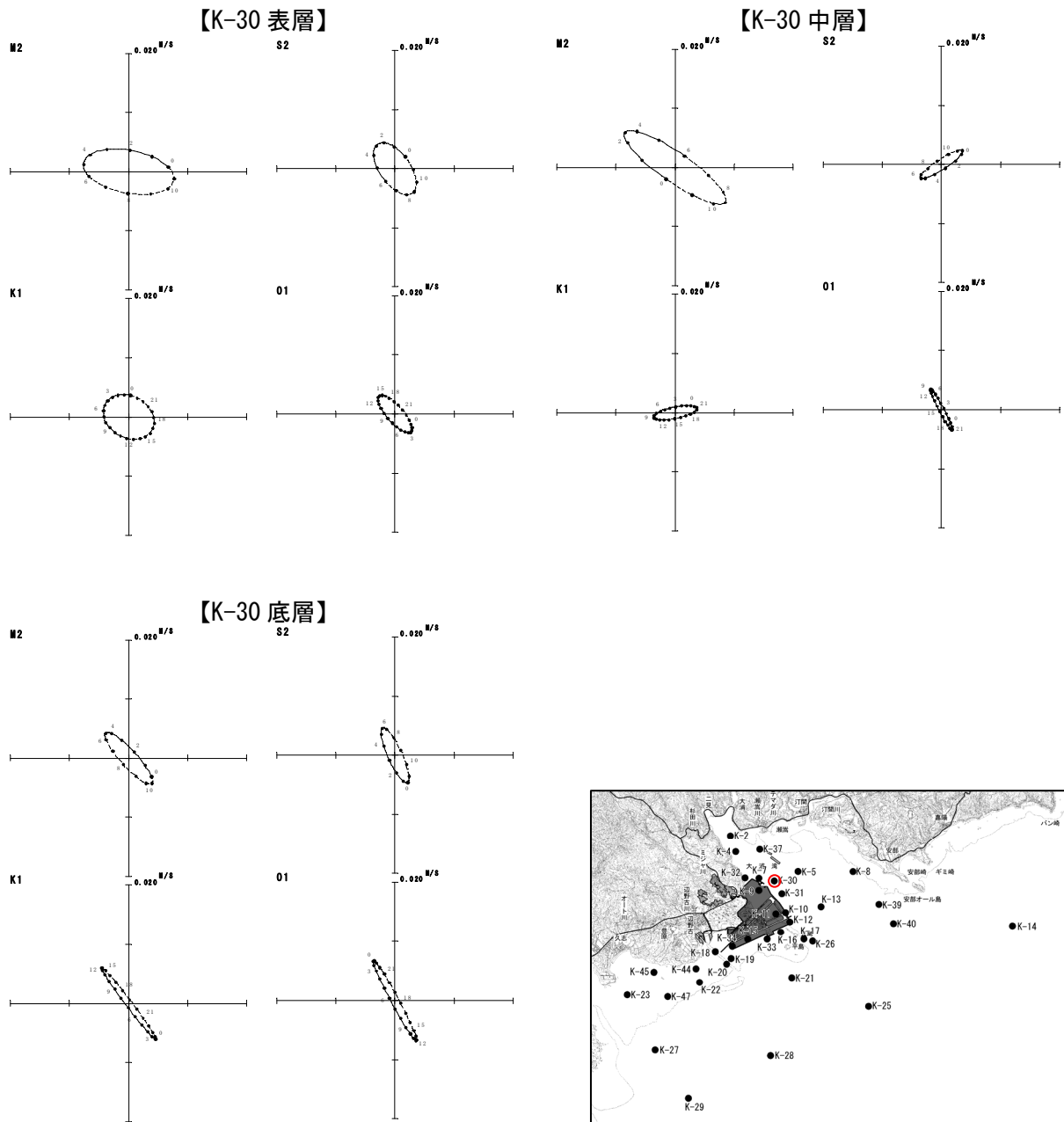


図-6. 6. 1. 22 (16) 超音波流速計による調査結果に基づく春季の潮流楕円

注) 調査期間：平成 20 年 4 月 21 日～5 月 21 日

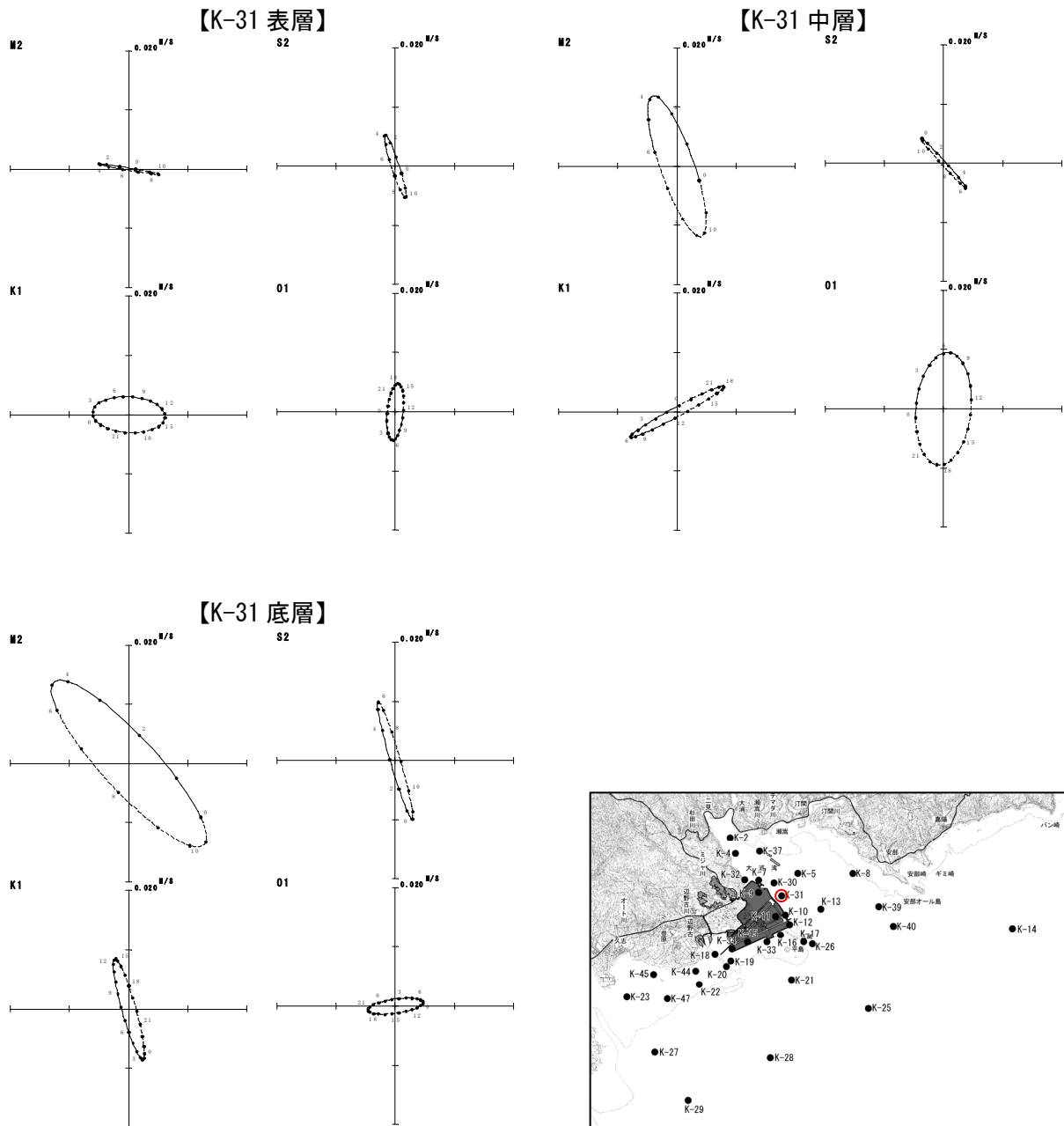


図-6. 6. 1. 22 (17) 超音波流速計による調査結果に基づく春季の潮流楕円

注) 調査期間：平成 20 年 4 月 21 日～5 月 21 日

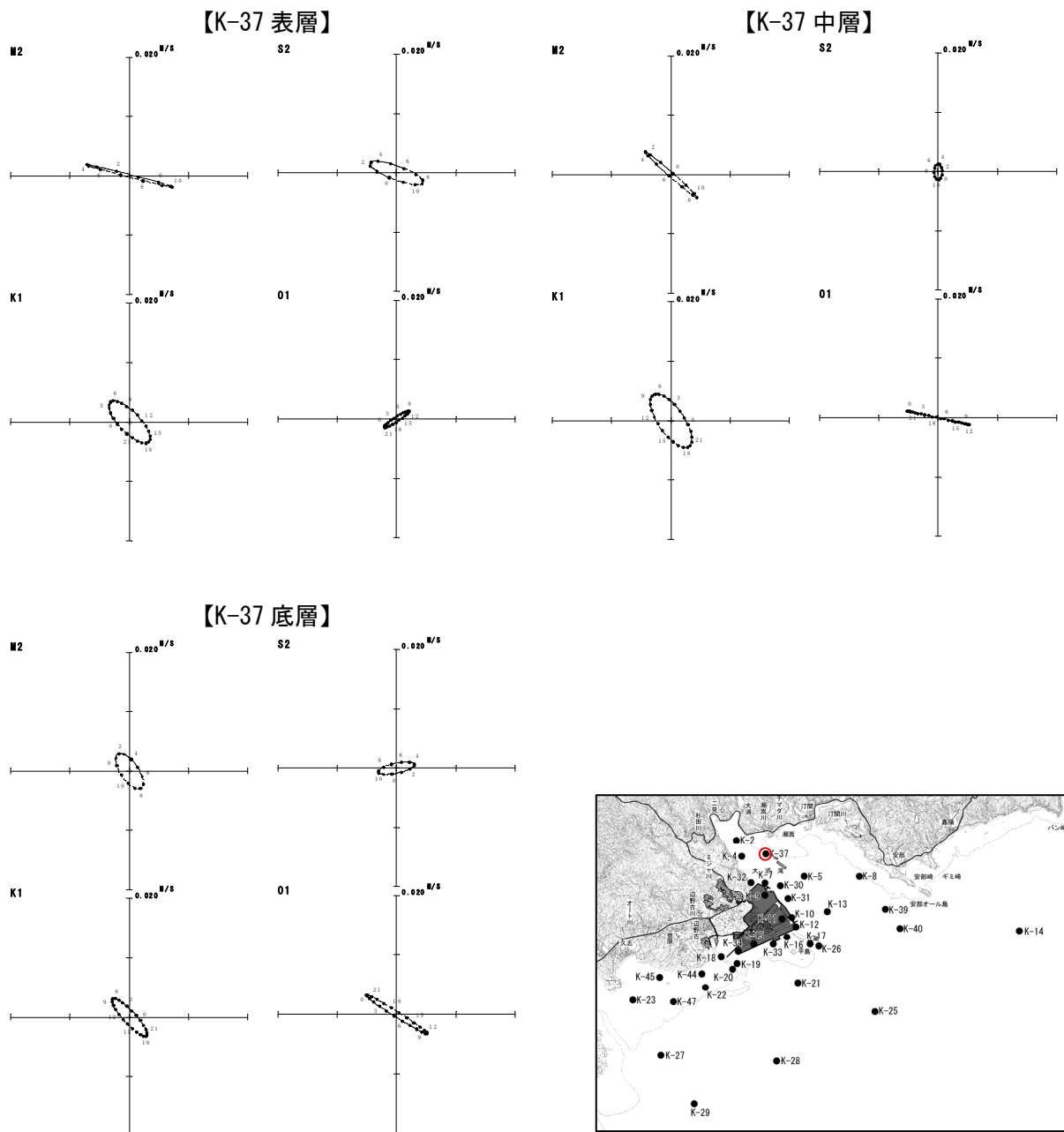


図-6. 6. 1. 22(18) 超音波流速計による調査結果に基づく春季の潮流楕円

注) 調査期間：平成 20 年 4 月 21 日～5 月 21 日

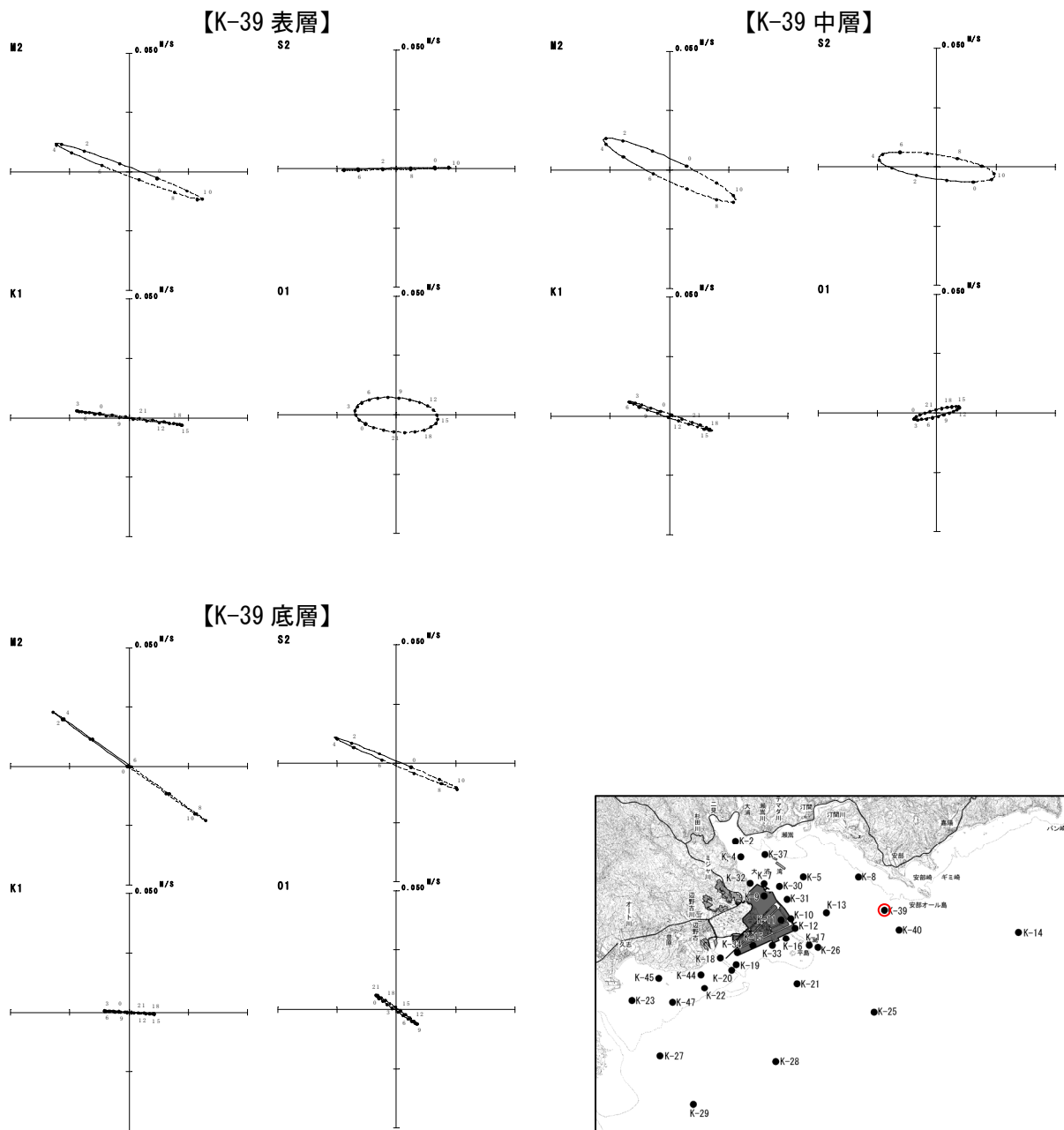


図-6. 6. 1. 22 (19) 超音波流速計による調査結果に基づく春季の潮流楕円

注) 調査期間：平成 20 年 4 月 21 日～5 月 21 日

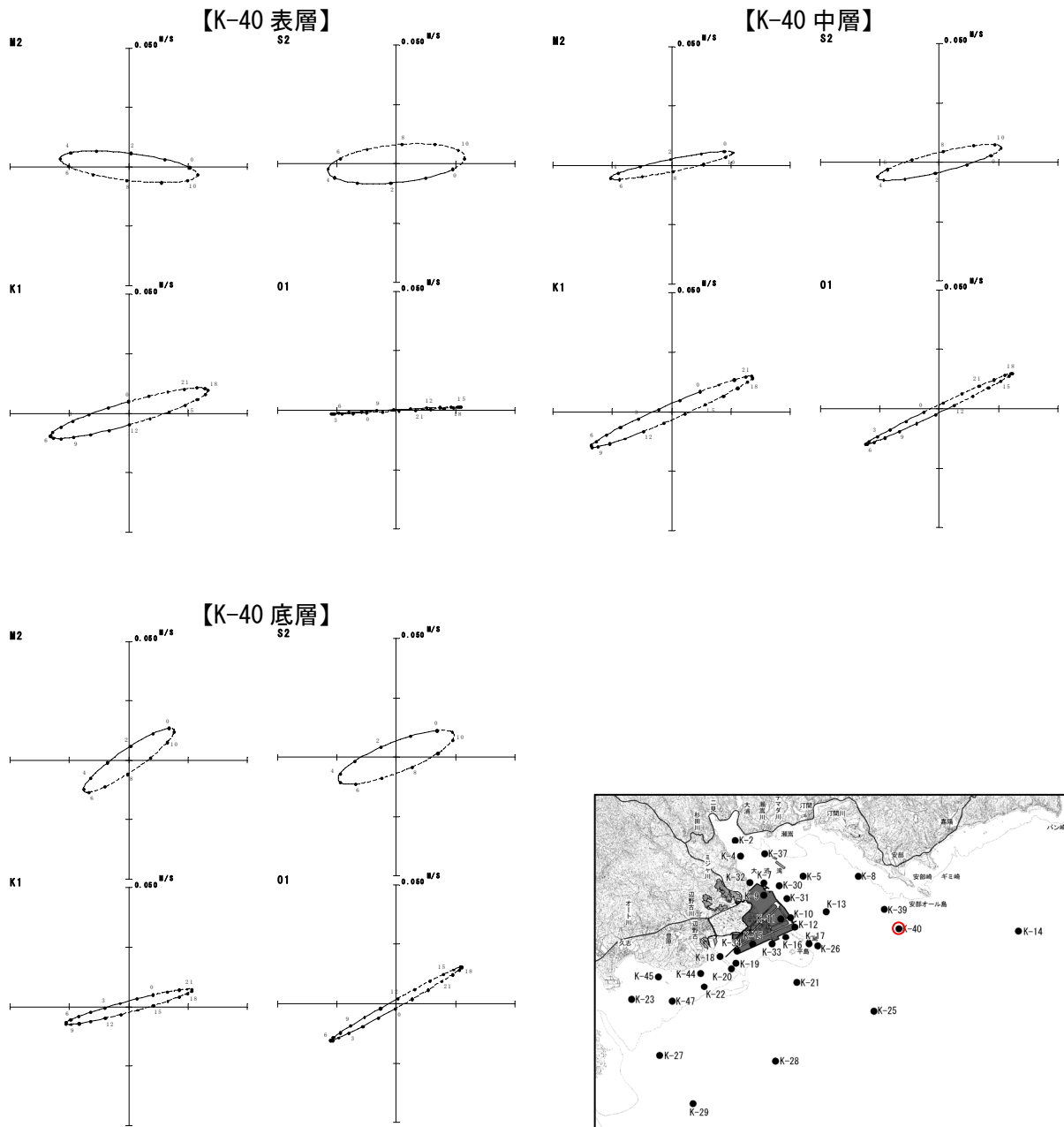


図-6. 6. 1. 22 (20) 超音波流速計による調査結果に基づく春季の潮流楕円

注) 調査期間：平成 20 年 4 月 21 日～5 月 21 日



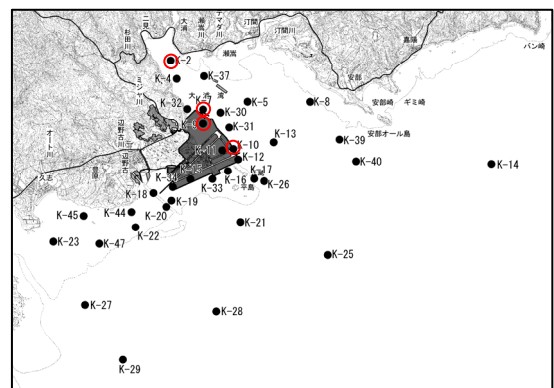
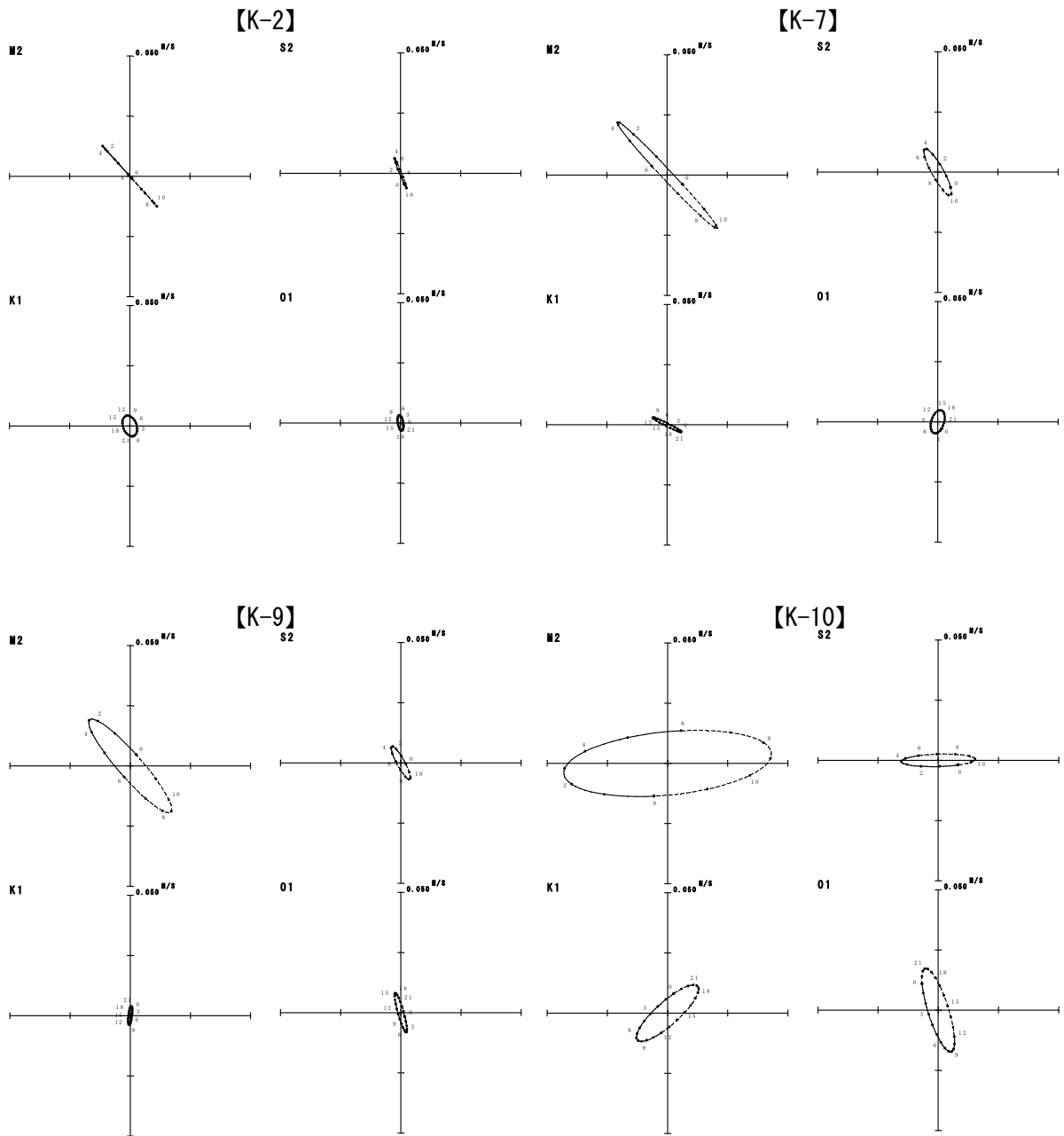


図-6. 6. 1. 23(1) 電磁流速計による調査結果に基づく夏季の潮流楕円  
 注) 調査期間：平成 20 年 7 月 3 日～9 月 5 日 (解析は 8～9 月の 30 日間のデータを用いています。)

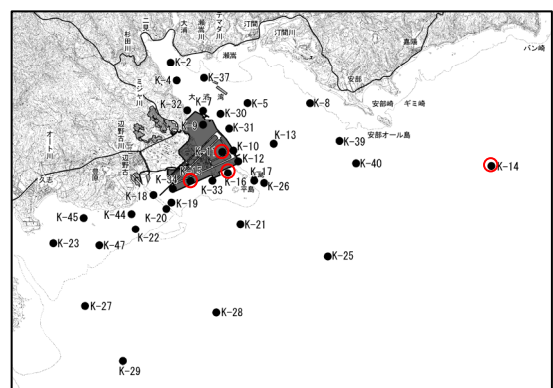
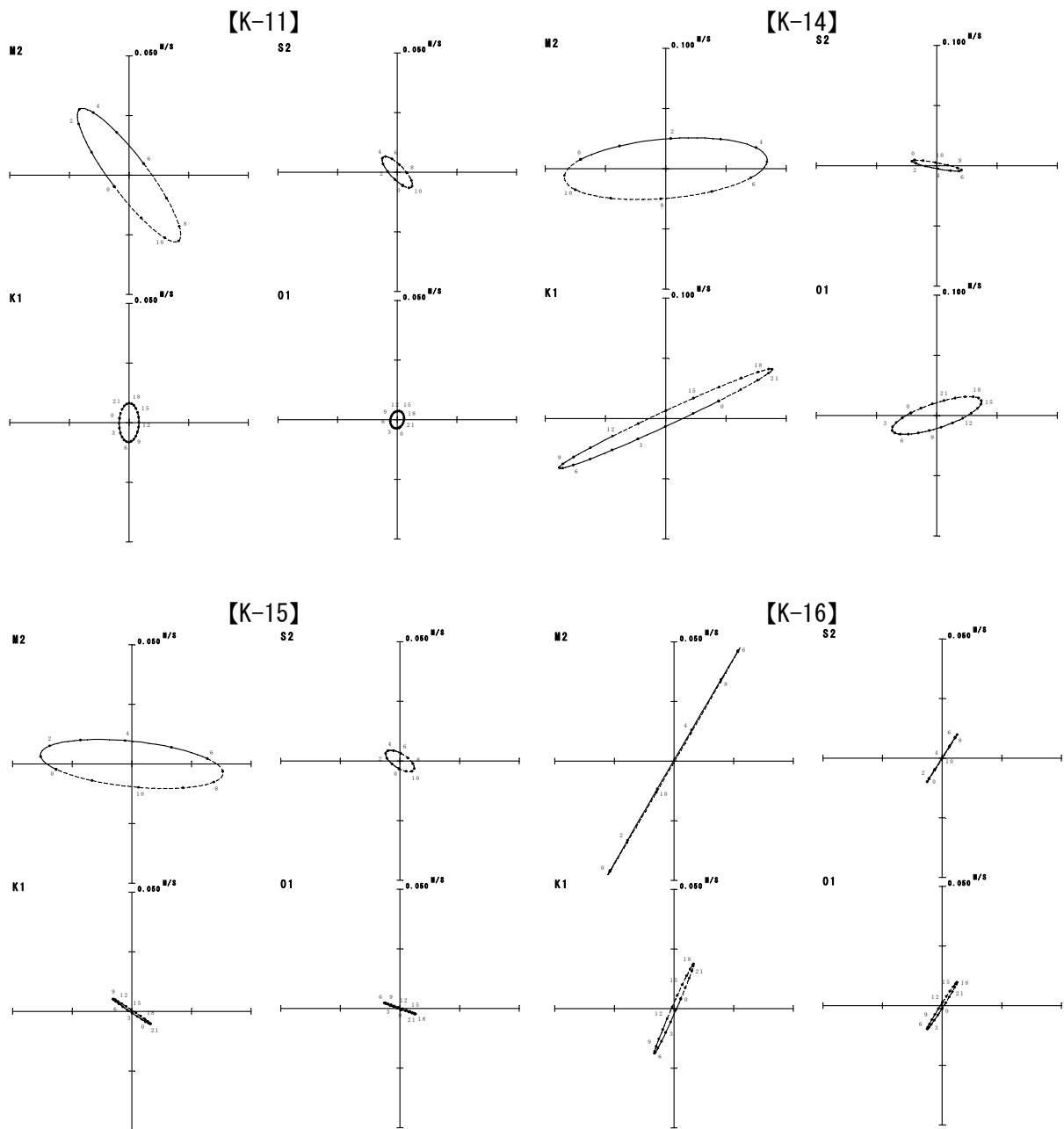


図-6. 6. 1. 23(2) 電磁流速計による調査結果に基づく夏季の潮流楕円

注) 調査期間：平成 20 年 7 月 3 日～9 月 5 日（解析は 8～9 月の 30 日間のデータを用いています。）

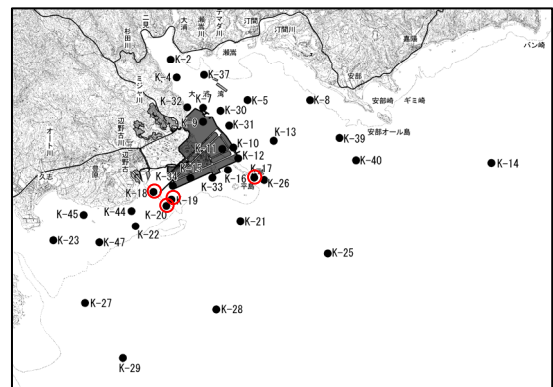
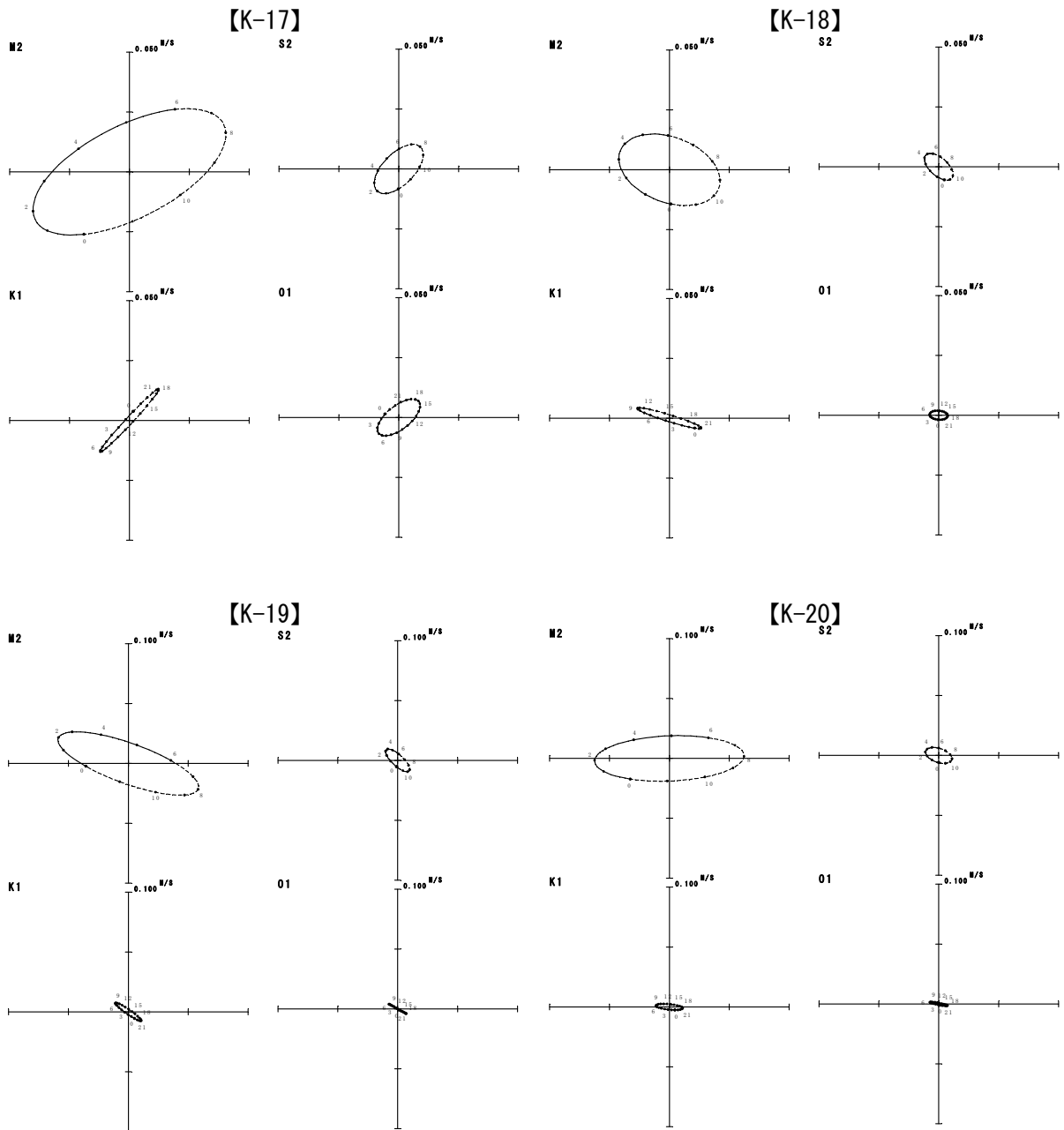


図-6. 6. 1. 23(3) 電磁流速計による調査結果に基づく夏季の潮流楕円

注) 調査期間：平成 20 年 7 月 3 日～9 月 5 日 (解析は 8～9 月の 30 日間のデータを用いています。)

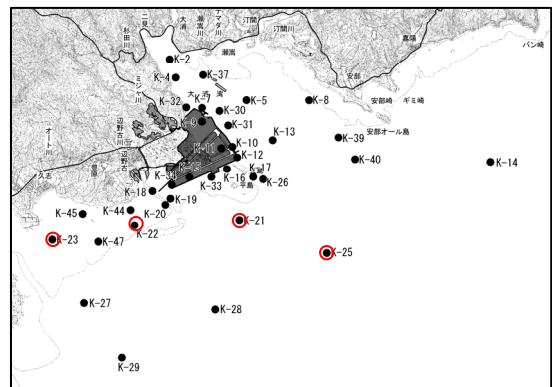
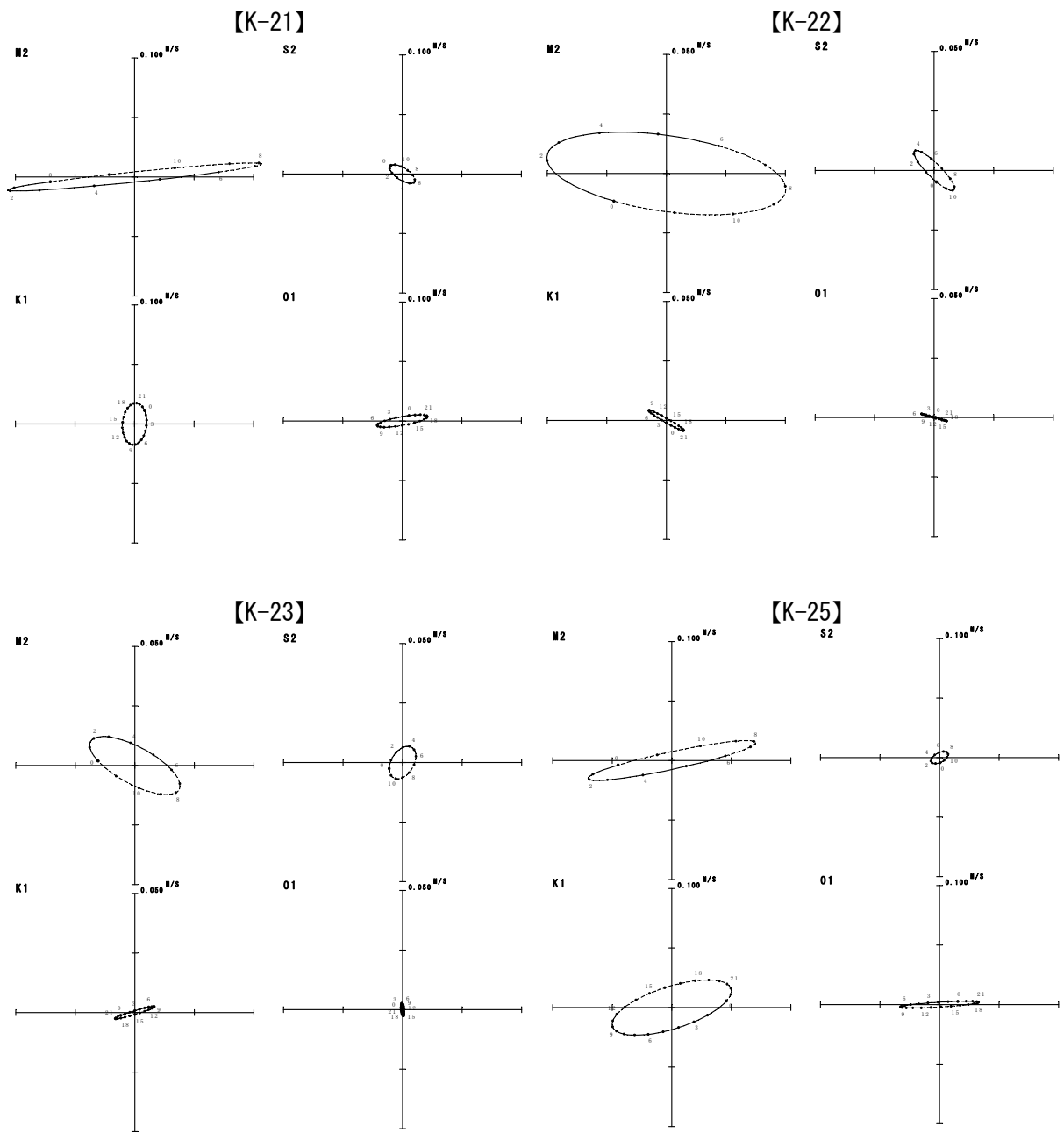


図-6. 6. 1. 23(4) 電磁流速計による調査結果に基づく夏季の潮流楕円

注) 調査期間：平成 20 年 7 月 3 日～9 月 5 日 (解析は 8～9 月の 30 日間のデータを用いています。)

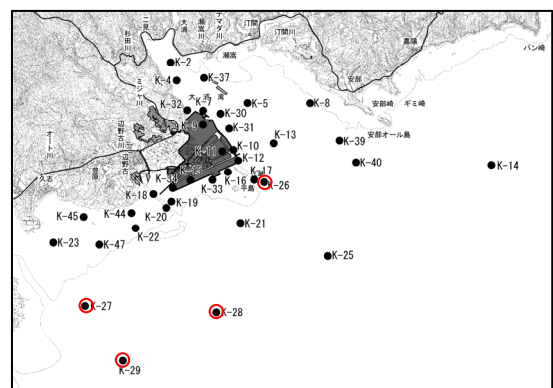
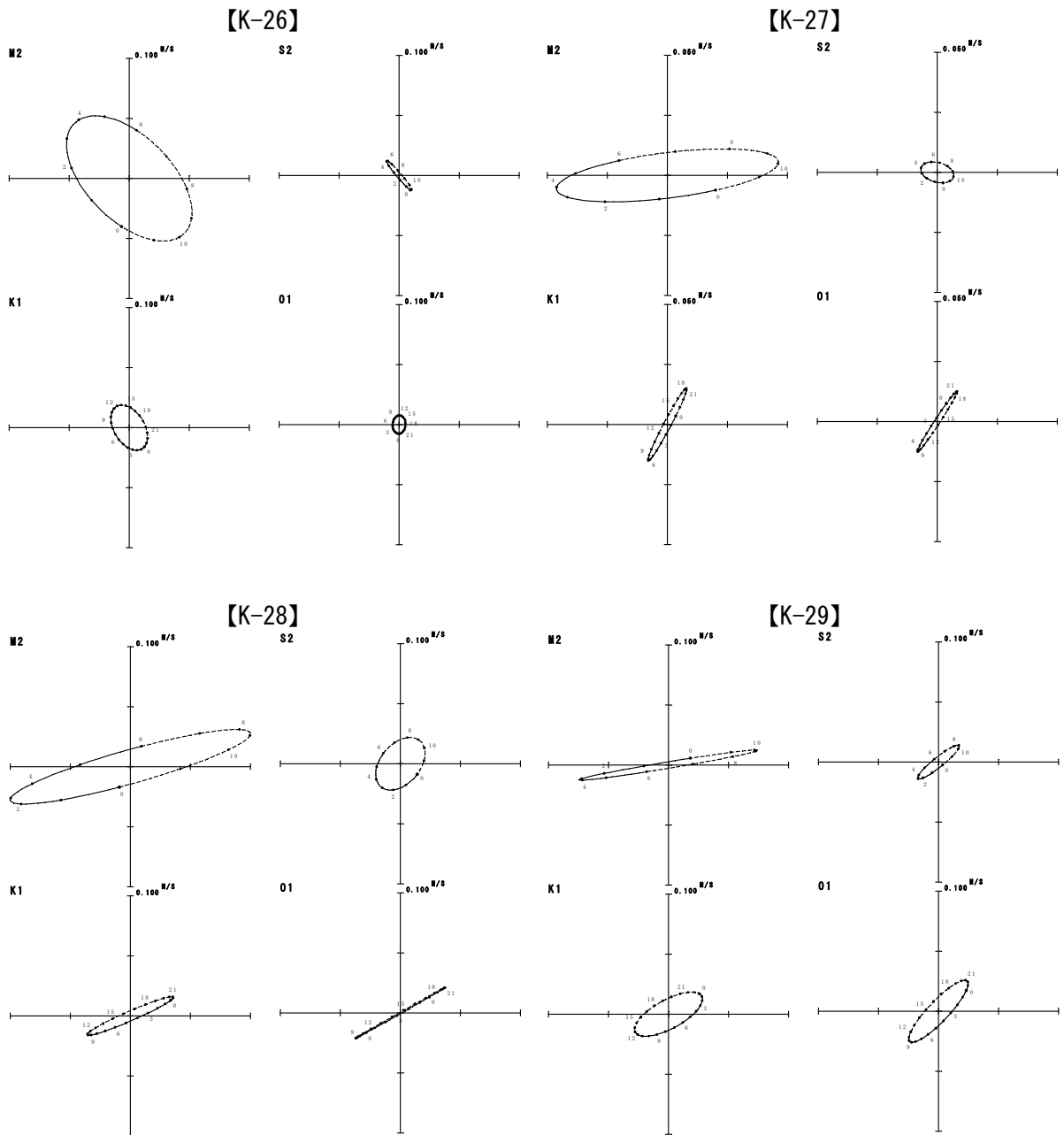


図-6. 6. 1. 23(5) 電磁流速計による調査結果に基づく夏季の潮流楕円

注) 調査期間：平成 20 年 7 月 3 日～9 月 5 日 (解析は 8～9 月の 30 日間のデータを用いています。)

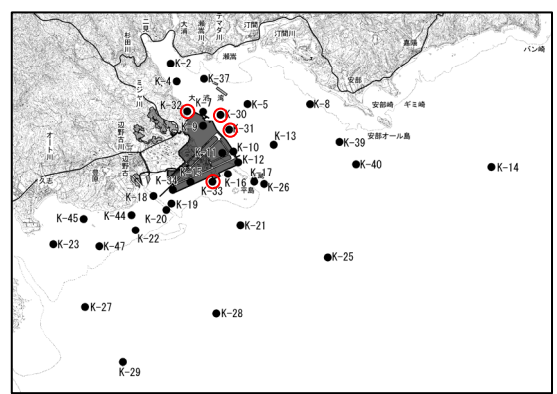
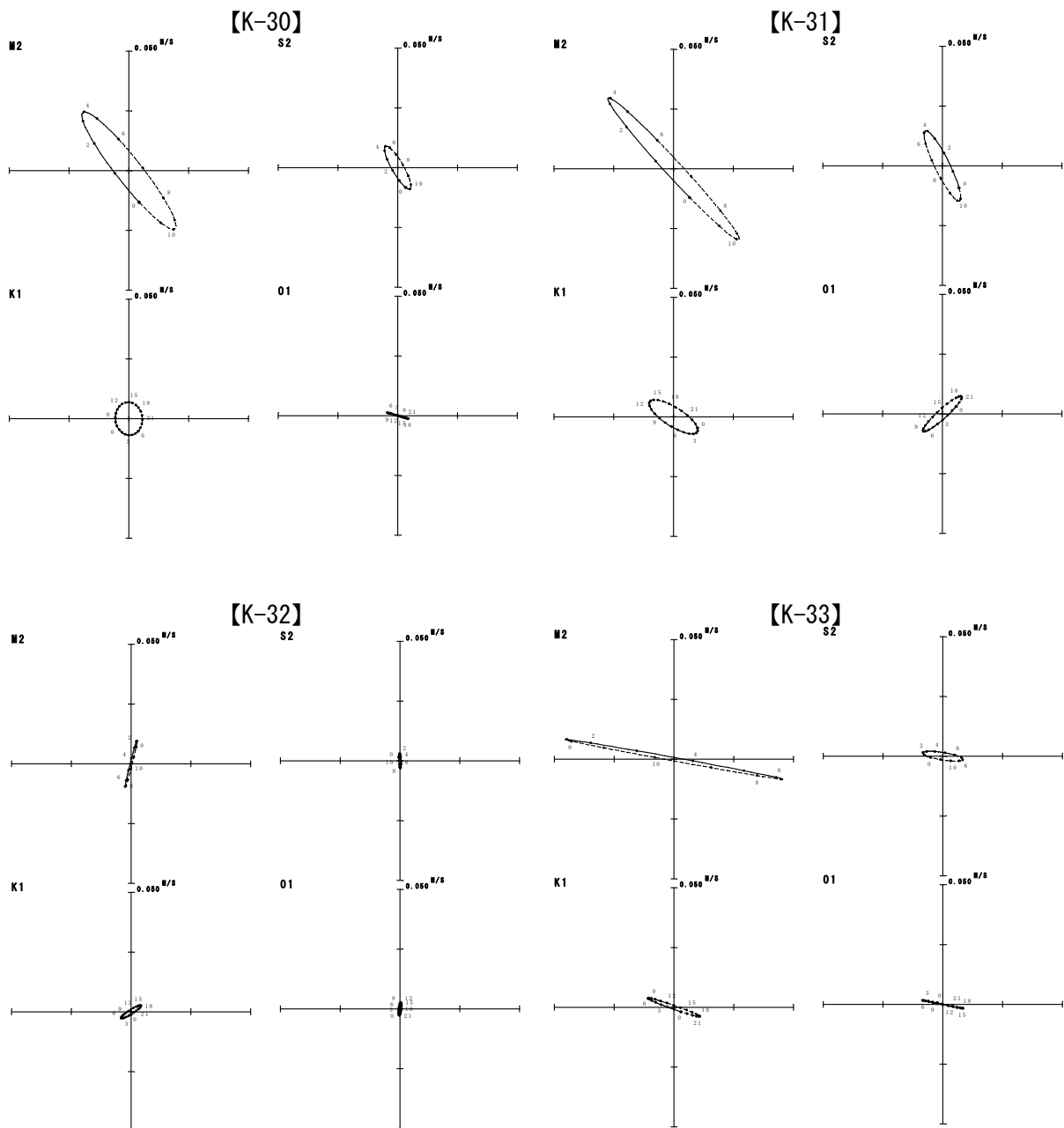


図-6. 6. 1. 23(6) 電磁流速計による調査結果に基づく夏季の潮流楕円

注) 調査期間：平成 20 年 7 月 3 日～9 月 5 日 (解析は 8～9 月の 30 日間のデータを用いています)

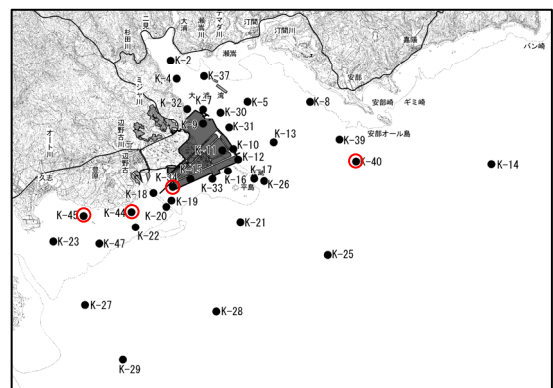
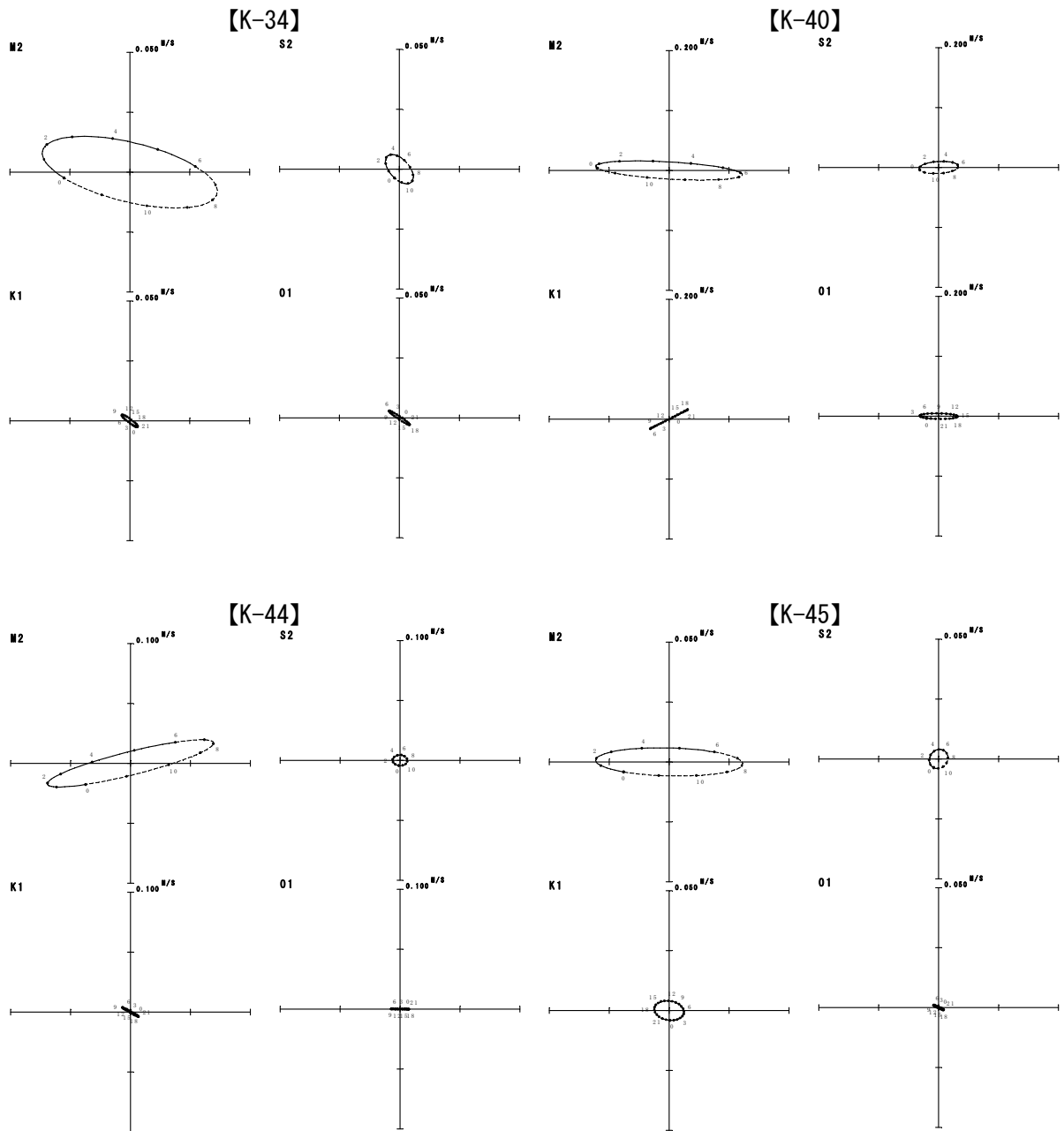


図-6. 6. 1. 23(7) 電磁流速計による調査結果に基づく夏季の潮流楕円

注) 調査期間：平成 20 年 7 月 3 日～9 月 5 日 (解析は 8～9 月の 30 日間のデータを用いています)

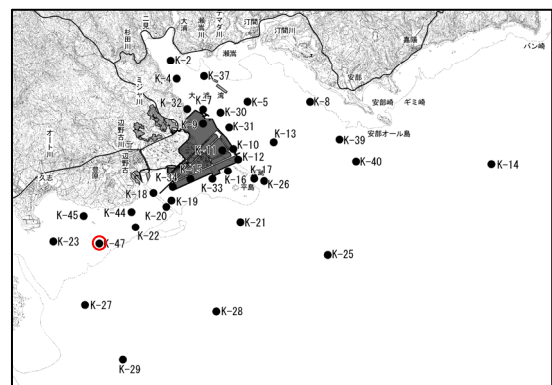
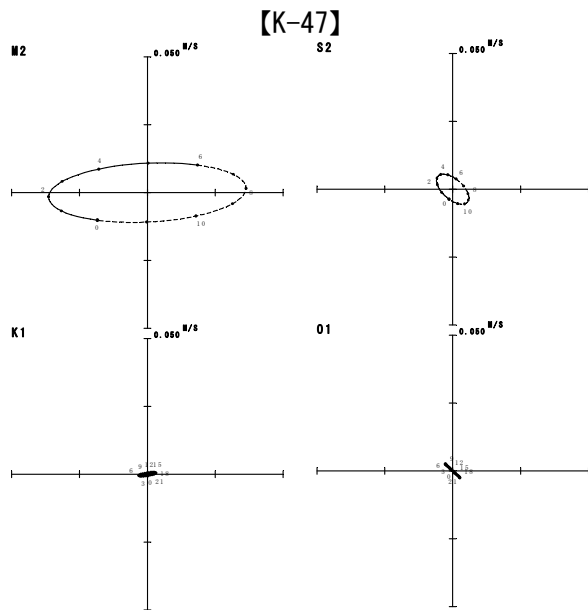


図-6. 6. 1. 23(8) 電磁流速計による調査結果に基づく夏季の潮流楕円

注) 調査期間：平成 20 年 7 月 3 日～9 月 5 日 (解析は 8～9 月の 30 日間のデータを用いています。)



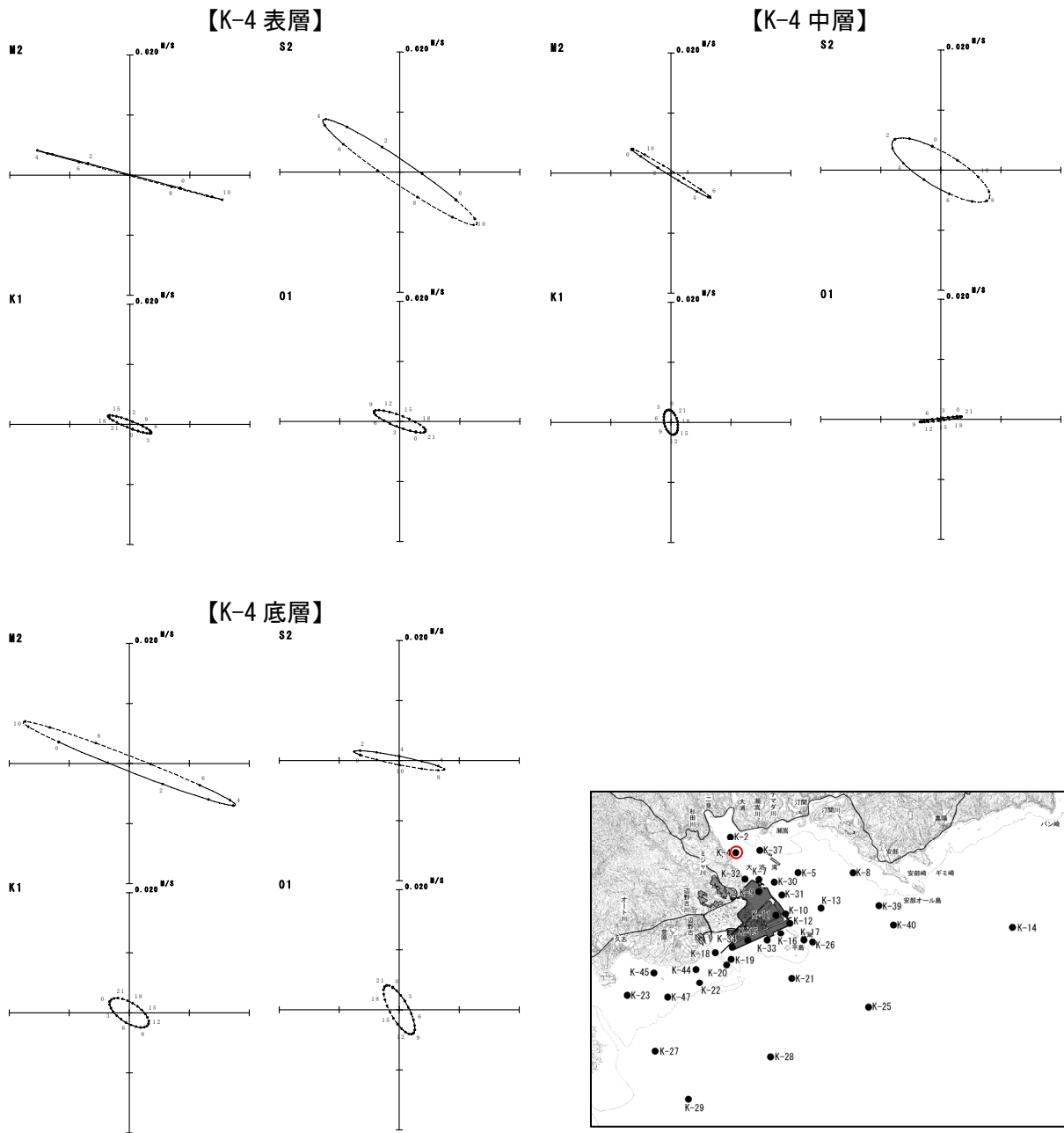


図-6.6.1.24(1) 超音波流速計による調査結果に基づく夏季の潮流楕円

注) 調査期間：平成20年7月3日～9月5日（解析は8～9月の30日間のデータを用いています）

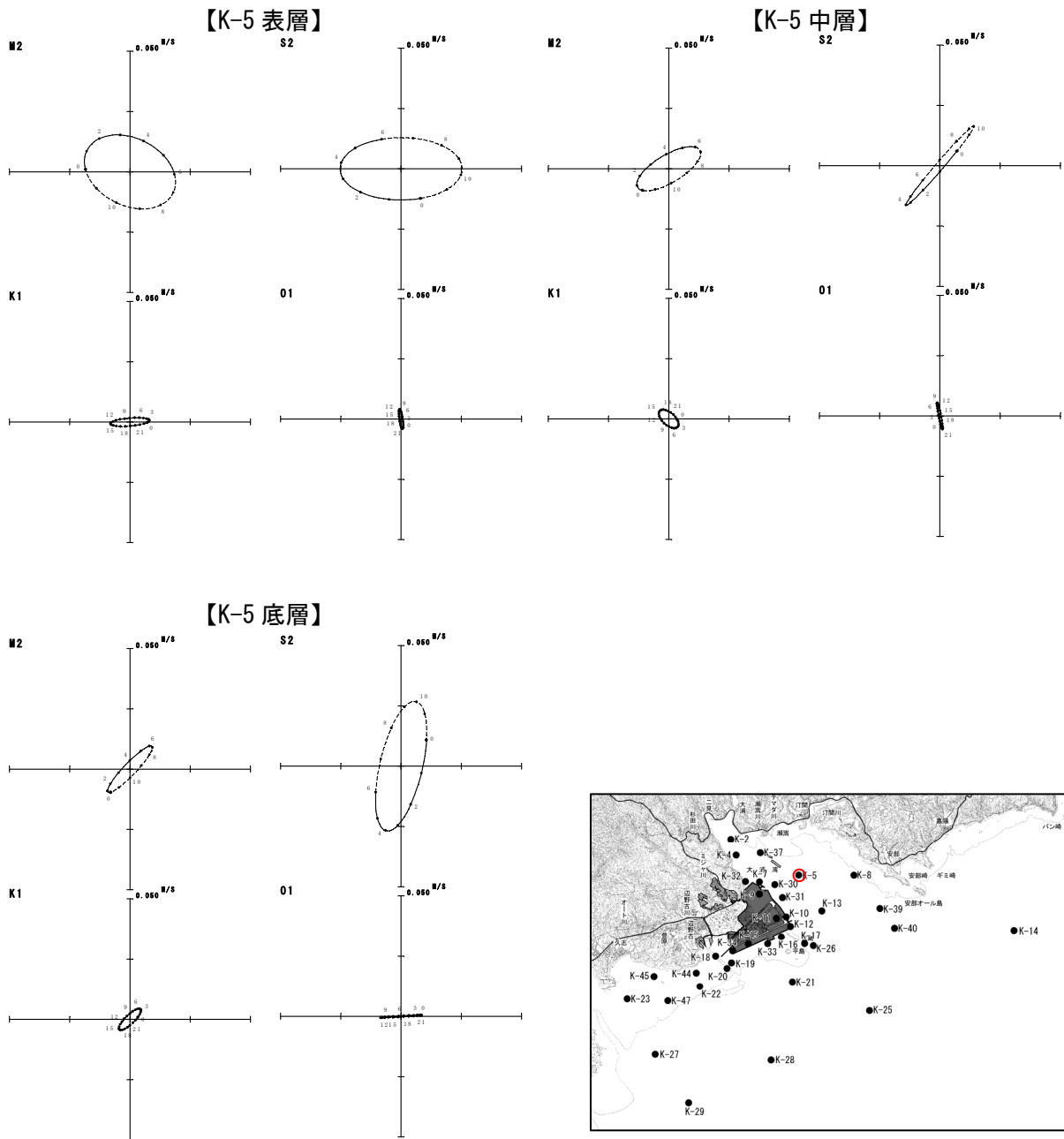


図-6.6.1.24(2) 超音波流速計による調査結果に基づく夏季の潮流楕円

注) 調査期間：平成20年7月3日～9月5日（解析は8～9月の30日間のデータを用いています。）

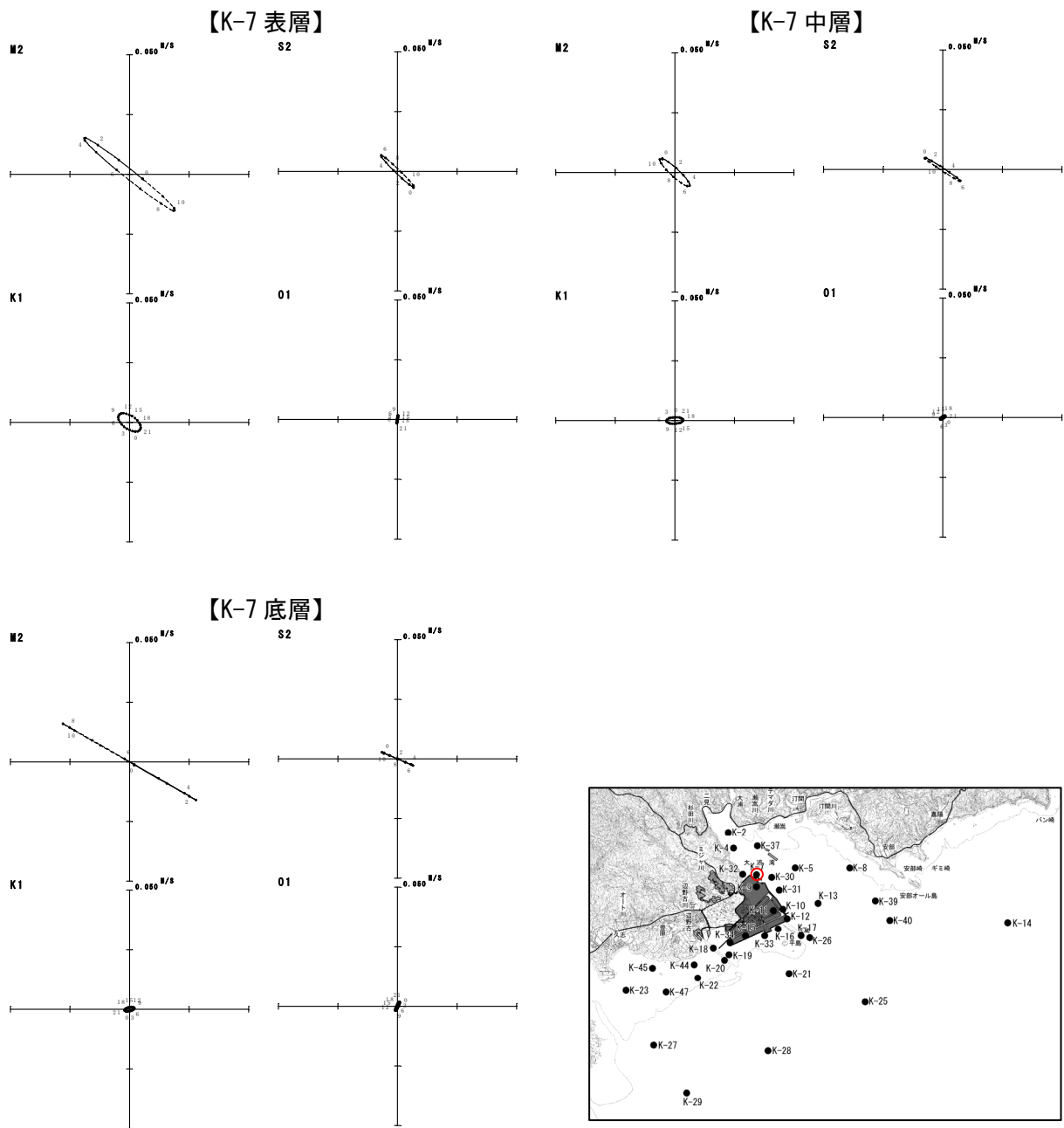


図-6. 6. 1. 24(3) 超音波流速計による調査結果に基づく夏季の潮流楕円  
 注) 調査期間：平成 20 年 7 月 3 日～9 月 5 日 (解析は 8～9 月の 30 日間のデータを用いています。)

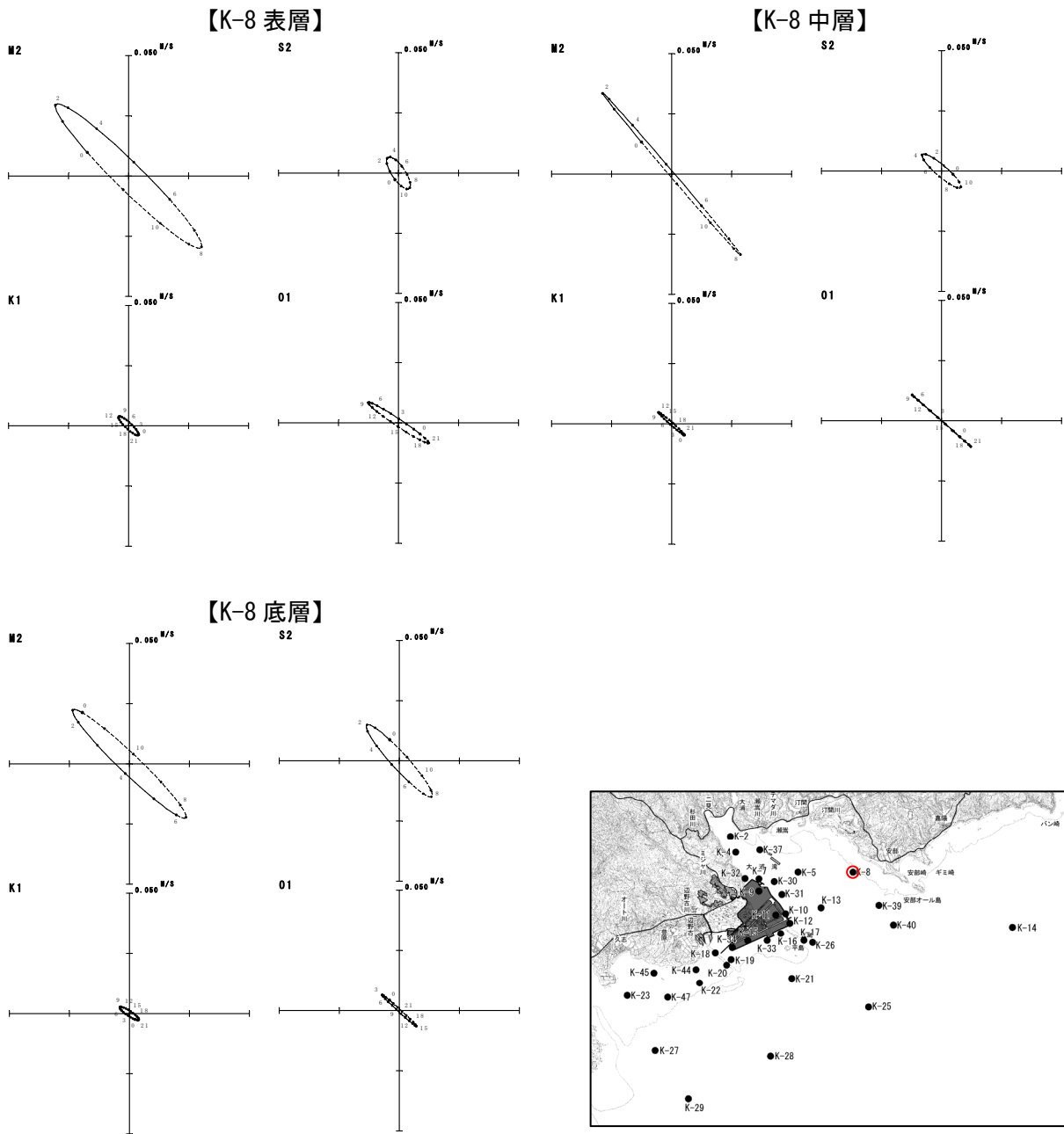


図-6.6.1.24(4) 超音波流速計による調査結果に基づく夏季の潮流楕円  
 注) 調査期間：平成20年7月3日～9月5日（解析は8～9月の30日間のデータを用いています。）

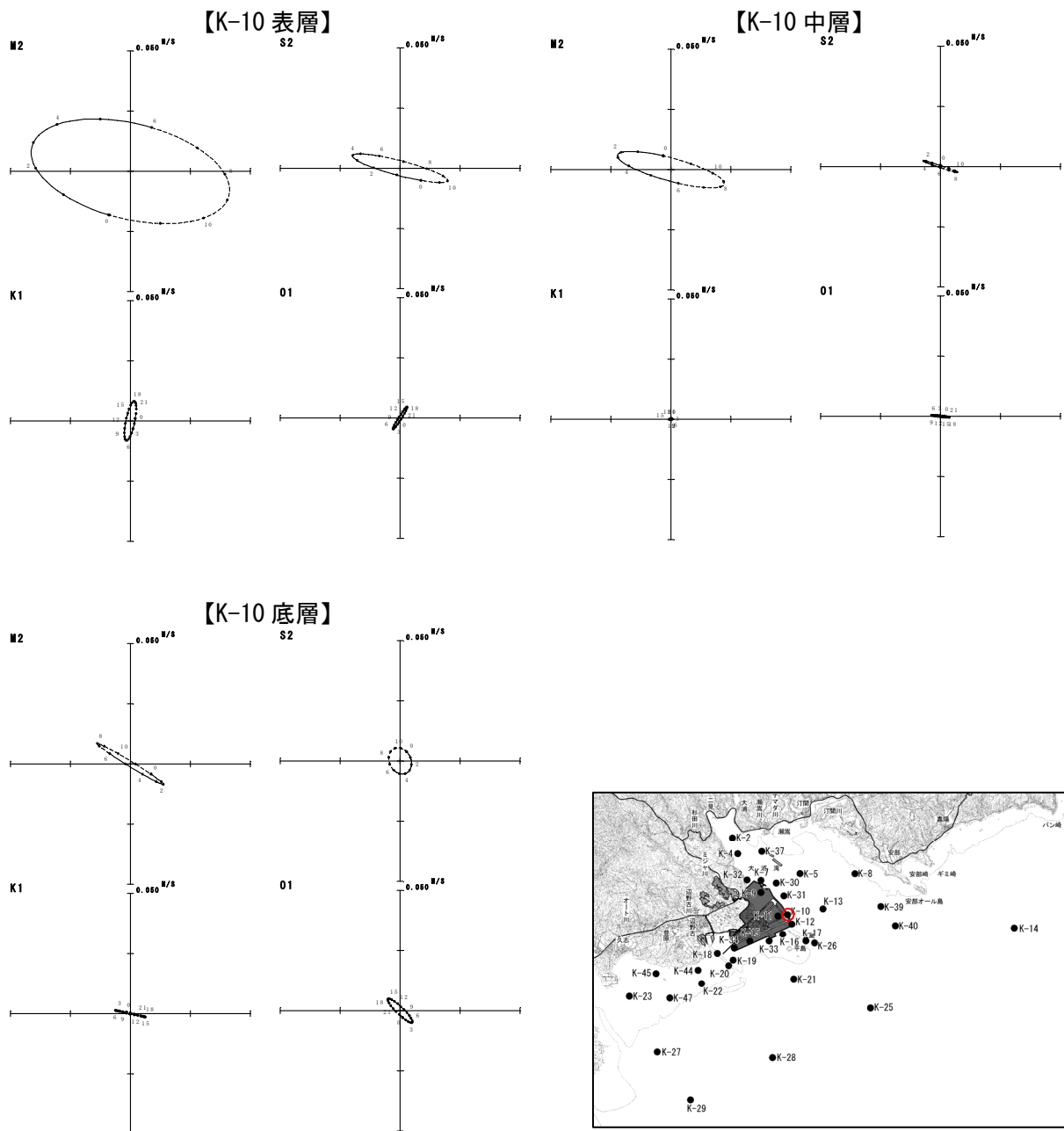


図-6.6.1.24(5) 超音波流速計による調査結果に基づく夏季の潮流楕円  
 注) 調査期間：平成20年7月3日～9月5日（解析は8～9月の30日間のデータを用いています。）

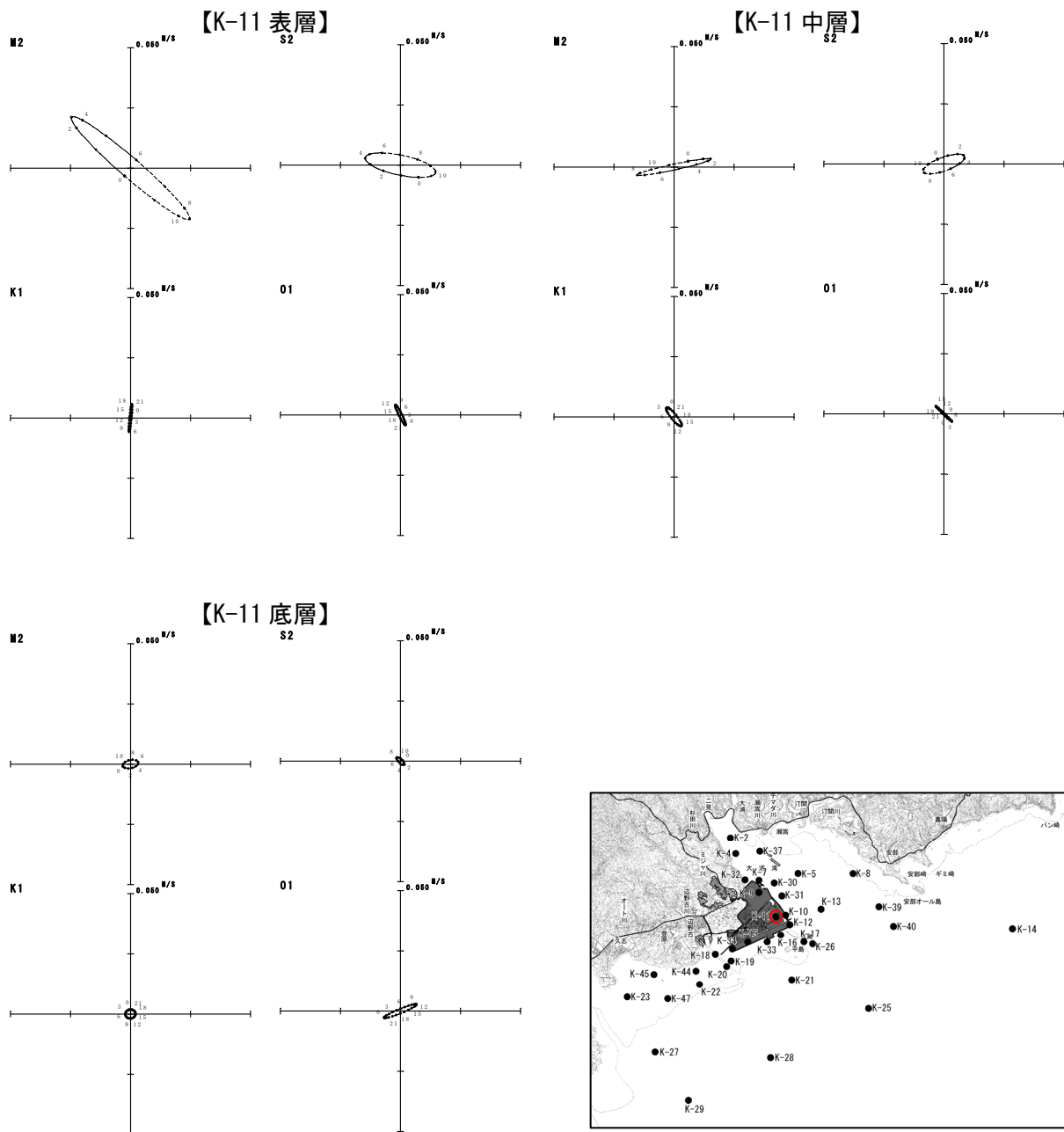


図-6.6.1.24(6) 超音波流速計による調査結果に基づく夏季の潮流楕円  
 注) 調査期間：平成20年7月3日～9月5日（解析は8～9月の30日間のデータを用いています。）

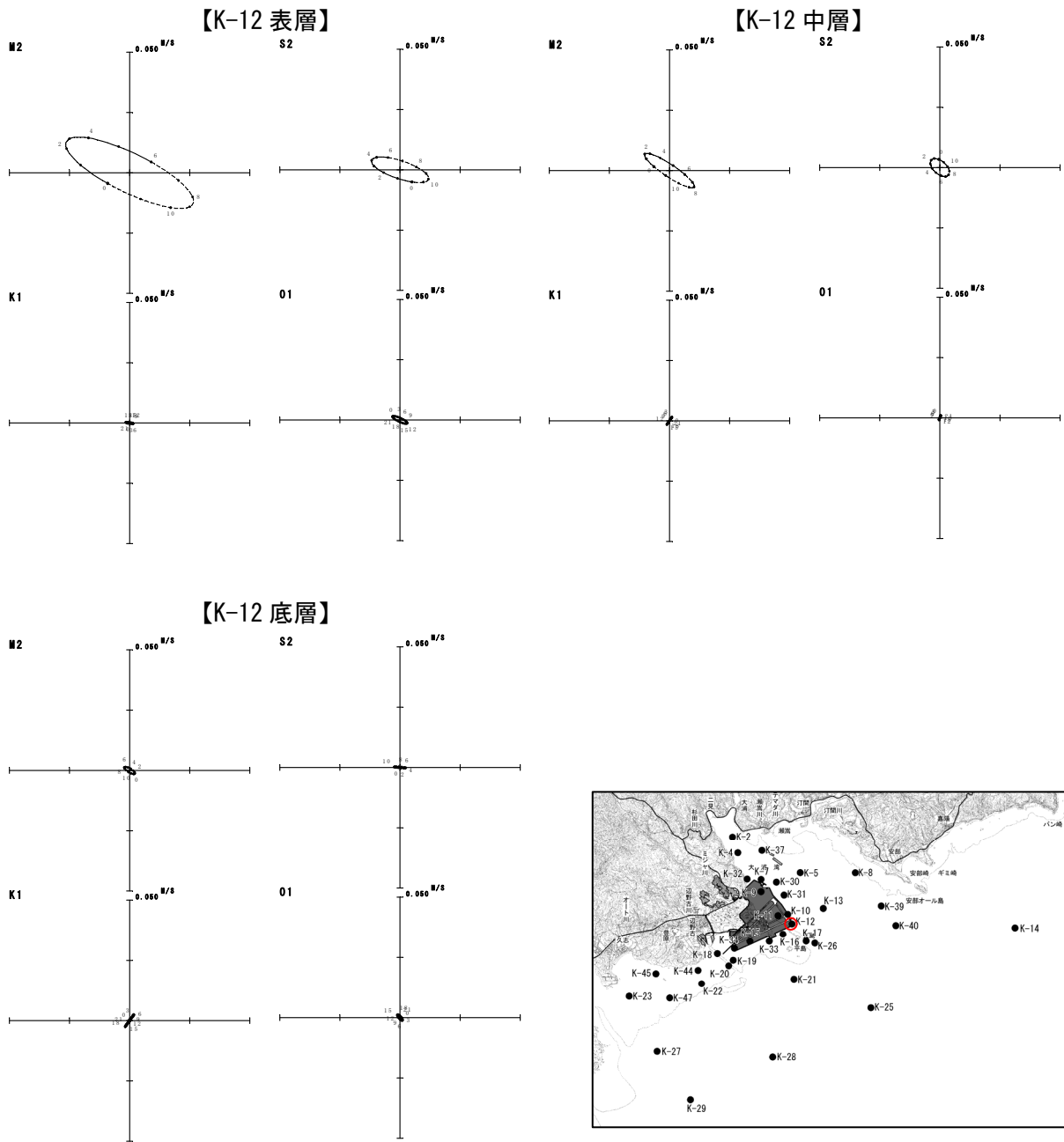


図-6.6.1.24(7) 超音波流速計による調査結果に基づく夏季の潮流楕円  
 注) 調査期間：平成20年7月3日～9月5日(解析は8～9月の30日間のデータを用いています。)

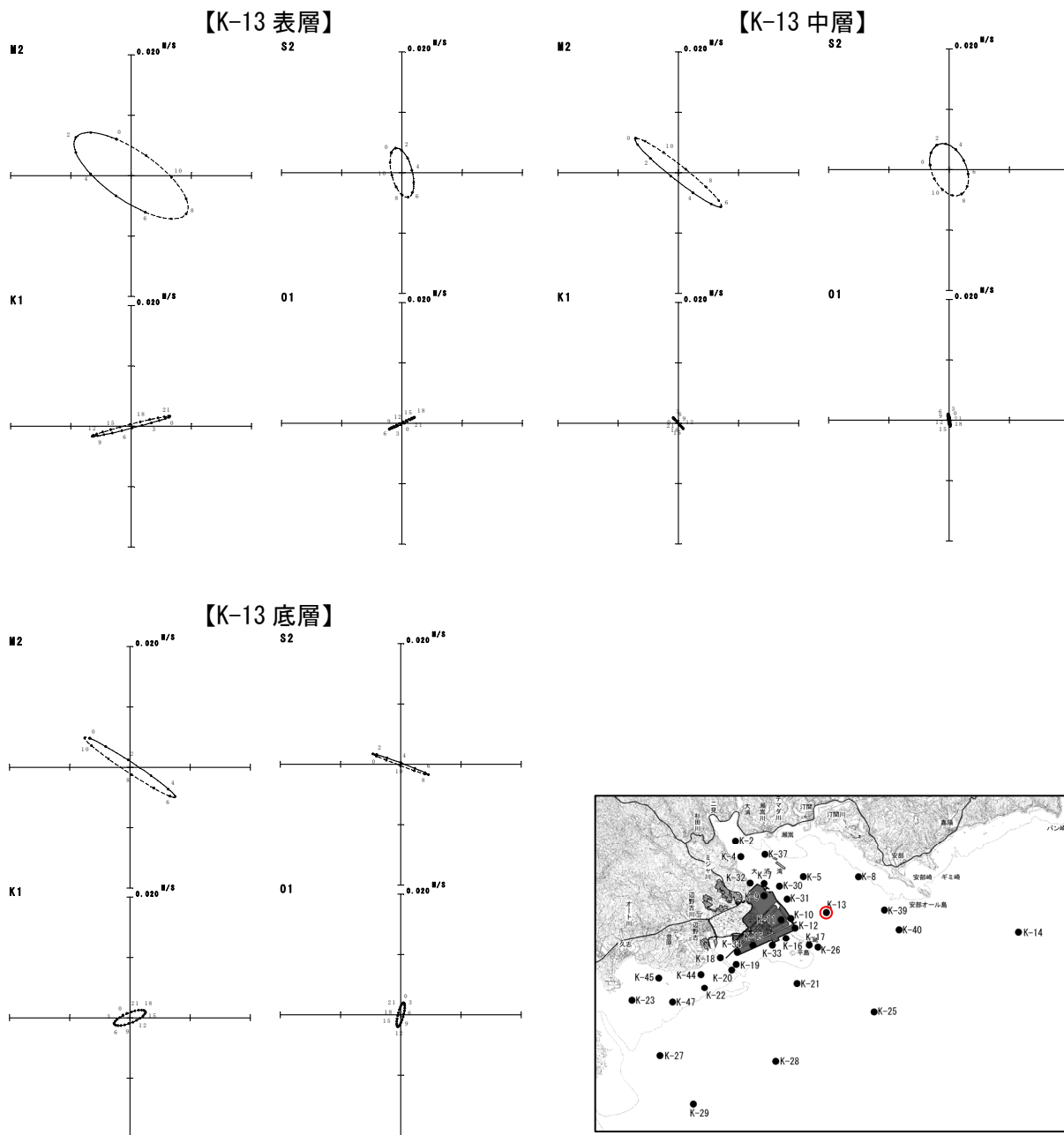


図-6.6.1.24(8) 超音波流速計による調査結果に基づく夏季の潮流楕円  
 注) 調査期間：平成20年7月3日～9月5日（解析は8～9月の30日間のデータを用いています。）



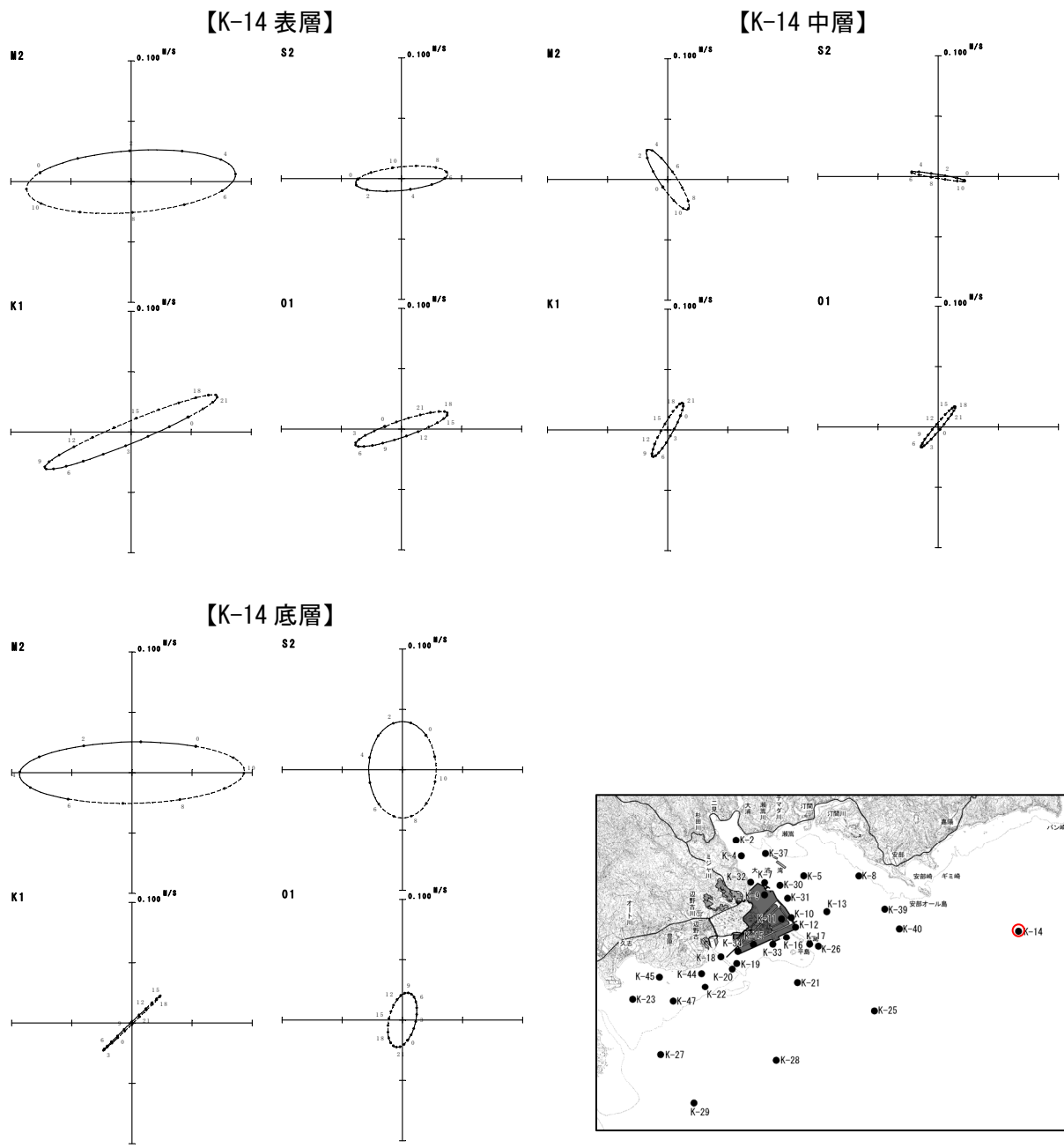


図-6.6.1.24(9) 超音波流速計による調査結果に基づく夏季の潮流楕円  
 注) 調査期間：平成20年7月3日～9月5日 (解析は8～9月の30日間のデータを用いています。)

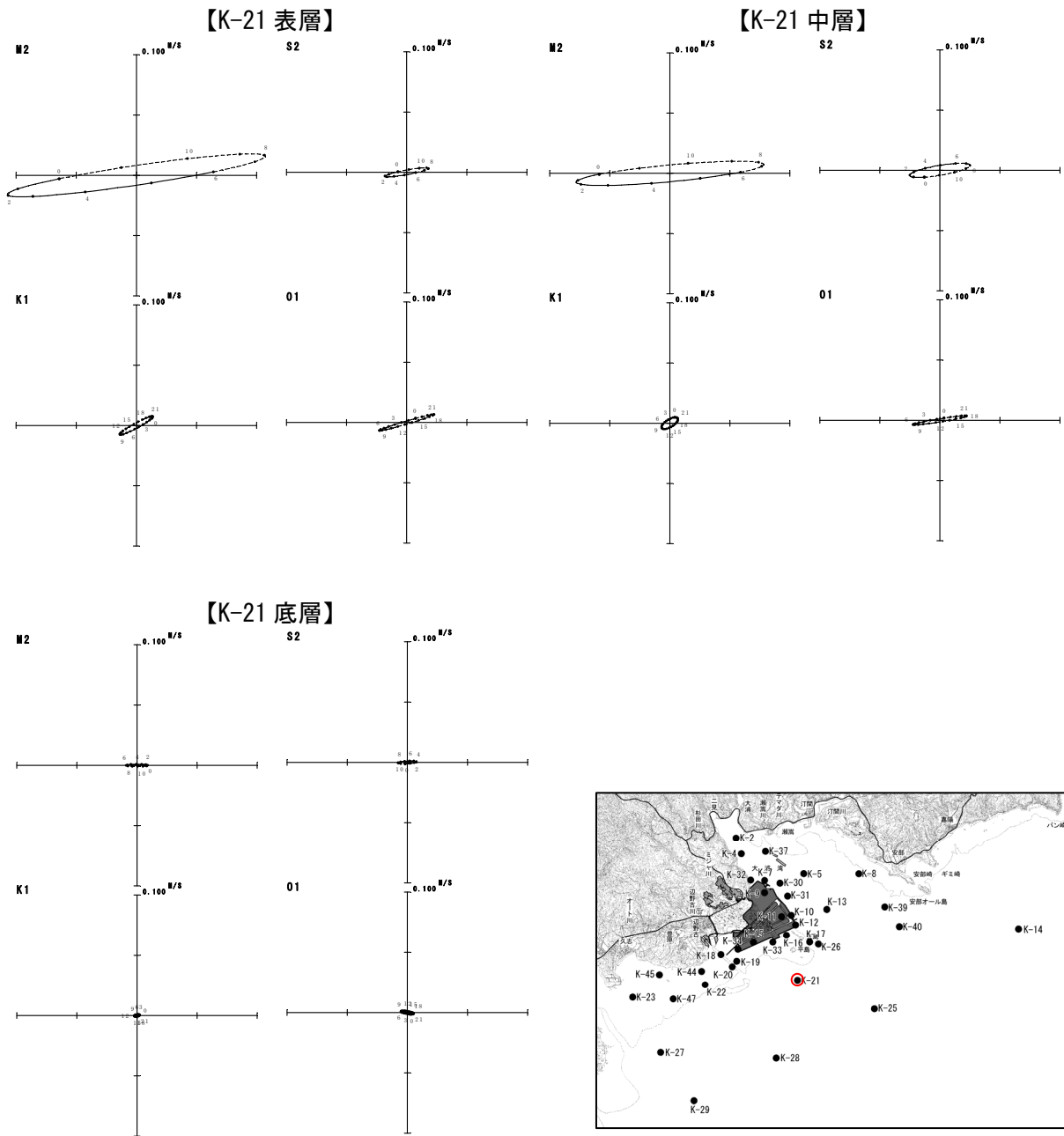


図-6.6.1.24(10) 超音波流速計による調査結果に基づく夏季の潮流楕円  
 注) 調査期間：平成20年7月3日～9月5日 (解析は8～9月の30日間のデータを用いています。)

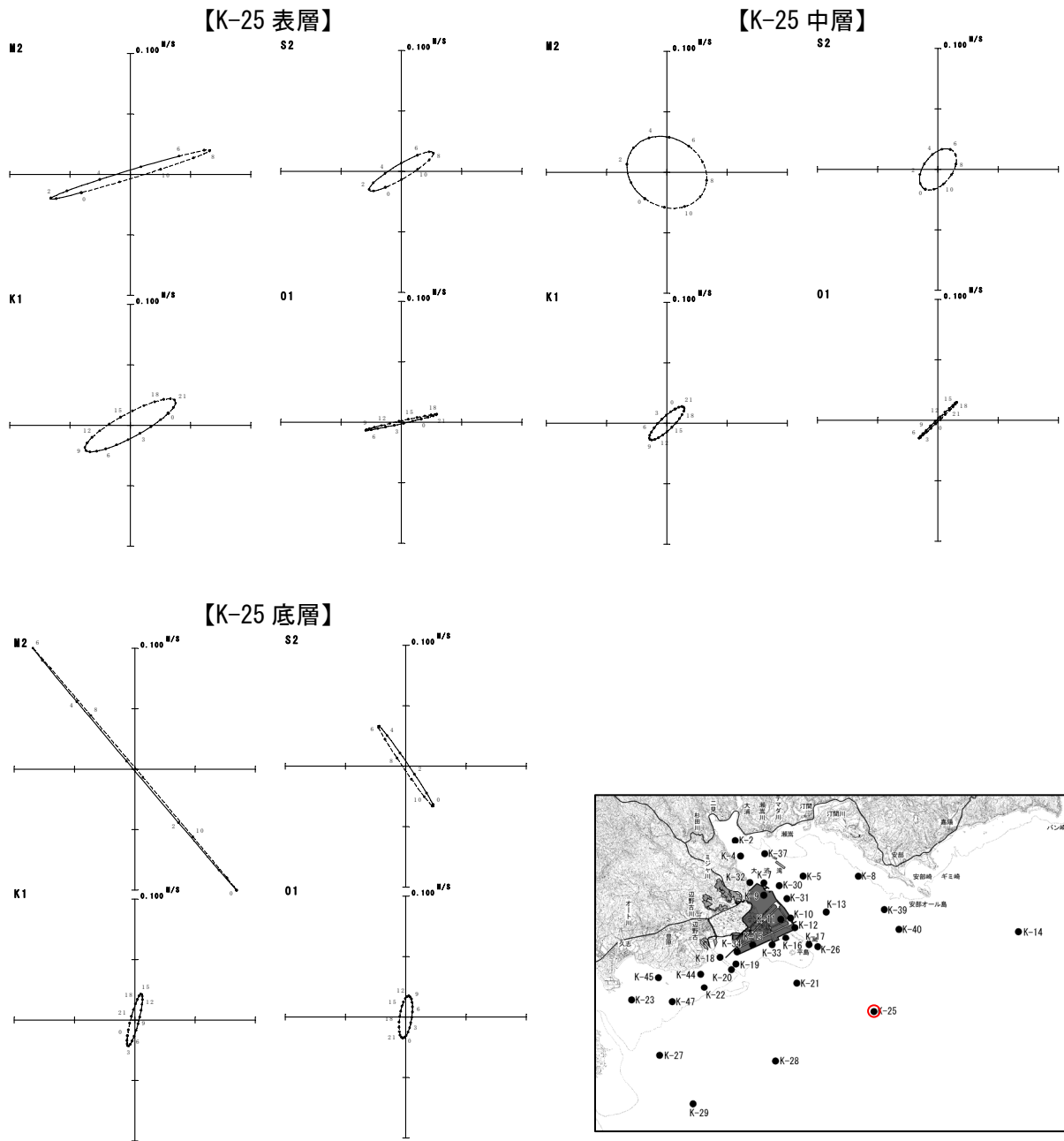


図-6.6.1.24(11) 超音波流速計による調査結果に基づく夏季の潮流楕円  
 注) 調査期間：平成20年7月3日～9月5日（解析は8～9月の30日間のデータを用いています。）

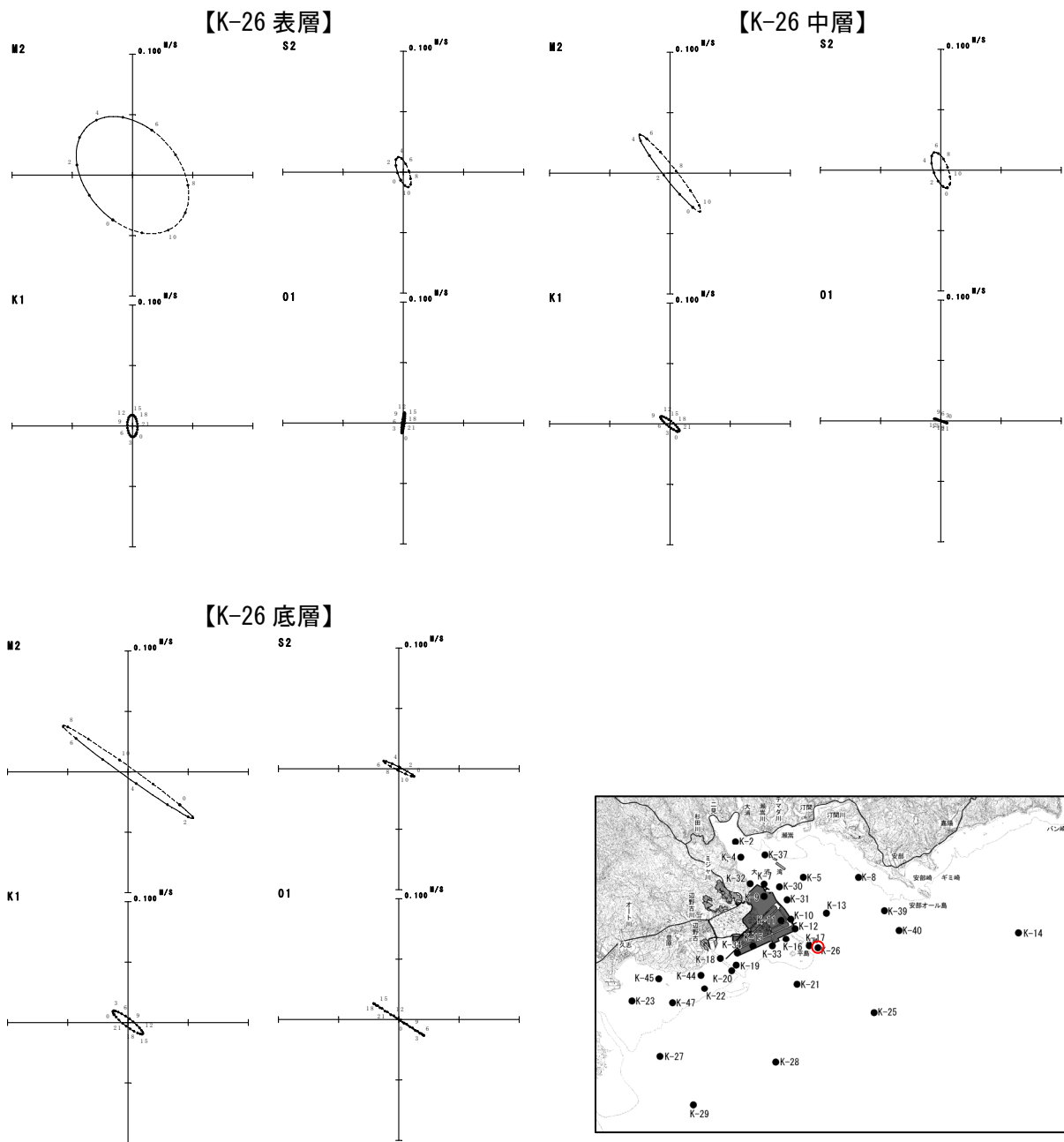


図-6.6.1.24(12) 超音波流速計による調査結果に基づく夏季の潮流楕円  
 注) 調査期間：平成20年7月3日～9月5日（解析は8～9月の30日間のデータを用いています。）

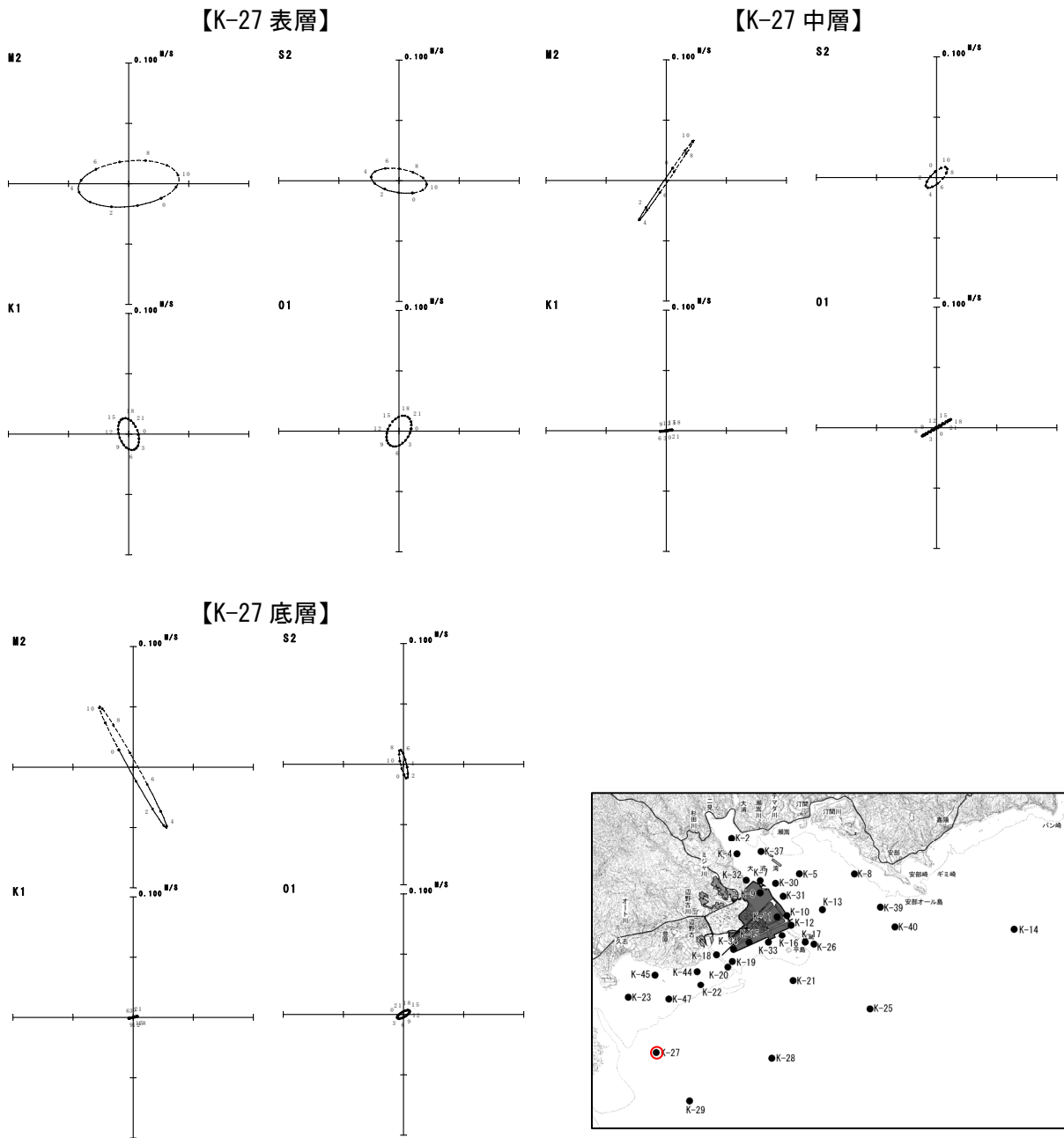


図-6.6.1.24(13) 超音波流速計による調査結果に基づく夏季の潮流楕円  
 注) 調査期間：平成20年7月3日～9月5日（解析は8～9月の30日間のデータを用いています。）

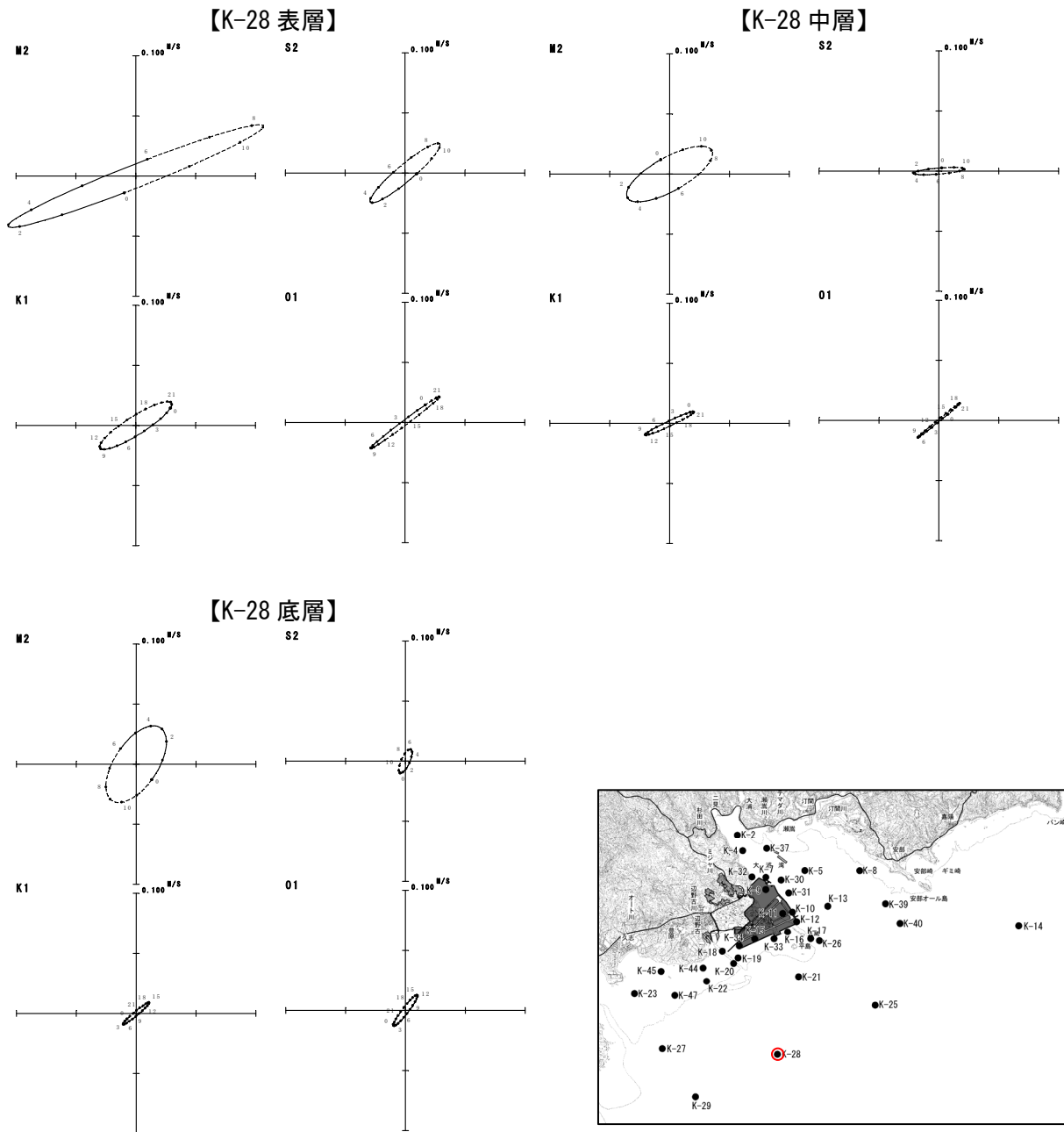


図-6.6.1.24(14) 超音波流速計による調査結果に基づく夏季の潮流楕円  
 注) 調査期間：平成20年7月3日～9月5日（解析は8～9月の30日間のデータを用いています。）

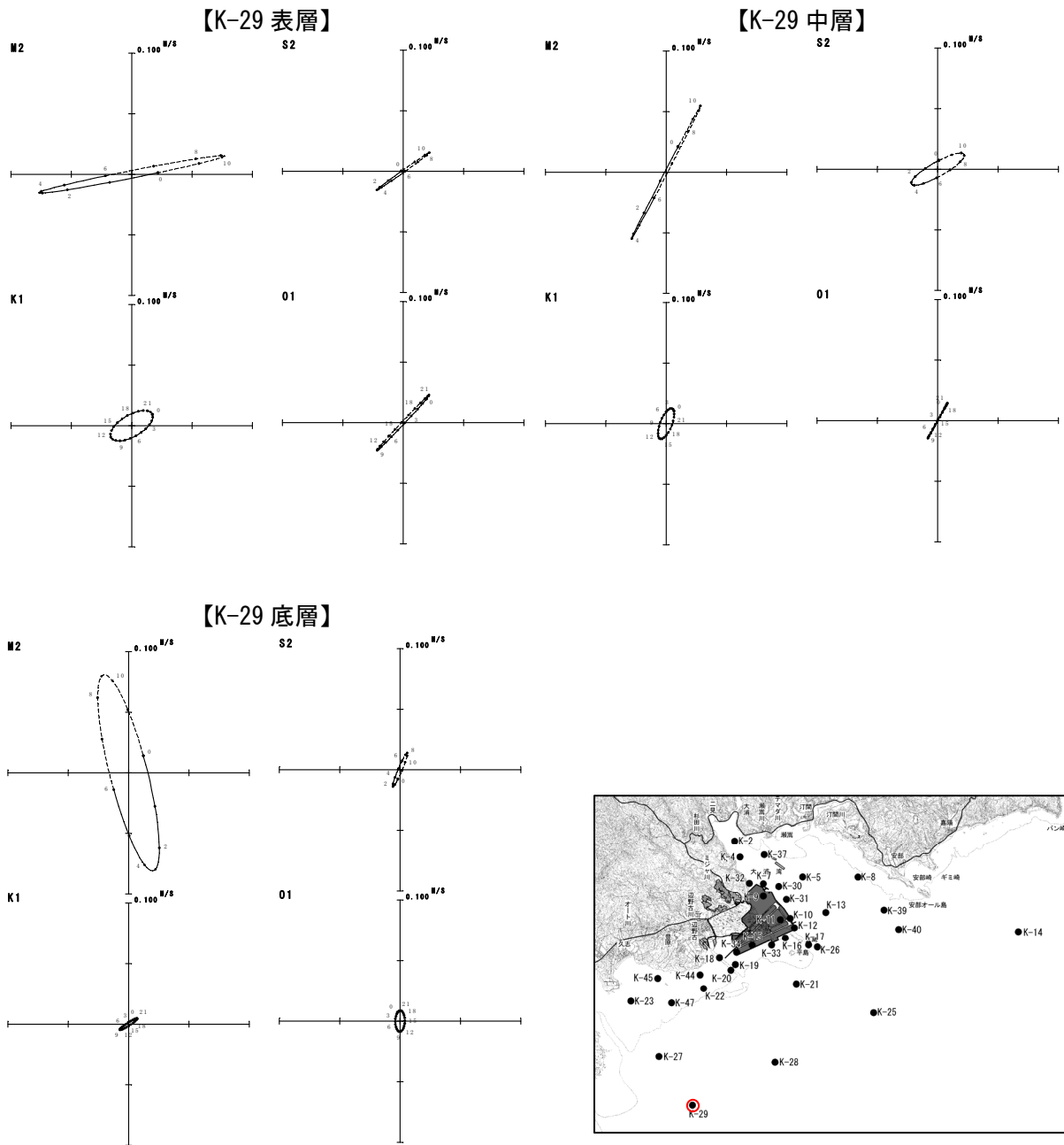


図-6.6.1.24(15) 超音波流速計による調査結果に基づく夏季の潮流楕円  
 注) 調査期間：平成20年7月3日～9月5日（解析は8～9月の30日間のデータを用いています。）

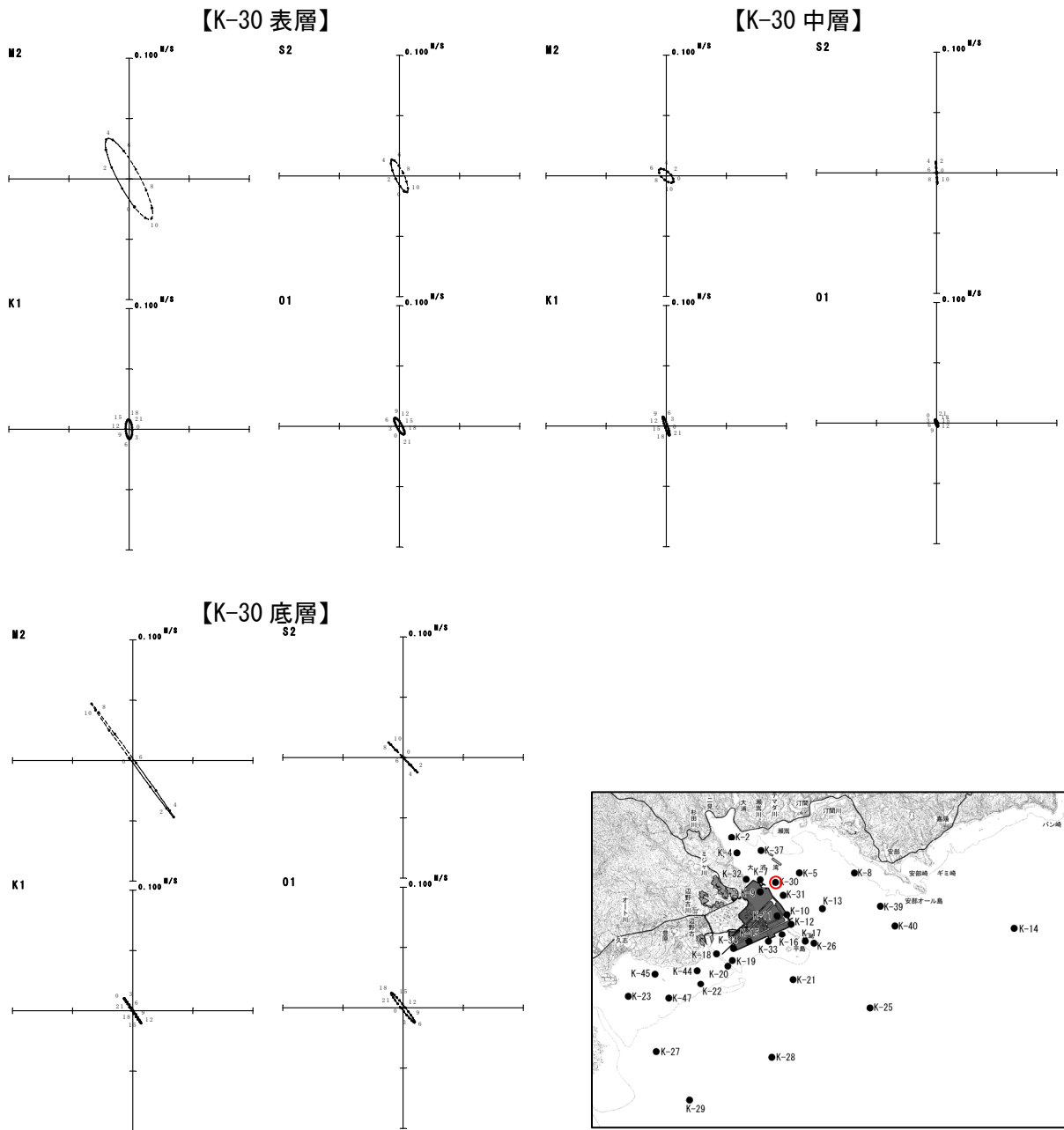


図-6.6.1.24(16) 超音波流速計による調査結果に基づく夏季の潮流楕円  
 注) 調査期間：平成20年7月3日～9月5日（解析は8～9月の30日間のデータを用いています。）



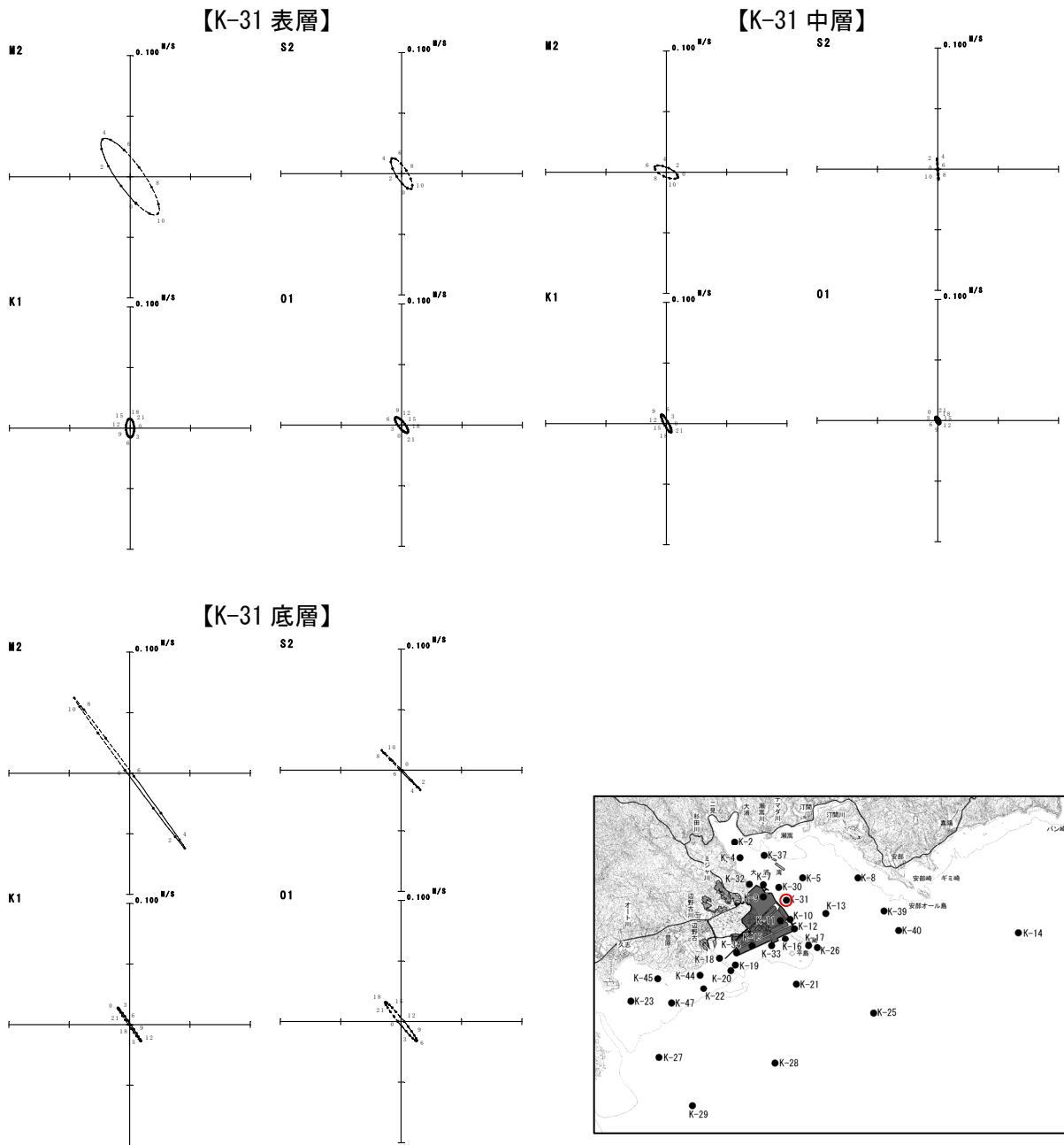


図-6.6.1.24(17) 超音波流速計による調査結果に基づく夏季の潮流楕円  
 注) 調査期間：平成20年7月3日～9月5日（解析は8～9月の30日間のデータを用いています。）

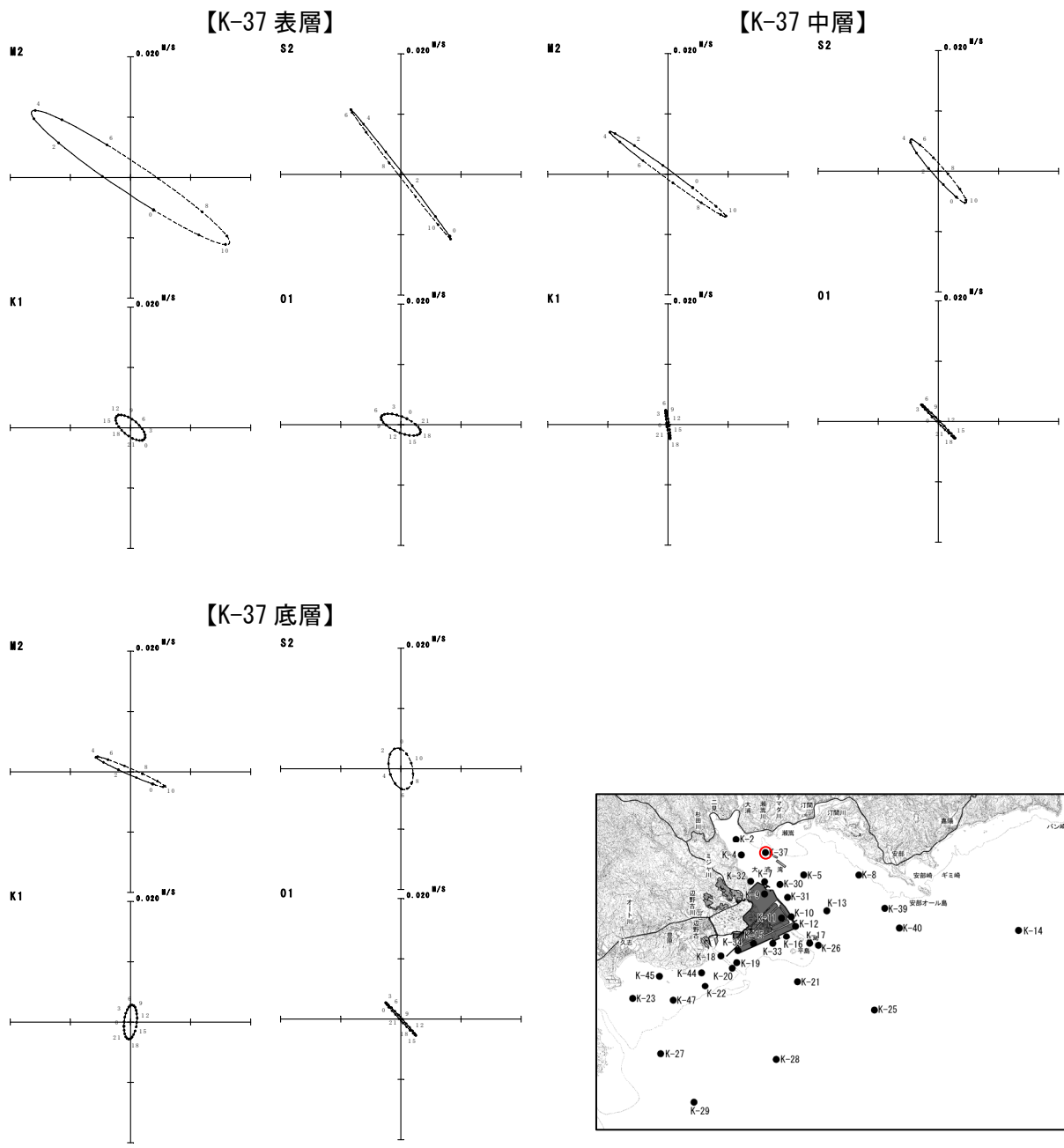


図-6.6.1.24(18) 超音波流速計による調査結果に基づく夏季の潮流楕円  
 注) 調査期間：平成20年7月3日～9月5日（解析は8～9月の30日間のデータを用いています。）

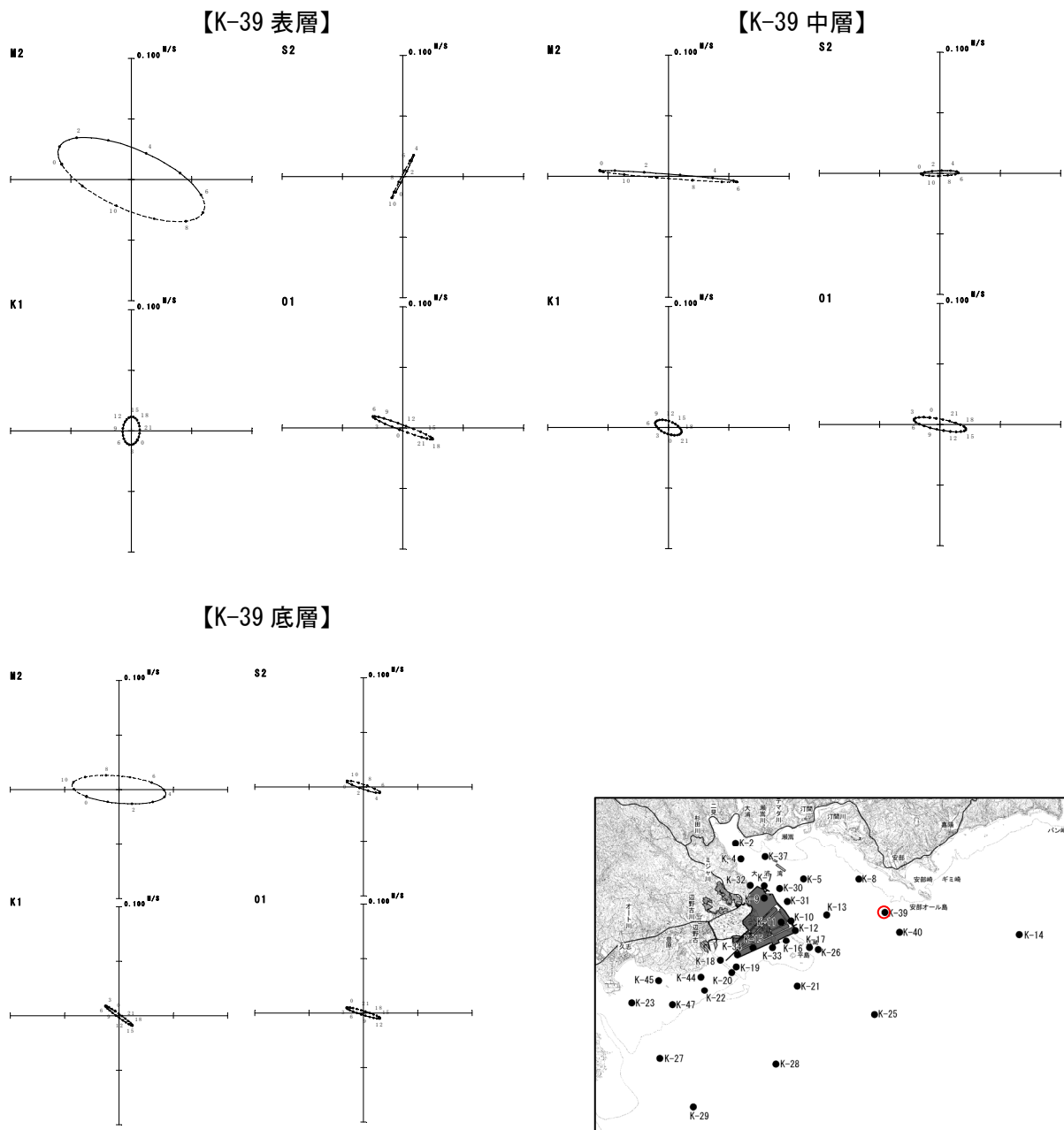


図-6.6.1.24(19) 超音波流速計による調査結果に基づく夏季の潮流楕円  
 注) 調査期間：平成20年7月3日～9月5日（解析は8～9月の30日間のデータを用いています。）

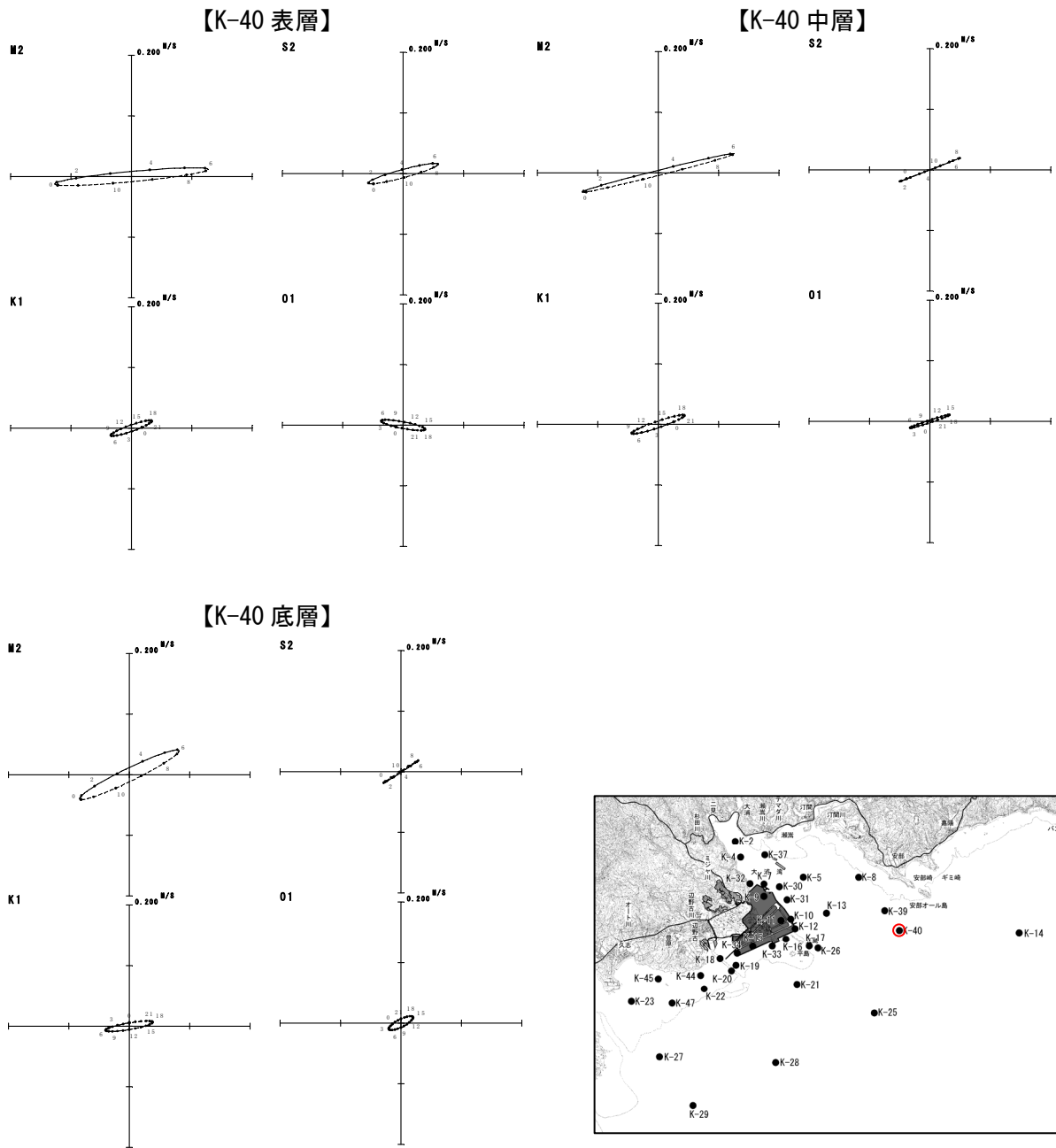


図-6.6.1.24(20) 超音波流速計による調査結果に基づく夏季の潮流楕円  
 注) 調査期間：平成20年7月3日～9月5日（解析は8～9月の30日間のデータを用いています。）

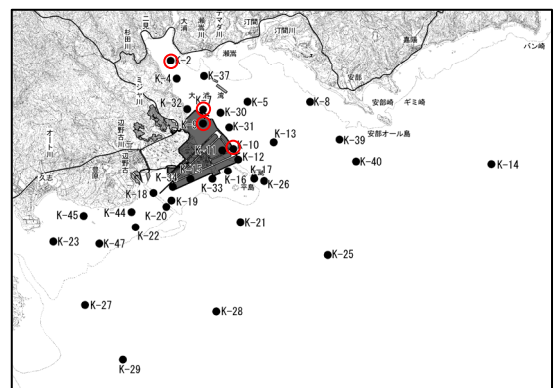
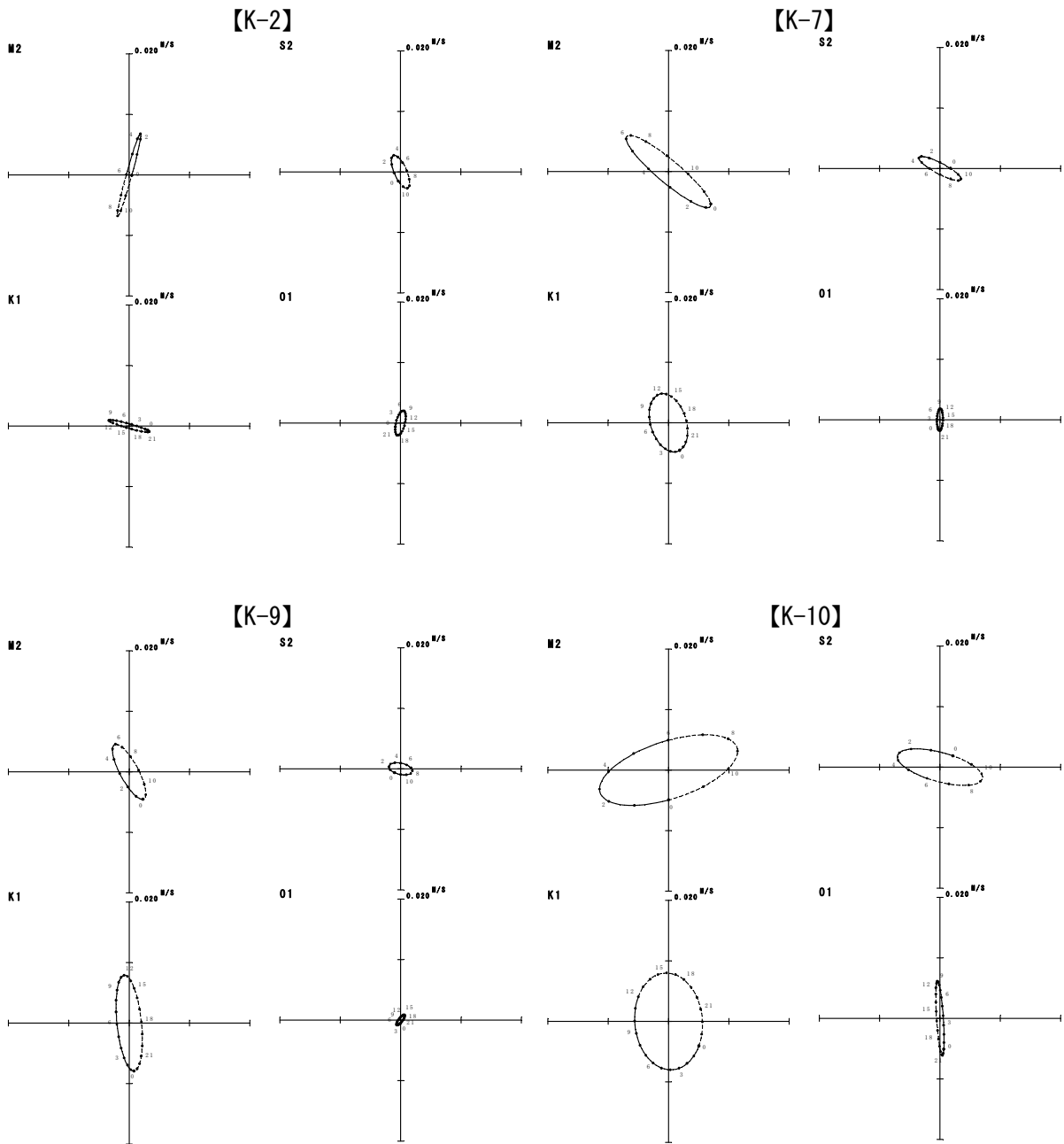


図-6. 6. 1. 25(1) 電磁流速計による調査結果に基づく秋季の潮流楕円

注) 調査期間：平成 20 年 10 月 5 日～11 月 6 日

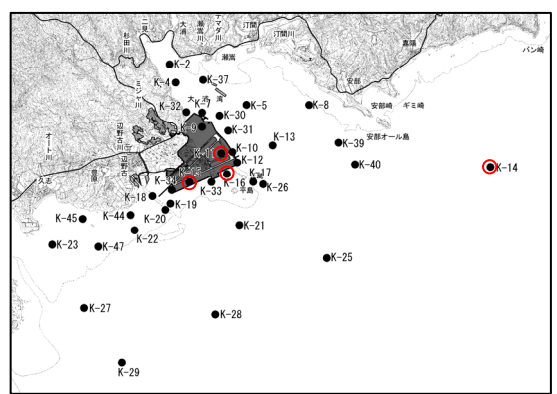
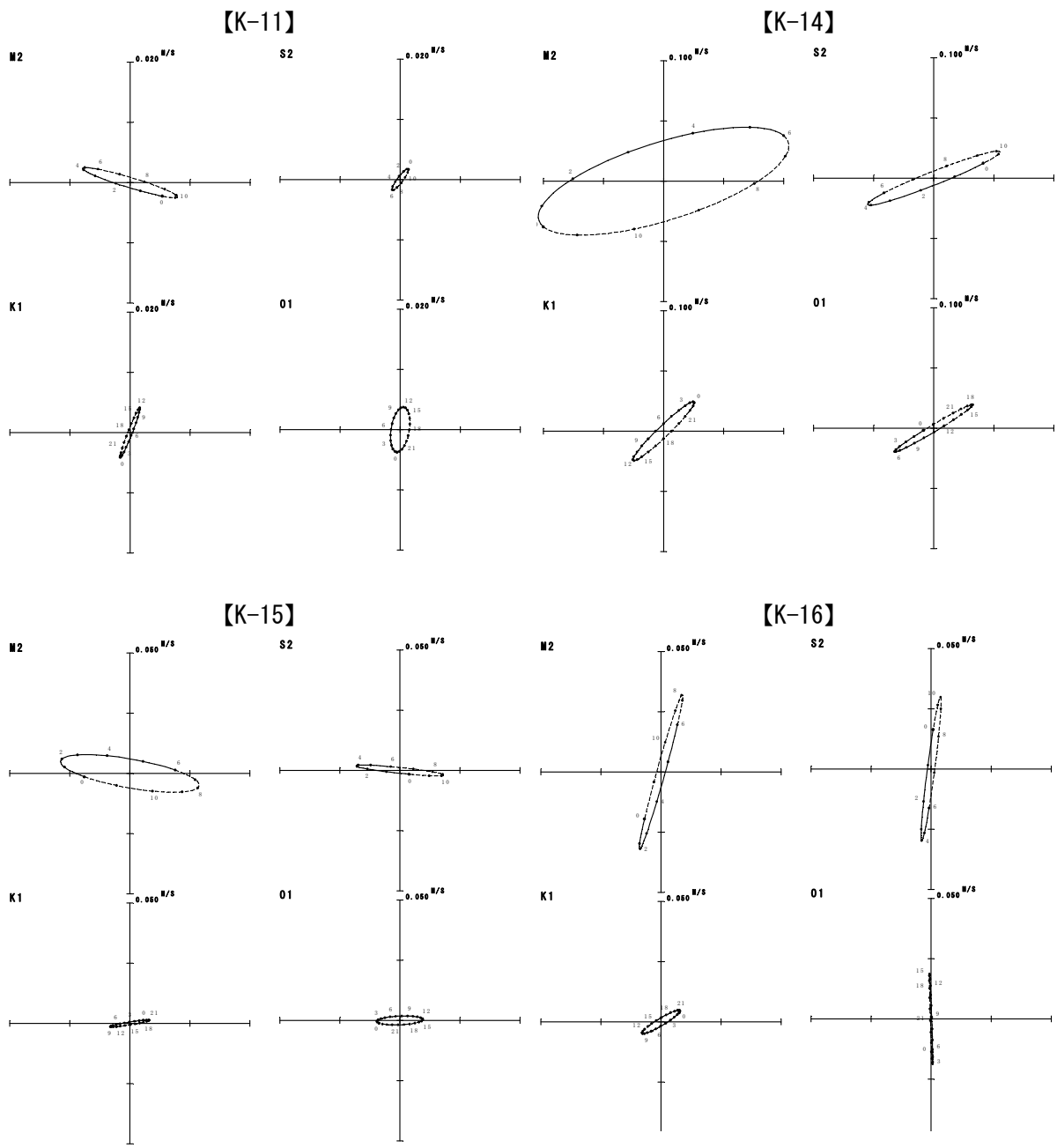


図-6. 6. 1. 25(2) 電磁流速計による調査結果に基づく秋季の潮流楕円  
 注) 調査期間：平成 20 年 10 月 5 日～11 月 6 日

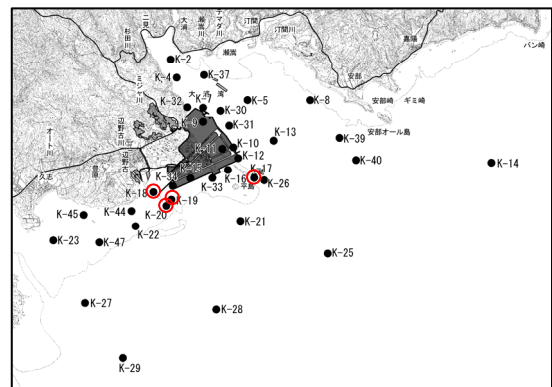
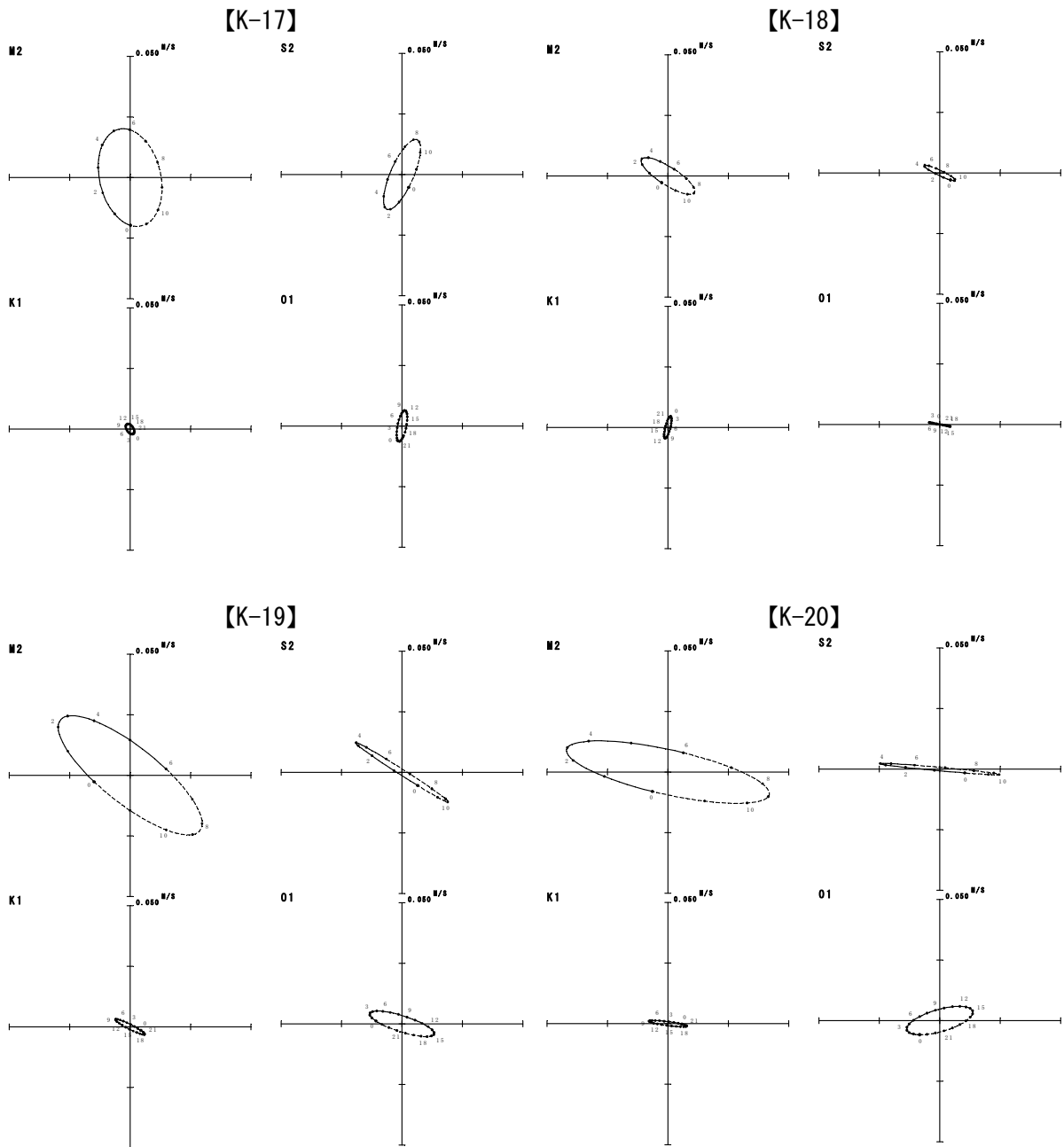


図-6. 6. 1. 25(3) 電磁流速計による調査結果に基づく秋季の潮流楕円

注) 調査期間：平成 20 年 10 月 5 日～11 月 6 日

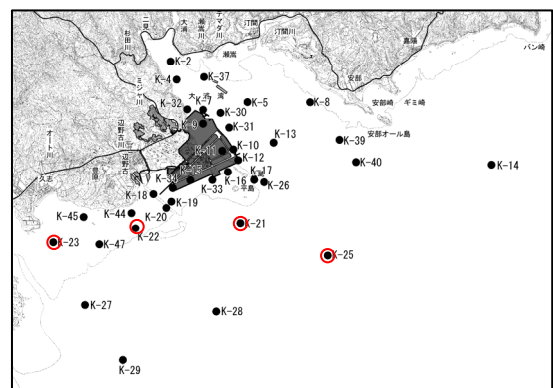
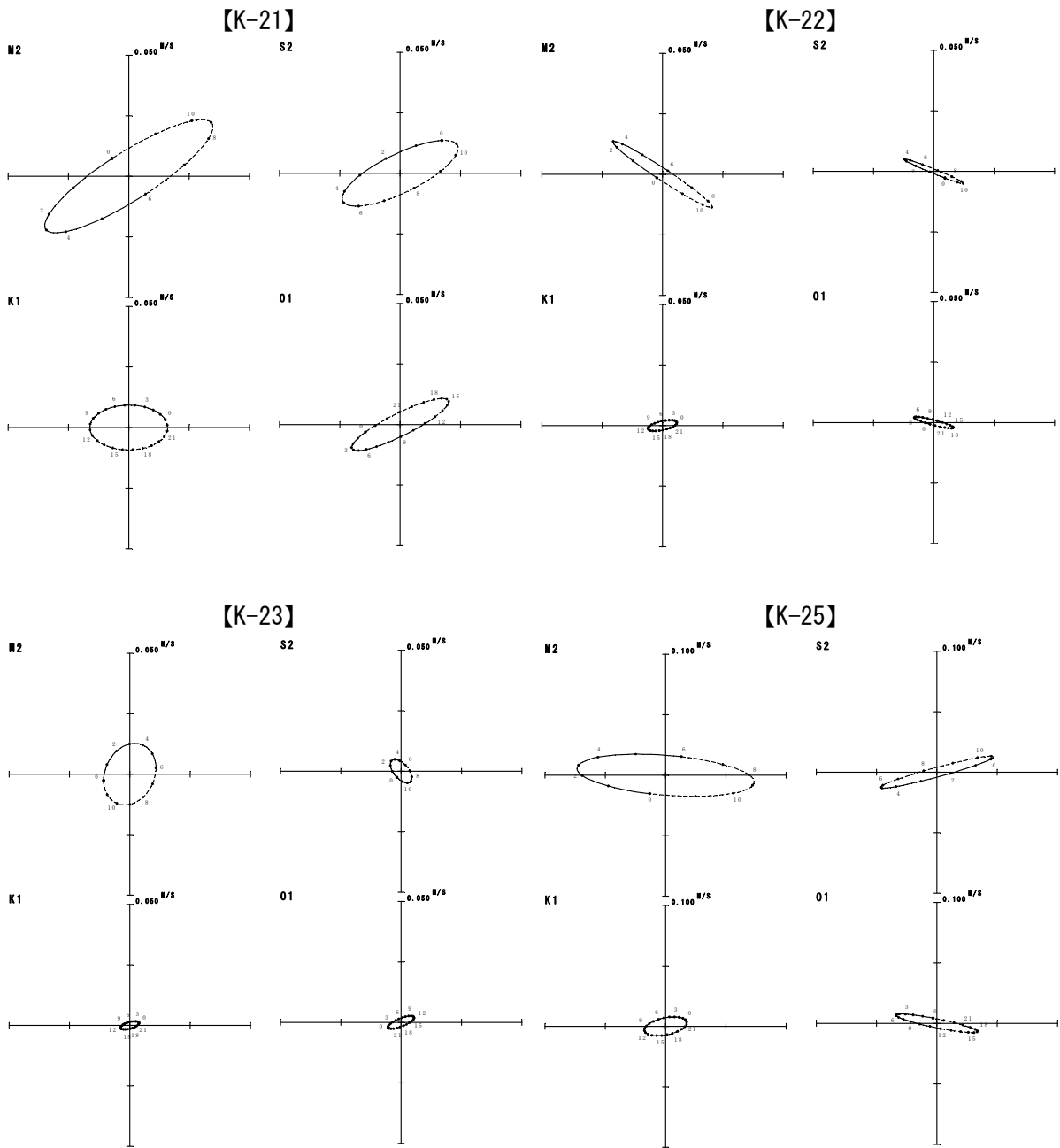


図-6. 6. 1. 25(4) 電磁流速計による調査結果に基づく秋季の潮流楕円

注) 調査期間：平成 20 年 10 月 5 日～11 月 6 日



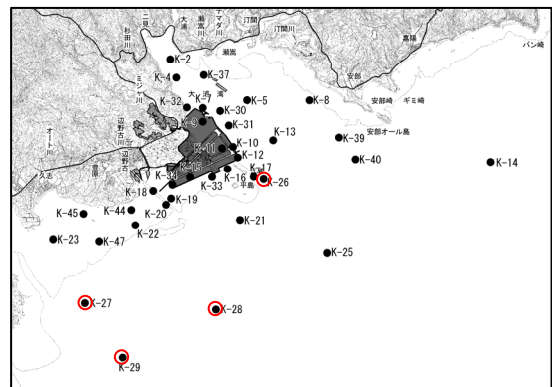
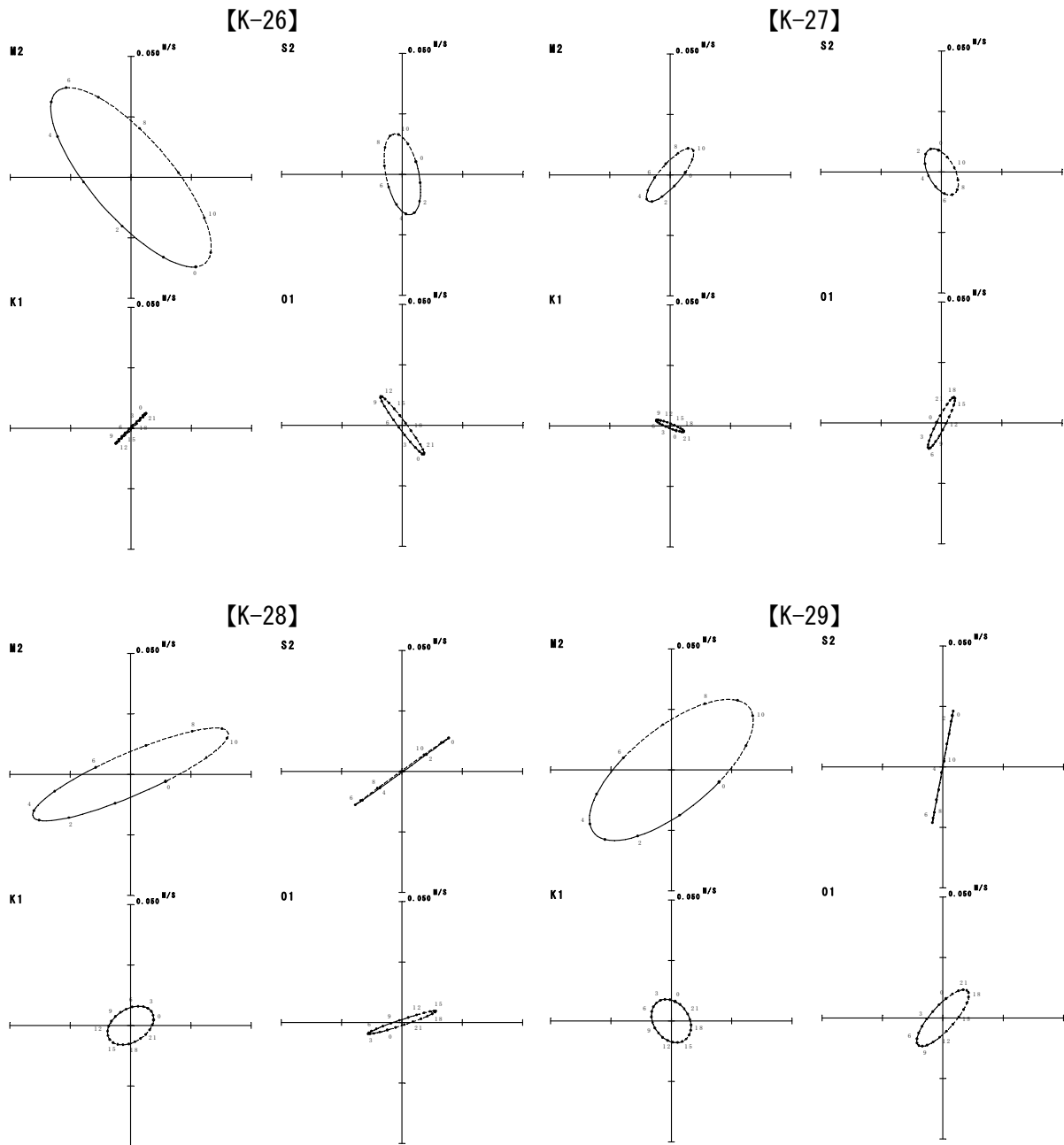


図-6. 6. 1. 25(5) 電磁流速計による調査結果に基づく秋季の潮流楕円

注) 調査期間：平成 20 年 10 月 5 日～11 月 6 日

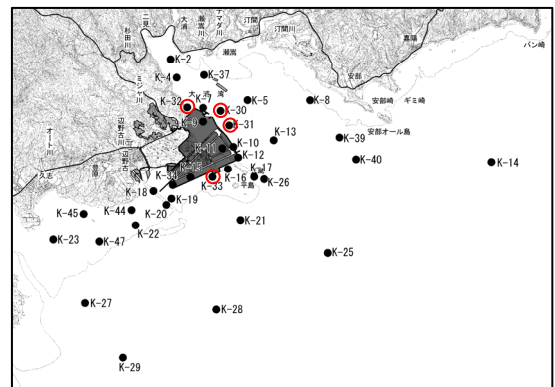
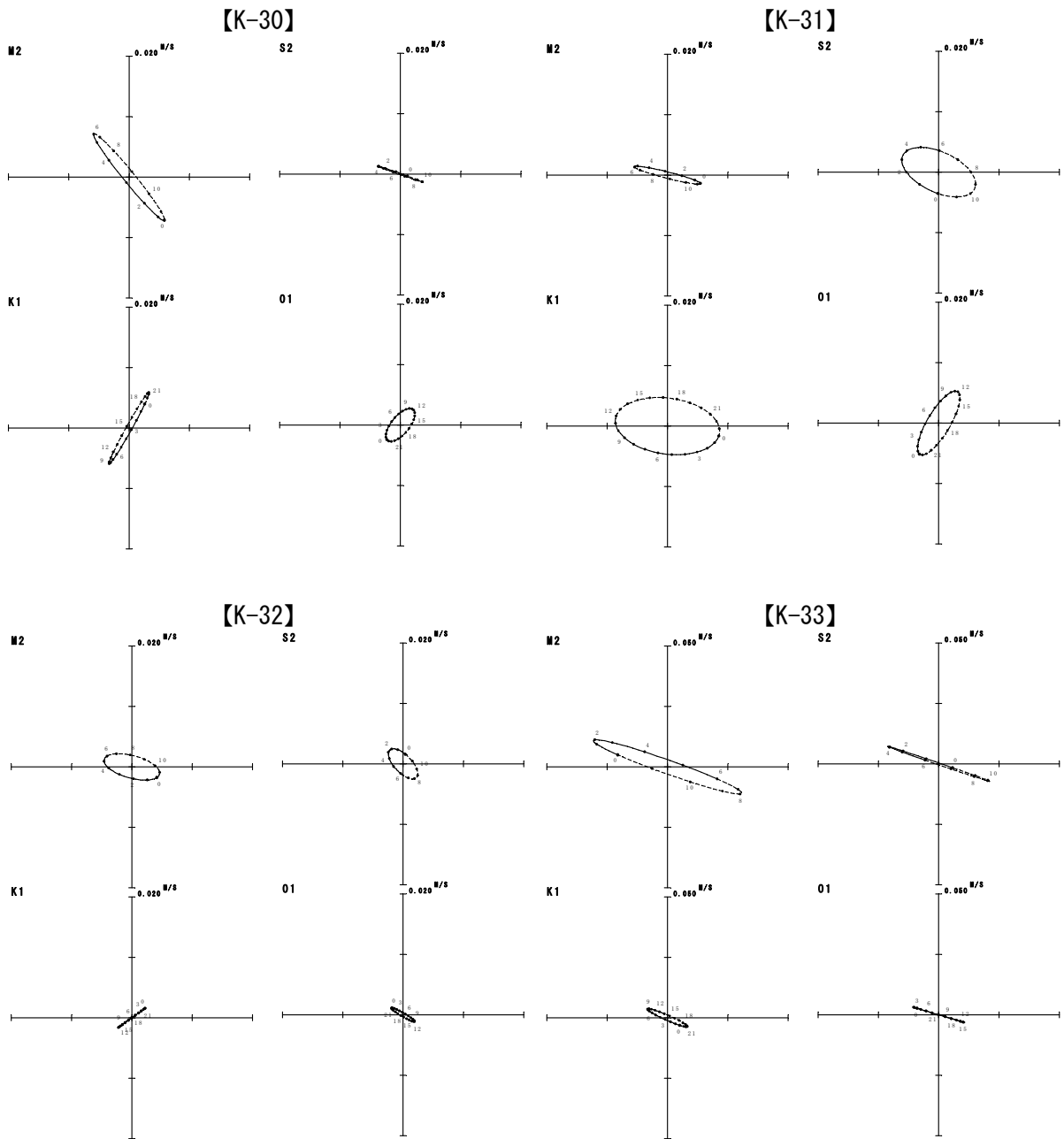


図-6. 6. 1. 25(6) 電磁流速計による調査結果に基づく秋季の潮流楕円

注) 調査期間：平成 20 年 10 月 5 日～11 月 6 日

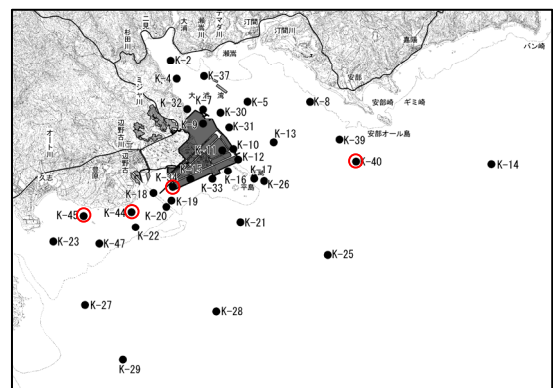
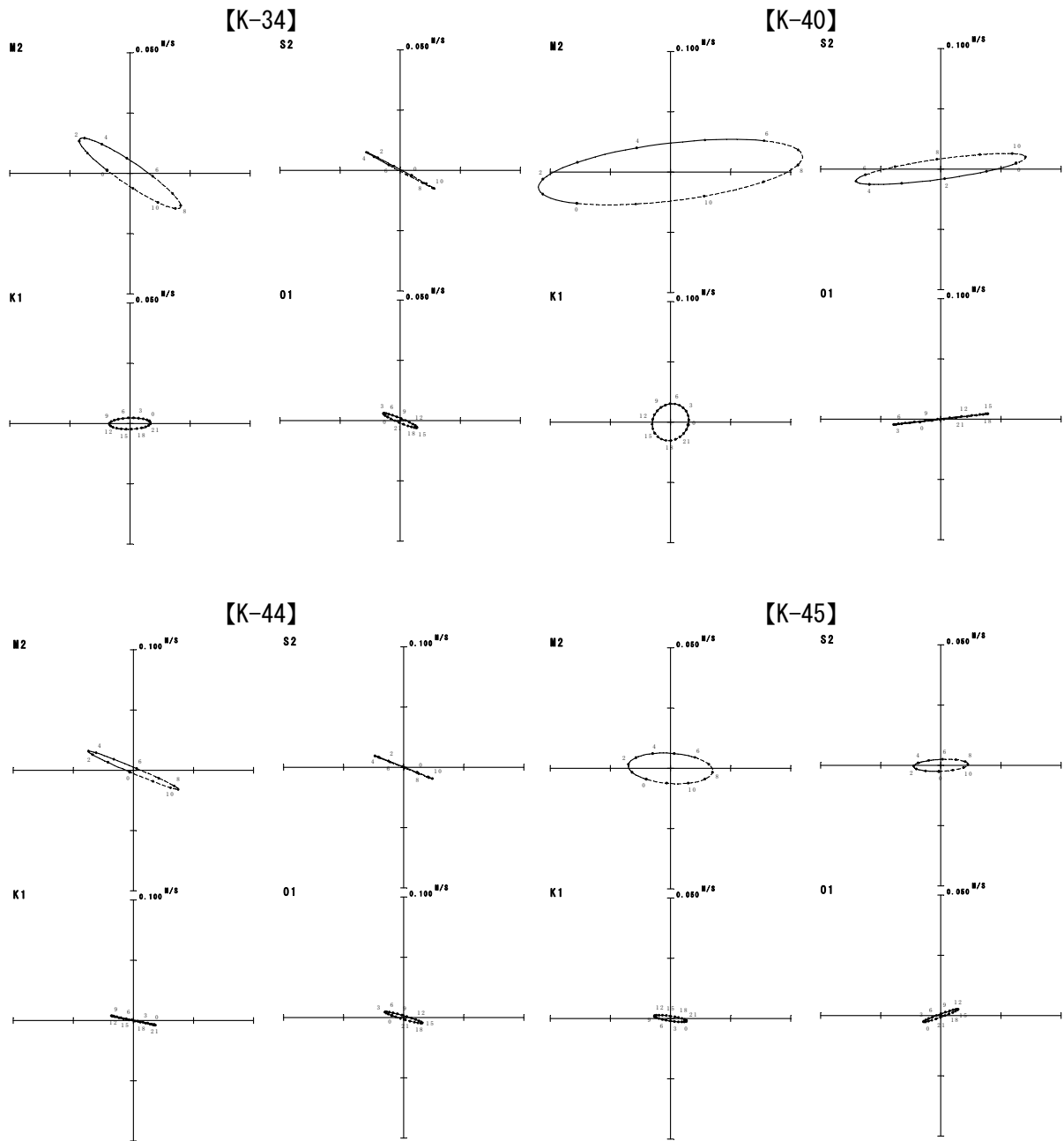


図-6. 6. 1. 25(7) 電磁流速計による調査結果に基づく秋季の潮流楕円

注) 調査期間：平成 20 年 10 月 5 日～11 月 6 日

【K-47】

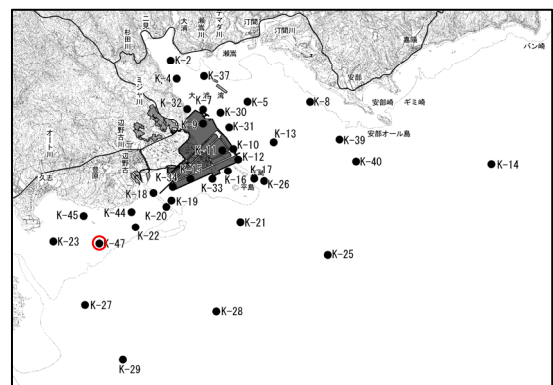
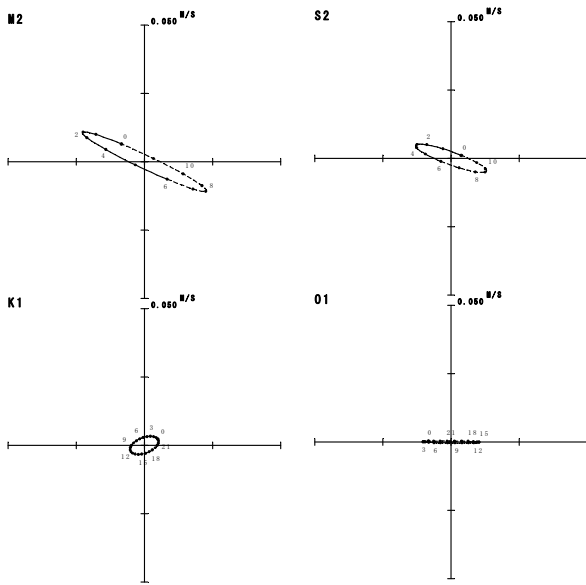


図-6. 6. 1. 25(8) 電磁流速計による調査結果に基づく秋季の潮流楕円

注) 調査期間：平成 20 年 10 月 5 日～11 月 6 日

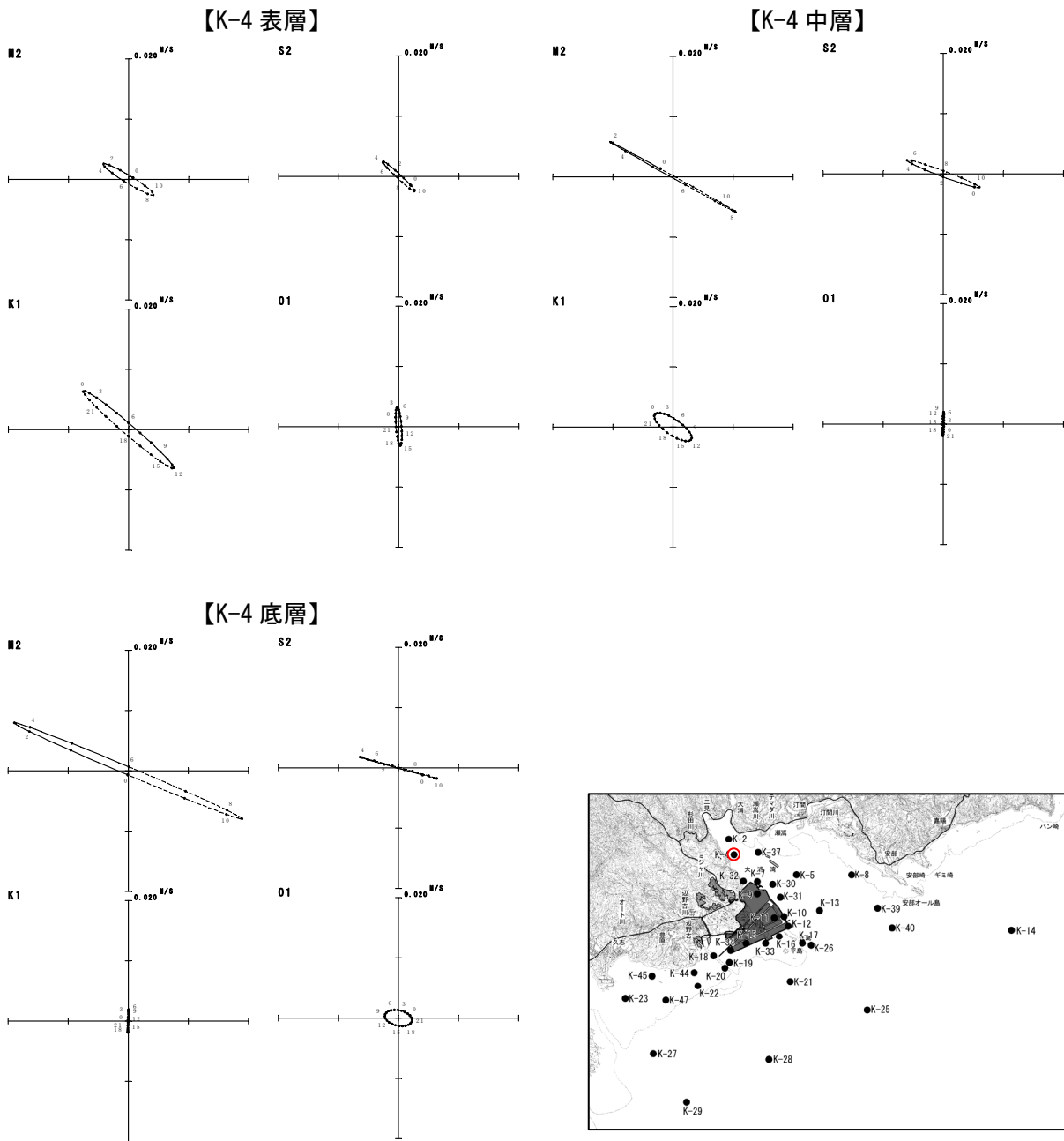


図-6.6.1.26(1) 超音波流速計による調査結果に基づく秋季の潮流楕円

注) 調査期間：平成20年10月5日～11月6日

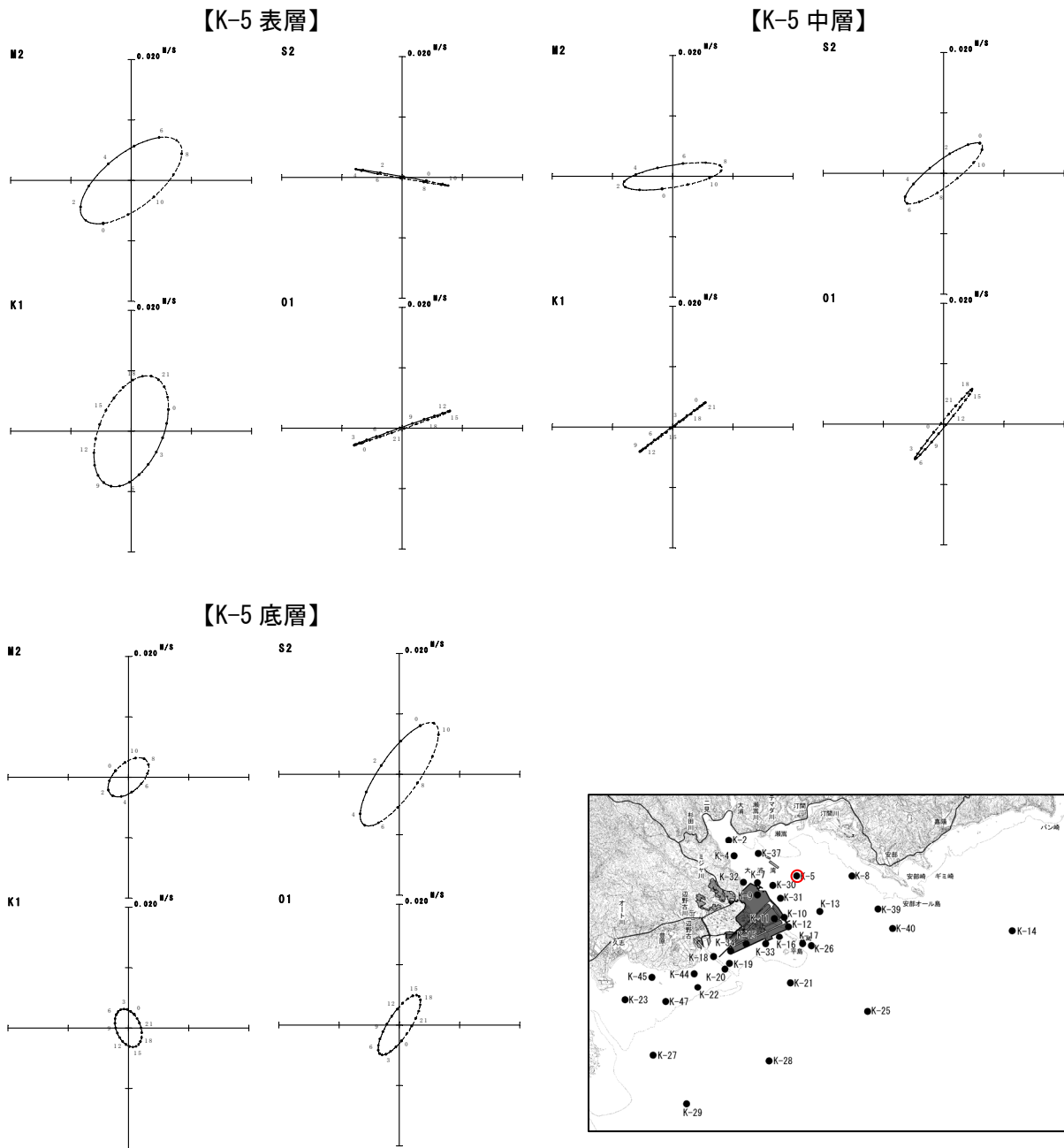


図-6.6.1.26(2) 超音波流速計による調査結果に基づく秋季の潮流楕円

注) 調査期間：平成20年10月5日～11月6日

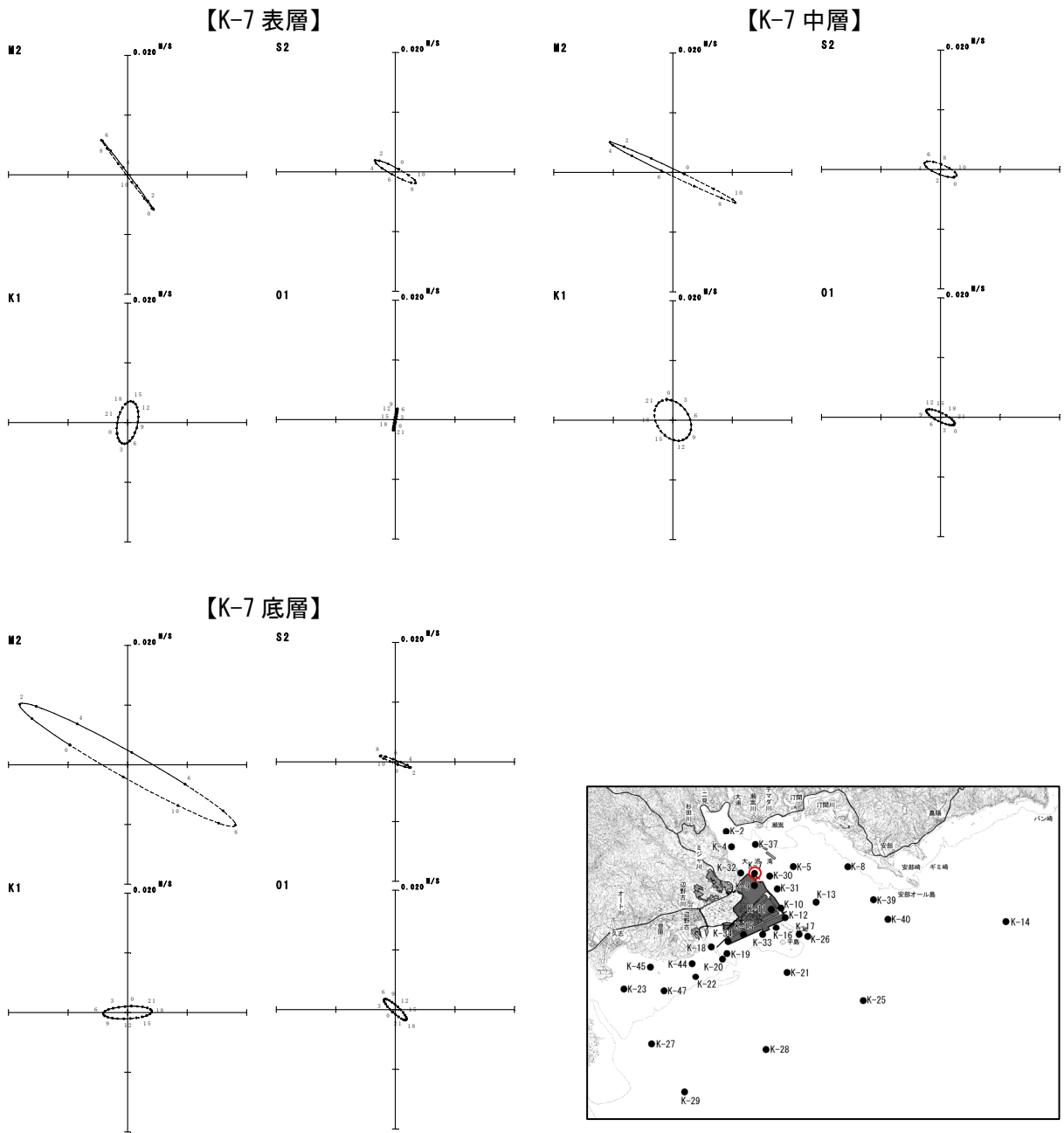


図-6.6.1.26(3) 超音波流速計による調査結果に基づく秋季の潮流楕円

注) 調査期間：平成20年10月5日～11月6日

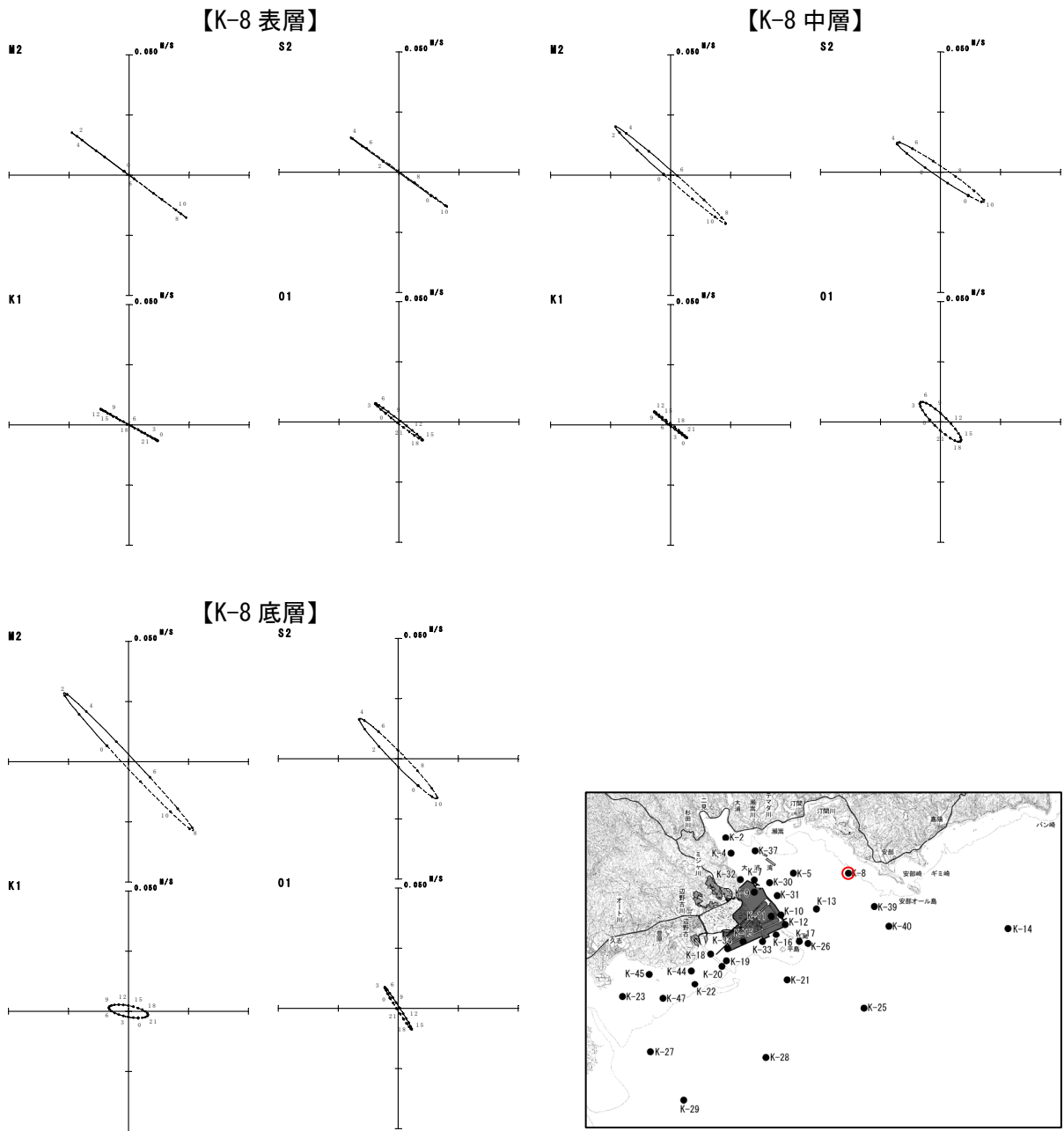


図-6.6.1.26(4) 超音波流速計による調査結果に基づく秋季の潮流楕円

注) 調査期間：平成20年10月5日～11月6日



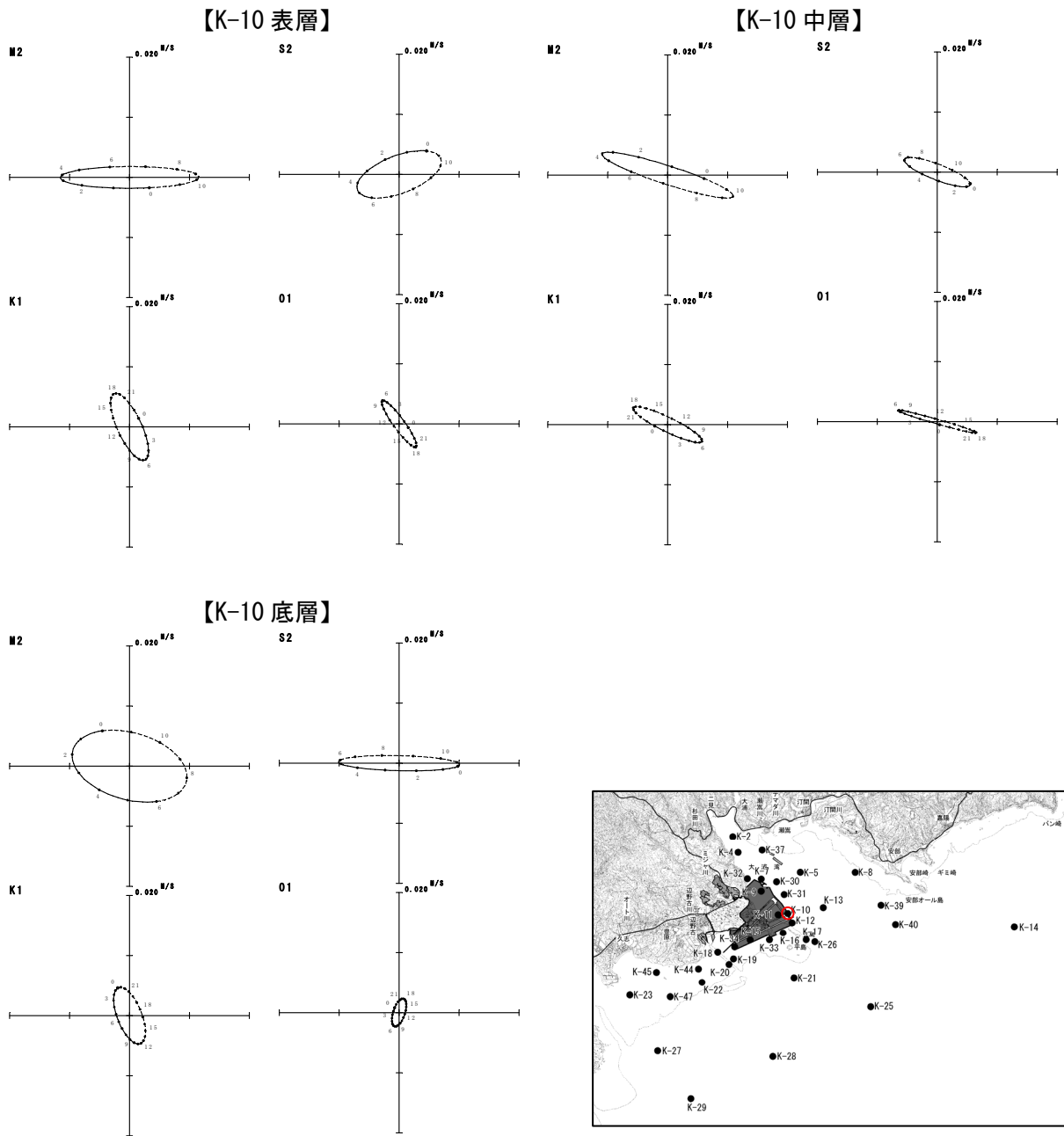


図-6.6.1.26(5) 超音波流速計による調査結果に基づく秋季の潮流楕円

注) 調査期間：平成20年10月5日～11月6日

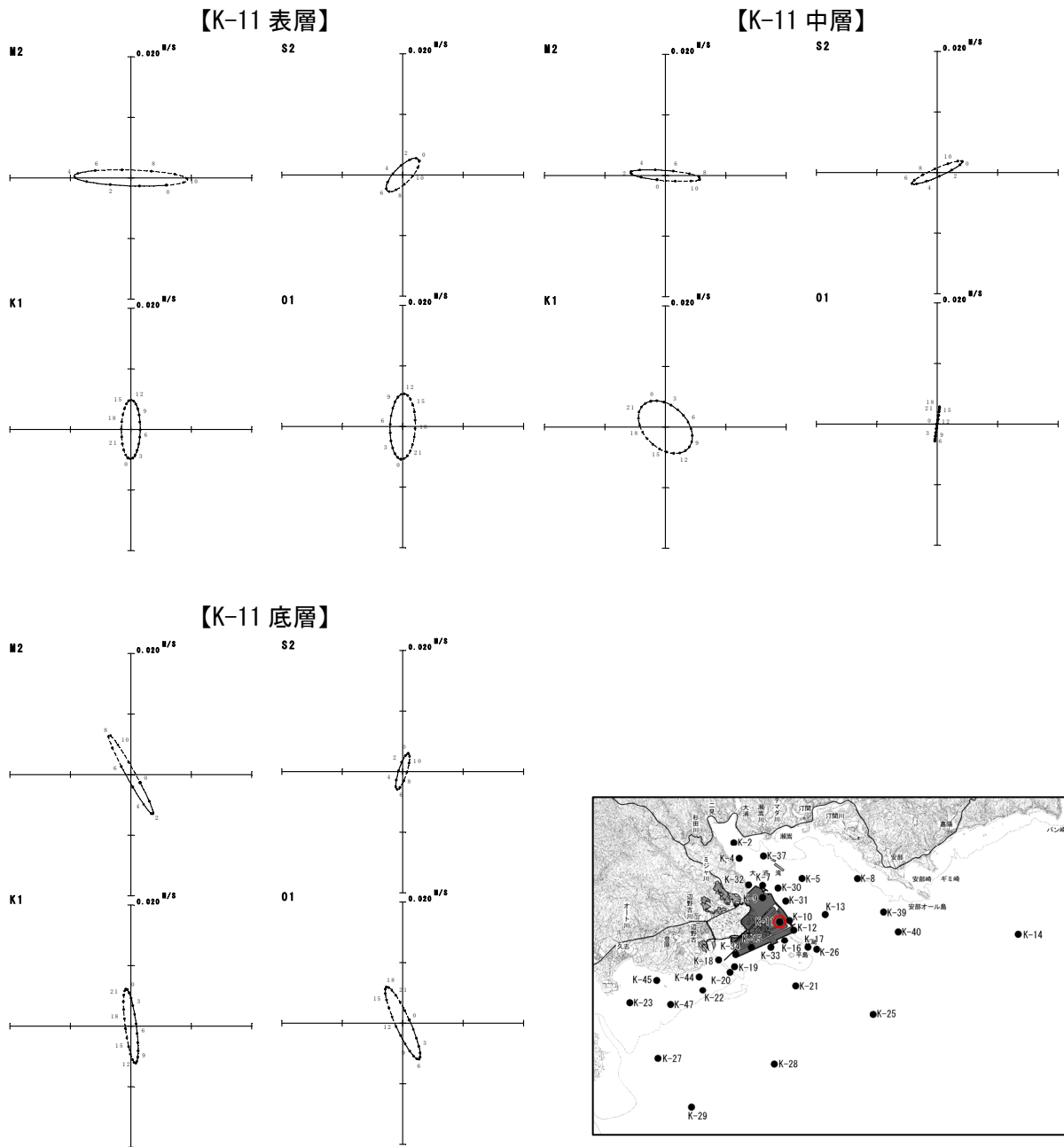


図-6.6.1.26(6) 超音波流速計による調査結果に基づく秋季の潮流楕円

注) 調査期間：平成 20 年 10 月 5 日～11 月 6 日

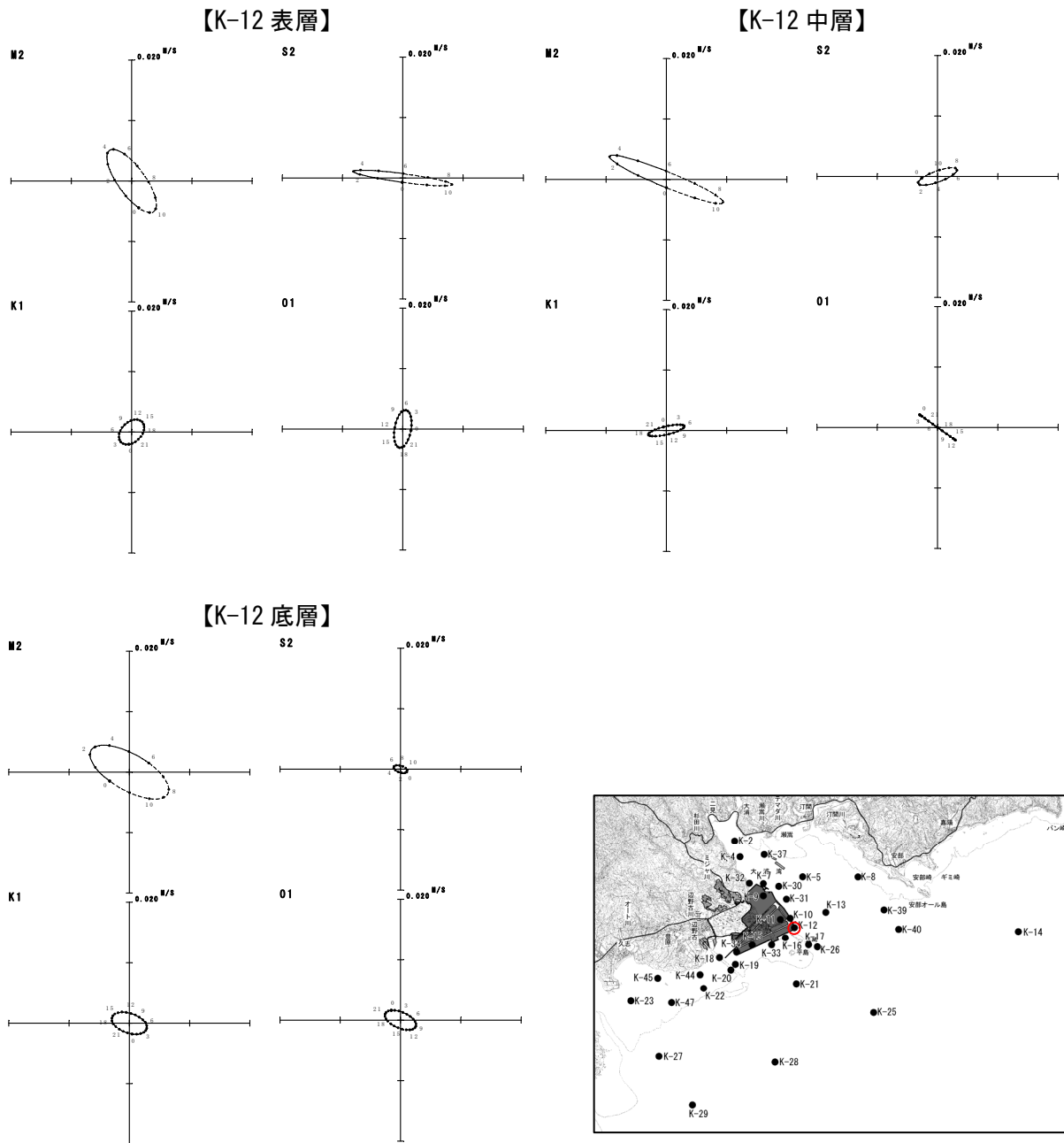


図-6.6.1.26(7) 超音波流速計による調査結果に基づく秋季の潮流楕円

注) 調査期間：平成20年10月5日～11月6日

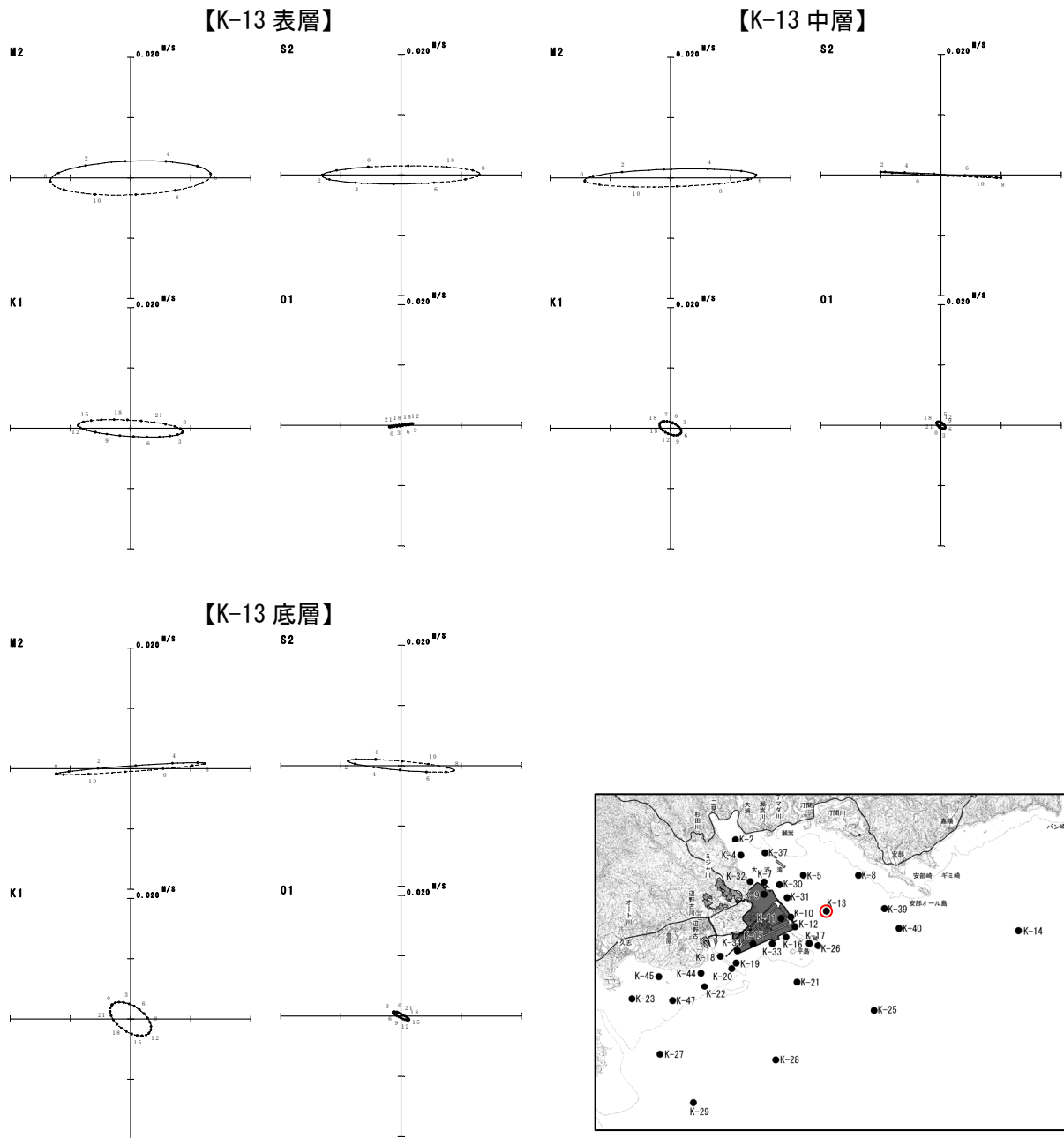


図-6.6.1.26(8) 超音波流速計による調査結果に基づく秋季の潮流楕円

注) 調査期間：平成20年10月5日～11月6日

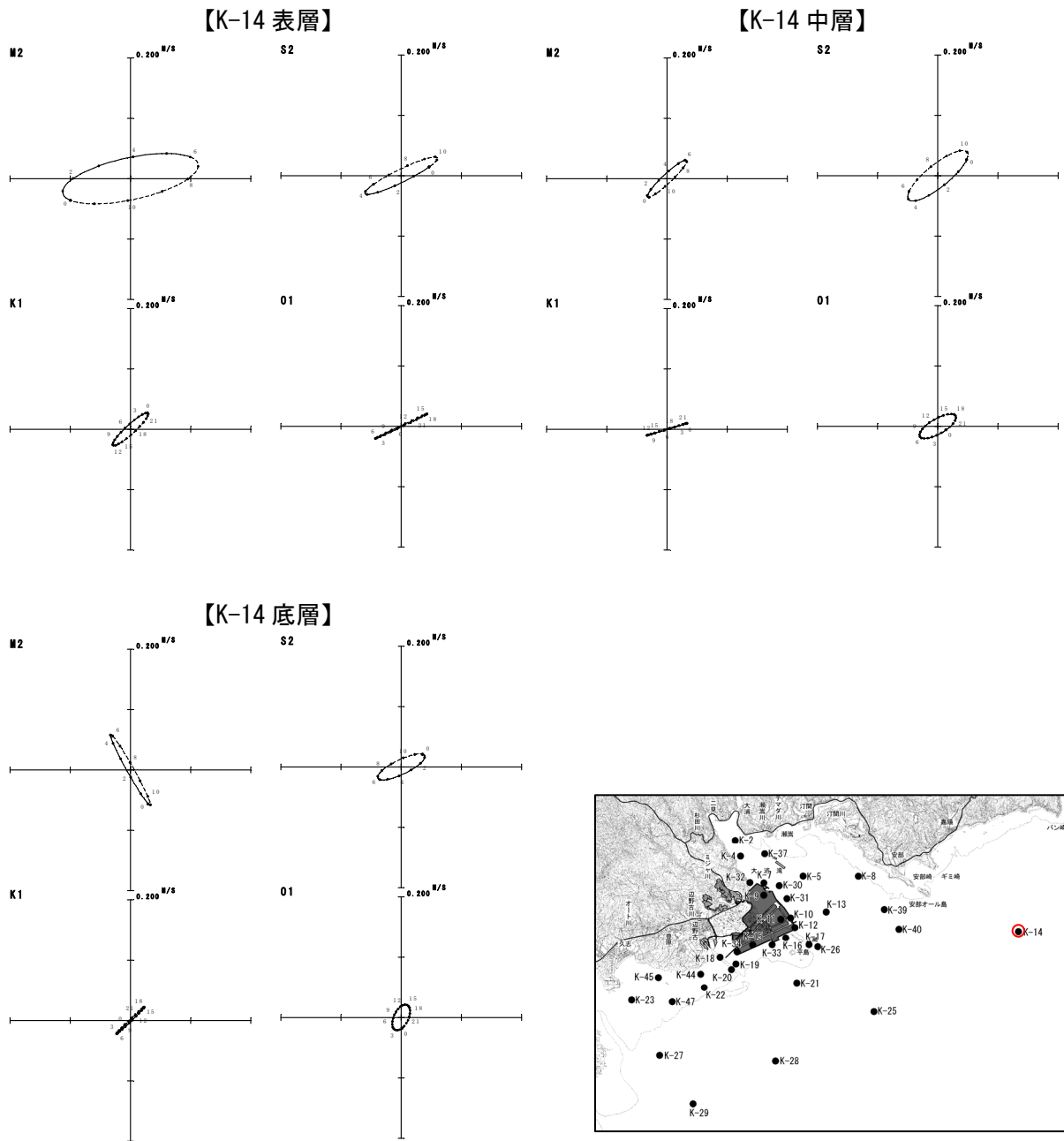


図-6.6.1.26(9) 超音波流速計による調査結果に基づく秋季の潮流楕円

注) 調査期間：平成20年10月5日～11月6日

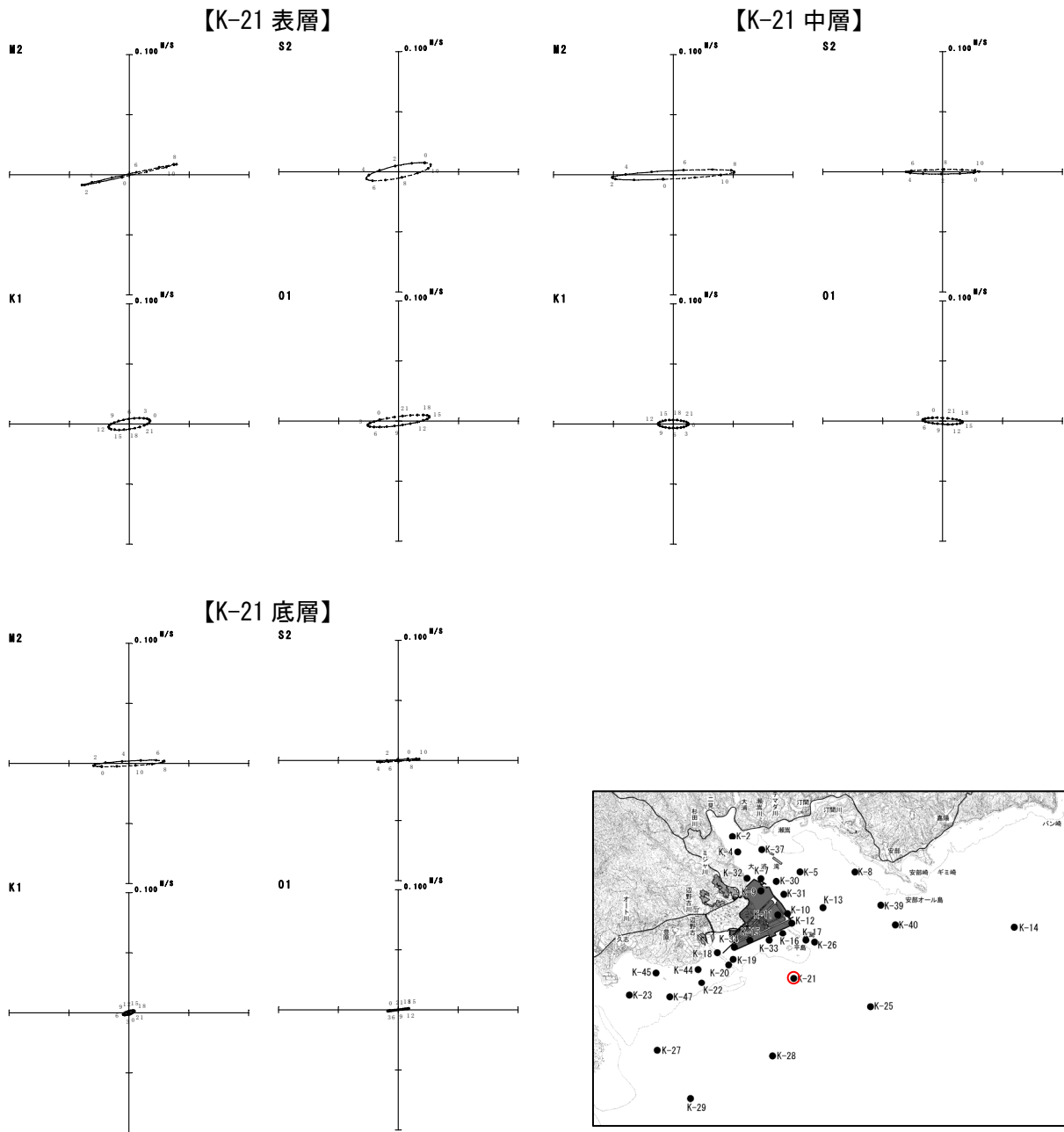


図-6.6.1.26(10) 超音波流速計による調査結果に基づく秋季の潮流楕円

注) 調査期間：平成20年10月5日～11月6日

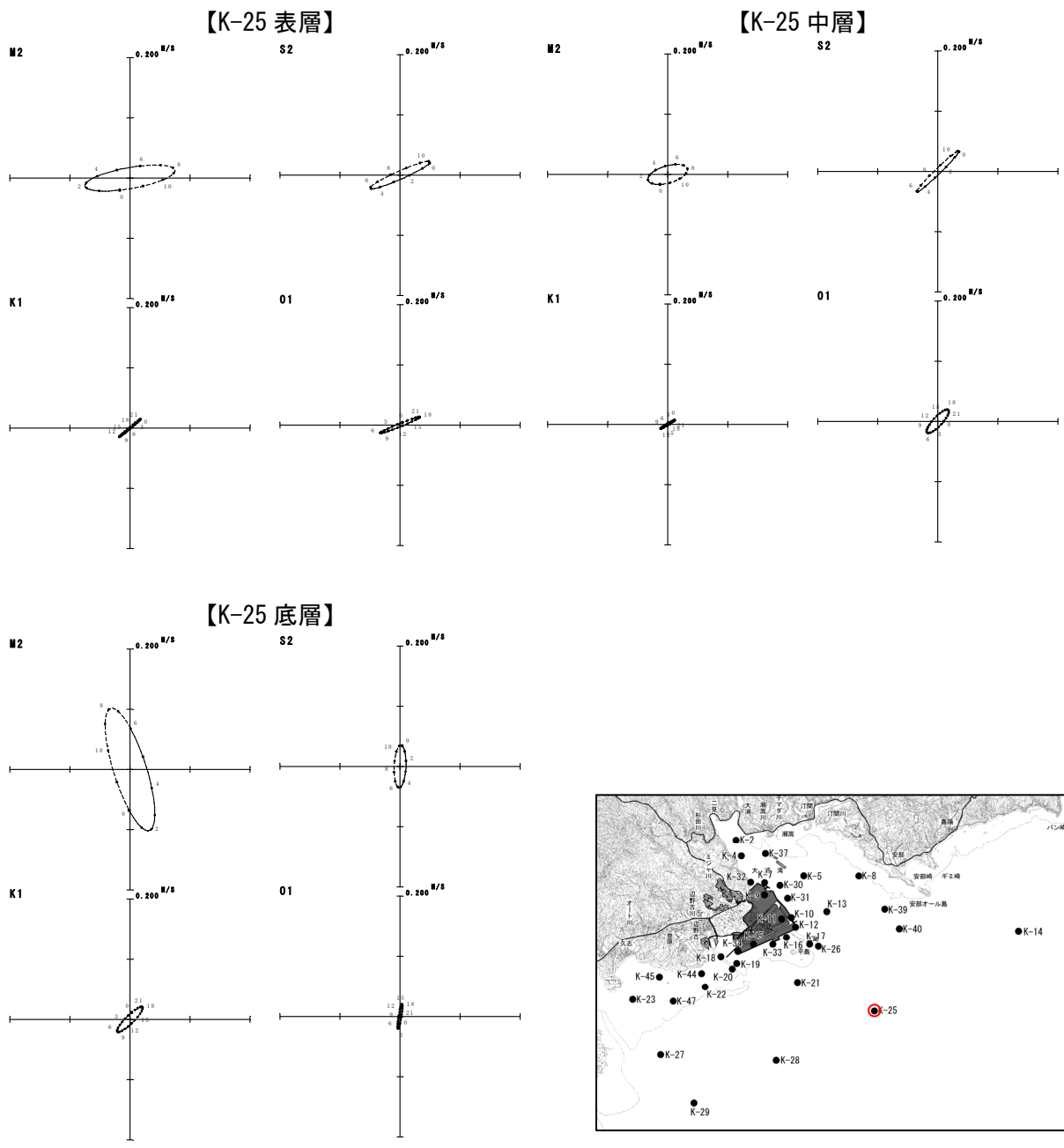


図-6. 6. 1. 26(11) 超音波流速計による調査結果に基づく秋季の潮流楕円

注) 調査期間：平成 20 年 10 月 5 日～11 月 6 日

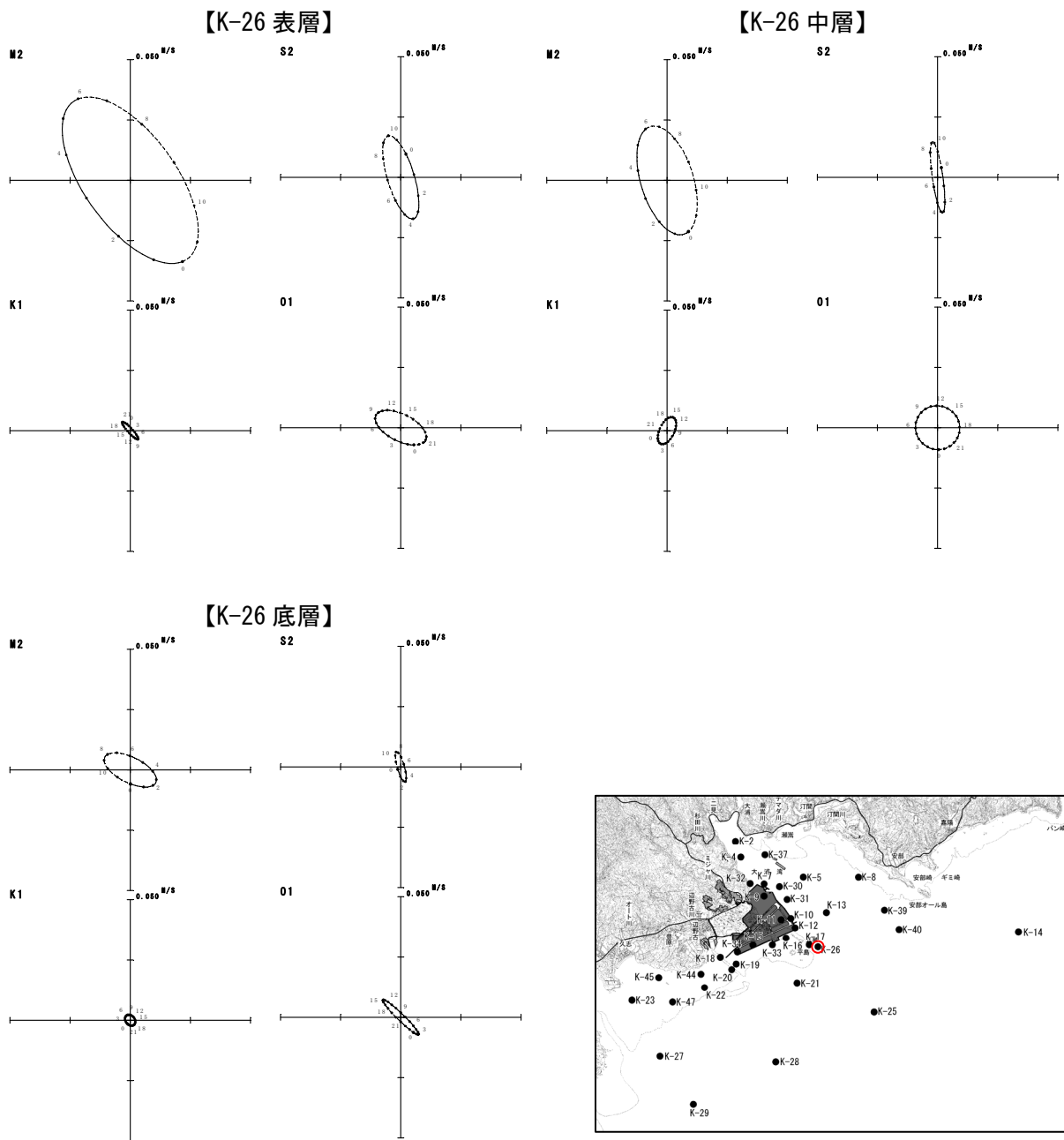


図-6.6.1.26(12) 超音波流速計による調査結果に基づく秋季の潮流楕円

注) 調査期間：平成20年10月5日～11月6日



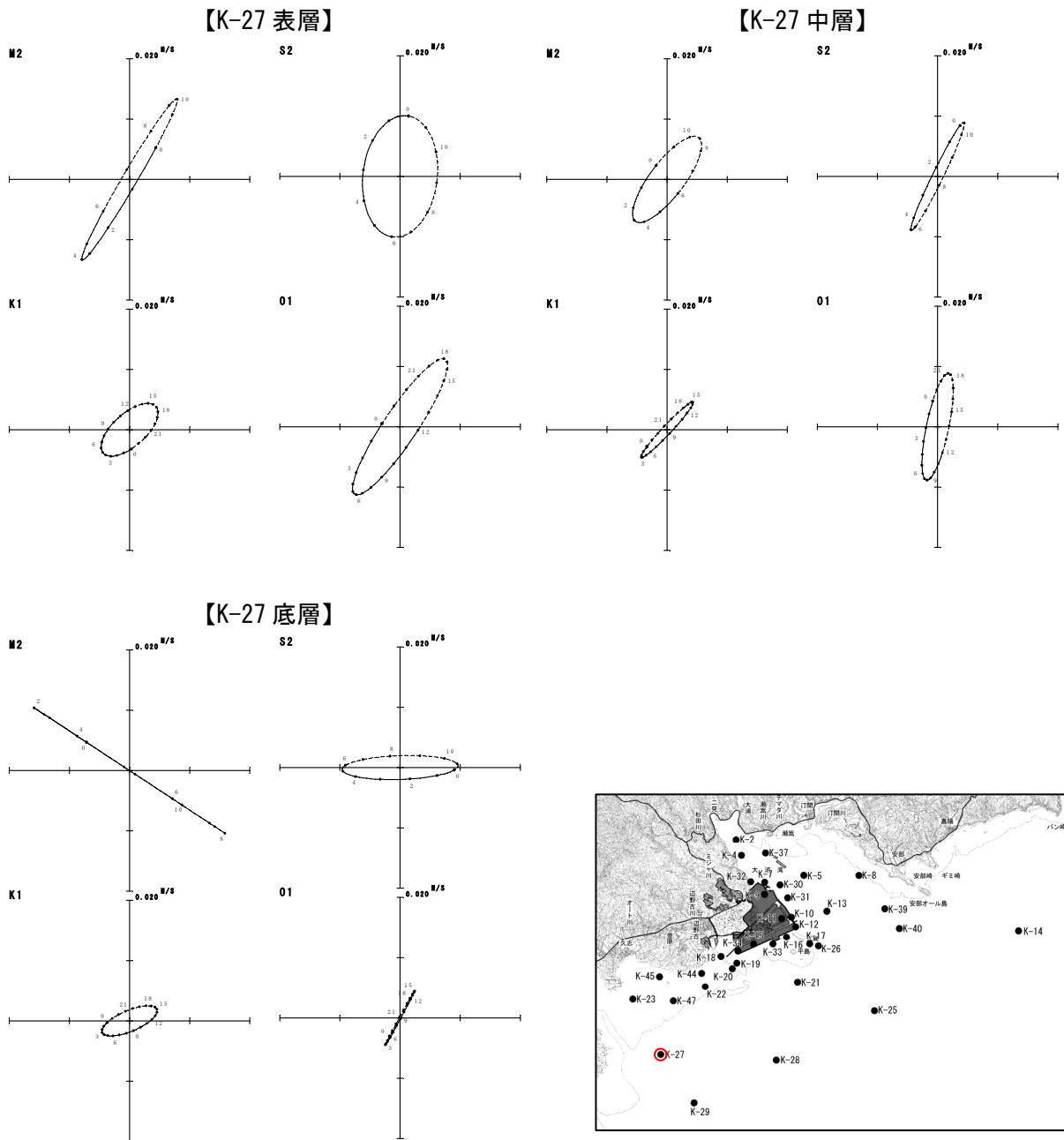


図-6.6.1.26(13) 超音波流速計による調査結果に基づく秋季の潮流楕円

注) 調査期間：平成20年10月5日～11月6日

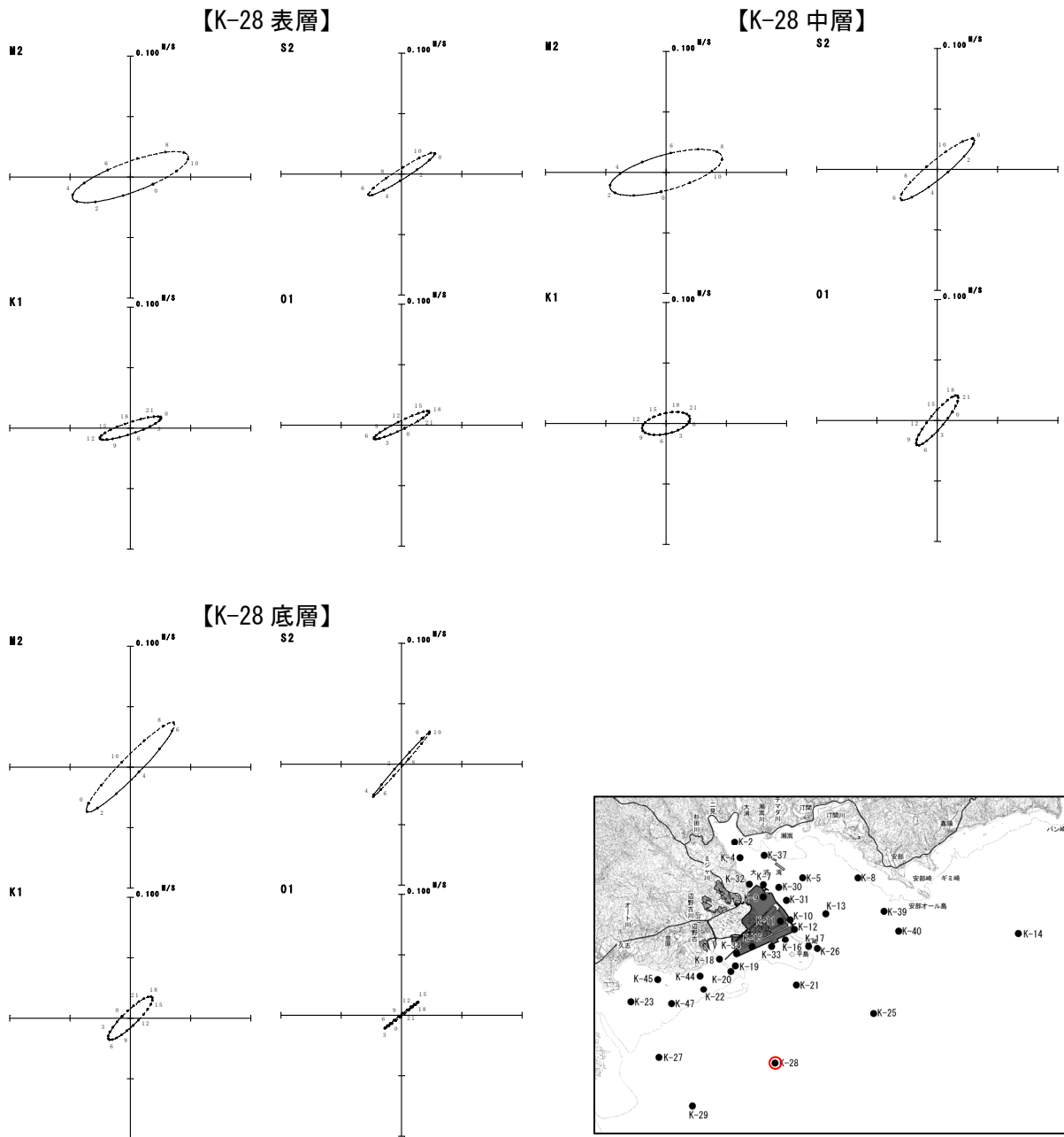


図-6.6.1.26(14) 超音波流速計による調査結果に基づく秋季の潮流楕円

注) 調査期間：平成20年10月5日～11月6日

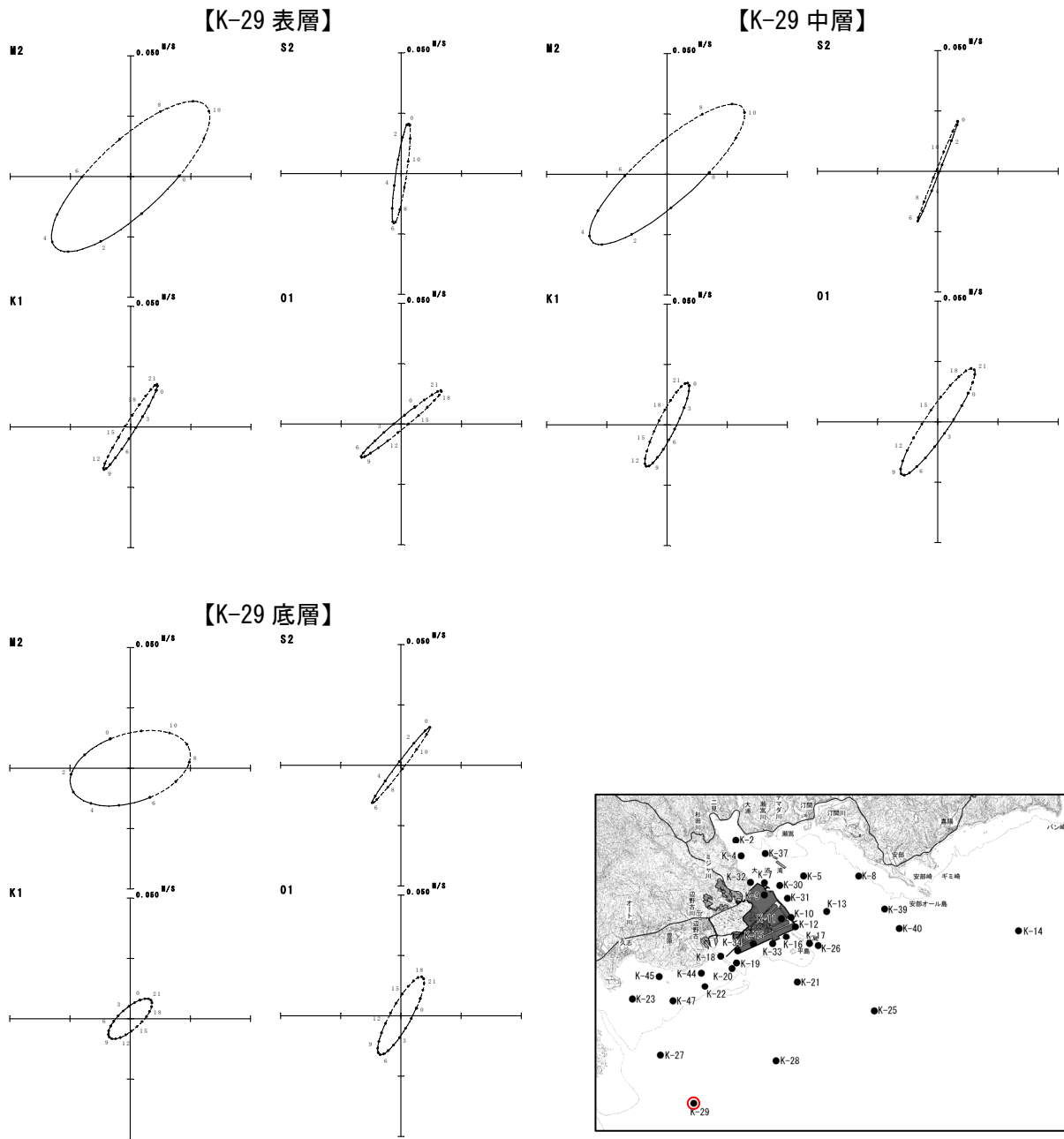


図-6.6.1.26(15) 超音波流速計による調査結果に基づく秋季の潮流楕円

注) 調査期間：平成20年10月5日～11月6日

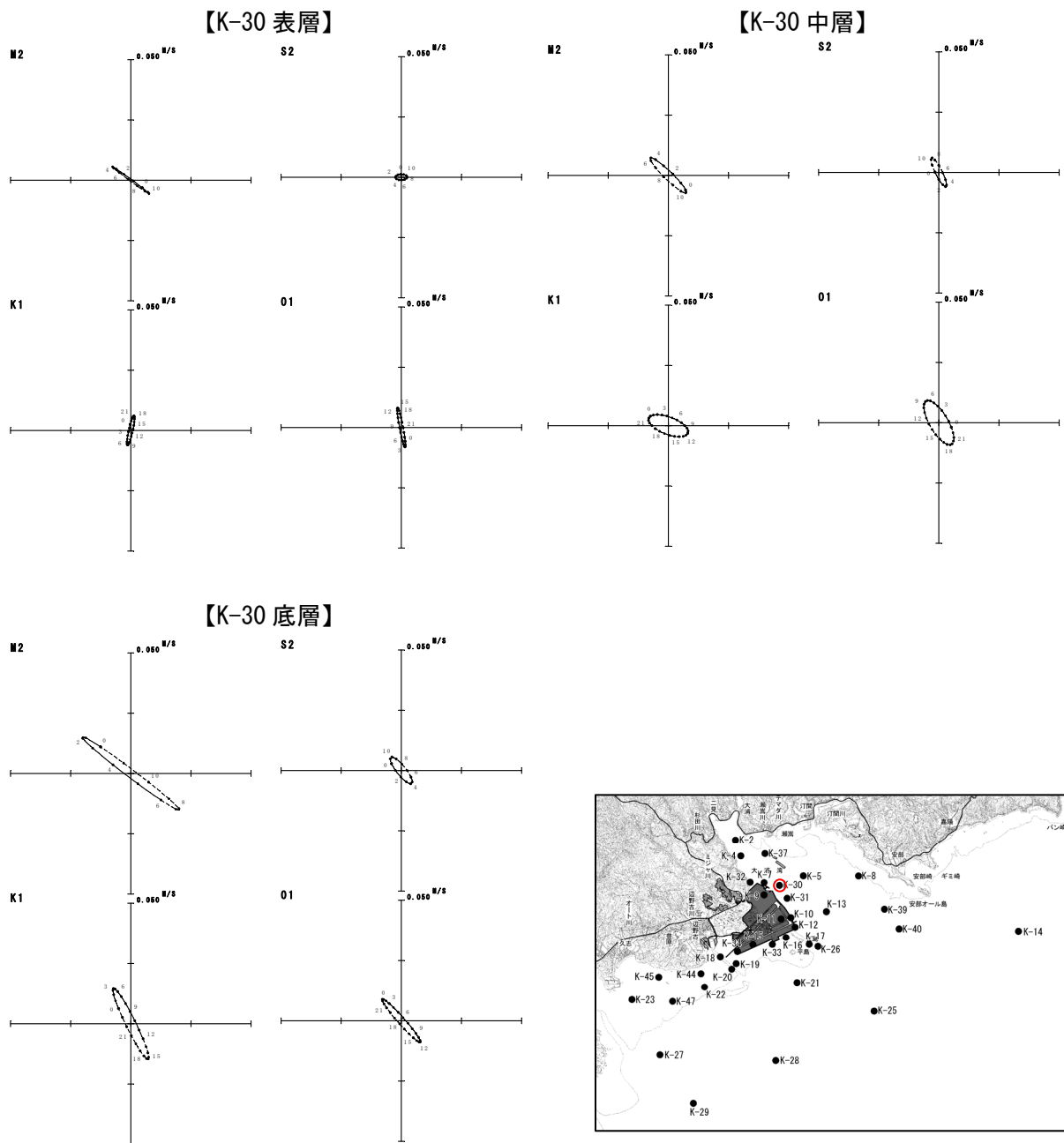


図-6.6.1.26(16) 超音波流速計による調査結果に基づく秋季の潮流楕円

注) 調査期間：平成20年10月5日～11月6日

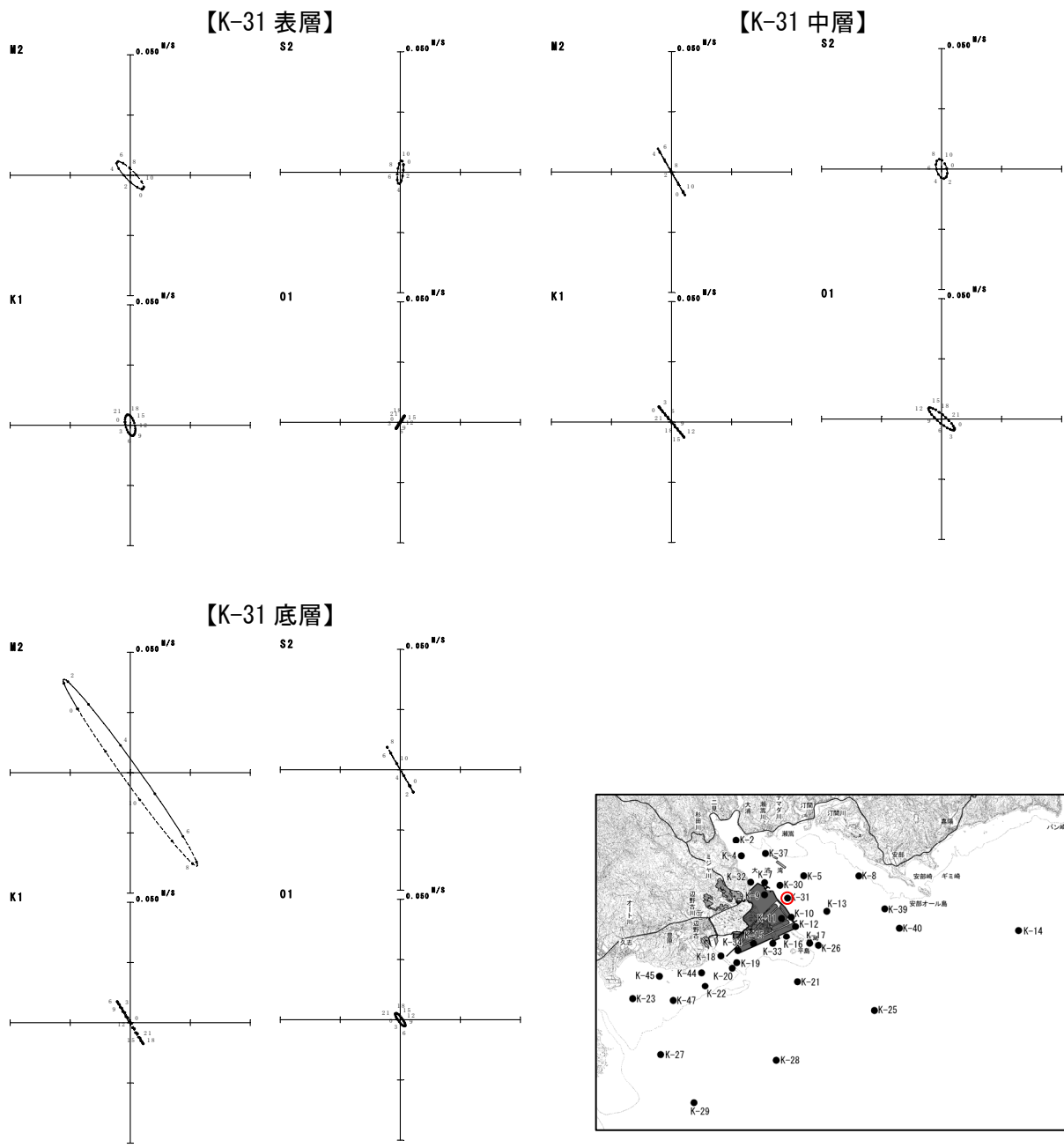


図-6.6.1.26(17) 超音波流速計による調査結果に基づく秋季の潮流楕円

注) 調査期間：平成20年10月5日～11月6日

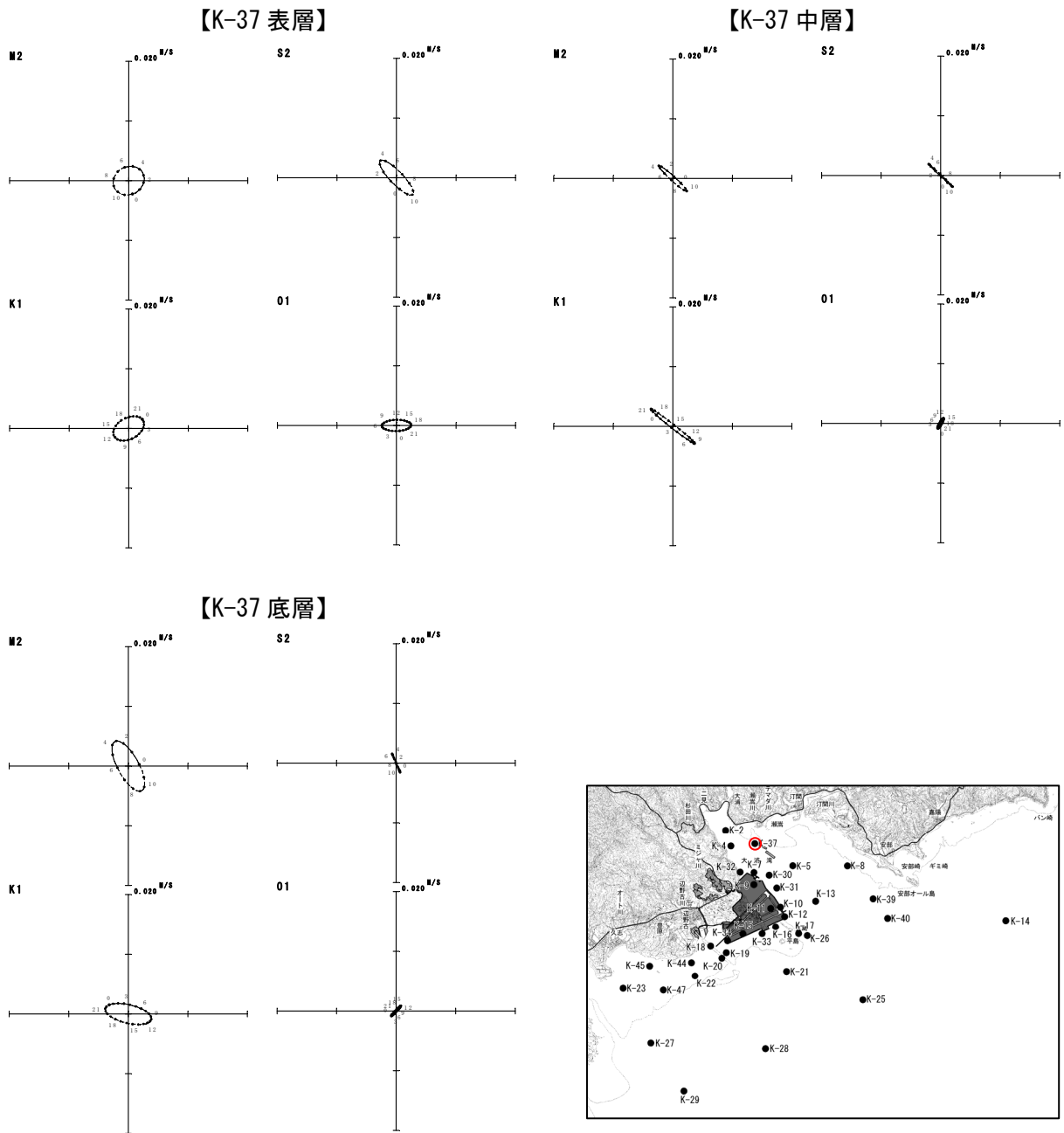


図-6.6.1.26(18) 超音波流速計による調査結果に基づく秋季の潮流楕円

注) 調査期間：平成 20 年 10 月 5 日～11 月 6 日

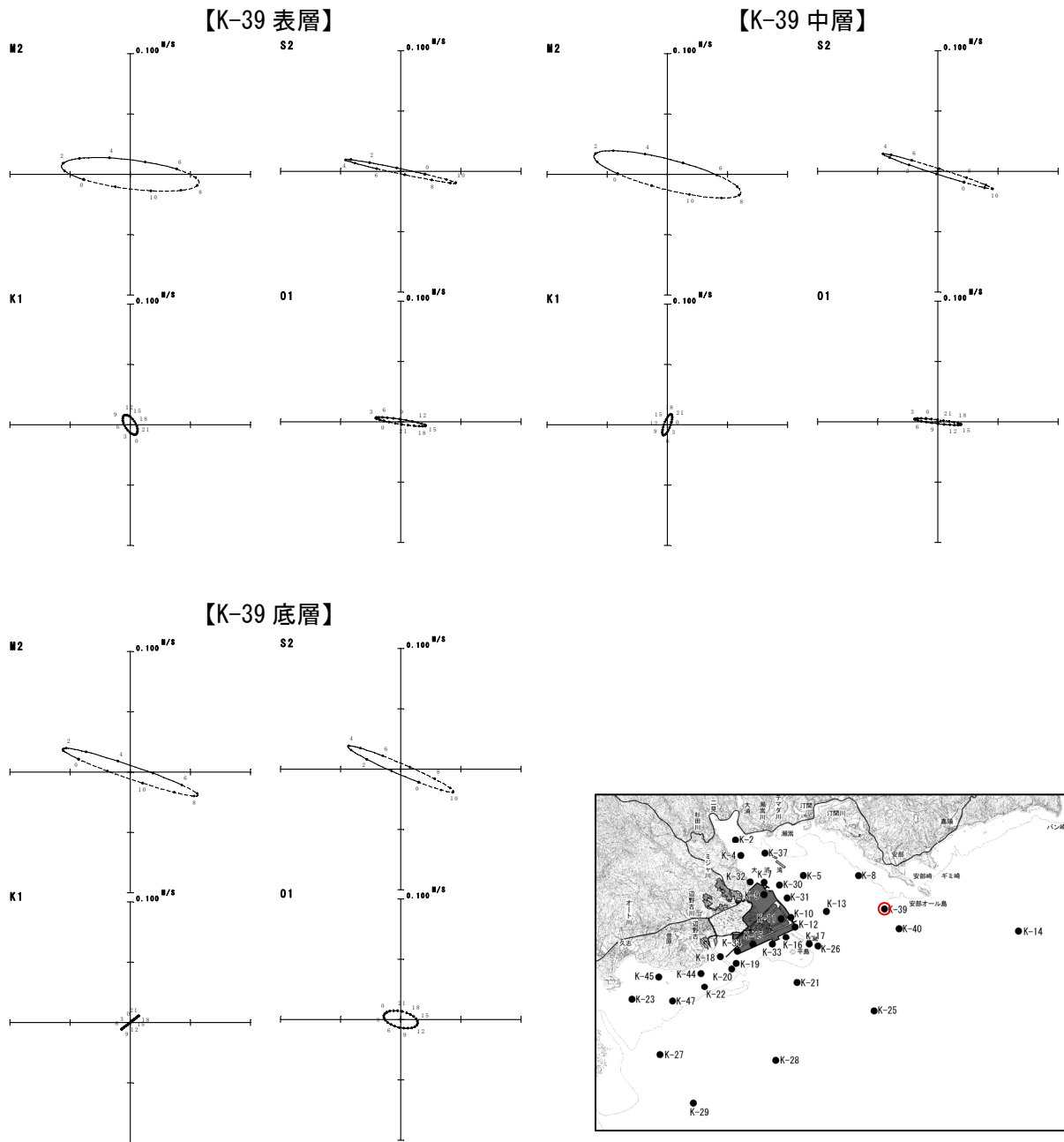


図-6.6.1.26(19) 超音波流速計による調査結果に基づく秋季の潮流楕円

注) 調査期間：平成20年10月5日～11月6日

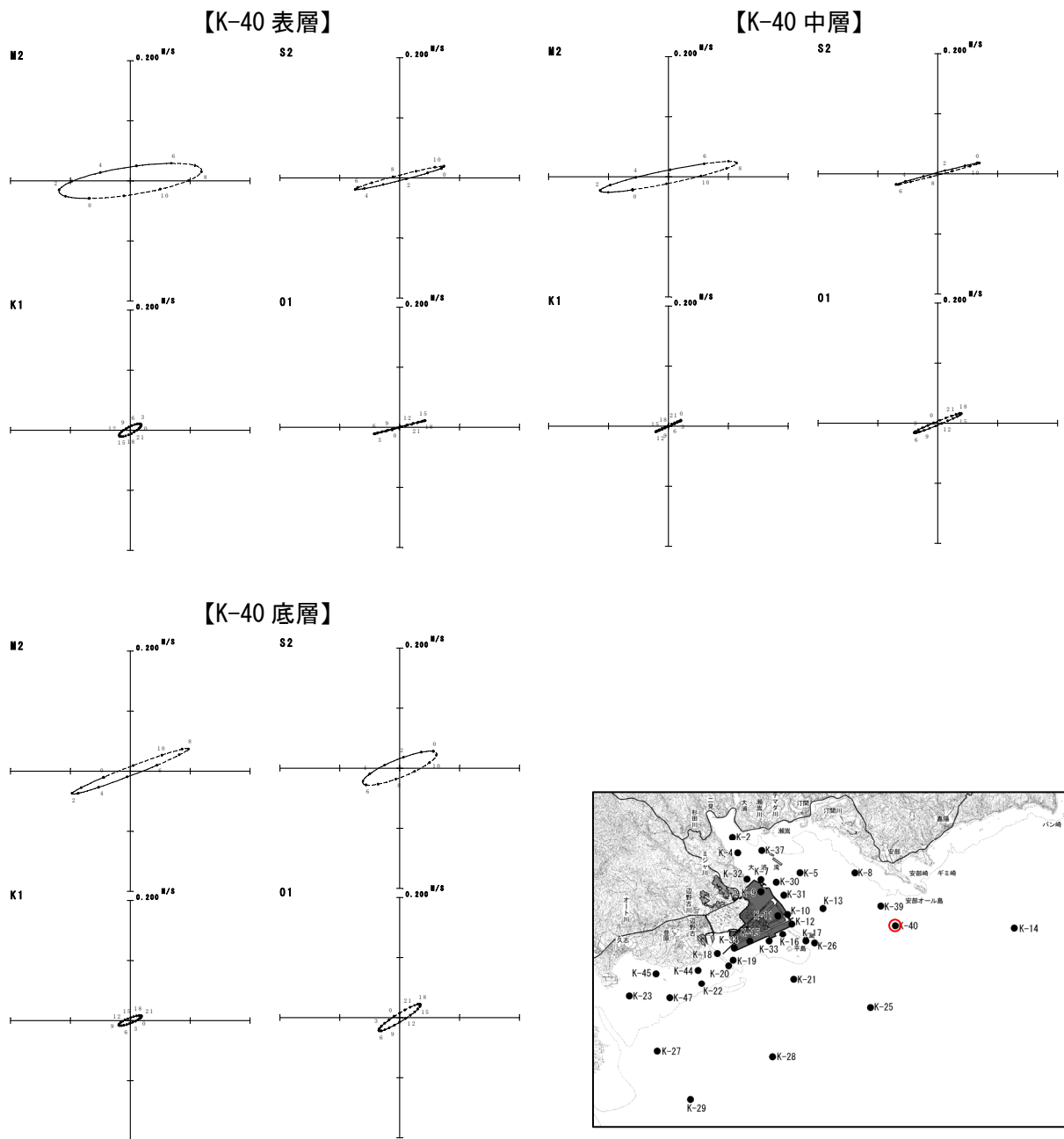


図-6.6.1.26(20) 超音波流速計による調査結果に基づく秋季の潮流楕円

注) 調査期間：平成 20 年 10 月 5 日～11 月 6 日



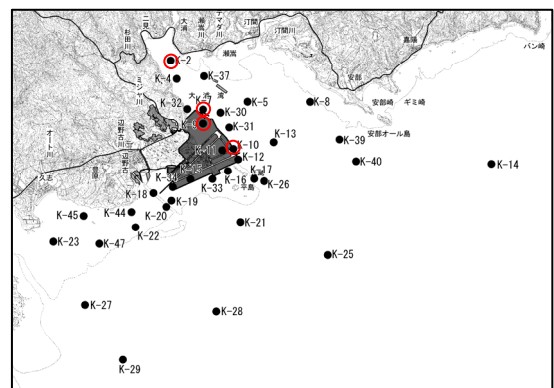
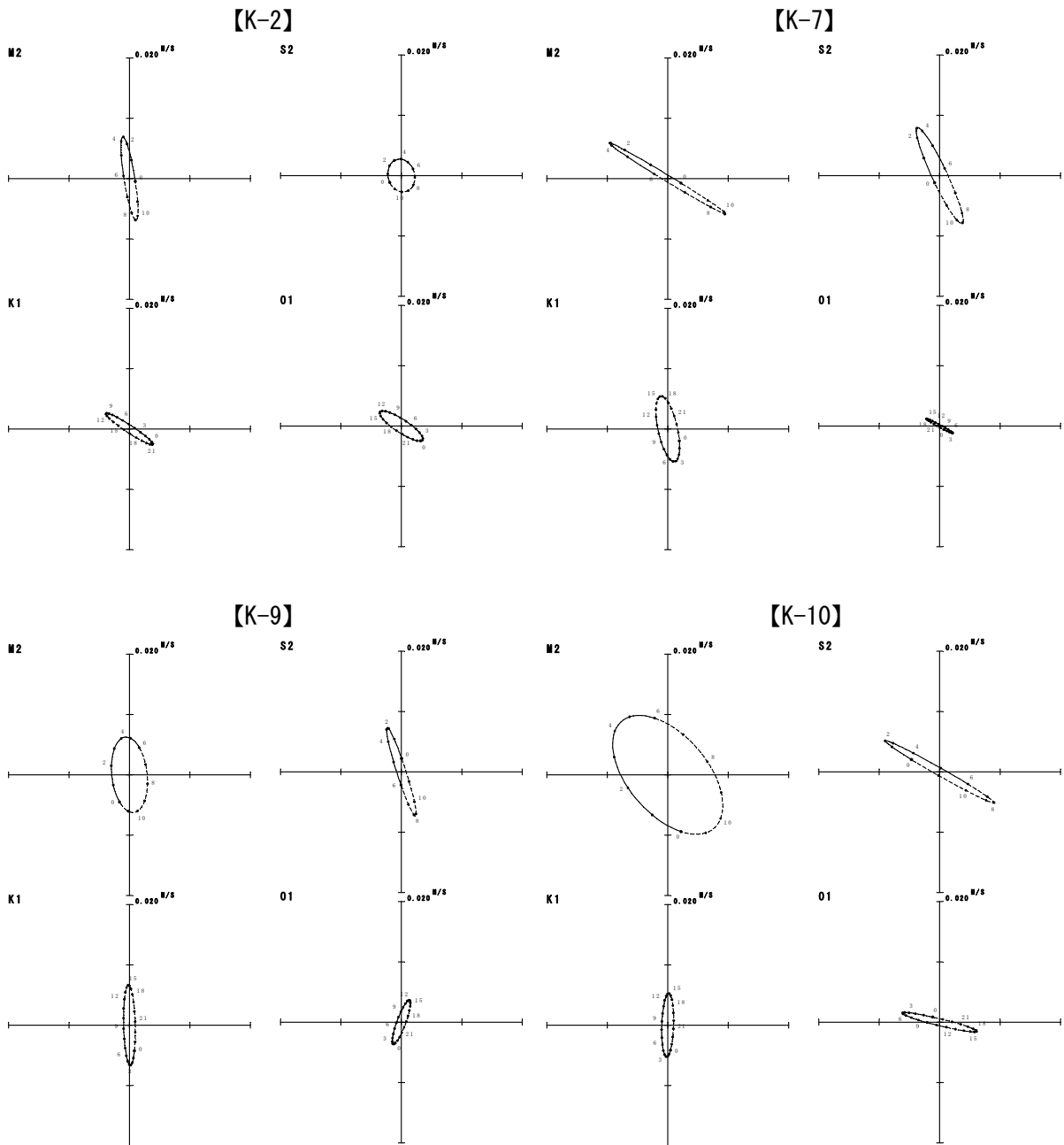


図-6. 6. 1. 27(1) 電磁流速計による調査結果に基づく冬季の潮流楕円

注) 調査期間：平成 20 年 12 月 1 日～平成 21 年 1 月 1 日

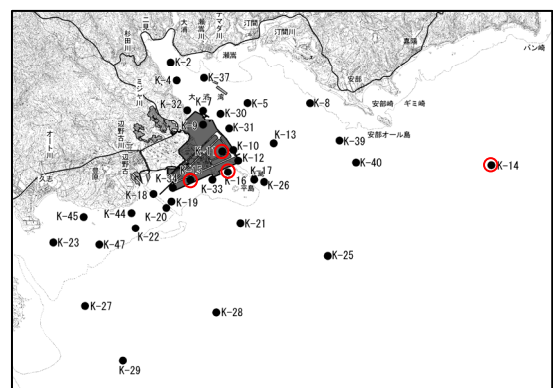
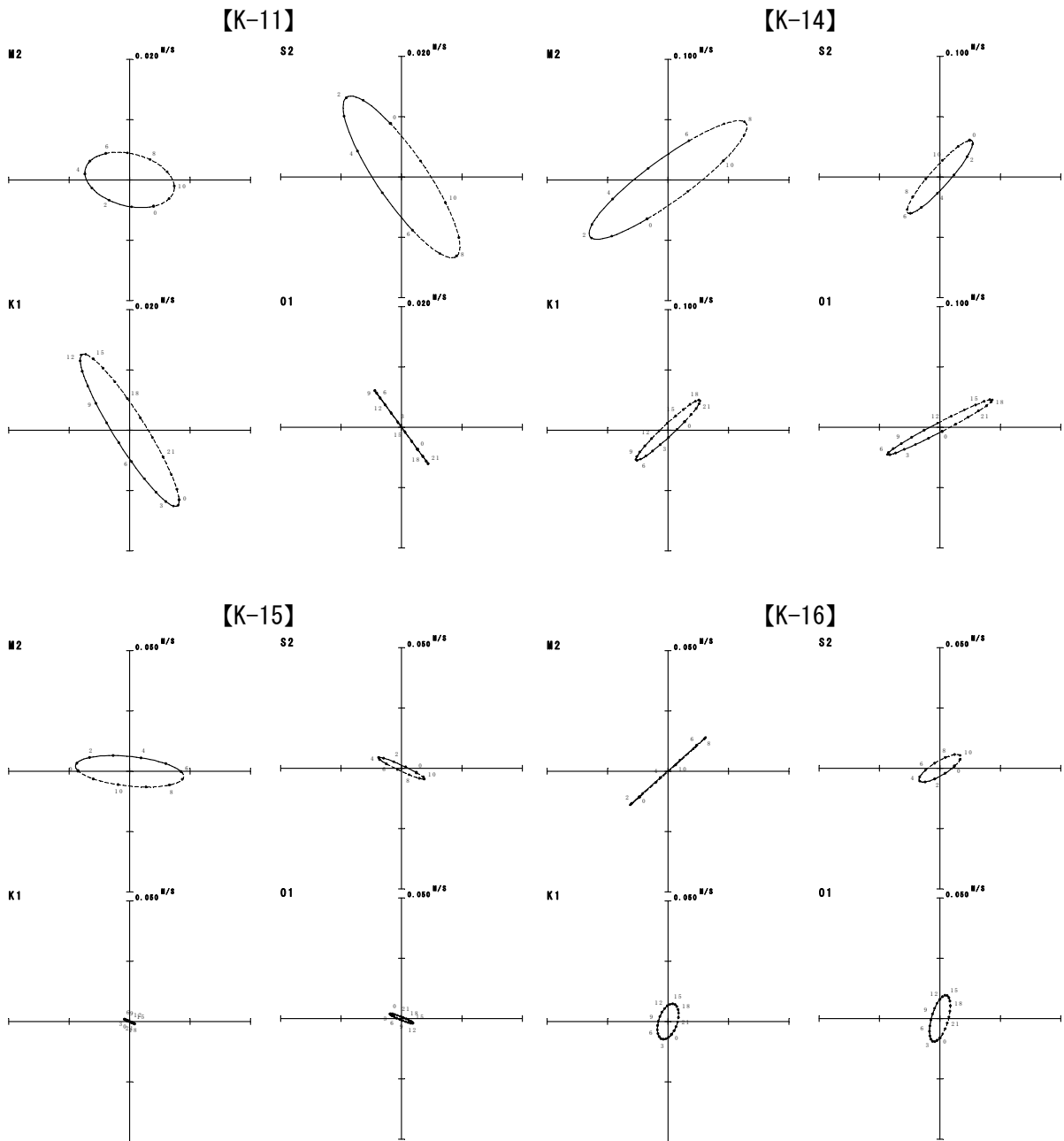


図-6. 6. 1. 27(2) 電磁流速計による調査結果に基づく冬季の潮流楕円

注) 調査期間：平成 20 年 12 月 1 日～平成 21 年 1 月 1 日

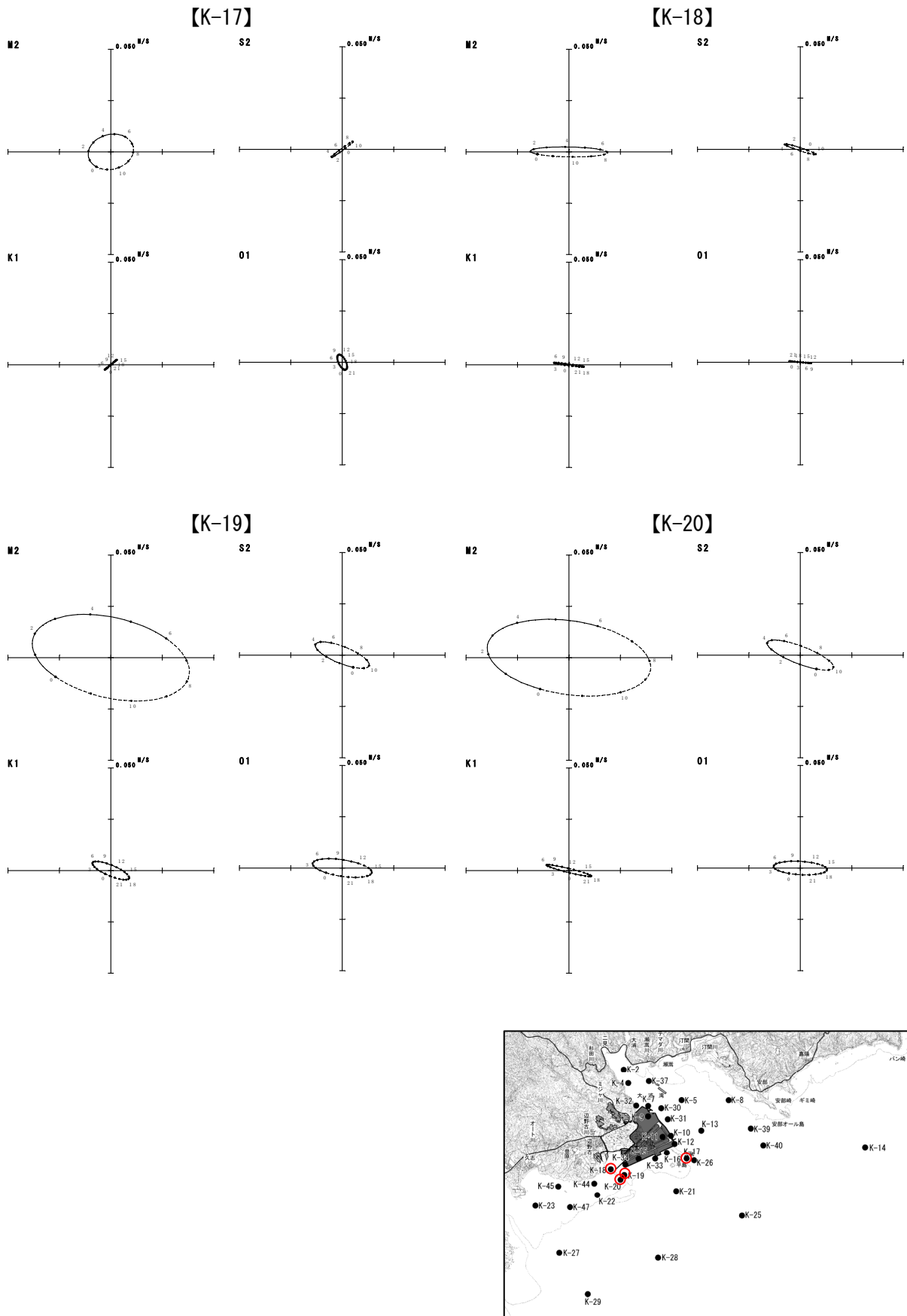


図-6. 6. 1. 27(3) 電磁流速計による調査結果に基づく冬季の潮流楕円

注) 調査期間：平成 20 年 12 月 1 日～平成 21 年 1 月 1 日

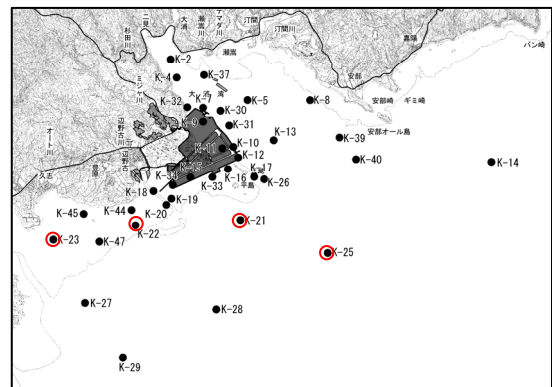
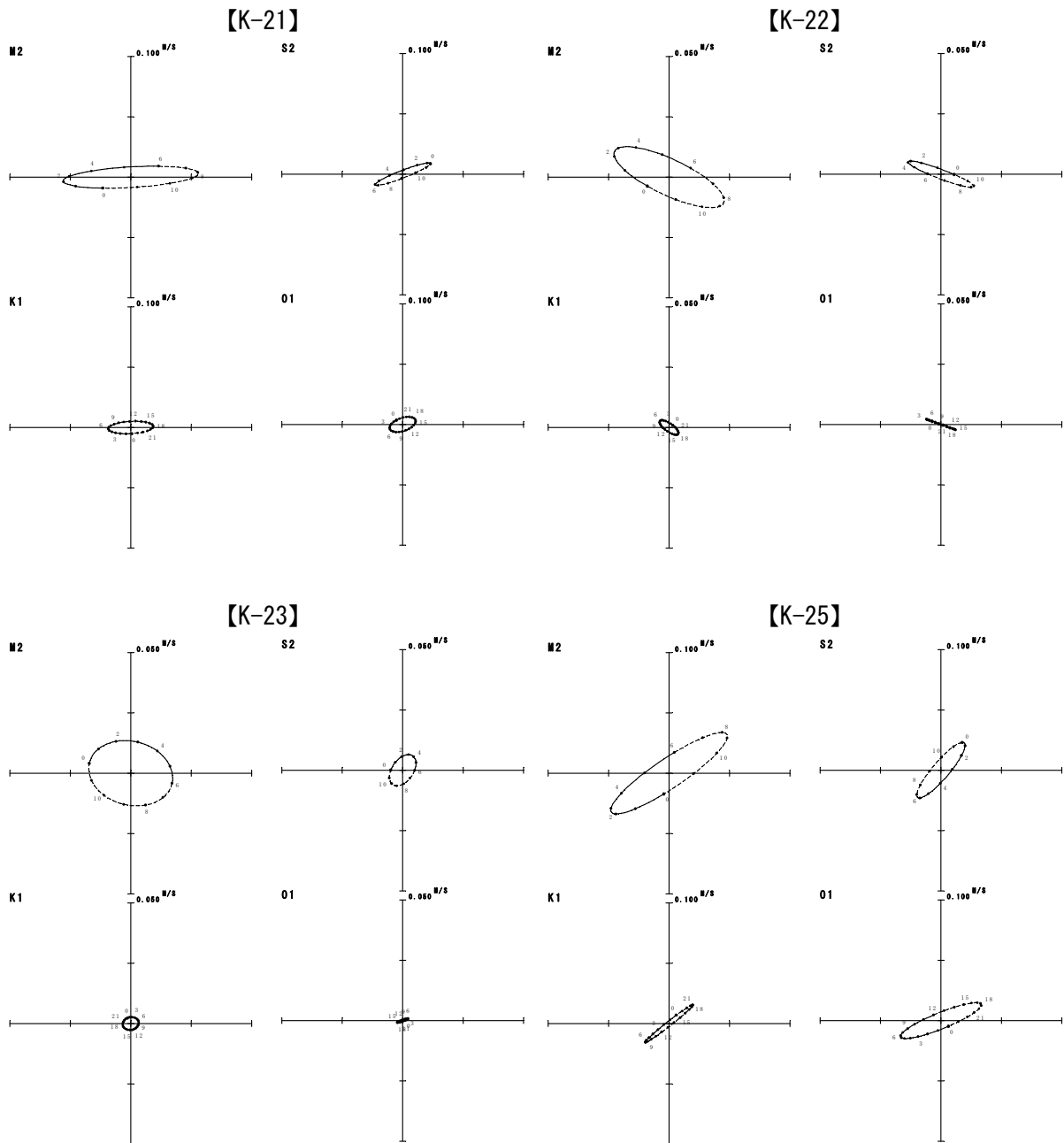


図-6. 6. 1. 27(4) 電磁流速計による調査結果に基づく冬季の潮流楕円

注) 調査期間：平成 20 年 12 月 1 日～平成 21 年 1 月 1 日

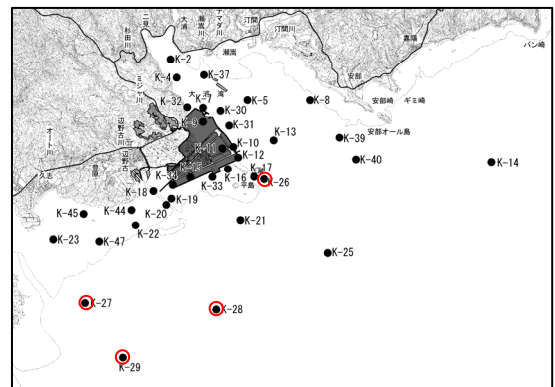
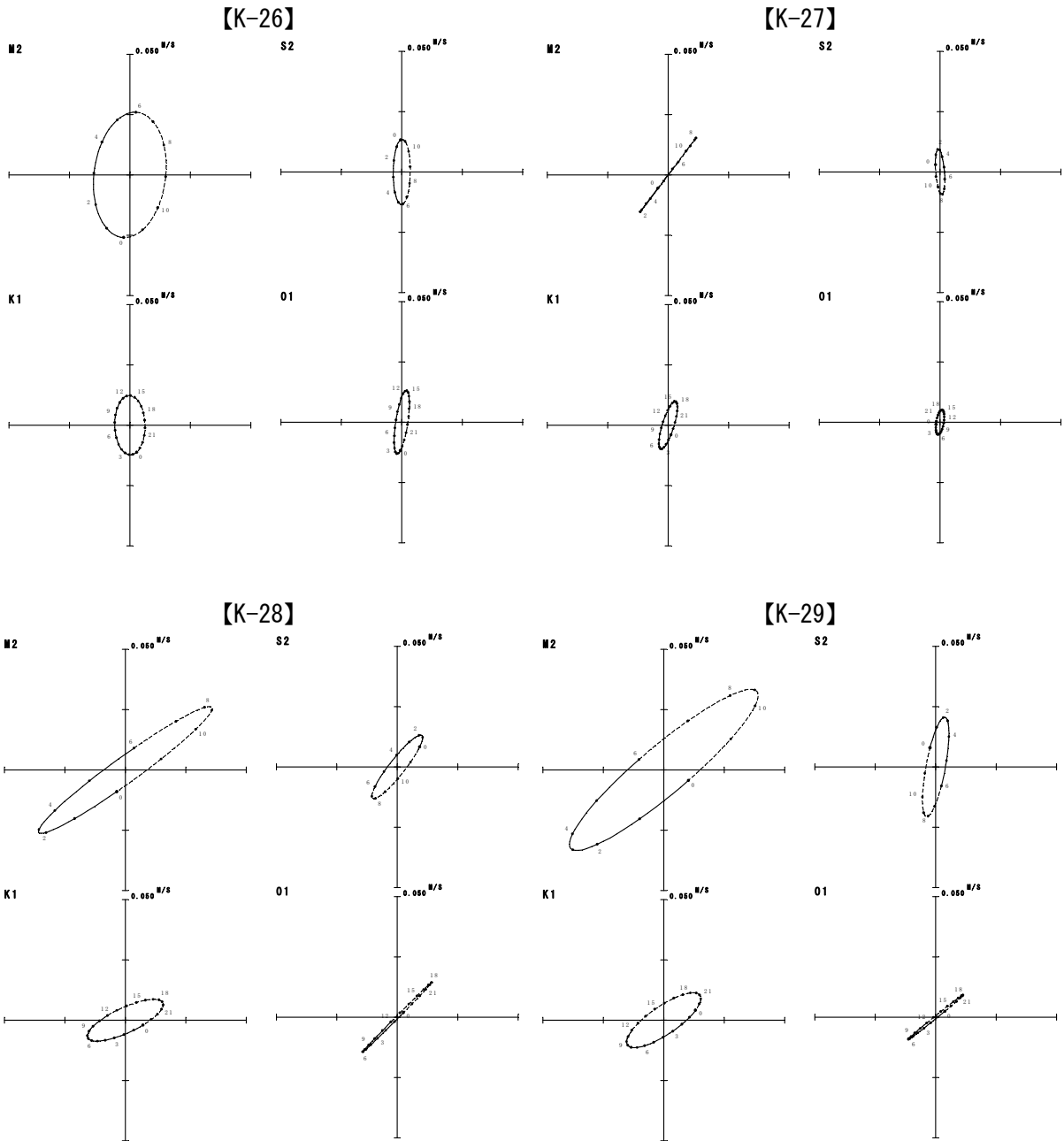


図-6. 6. 1. 27(5) 電磁流速計による調査結果に基づく冬季の潮流楕円

注) 調査期間：平成 20 年 12 月 1 日～平成 21 年 1 月 1 日

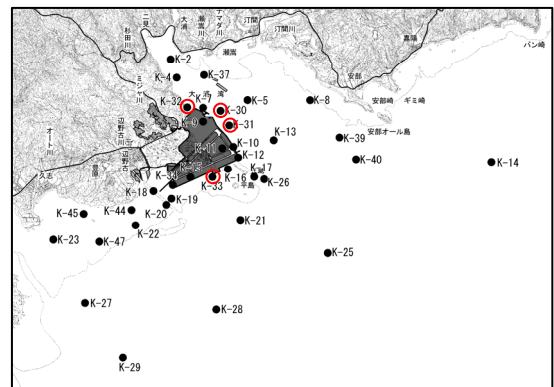
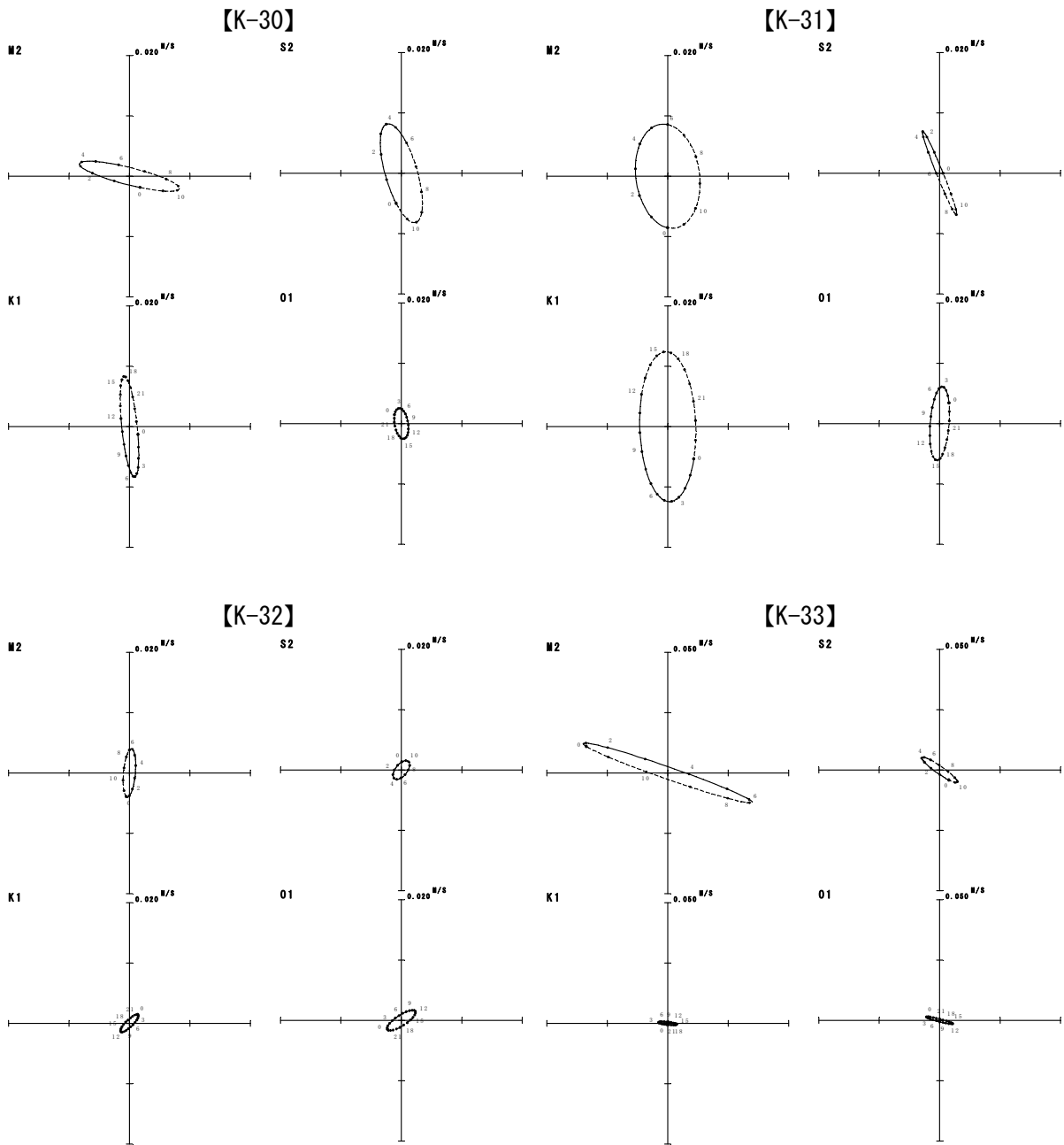


図-6. 6. 1. 27(6) 電磁流速計による調査結果に基づく冬季の潮流楕円

注) 調査期間：平成 20 年 12 月 1 日～平成 21 年 1 月 1 日

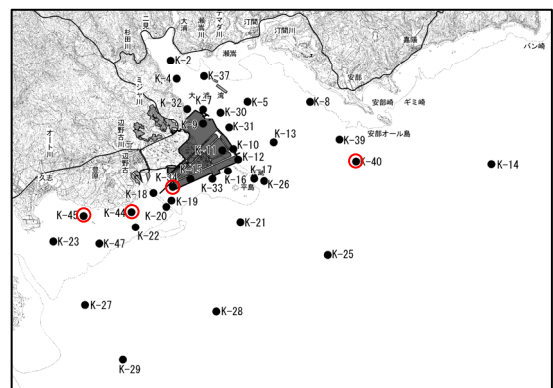
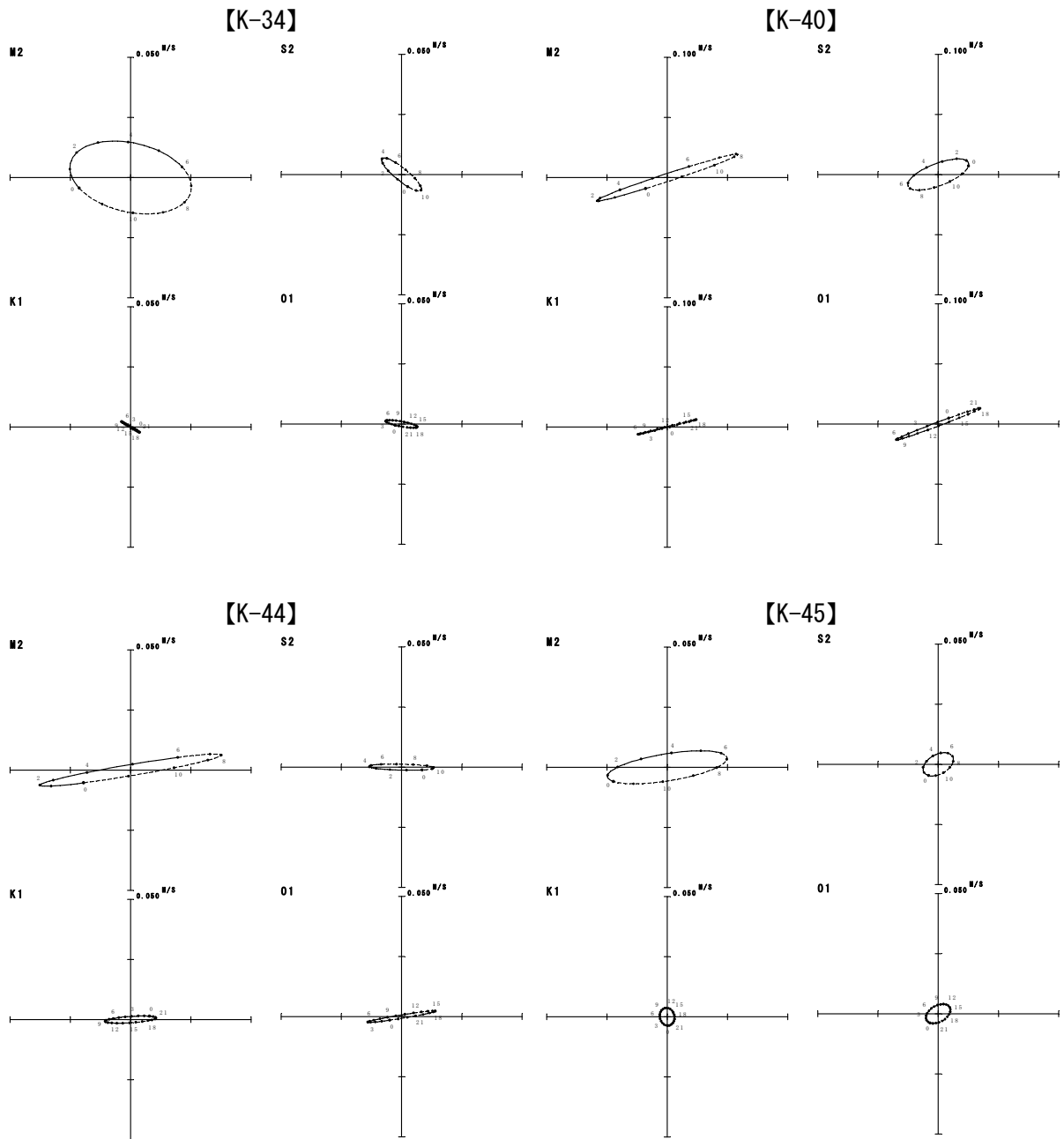


図-6. 6. 1. 27(7) 電磁流速計による調査結果に基づく冬季の潮流楕円

注) 調査期間：平成 20 年 12 月 1 日～平成 21 年 1 月 1 日

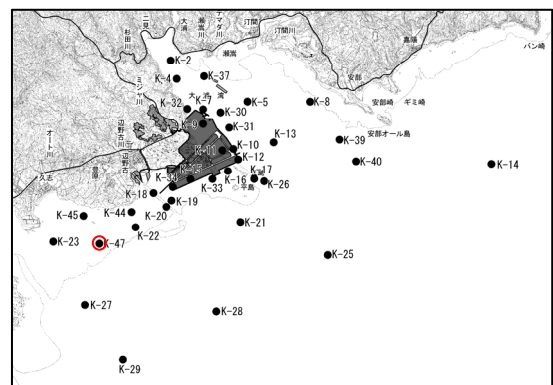
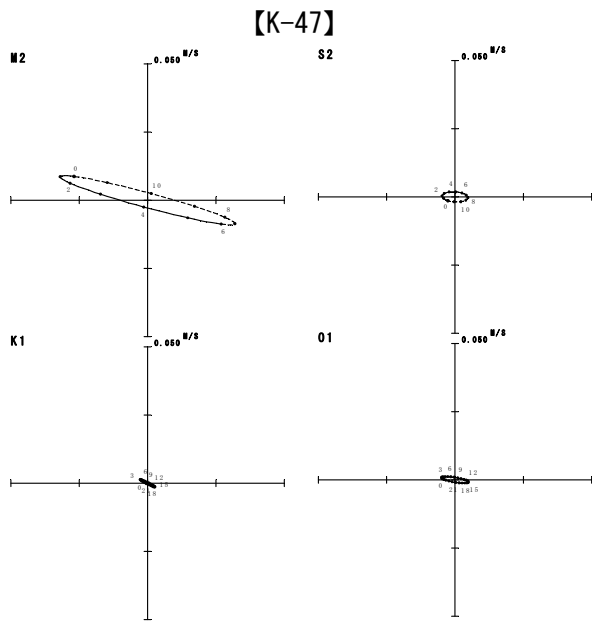


図-6. 6. 1. 27(8) 電磁流速計による調査結果に基づく冬季の潮流楕円

注) 調査期間：平成 20 年 12 月 1 日～平成 21 年 1 月 1 日



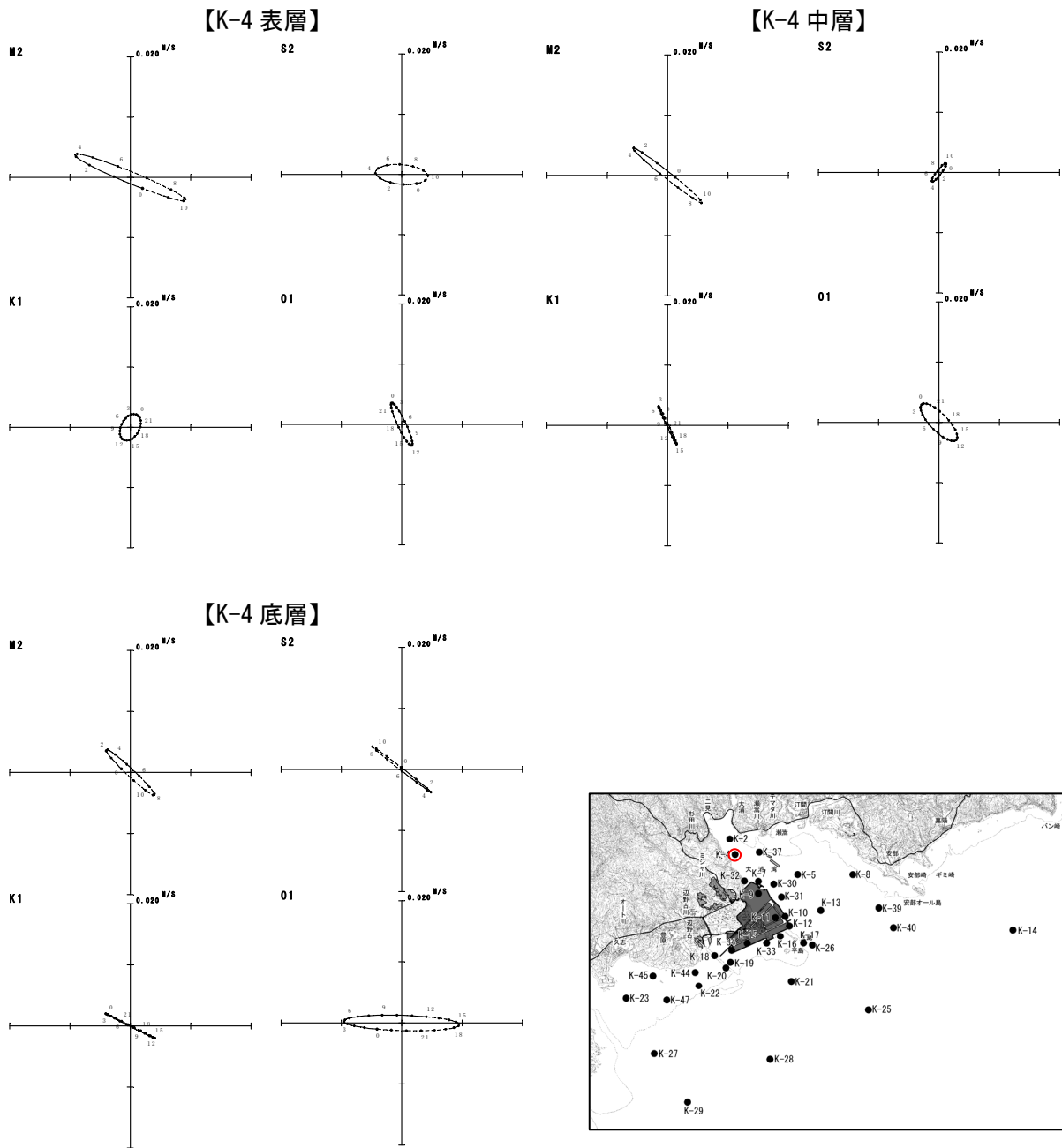


図-6. 6. 1. 28(1) 超音波流速計による調査結果に基づく冬季の潮流楕円

注) 調査期間：平成 20 年 12 月 1 日～平成 21 年 1 月 1 日

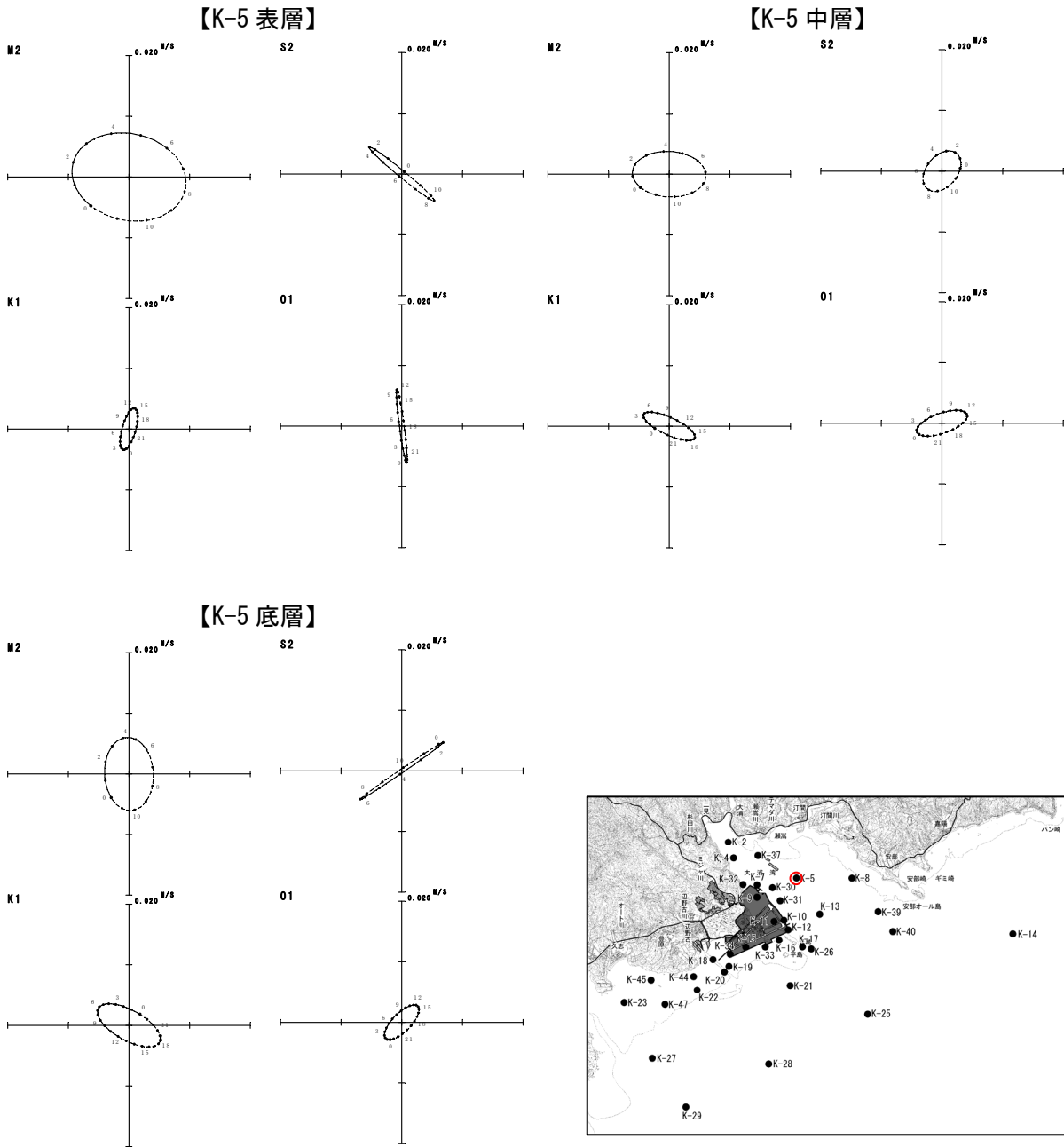


図-6.6.1.28(2) 超音波流速計による調査結果に基づく冬季の潮流楕円

注) 調査期間：平成20年12月1日～平成21年1月1日

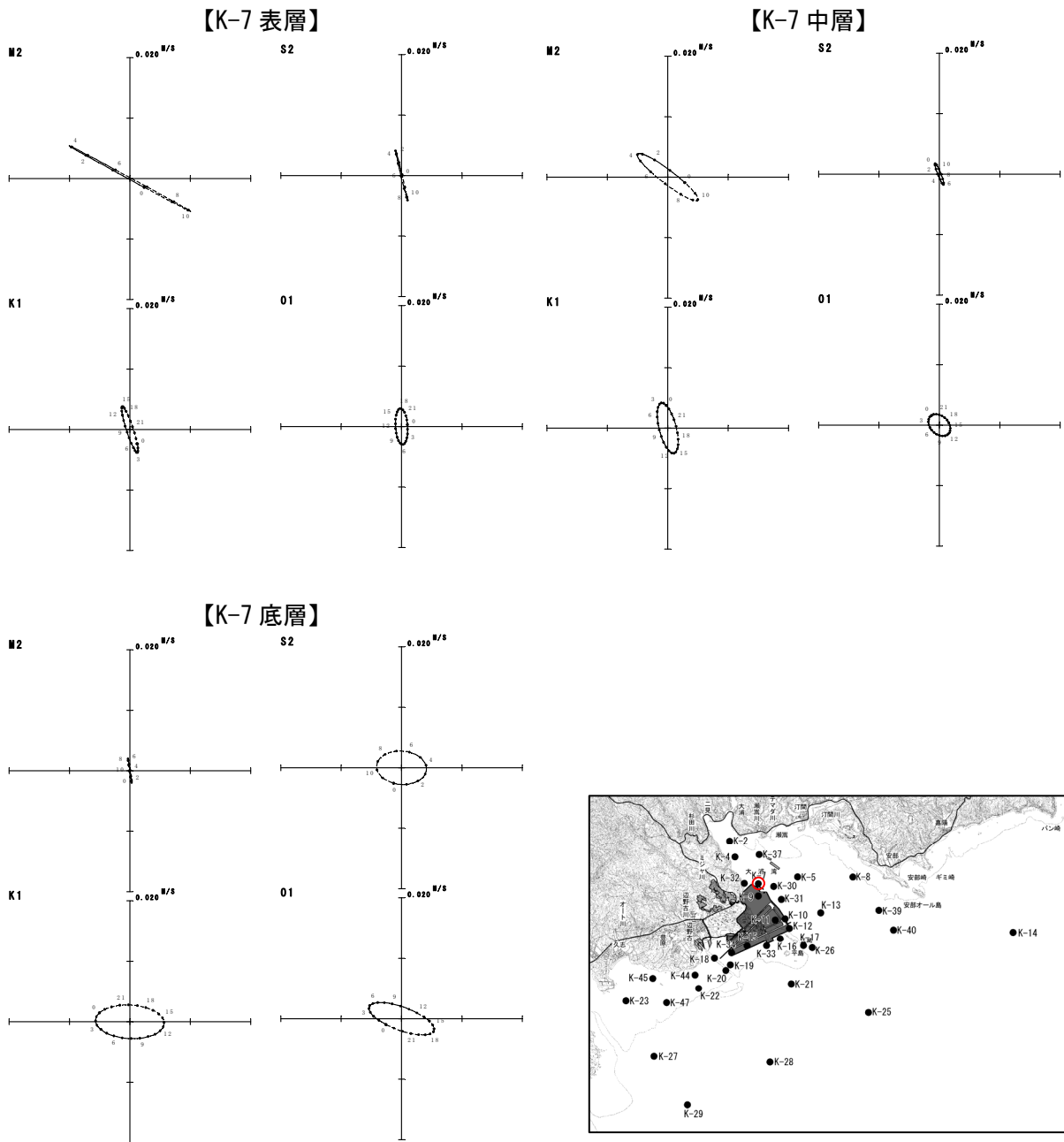


図-6. 6. 1. 28(3) 超音波流速計による調査結果に基づく冬季の潮流楕円

注) 調査期間：平成 20 年 12 月 1 日～平成 21 年 1 月 1 日

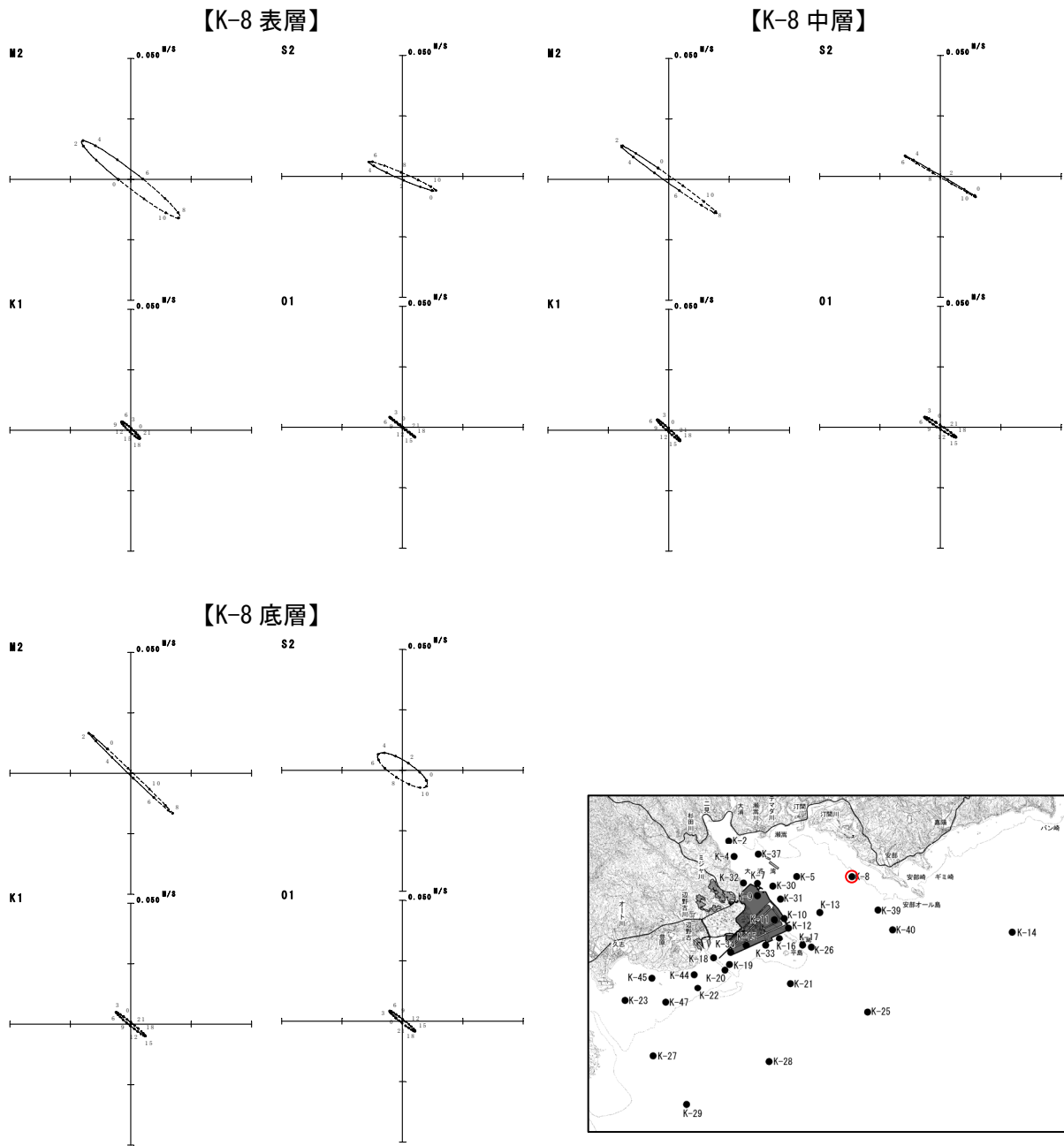


図-6. 6. 1. 28(4) 超音波流速計による調査結果に基づく冬季の潮流楕円

注) 調査期間：平成 20 年 12 月 1 日～平成 21 年 1 月 1 日

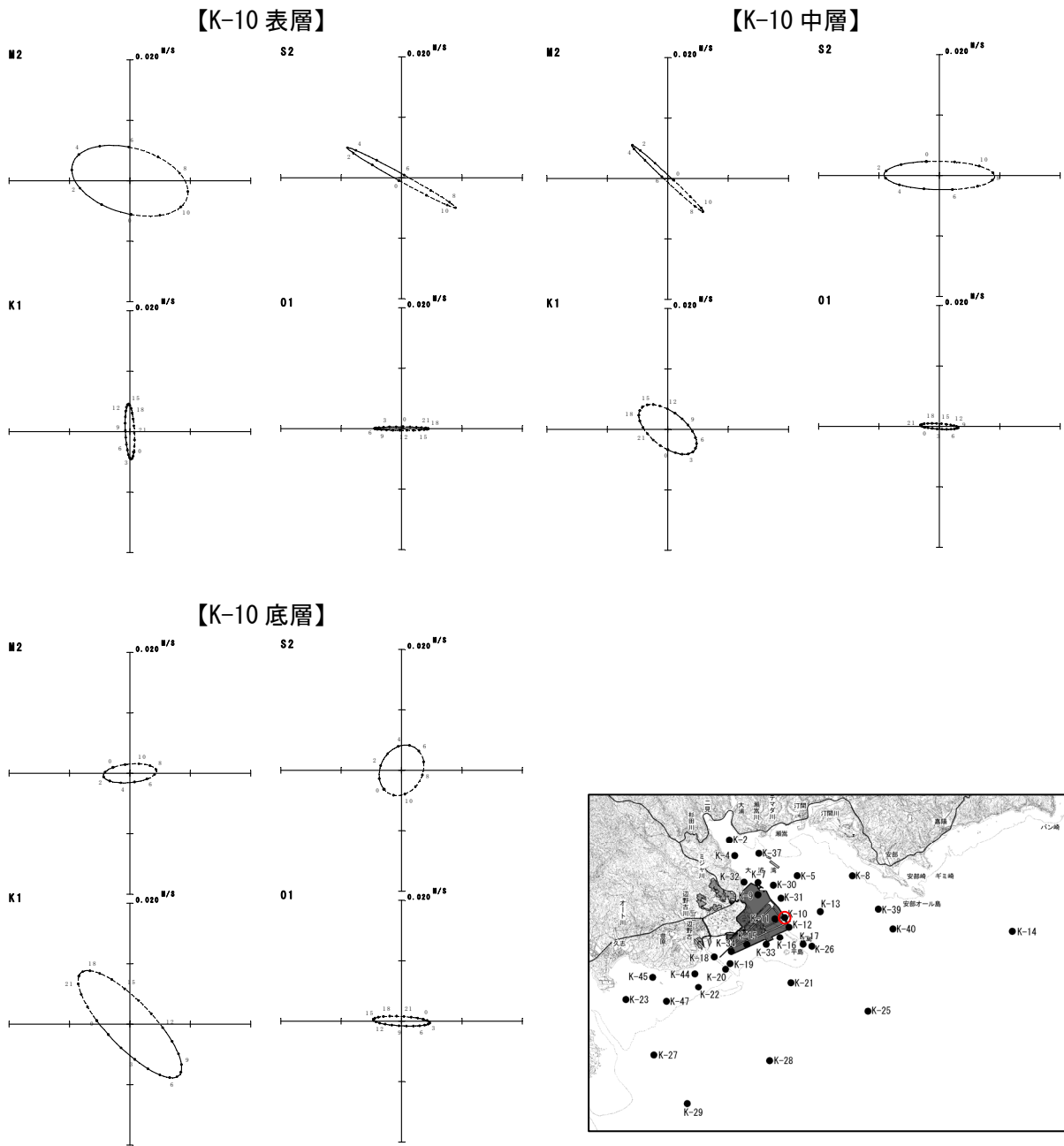


図-6. 6. 1. 28(5) 超音波流速計による調査結果に基づく冬季の潮流楕円

注) 調査期間：平成 20 年 12 月 1 日～平成 21 年 1 月 1 日

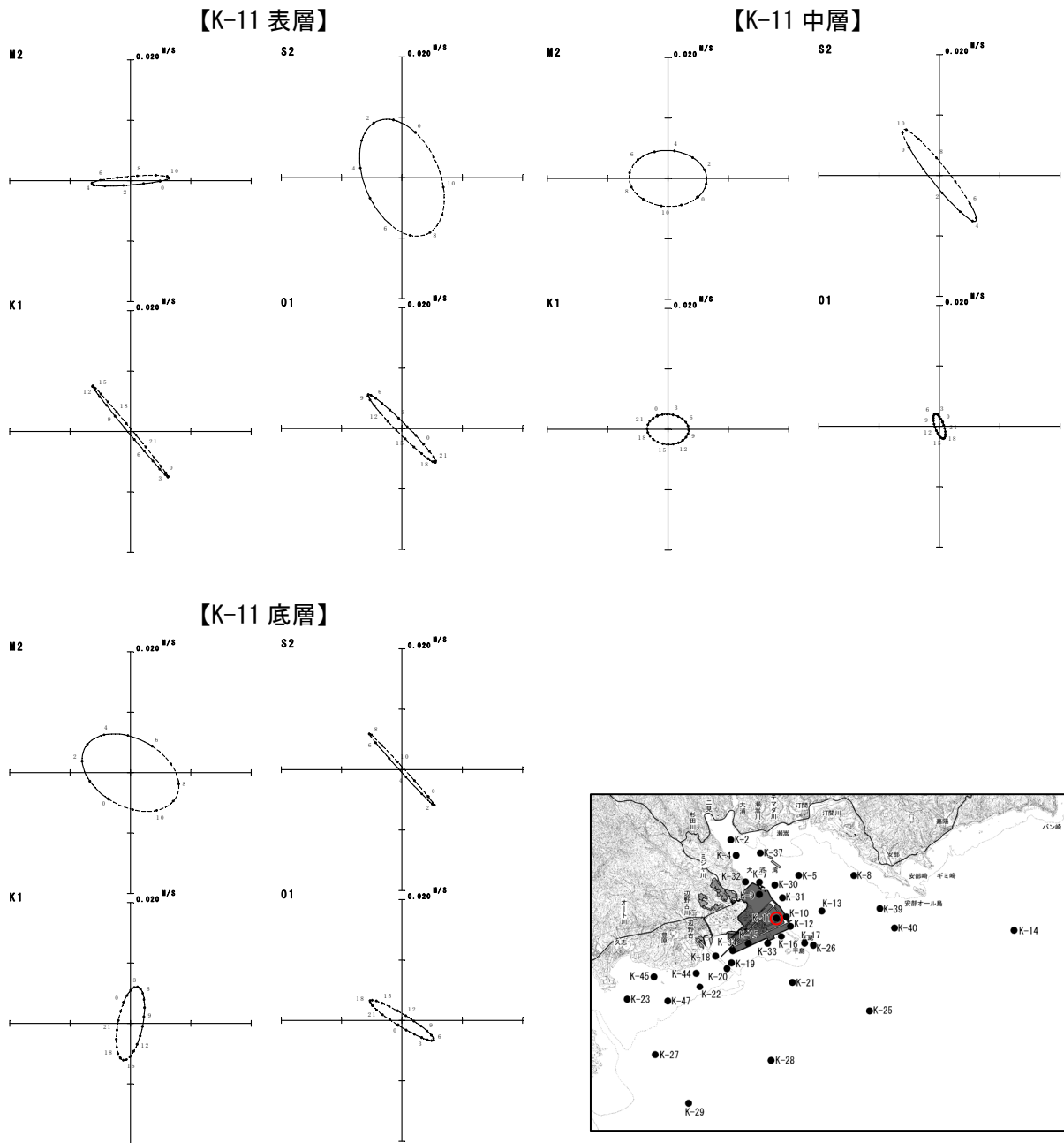


図-6.6.1.28(6) 超音波流速計による調査結果に基づく冬季の潮流楕円

注) 調査期間：平成20年12月1日～平成21年1月1日

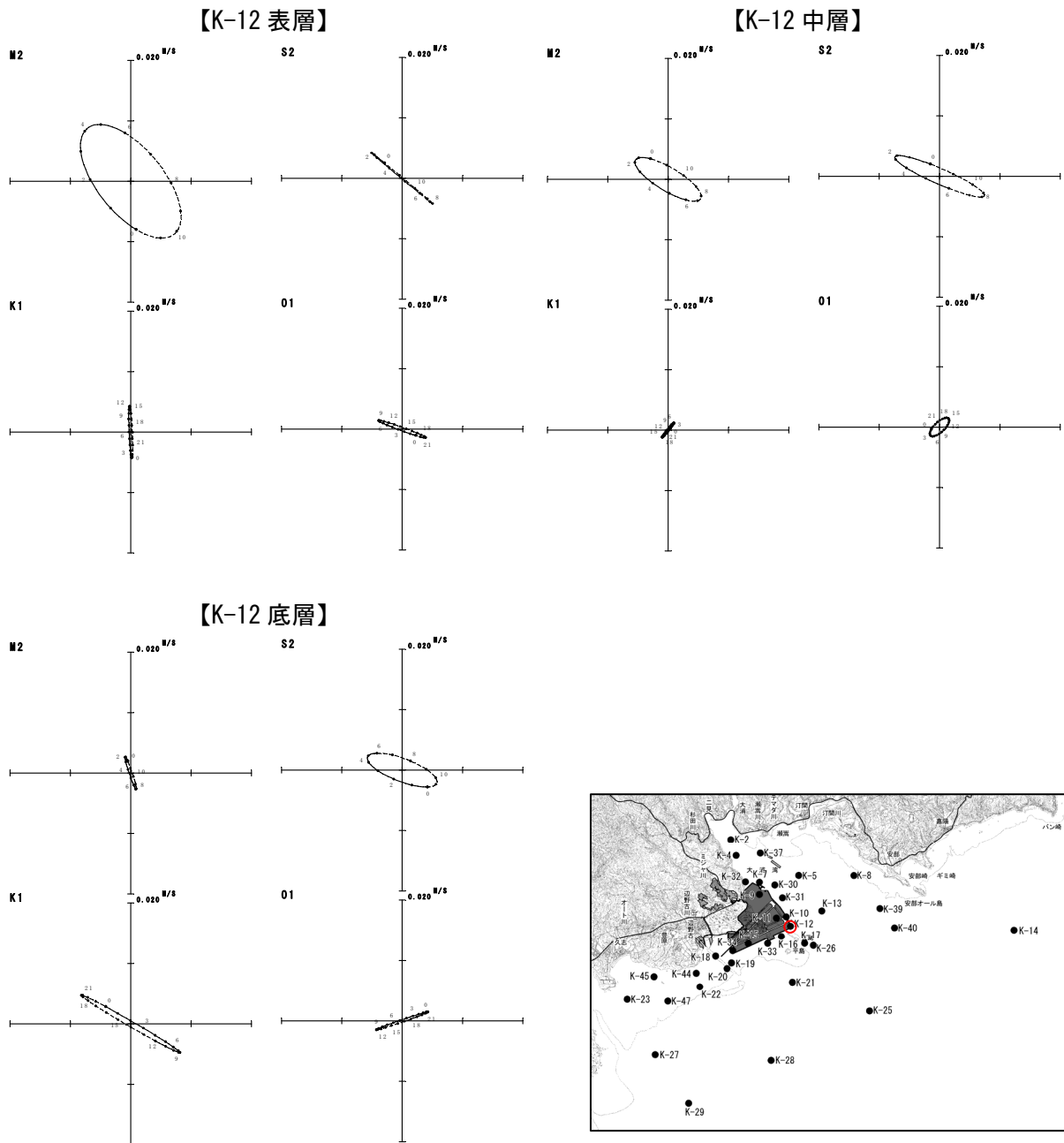


図-6. 6. 1. 28(7) 超音波流速計による調査結果に基づく冬季の潮流楕円

注) 調査期間：平成 20 年 12 月 1 日～平成 21 年 1 月 1 日

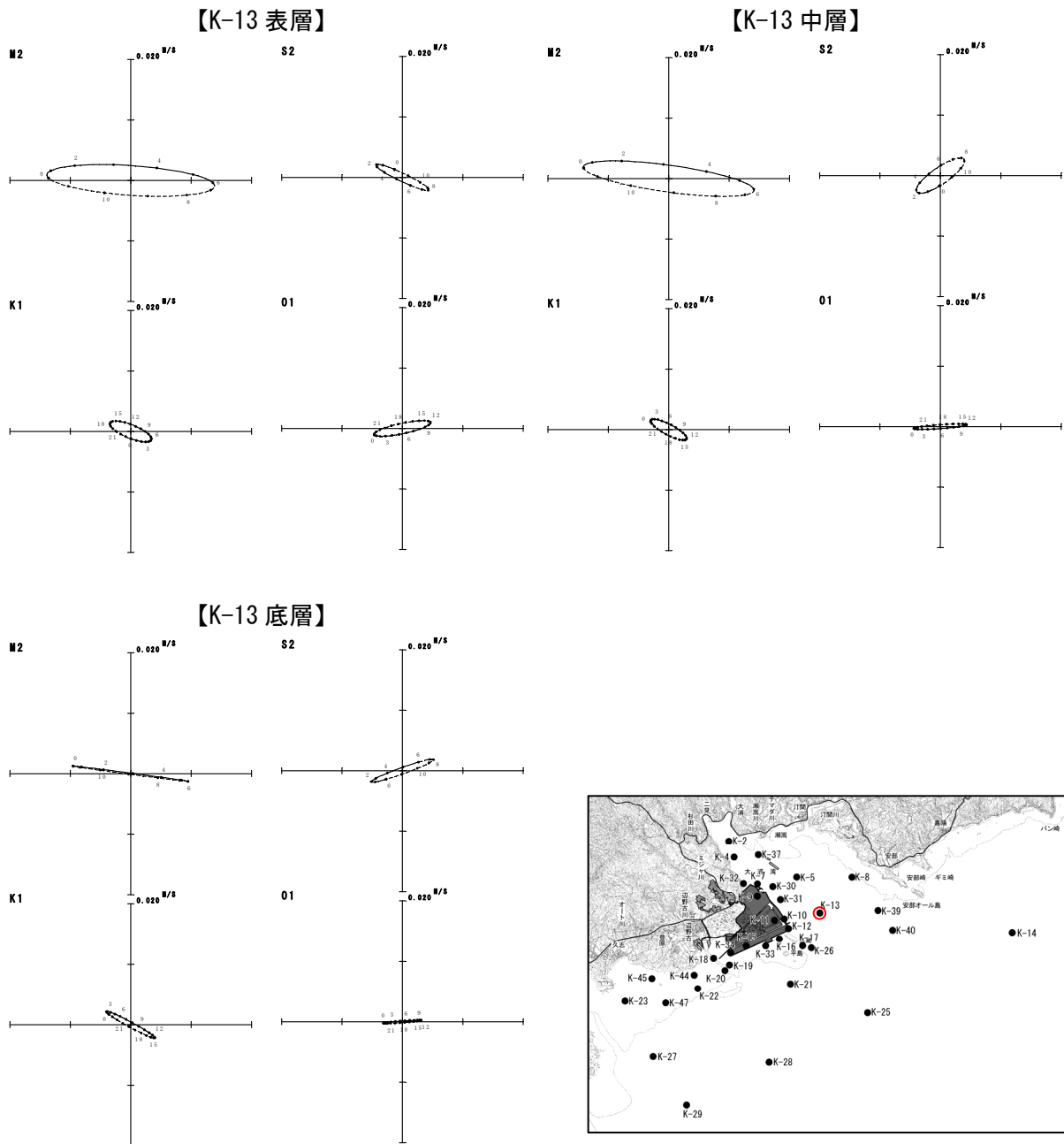


図-6.6.1.28(8) 超音波流速計による調査結果に基づく冬季の潮流楕円  
 注) 調査期間：平成20年12月1日～平成21年1月1日



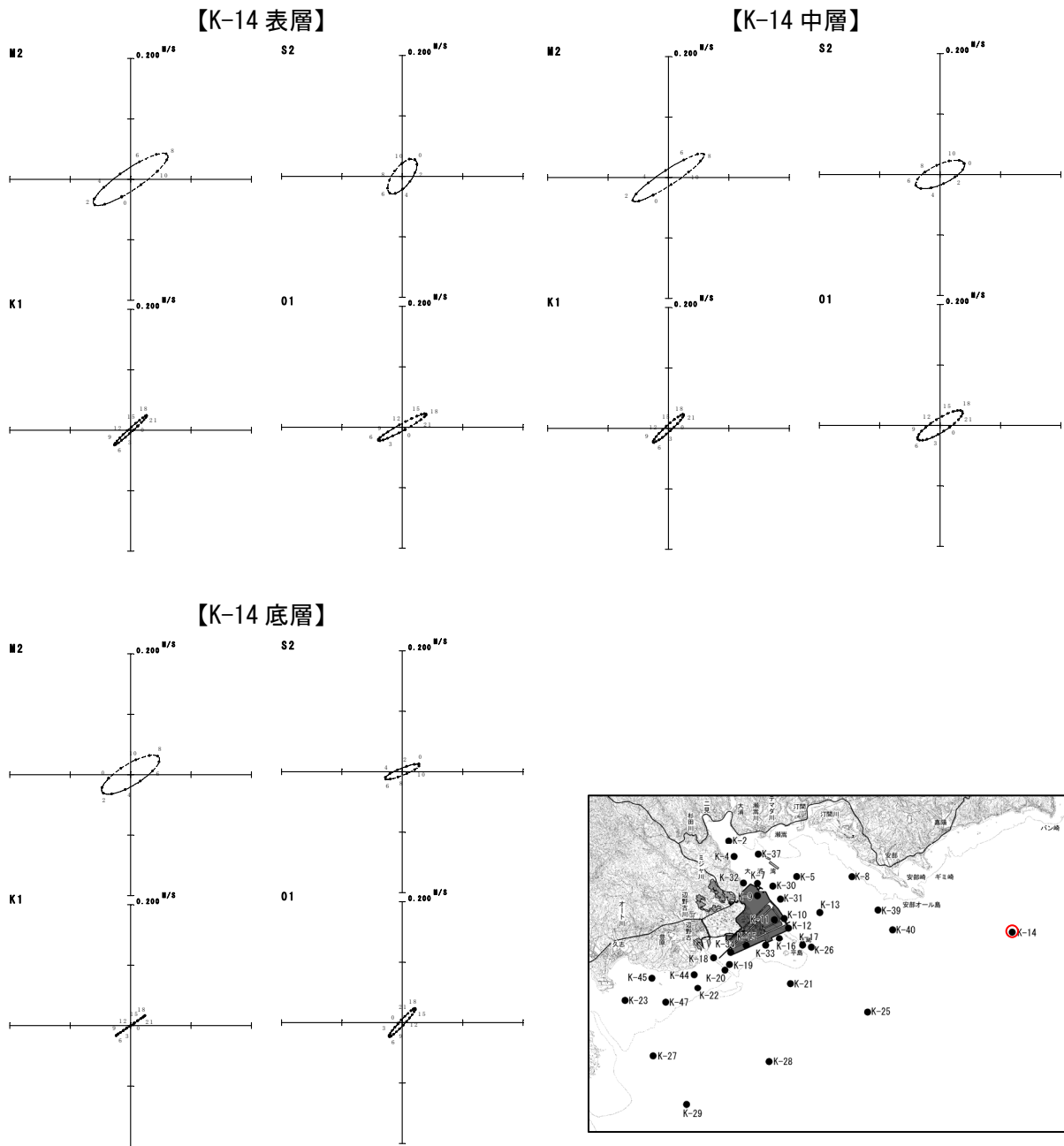


図-6.6.1.28(9) 超音波流速計による調査結果に基づく冬季の潮流楕円

注) 調査期間：平成20年12月1日～平成21年1月1日

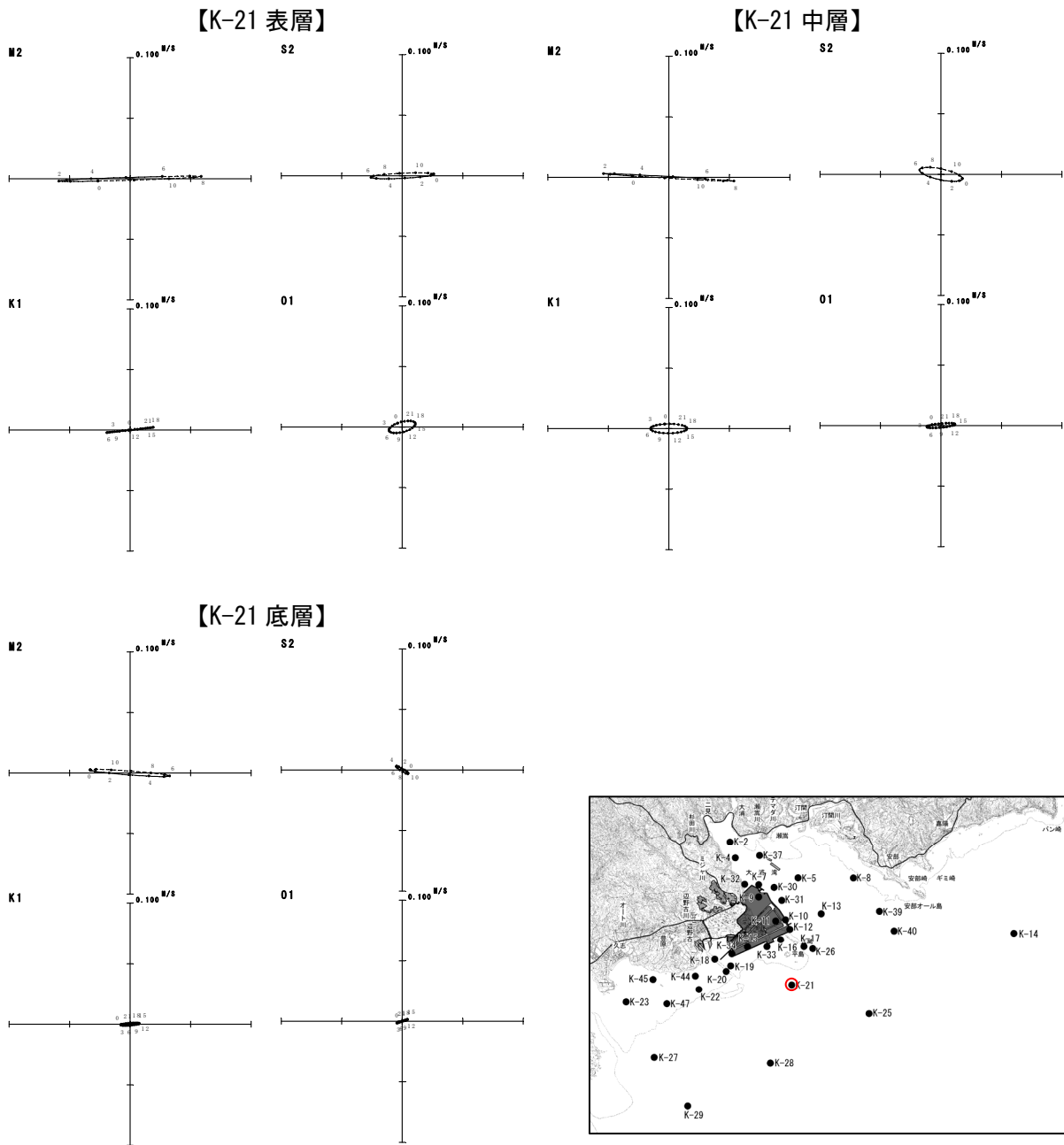


図-6.6.1.28(10) 超音波流速計による調査結果に基づく冬季の潮流楕円

注) 調査期間：平成 20 年 12 月 1 日～平成 21 年 1 月 1 日

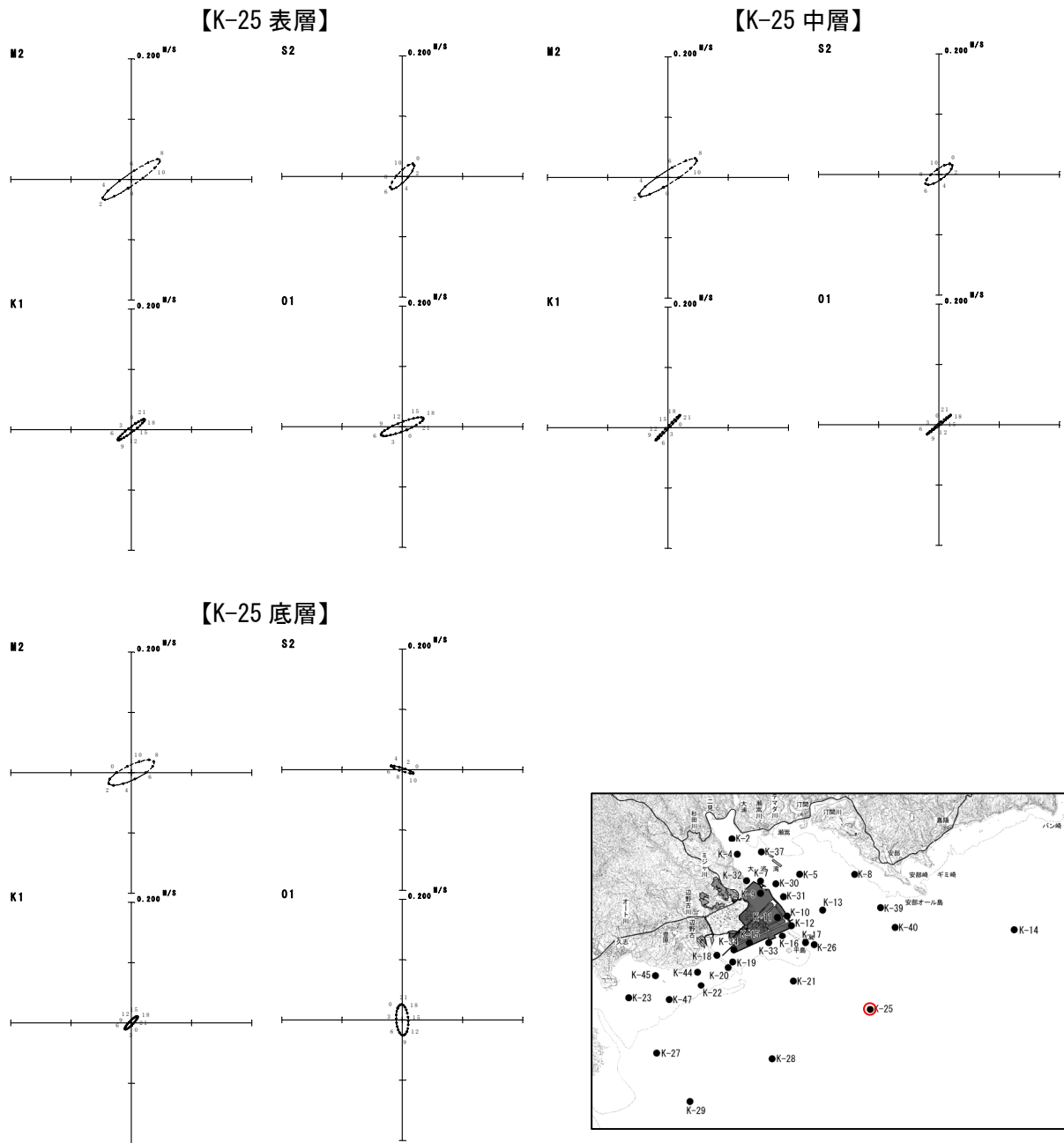


図-6.6.1.28(11) 超音波流速計による調査結果に基づく冬季の潮流楕円

注) 調査期間：平成 20 年 12 月 1 日～平成 21 年 1 月 1 日

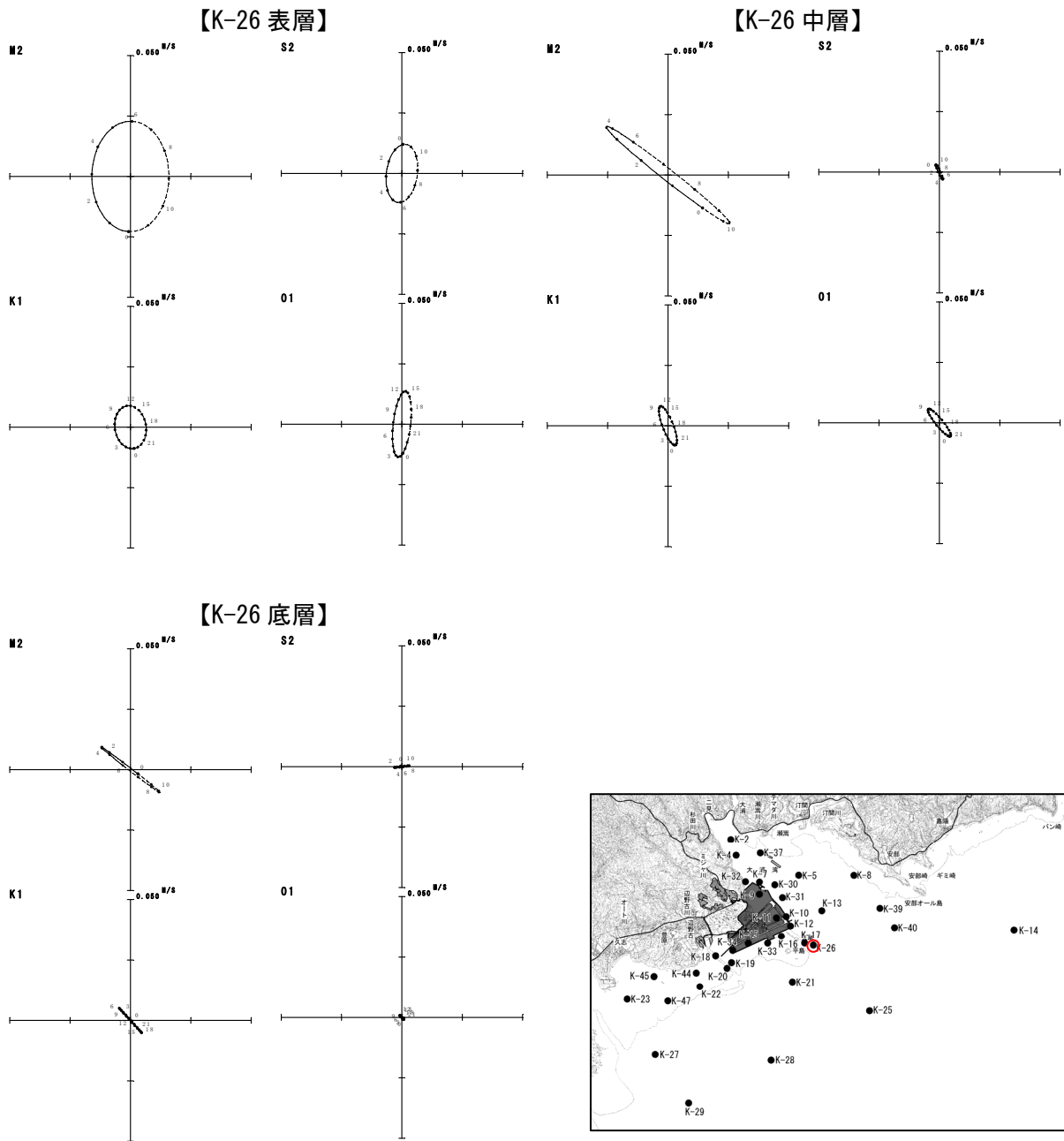


図-6.6.1.28(12) 超音波流速計による調査結果に基づく冬季の潮流楕円

注) 調査期間：平成 20 年 12 月 1 日～平成 21 年 1 月 1 日

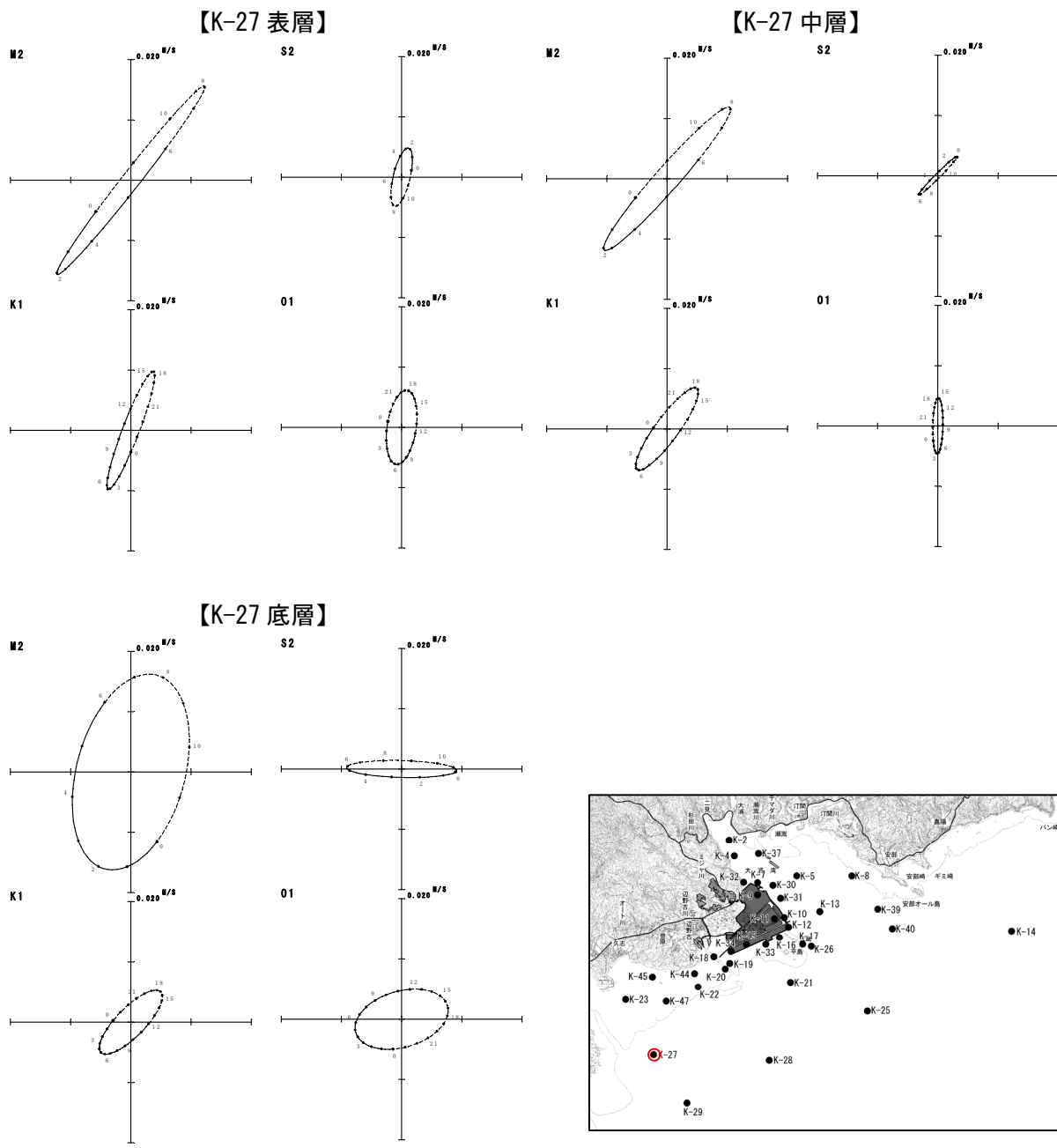


図-6.6.1.28(13) 超音波流速計による調査結果に基づく冬季の潮流楕円

注) 調査期間：平成 20 年 12 月 1 日～平成 21 年 1 月 1 日

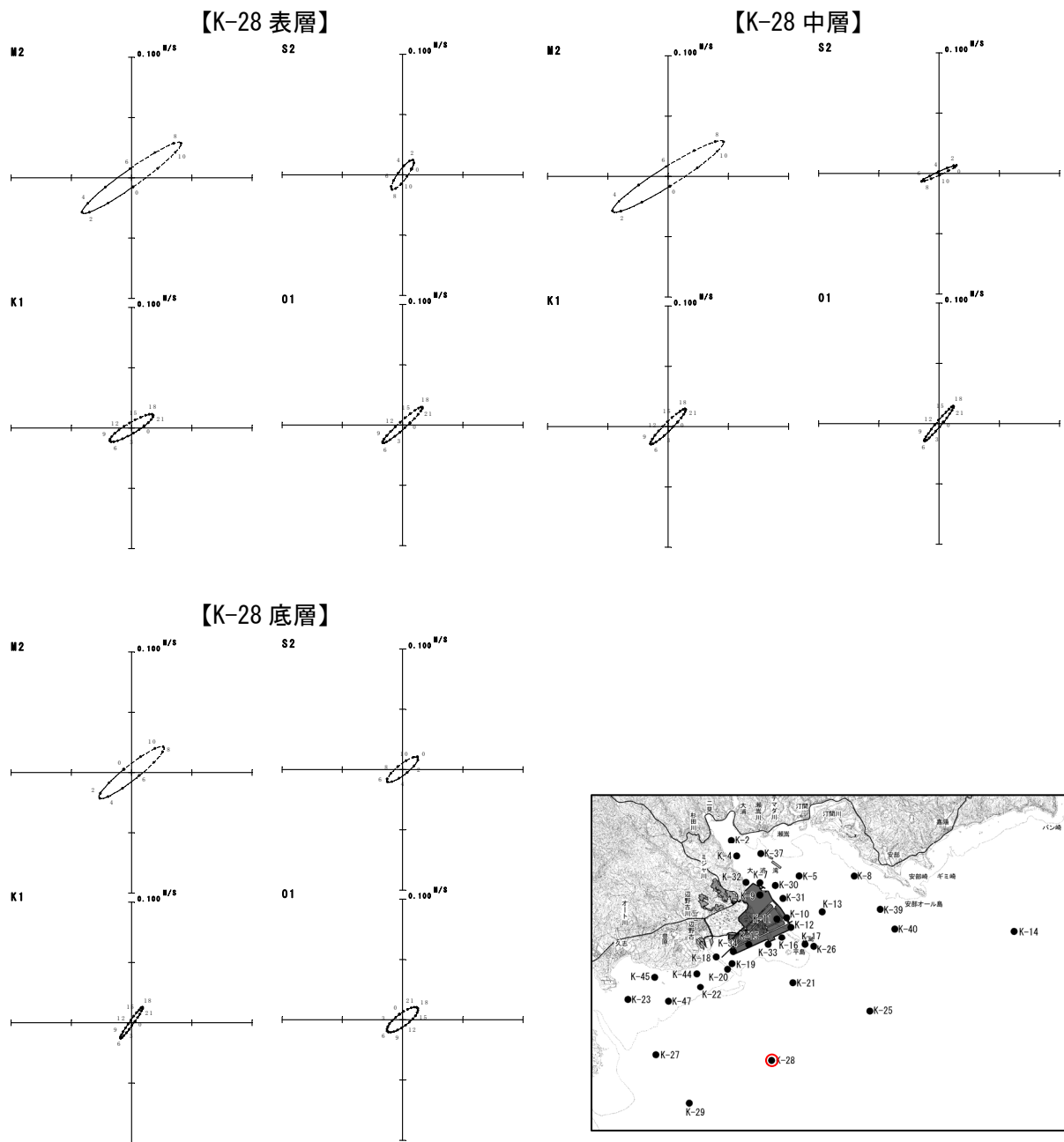


図-6.6.1.28(14) 超音波流速計による調査結果に基づく冬季の潮流楕円

注) 調査期間：平成20年12月1日～平成21年1月1日

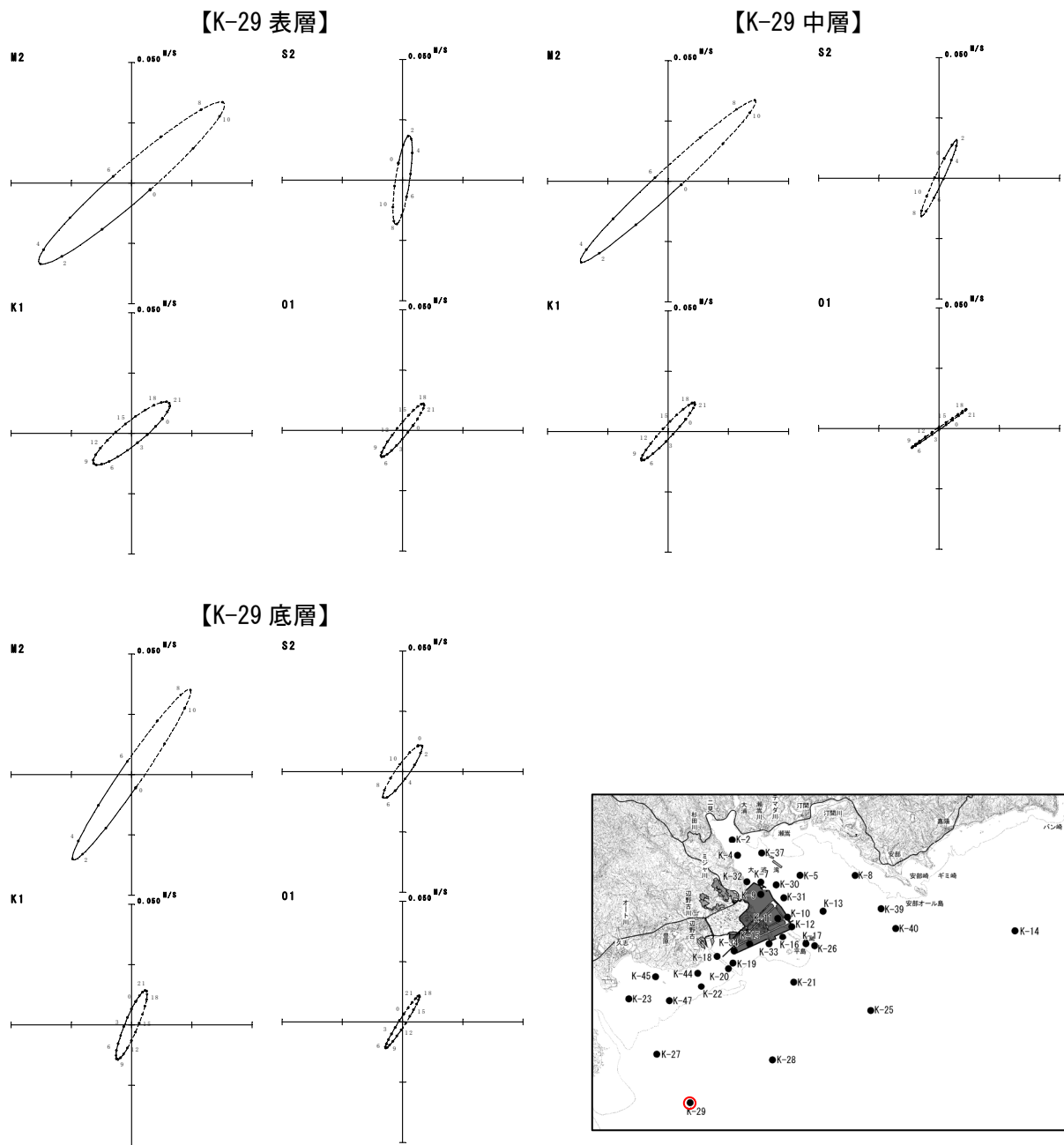


図-6.6.1.28(15) 超音波流速計による調査結果に基づく冬季の潮流楕円

注) 調査期間：平成20年12月1日～平成21年1月1日

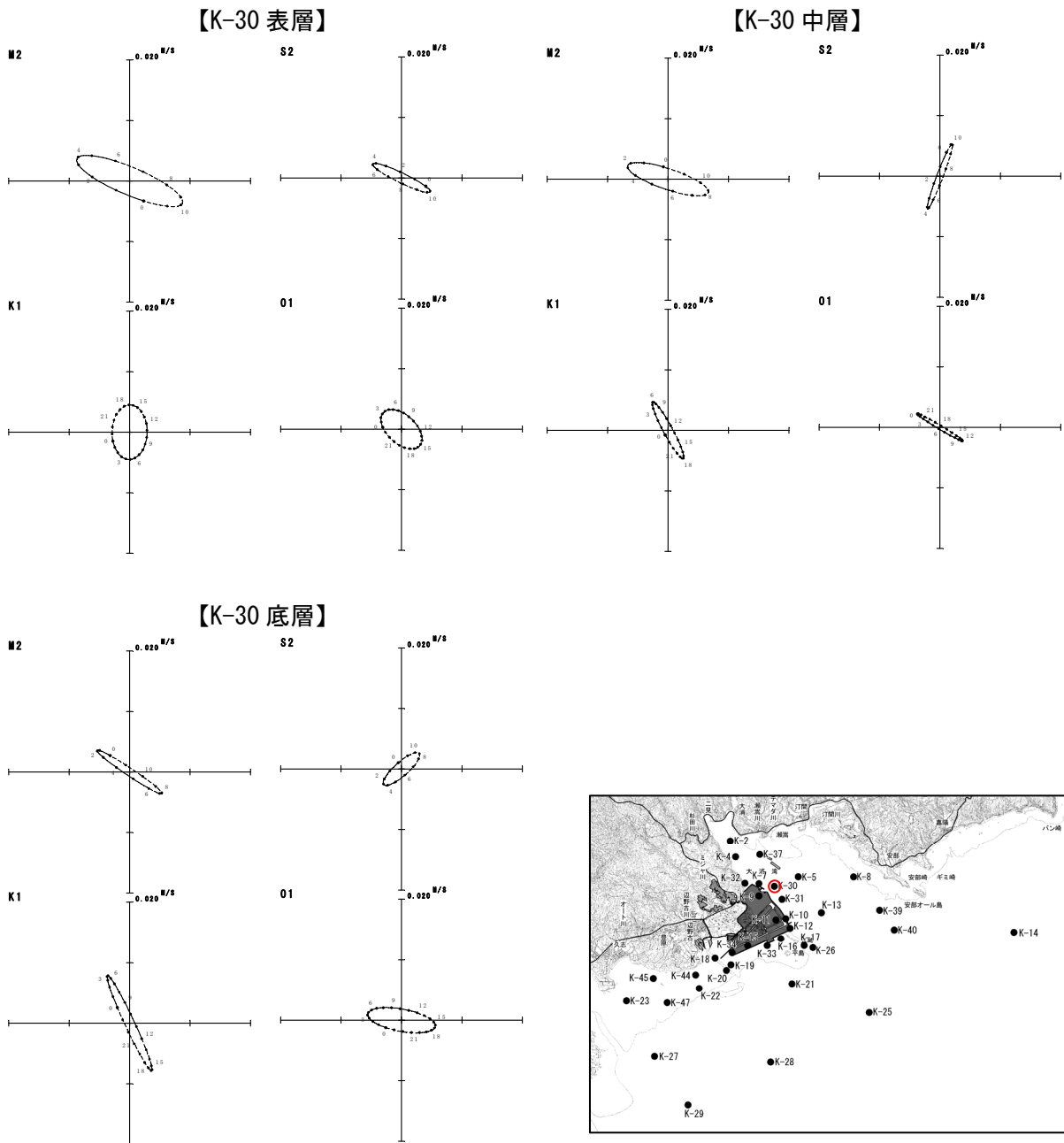


図-6.6.1.28(16) 超音波流速計による調査結果に基づく冬季の潮流楕円

注) 調査期間：平成 20 年 12 月 1 日～平成 21 年 1 月 1 日



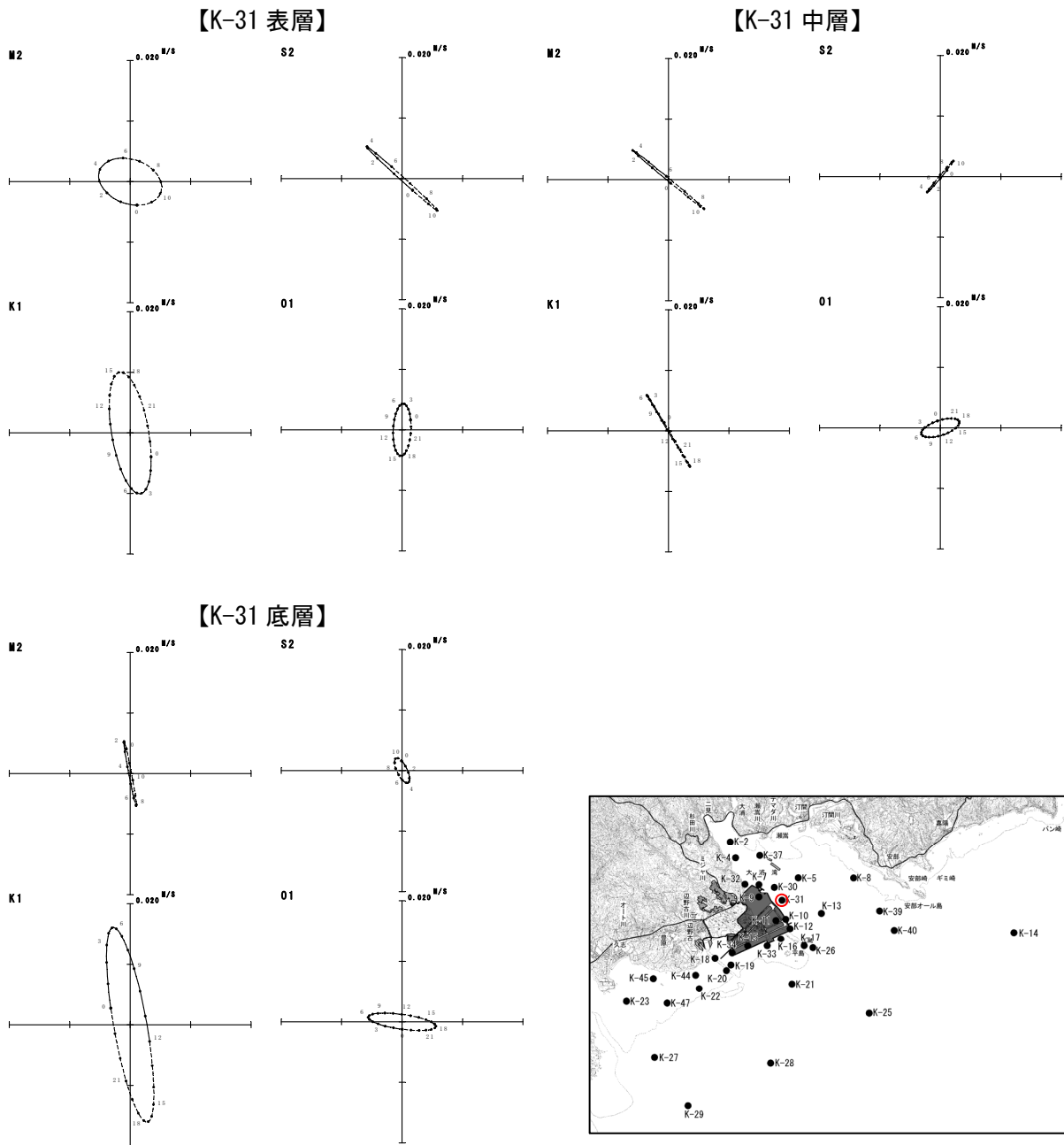


図-6.6.1.28(17) 超音波流速計による調査結果に基づく冬季の潮流楕円

注) 調査期間：平成 20 年 12 月 1 日～平成 21 年 1 月 1 日

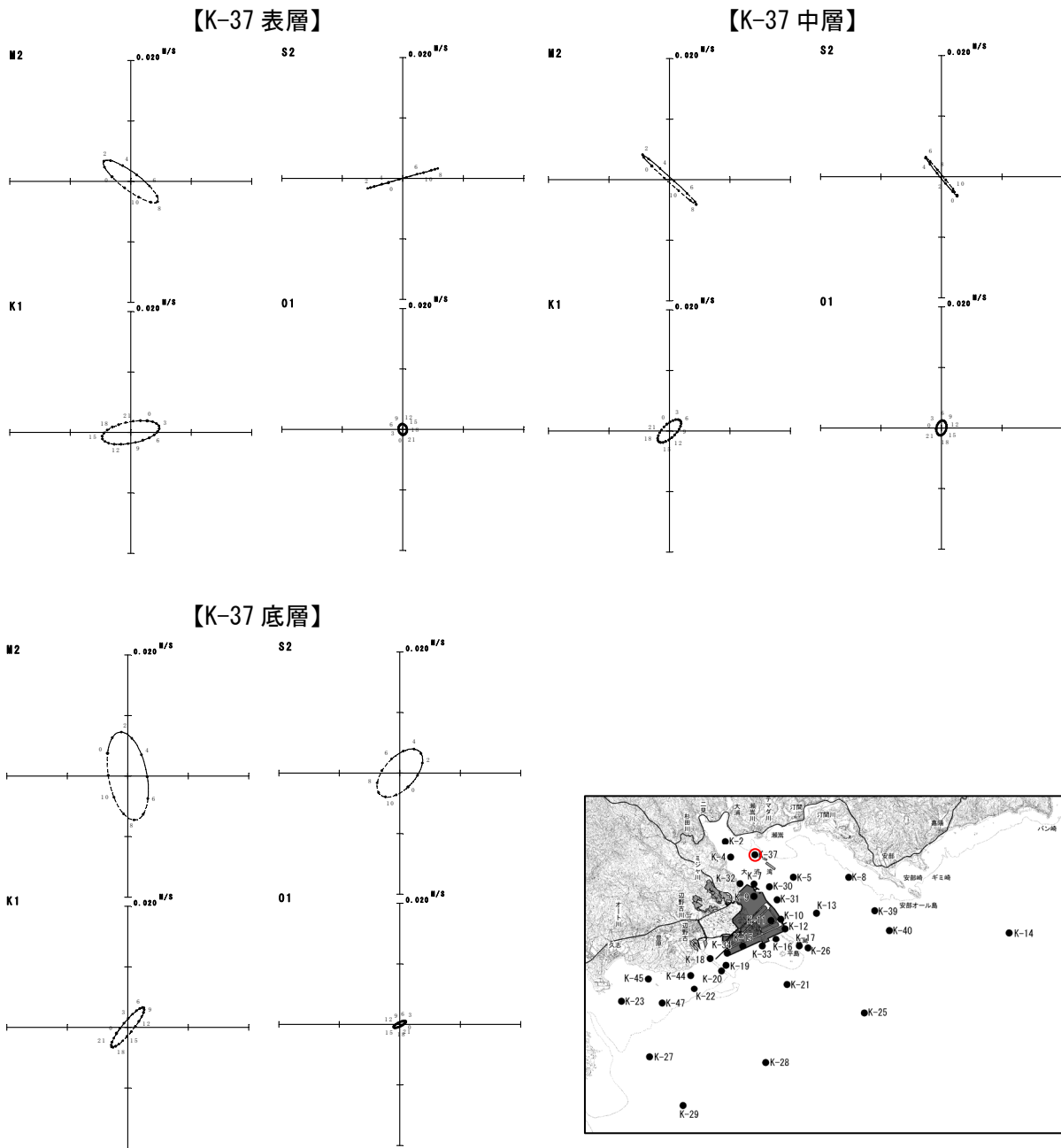


図-6.6.1.28(18) 超音波流速計による調査結果に基づく冬季の潮流楕円

注) 調査期間：平成 20 年 12 月 1 日～平成 21 年 1 月 1 日

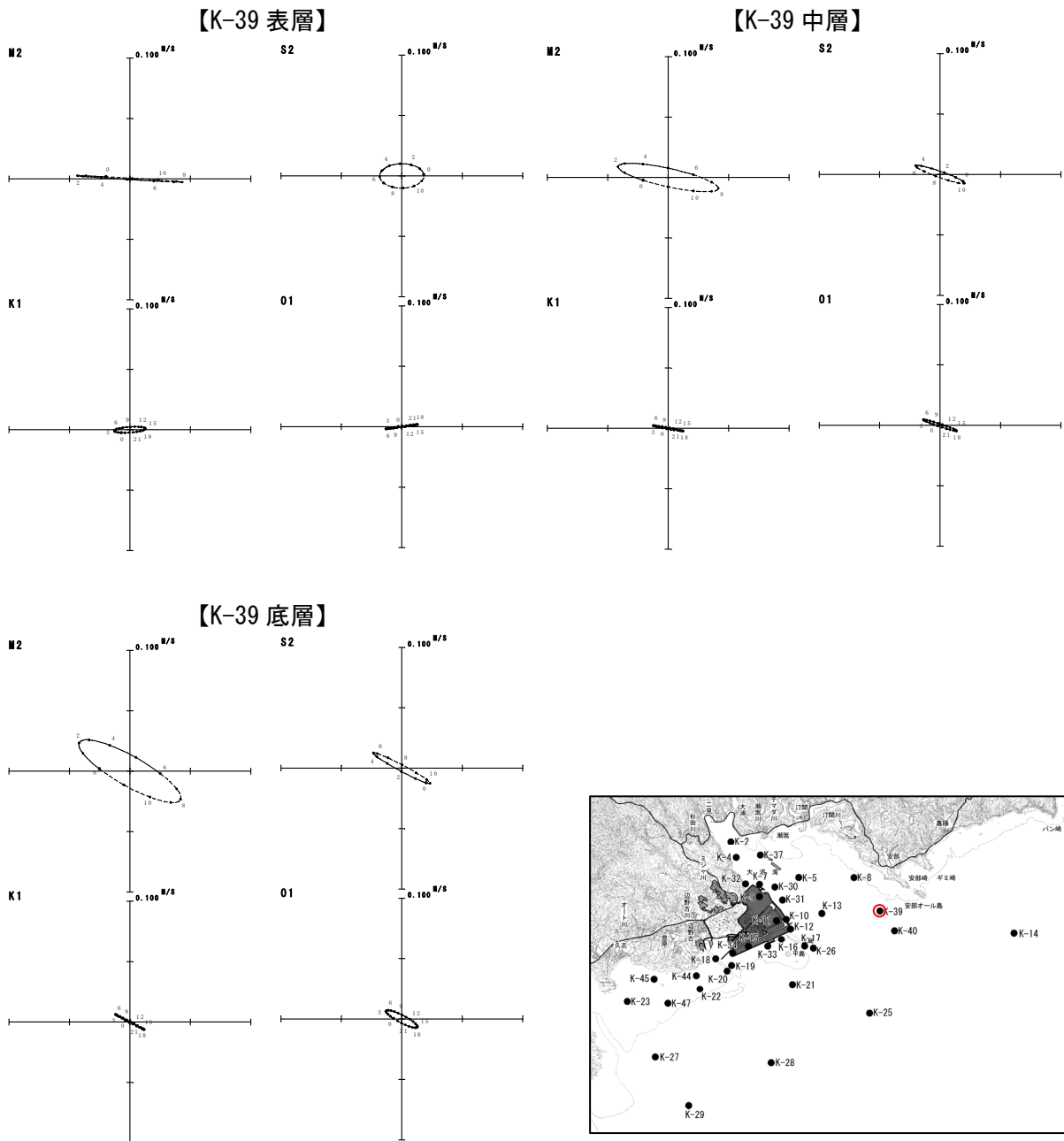


図-6.6.1.28(19) 超音波流速計による調査結果に基づく冬季の潮流楕円

注) 調査期間：平成 20 年 12 月 1 日～平成 21 年 1 月 1 日

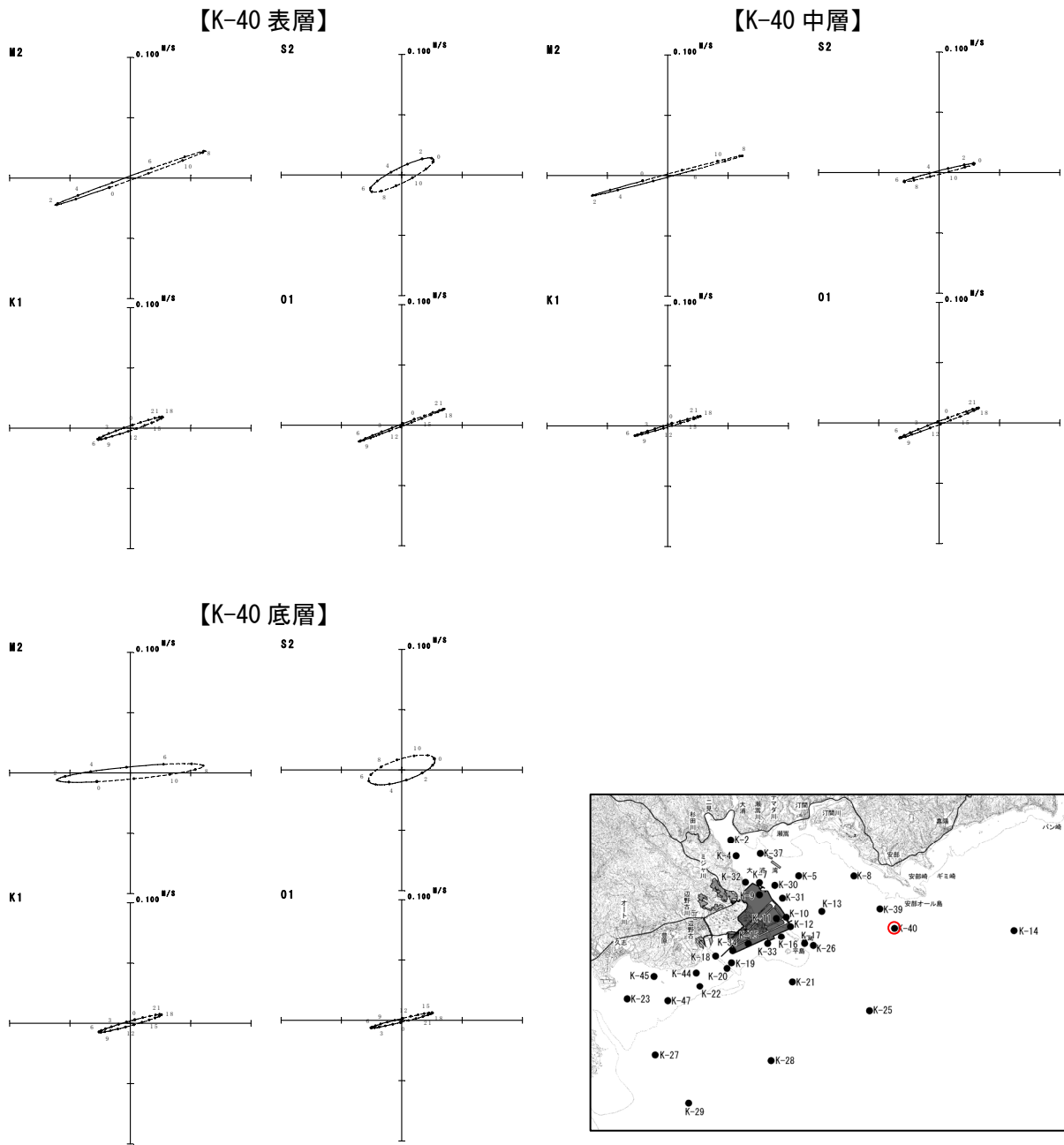


図-6.6.1.28(20) 超音波流速計による調査結果に基づく冬季の潮流楕円

注) 調査期間：平成20年12月1日～平成21年1月1日